



Вестник

Уральского
государственного
университета
путей сообщения

Научный журнал

Herald
of the Ural State University
of Railway Transport

Scientific journal



Научный журнал
Вестник Уральского государственного
университета путей сообщения
(Вестник УрГУПС)
№ 2 (46), 2020 год

Главный редактор
Василий Михайлович Сай
Научный редактор
Василий Федорович Лапшин

Литературный и выпускающий редактор
Людмила Станиславовна Барышникова

Техническое редактирование и верстка
Светлана Николаевна Наймушина

Учредитель и издатель:
Федеральное государственное
бюджетное образовательное учрежде-
ние высшего образования «Уральский
государственный университет путей
сообщения» (ФГБОУ ВО УрГУПС)

Адрес учредителя, издателя и редакции:
620034, Екатеринбург,
ул. Колмогорова, 66

Телефон редакции: (343) 221-25-60.
Веб-сайт: www.usurt.ru/vestnik;
e-mail: vestnik@usurt.ru.

Вестник УрГУПС включен ВАКом
в перечень периодических, научных
и научно-технических изданий,
выпускаемых в Российской Федерации,
в которых рекомендуется публикация
основных результатов диссертаций.

DOI:10.20291/2079-0392

Свидетельство о регистрации
средства массовой информации
Роскомнадзора ПИ № ФС77–38188
от 30 ноября 2009 г.

Подписной индекс журнала
в общероссийском
каталоге «Пресса России» – 70070

Отпечатано в издательстве
Уральского государственного
университета путей сообщения,
620034, Екатеринбург,
ул. Колмогорова, 66.

Подписано в печать 07.07.2020
Дата выхода в свет 10.07.2020.
Цена 300 руб.

Тираж 300 экз. 1-й з-д: 1–80.
Формат 70×100/16.
Заказ 24

Уральский государственный
университет путей сообщения
(ФГБОУ ВО УрГУПС), 2020 ©

Scientific journal «Herald of the
Ural State University
of Railway Transport»
(Herald of the USURT)
№ 2 (46), 2020

Editor-in-chief,
Vasily M. Say
Science editor
Vasily F. Lapshin

Script and copy editor
Lyudmila S. Baryshnikova

Technical editing and make-up
Svetlana N. Naimushina

Founder and publisher:
Federal state-funded educational
institution of the higher education
«Ural State University of Railway Transport»
(FGBOU VO URGUPS)

Address of the founder, publisher and edition:
66 Kolmogorov Street,
620034, Ekaterinburg

Telephone: +7 (343) 221-25-60.
Web-site: www.usurt.ru/vestnik;
e-mail: vestnik@usurt.ru.

DOI:10.20291/2079-0392

Certificate of registration of mass media
by the Federal Service for Supervision
in the sphere of communications,
information technology and mass communications
(Roskomnadzor) PI № FS77–38188
of November 30, 2009.

Subscription reference number
of the issue in the All Russia Catalogue
«Pressa Rossii» – 70070

Printed in the Publishing house
of the Ural State University of
Railway Transport
66 Kolmogorov Street,
620034, Ekaterinburg.

Passed for printing 07.07.2020
Data of issue 10.07.2020.
The price 300 rub.

Circulation 300. The 1st pr.: 1–80.
Format 70×100/16.
Order 24

The Ural State University
of Railway Transport
(FGBOU VO URGUPS), 2020 ©

МЕЖДУНАРОДНЫЙ РЕДАКЦИОННЫЙ СОВЕТ

Кейт Бурнхам, профессор, Университет г. Ковентри, факультет машиностроения и вычислительной техники, Великобритания

Петер Копачек, заслуженный профессор, Венский технологический университет, Институт механики и мехатроники, Вена, Австрия

Владимир Цыганов, д-р техн. наук, профессор, Институт проблем управления Российской академии наук, Москва, Россия

Сергей Герман-Галкин, д-р техн. наук, профессор, Морская академия, Институт судовой автоматизации и электротехники, Щецин, Польша

Клаус Беккер, профессор, Университет прикладных наук г. Кельна, Институт автомобильной техники, лаборатория NVH, Германия

Василий Сай, д-р техн. наук, профессор, Уральский государственный университет путей сообщения, Екатеринбург, Россия

РЕДКОЛЛЕГИЯ

Аккерман Геннадий Львович, д-р техн. наук, профессор, УрГУПС, Екатеринбург

Ашпиз Евгений Самуилович, д-р техн. наук, профессор, РУТ, Москва

Булаев Владимир Григорьевич, д-р техн. наук, профессор, УрГУПС, Екатеринбург

Воробьев Александр Алексеевич, д-р техн. наук, профессор, МГУПС, Москва

Воскресенская Тамара Петровна, д-р техн. наук, профессор, СибГИУ, Новокузнецк

Корнилов Сергей Николаевич, д-р техн. наук, профессор, МГТУ, Магнитогорск

Кузнецов Константин Борисович, д-р техн. наук, профессор, УрГУПС, Екатеринбург

Курганов Валерий Максимович, д-р техн. наук, ТГУ, г. Тверь

Лапшин Василий Федорович, д-р техн. наук, профессор, УрГУПС, Екатеринбург

Сапожников Валерий Владимирович, д-р техн. наук, профессор, ПГУПС, Санкт-Петербург

Сизый Сергей Викторович, д-р техн. наук, профессор, УрФУ, Екатеринбург

Тимофеева Галина Адольфовна, д-р физ.-мат. наук, профессор, УрГУПС, Екатеринбург

Щурин Константин Владимирович, д-р техн. наук, профессор, ОГУ, Оренбург

INTERNATIONAL EDITORIAL BOARD

Keith Burnham, professor, Coventry University, Faculty of Engineering and Computing, Great Britain

Peter Kopachek, Professor Emeritus, TU Wien, Institute for Mechanics and Mechatronics, Vienna, Austria

Vladimir Tsyganov, DSc, professor, Russian Academy of Sciences, Institute of Control Sciences, Moscow, Russia

Sergey German-Galkin, DSc, professor Maritime Academy, Institute of naval automation and electric engineering, Szczecin, Poland

Klaus Becker, professor, Cologne University of Applied Sciences, Institute of Automotive Engineering, NVH Laboratory, Germany

Vasily Say, DSc, professor, The Ural State University of Railway Transport, Ekaterinburg, Russia

EDITORIAL BOARD

Akkerman Gennadiy Lvovich, DSc, Professor, Ural State University of Railway Transport, Yekaterinburg

Ashpiz Evgeniy Samuilovich, DSc, Professor, Russian University of Transport, Moscow

Bulaev Vladimir Grigorievich, DSc, Professor, Ural State University of Railway Transport, Yekaterinburg

Vorobjev Alexander Alexeevich, DSc, professor, Moscow State University of Railway Transport, Moscow

Voskresenskaya Tamara Petrovna, DSc, professor, Siberian State Industrial University, Novokuznetsk

Kornilov Sergey Nikolaevich, DSc, professor, Magnitogorsk State Technical University, Magnitogorsk

Kuznetsov Konstantin Borisovich, DSc, professor, The Ural State University of Railway Transport, Ekaterinburg

Kurganov Valeriy Maximovich, DSc, Professor, Tver State University, Tver city

Lapshin Vasily Fedorovich, DSc, Professor, Ural State University of Railway Transport, Yekaterinburg

Sapozhnikov Valery Vladimirovich, DSc, professor, Petersburg State University of Railway Transport, Saint-Petersburg

Sizyi Sergey Viktorovich, D. Sc. in engineering, professor, Ural Federal University, Ekaterinburg

Timofeeva Galina Adolfovna, DSc, professor, The Ural State University of Railway Transport, Ekaterinburg

Shchurin Konstantin Vladimirovich, DSc, professor, Orenburg State University, Orenburg

Содержание

Математические модели технологических процессов

- 4 А. В. Мартыненко, О. Н. Ие. Моделирование естественного развития междугородной сети автомобильных дорог

Механика машин и роботов

- 13 А. А. Воробьев, Р. С. Сметанин. Анализ износа бандажей колесных пар электровозов 2ЭС10
- 18 А. В. Гриценко, К. В. Глемба, Д. Б. Власов. Исследование характеристик электрических топливных насосов бензиновых двигателей при имитации основных неисправностей топливной системы
- 28 В. Б. Держанский, С. В. Черепанов, А. А. Волков. Метод исследования динамики управляемой механической бесступенчатой передачи с упругим элементом и механизмом свободного хода

Управление в технических системах

- 35 А. А. Комяков. Нормирование и прогнозирование расхода топливно-энергетических ресурсов в производственных процессах на железнодорожном транспорте с использованием информационных технологий
- 44 А. В. Бондаренко. Инновационные принципы электроснабжения нетяговых потребителей железнодорожного транспорта

Организация и логистика

- 51 В. М. Сай, П. М. Тихонов. Моделирование действий агента-заказчика при закупочной процедуре
- 69 В. В. Цыганов, А. А. Рошин. Самообучение ранжированию предприятия железнодорожного транспорта по энергоэффективности
- 81 Н. А. Осинцев. Концепция системы управления логистическими потоками в «зелёных» цепях поставок
- 93 А. Я. Бутыркин, Е. Б. Куликова, К. О. Яцкевич. Инновационные подходы к реализации гибкой системы тарифообразования в международном пассажирском сообщении

Безопасность деятельности человека

- 103 А. А. Пазуха. Повышение уровня электробезопасности на контактной сети за счет создания новых знаков безопасности труда

Аспирантская тетрадь

- 110 Д. Ю. Горелова. Методологические подходы определения коэффициента устойчивости в сетевых организационных структурах
- 120 Н. В. Калганова. Моделирование системы управления методическим и материальным обеспечением учебного процесса в вузе

Contents

Mathematical models of technological processes

- 4 A. V. Martynenko, O. N. Ie. Modelling of natural development of interurban network of vehicular roads

Mechanics of machines and robots

- 13 A. A. Vorobyov, R. S. Smetanin. Analysis of 2ЭС10 electric locomotive wheelset binding bands wear
- 18 A. V. Gritsenko, K. V. Glemba, D. B. Vlasov. Investigation of electrical fuel – injection pump characteristics of petrol engines in simulation of basic fuel system problems
- 28 V. B. Derzhansky, S. V. Cherepanov, A. A. Volkov. Investigation technique for dynamics of operative mechanical continuously variable transmission with a resilient member and free-wheel mechanism

Management in technical systems

- 35 A. A. Komyakov. Norm setting and forecasting of consumption of fuel and power resources in operative processes on railway transport through information technology
- 44 A. V. Bondarenko. Innovative principles of electric power supply of non-traction power consumers of railway transport

Organisation and logistics

- 51 V. M. Say, P. M. Tihonov. Modelling of contractor-customer's actions when carrying out procurement procedures
- 69 V. V. Tsyganov, A. A. Roshhin. Self-instruction in ranking of railway enterprise for energy efficiency
- 81 N. A. Osintsev. Concept of management system of logistic flows in «green» supply chains
- 93 A. Ya. Butyrkin, E. B. Kulikova, K. O. Yatskevich. Innovative approaches to implementation of flexible system of tariff setting at international passenger traffic

Safety of human activity

- 103 A. A. Pazukha. Enhancement of electrical safety on the catenary system through invention of new work safety signs

Postgraduate notes

- 110 D. Yu. Gorelova. Methodological approaches to determination of stability coefficient in network organization structures
- 120 N. V. Kalganova. Modelling of management system by means of methodical and material support for educational process in a higher-educational establishment

Математические модели технологических процессов

УДК 332.132: 519.865.7

А. В. Мартыненко, О. Н. Ие

Моделирование естественного развития междугородной сети автомобильных дорог

UDC 332.132: 519.865.7

A. V. Martynenko, O. N. Ie

Modelling of natural development of interurban network of vehicular roads

Аннотация

Основные особенности функционирования и структуры транспортной сети являются результатом взаимного влияния сети и обслуживаемой ею территории. В частности, текущие транспортные потребности территории выступают основным фактором, влияющим на принятие любого конкретного решения о создании нового элемента сети. Однако транспортные потребности территории существенно меняются с течением времени, а отдельные управленческие решения слабо согласованы

между собой и принимаются в условиях неполной информации о будущем состоянии сети. Поэтому транспортные сети обладают многими признаками естественных объектов и их развитие можно рассматривать как результат реализации некоторых внутренних закономерностей и механизмов.

В статье рассматриваются модели естественного развития транспортной сети под влиянием различных внешних и внутренних факторов. Предложен подход к моделированию естественного развития транспортной сети на

основе информации о пространственном расположении ее вершин. Для иллюстрации возможностей указанного подхода использована сеть автомобильных дорог Свердловской области. Введена мера, отражающая морфологическое сходство сетей. Построены модели сети автомобильных дорог Свердловской области для различных способов задания функции, характеризующей меру удаленности одной вершины от пары других вершин. Получена модель, генерирующая сеть, которая достаточно близка

Статья рекомендована к публикации Г.А. Тимофеевой, д-ром физ.-мат. наук, профессором Уральского государственного университета путей сообщения. E-mail: gtimofeeva@mail.ru.

Александр Валериевич Мартыненко, канд. физ.-мат. наук, доцент; Уральский государственный университет путей сообщения; с.н.с. Центра развития и размещения производительных сил Института экономики УрО РАН, Екатеринбург, Россия. E-mail: amartynenko@rambler.ru. ORCID 0000-0002-4701-6398.

Ольга Николаевна Ие, канд. физ.-мат. наук, Уральский государственный университет путей сообщения, Уральский федеральный университет им. первого Президента России Б.Н. Ельцина, Екатеринбург, Россия. E-mail: olgaie@mail.ru. ORCID 0000-0002-0864-8923. Статья подготовлена в соответствии с планом НИР УрГУПС (тема АААА-А20-120042190035-7).

The article is recommended for publishing by G.A. Timofeeva, Doctor of physical and mathematical sciences, Professor of Ural state university of railway transport. E-mail: gtimofeeva@mail.ru.

Aleksandr Valer'evich Martynenko, Candidate of physical and mathematical sciences, Associate Professor; Ural state university of railway transport; senior researcher of the Centre of development and allocation of production forces of the Ural branch of the Institute of economy of the Russian academy of science, Yekaterinburg, Russia. E-mail: amartynenko@rambler.ru. ORCID 0000-0002-4701-6398.

Ol'ga Nikolaevna Ie, Candidate of physical and mathematical sciences, Ural state university of railway transport, Ural federal university named after the first President of Russia B.N. Yeltsin, Yekaterinburg, Russia. E-mail: olgaie@mail.ru. ORCID 0000-0002-0864-8923.

The article is prepared according to the plan of scientific research work of USURT (subject АААА-А20-120042190035-7).

к реальной сети. Показано, что многие фундаментальные свойства реальной сети являются следствием только лишь расположения ее вершин, и для их объяснения не нужно привлекать дополнительную социально-экономическую и демографическую информацию.

Ключевые слова: транспортная сеть, модель естественного роста сети, сеть автомобильных дорог, междугородная сеть, моделирование транспортной сети.

DOI: 10.20291/2079-0392-2020-2-4-12

Abstract

The main peculiarities of transport network functioning and structure are the result of reciprocal influence of the network and its service area. Namely, current transport needs of the area are the key factor, affecting any specific decision on creating a new

network element. However, transport needs of the area significantly changes in the course of time and certain management decisions are poorly coordinated and made in conditions of incomplete information on future network state. Therefore, transport networks have a variety of features of natural objects and their development can be regarded as a result of implementation of some inner consistent patterns and mechanisms.

The models of natural development of transport networks influenced by various external and internal factors are dealt with in the article. An approach to modelling of natural development of a transport network based on information on spatial location of its peaks is suggested. As an illustration of potentiality of the given approach Sverdlovsk region network of vehicular

roads is used. A measure which indicates morphological similarity of the networks is introduced. The models of Sverdlovsk region vehicular road network are built for different representations of function, which characterize the extent of remoteness of one peak to the pair to other peaks. The generating network model which is sufficiently close to a real network is obtained. It is demonstrated that many fundamental features of a real network are the result of location of its peaks and for their explanation there is no need in additional social-economic and demographic information.

Key words: transport network, natural growth model of a network, vehicular road network, interurban network, transport network modelling.

DOI: 10.20291/2079-0392-2020-2-4-12

Очень многие вопросы, связанные с функционированием и структурой транспортной сети, сводятся к изучению взаимного влияния сети и обслуживаемой ею территории. Достаточно очевидно, что экономическое развитие территории, размещение населения и различных хозяйственных объектов во многом определяются транспортной доступностью территорий. При этом территория тоже оказывает существенное воздействие на сеть (например, появление новых пунктов зарождения или поглощения грузопотоков стимулирует развитие транспортной системы).

Взаимосвязи сети и территории посвящено значительное количество исследований. Среди недавних результатов в этом направлении можно указать исследование экономического потенциала транспортной сети Большого Урала [1], изучение географических аспектов влияния транспортной сети на размещение населения [2], анализ

транспортных сетевых структур на основе теории сложных сетей и теории графов [3–5], а также статью [6], в которой для исследования динамики развития транспортных сетей использовался эконометрический анализ.

При изучении транспортных сетей большое внимание уделяется вопросам, связанным с моделированием их роста. Под этим понимается как разработка моделей сетей, удовлетворяющих некоторым заданным условиям оптимальности, так и создание моделей естественного развития сети. Моделирование оптимальной сети в общем случае сводится к многокритериальной задаче оптимизации. При этом речь может идти о глобальных критериях, относящихся ко всей сети [7–9], или же о реализации принципа локальной оптимальности, который можно сформулировать следующим образом: «Каждый новый элемент присоединяется к сети оптимальным способом» [10, 11].

Моделирование естественного развития сети направлено на выявление общих закономерностей этого процесса. Работы в этом направлении появились относительно недавно (см. обзор литературы в [12]). Идейной основой такой деятельности выступает тот факт, что транспортная сеть представляет собой реализацию последовательности слабо согласованных управленческих решений о создании ее отдельных элементов, которые зачастую принимаются в условиях неполной информации о текущей эффективности сети и перспективах ее дальнейшего развития. Поэтому реальные транспортные сети, как правило, не оптимальны, их развитие протекает в соответствии с некоторыми внутренними закономерностями, для выявления которых удобно применять моделирование естественного развития сети. Например, в [12] и [13] для этого используются методы агентного моделирования. С каждым ребром, которое уже построено или может быть построено, отождествляется агент, который на каждой итерации принимает решение об инвестировании (строительстве ребра или улучшении его пропускной способности) или о снижении расходов на содержание ребра в зависимости от загрузки ребра на предыдущем этапе.

Для моделирования сетей используются информация о пространственном расположении пунктов зарождения и погашения транспортных потоков, а также различные социально-экономические и демографические данные. Подбирая параметры моделей так, чтобы они были близки к реальной сети, авторы [12, 13], по сути, выявляют механизмы влияния территории на транспортную сеть в виде алгоритма генерации сети. Получаемые ими модели демонстрируют многие свойства реальных сетей (иерархичность структуры, самоорганизацию и т.д.).

В настоящей работе предлагается другой подход к моделированию естественного развития сети на основе информации о пространственном расположении ее вершин; тем самым

показывается, что многие фундаментальные свойства реальной сети являются следствием только лишь расположения ее вершин, и для их объяснения не нужно привлекать дополнительную социально-экономическую и демографическую информацию.

Реальную транспортную сеть, расположенную на некоторой территории, будем рассматривать как пространственную сеть $G = (V, E)$, где V – множество вершин, представляющих собой населенные пункты, пересечения и примыкания дорог реальной сети, а E – множество дуг, представляющих собой дороги реальной сети. Напомним, что пространственной сетью (spatial network) называется граф, вершины которого являются точками в метрическом пространстве (точное определение см. в [14]). В нашем случае в качестве метрики будет использоваться расстояние по воздуху между вершинами сети, которое будем называть просто расстоянием. Всюду далее предполагаем, что каждая дуга сети снабжена весом, равным расстоянию между ее концами. Такой вес будем называть длиной дуги. Тем самым мы заменяем реальные длины дорог на кратчайшие расстояния между соответствующими вершинами сети. Безусловно, это значительное упрощение реальной сети, однако оно полностью оправдано в рамках данной работы, поскольку длина реальной дороги зависит от особенностей местности (рельеф, водные преграды и т.п.), а здесь исследуется влияние только лишь взаимного расположения вершин на транспортную сеть. Также далее мы будем принимать в расчет пропускную способность дуг – считаем ее неограниченной.

Моделью сети G будем называть сеть

$$G(\Theta) = (V, E(\Theta)),$$

где

$$E(\Theta) = \Gamma(V, \Theta)$$

и $\Gamma(V, \Theta)$ – отображение, которое зависит от вектора параметров Θ и ставит

в соответствие любому заданному множеству вершин V множество дуг $E(\Theta)$. Отметим, что в этом определении от модели сети не требуется того, чтобы она была похожа на исходную реальную сеть. Для того чтобы говорить о близости модели и исходной сети, необходимо ввести меру сходства для сетей, обладающих одинаковыми наборами вершин.

Для любой сети $G = (V, E)$ обозначим через $A(G)$ весовую матрицу смежности, т.е. $A(G) = (a_{ij})$, где a_{ij} – длина дуги между вершинами i и j , если они соединяются дугой, и $a_{ij} = 0$ в противном случае.

Пусть $G_1 = (V, E_1)$ и $G_2 = (V, E_2)$, тогда в качестве меры сходства между этими сетями будем использовать функционал

$$(G_1, G_2) = 1 - \frac{A(G_1) - A(G_2)_1}{A(G_1)_1 + A(G_2)_1}, \quad (1)$$

где $A_1 - l_1$ – норма матрицы $A = (a_{ij})$, т.е. $A_1 = \sum_{i,j} |a_{ij}|$.

Приведем некоторые простые свойства функционала $\psi(G_1, G_2)$, которые показывают, что он действительно может быть использован как мера сходства.

Для любых сетей $G_k = (V, E_k)$, $k = 1, 2$, 3 справедливы следующие утверждения:

- 1) $\psi(G_1, G_2) = \psi(G_2, G_1)$;
- 2) $0 \leq \psi(G_1, G_2) \leq 1$;
- 3) если $E_1 = E_2$, то $\psi(G_1, G_2) = 1$;
- 4) если $E_1 \cap E_2 = \emptyset$, то $\psi(G_1, G_2) = 0$;
- 5) если $E_1 \subseteq E_2 \subseteq E_3$, то $\psi(G_1, G_2) \geq \psi(G_1, G_3)$.

Второй член в определении меры $\psi(G_1, G_2)$ – это отношение суммы длин дуг, не являющихся общими для реальной сети и модели, к сумме длин дуг в обеих сетях. Если дуги, не являющиеся общими для реальной сети и модели, составляют примерно одинаковые доли в каждой из этих сетей, то значения меры $\psi(G_1, G_2)$ можно трактовать как долю длин дуг модели, которые совпадают с дугами реальной сети, и как долю длин дуг реальной сети, которые совпадают с дугами модели.

Мера $\psi(G_1, G_2)$ отражает не только наличие или отсутствие общих ребер у двух сетей, но также учитывает и длины этих ребер. Таким образом,

она показывает, насколько морфологически (визуально) две сети похожи между собой.

В соответствии с введенной мерой сходства будем говорить, что модель $G^* = (V, E^*)$ наиболее близка к реальной сети G , если $E^* = \Gamma(V, \Theta^*)$, где

$$\Theta^* = \arg \max_{\Theta} \psi(G, G(\Theta)). \quad (2)$$

Чтобы проиллюстрировать реализацию описанного общего подхода к моделированию транспортной сети, мы использовали сеть автомобильных дорог Свердловской области, доступную для геоинформационной обработки в формате shape-файлов (проект OpenStreetMap [15]). Обработку данных и моделирование осуществляли в программе Wolfram Mathematica [16].

Сеть автомобильных дорог Свердловской области содержит около 1600 вершин, более 1000 из которых являются населенными пунктами. Использование всех этих пунктов в качестве вершин сети при построении модели нецелесообразно, поскольку с одной стороны это потребует весьма значительных вычислительных мощностей, а с другой, такая излишняя детализация не имеет особого смысла. Большая часть этих вершин является малонаселенными поселениями и не оказывает существенного влияния на общую структуру всей сети автомобильных дорог, поскольку они в основном являются висячими вершинами сети, а также вершинами, в которых дуги, идущие от висячих вершин, соединяются с остальной сетью.

Поэтому мы упростили сеть без значительной потери информации о ее структуре путем выделения главной части сети, соединяющей все населенные пункты, людность которых превышает 1000 чел. (для Свердловской области таких пунктов насчитывается 110). Здесь под главной частью сети мы понимаем все те дуги сети, каждая из которых принадлежит хотя бы одному из кратчайших путей между всеми возможными парами заданных населенных пунктов. В итоге мы получили

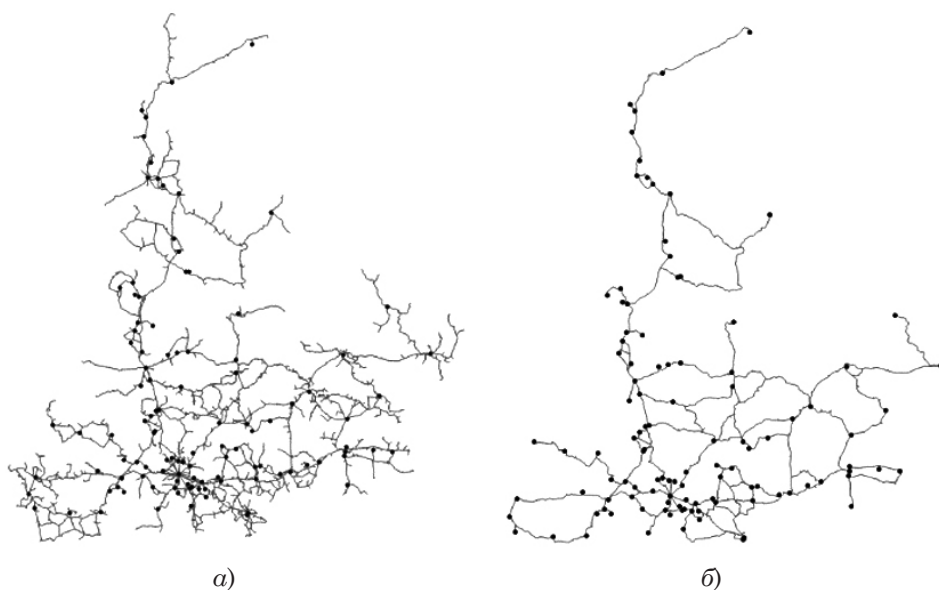


Рис. 1. Сеть автомобильных дорог Свердловской области
а – исходная; б – упрощенная

упрощенную сеть автомобильных дорог Свердловской области, представленную на рис. 1, б. Эту сеть мы будем обозначать как $G^{sv} = (V^{sv}, E^{sv})$, где E^{sv} – множество всех дуг, изображенных на рис. 1, б, а V^{sv} – множество всех вершин сети, включающее населенные пункты, людность которых превышает 1000 чел. (они изображены точками на рис. 1, б), а также все пересечения и примыкания дуг сети.

Отображение $\Gamma(V, \Theta)$, используемое при построении модели, может быть определено различными способами. В настоящей работе мы рассматриваем один из наиболее простых вариантов, в котором вектор параметров Θ состоит только из одной положительной компоненты θ и

$$\begin{aligned} \Gamma(V, \Theta) &= \Gamma_d(V, \theta) = \\ &= \{(u, v) \in V \times V \mid \forall w \in V \setminus \{u, v\} \quad (3) \\ &\quad D(u, v, w) > \theta d(u, v) \}, \end{aligned}$$

где $d(u, v)$ – расстояние между вершинами u и v , $D(u, v, w)$ – некоторая мера удаленности вершины w от пары вершин u и v . Другими словами, множество дуг модельной сети $E_\theta = \Gamma(V, \theta)$

определяется следующим образом: две вершины u и v будут соединяться дугой тогда и только тогда, когда любая не совпадающая с ними вершина $w \in V$ будет удалена от них (в смысле меры $D(u, v, w)$) более, чем на $\theta d(u, v)$.

Функцию $D(u, v, w)$ можно задавать различными способами. В данной работе мы рассмотрели следующие варианты:

$$\begin{aligned} D_1(u, v, w) &= d(u, w) + d(v, w), \\ D_2(u, v, w) &= \min\{d(u, w), d(v, w)\}, \\ D_3(u, v, w) &= \max\{d(u, w), d(v, w)\}. \end{aligned}$$

На базе каждого из этих вариантов мы построили модели сети G^{sv} . На рис. 2 представлены модели $G_{D_k}^{sv}(\theta) = (V^{sv}, \Gamma_{D_k}(V, \theta))$ при некоторых значениях параметра θ .

Представленные на рис. 2 модели сетей сильно отличаются от реальной сети G^{sv} . Более того, они визуально совершенно не похожи на какую бы то ни было реальную сеть автомобильных дорог. В частности, сети $G_{D_1}^{sv}$ 1,12, $G_{D_2}^{sv}(0,21)$, $G_{D_3}^{sv} 0,75$ не являются планарными. Из сформулированного определения модели и вида отображений $\Gamma_{D_k}(V, \theta)$ следует, что при изменении параметра θ модельная сеть

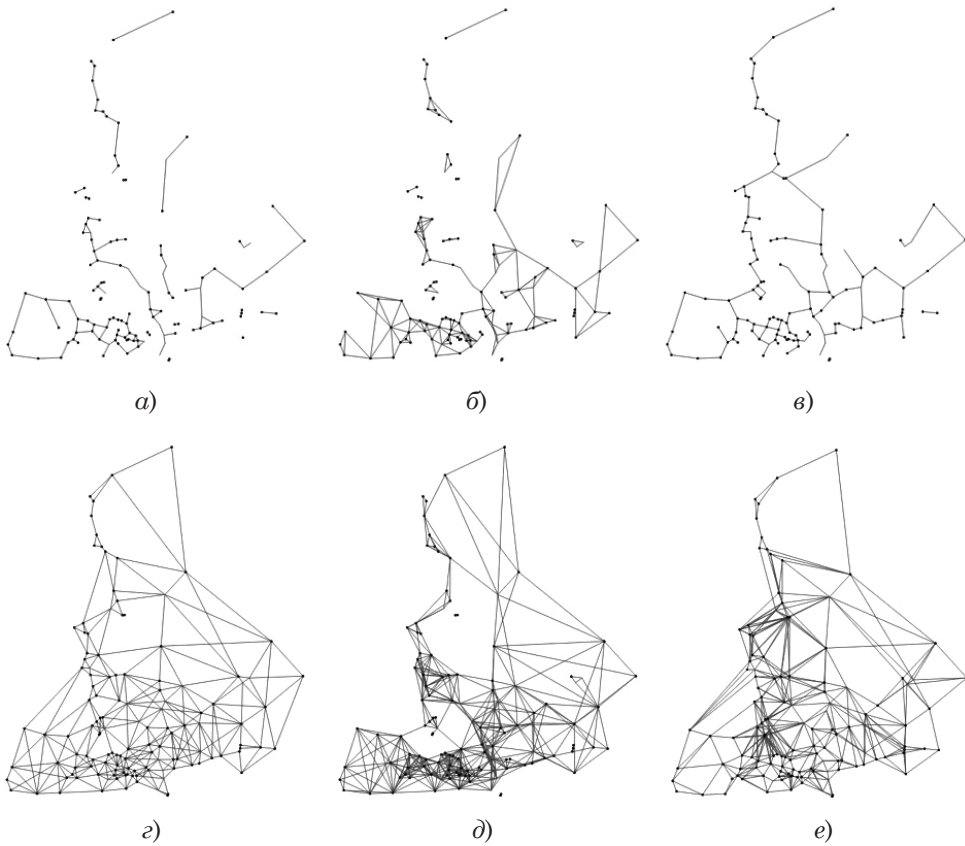


Рис. 2. Модели сети автомобильных дорог Свердловской области для различных D_k при некоторых значениях параметра θ
 $a - G_{D_1}^{sv}(1,57)$; $b - G_{D_2}^{sv}(0,35)$; $в - G_{D_3}^{sv}(1,03)$; $г - G_{D_1}^{sv}(1,12)$; $д - G_{D_2}^{sv}(0,21)$; $e - G_{D_3}^{sv}(0,75)$

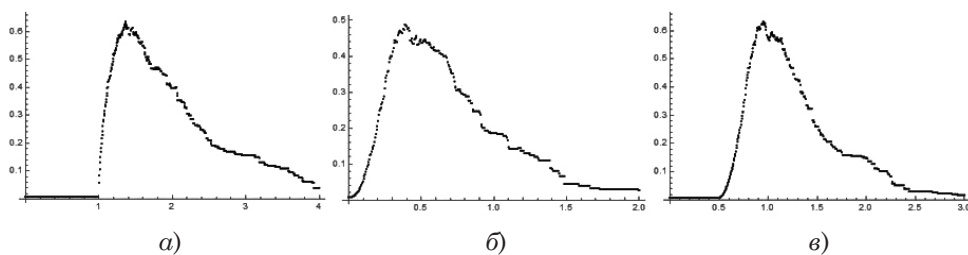
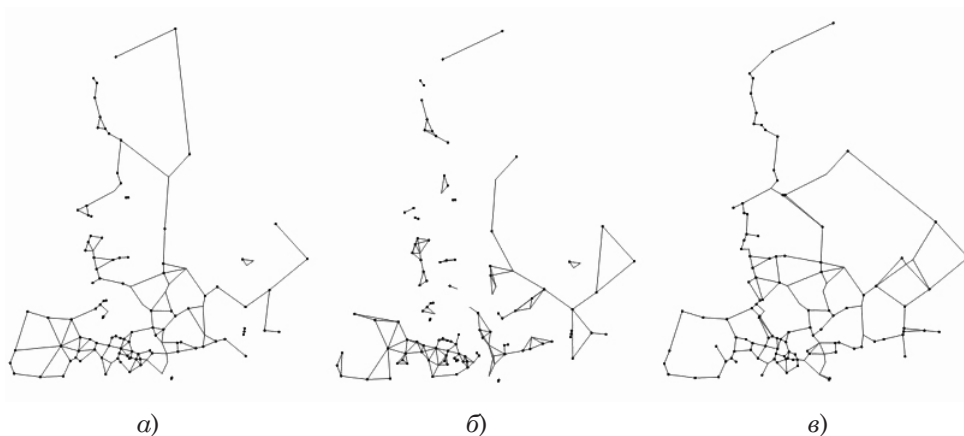
монотонно меняется от пустой сети (сеть с пустым множеством дуг) до полной сети (сеть, в которой все вершины попарно соединены дугами), и изображенные на рис. 2 сети хорошо иллюстрируют этот факт. То есть отображение (3) задает достаточно широкий класс модельных сетей и для выбора модели, наиболее

близкой к реальной сети G^{sv} , была выполнена калибровка модели в соответствии с соотношением (2). Полученные результаты представлены в таблице 1, а на рис. 3 приведены графики функций $\omega_k(\theta) = \psi(G^{sv}, G_{D_k}^{sv}(\theta))$ для наглядной демонстрации оптимального подбора параметра θ .

Таблица 1

Калибровка моделей

Модель	Оптимальное значение параметра θ^*	Максимальное значение меры сходства $\psi(G^{sv}, G_{D_k}^{sv}(\theta^*))$
$G_{D_1}^{sv}(\theta)$	1,37	0,62
$G_{D_2}^{sv}(\theta)$	0,39	0,49
$G_{D_3}^{sv}(\theta)$	0,96	0,64

Рис. 3. Графики функций $\omega_1(\theta)$ (а); $\omega_2(\theta)$ (б); $\omega_3(\theta)$ (в)Рис. 4. Модели сети автомобильных дорог Свердловской области для различных D_k при оптимальных значениях параметра θ
а – $G_{D_1}^{sv}(1,37)$; б – $G_{D_2}^{sv}(0,39)$; в – $G_{D_3}^{sv}(0,96)$

Модельные сети при оптимальных значениях параметров представлены на рис. 4.

Из результатов, представленных в таблице 1 и на рис. 4, следует, что $G_{D_1}^{sv}(1,37)$ и $G_{D_3}^{sv}(0,96)$ достаточно хорошо моделируют реальную сеть G^{sv} . Более того, из сравнения количественных значений меры сходства следует, что наиболее близкой к сети G^{sv} является модель $G_{D_3}^{sv}(0,96)$, т.е. можно заключить, что сеть автомобильных дорог Свердловской области описывается моделью $G_{D_3}^{sv}(0,96)$. Причем визуальное сравнение (дополнительно к значению меры сходства) исходной сети G^{sv} (рис. 1, б) и модельной сети $G_{D_3}^{sv}(0,96)$ (рис. 4, в) показывает, что полученная модель достаточно близка к исходной сети.

Построенные модели естественно-го развития сети и проведенный на их

основе анализ позволяют сделать ряд выводов. Прежде всего из полученных результатов следует, что пространственное расположение вершин сети оказывает существенное влияние на ее фундаментальные свойства и структуру. Это влияние может быть смоделировано с помощью достаточно простых конструкций, учитывающих только лишь локальные свойства взаимного расположения вершин и не принимающих во внимание взаимосвязанность всех дуг сети, что существенно снижает требования к вычислительным мощностям, необходимым для расчета модели. Полученная таким образом модель генерирует сеть, которая достаточно близка к реальной сети, но в то же время имеет определенные отличия от нее. Значит, другие факторы также оказывают значительное влияние на структуру сети. ■

Литература

1. Петров М. Б. Транспортные сети Большого Урала в формировании Урало-Арктического вектора развития // Вестник УрГУПС. 2016. № 4 (32). С. 103–111. ISSN 2079-0392.
2. Лекомцев А. Л. Влияние развития транспорта и транспортной сети на системы расселения населения (на примере территории Удмуртии) // Вестник Удмуртского университета ; Сер. : «Биология. Науки о Земле». 2010. № 4. С. 110–114. ISSN 2412-9518.
3. Мартыненко А. В., Петров М. Б. Влияние начертания транспортной сети на показатели доступности (на примере Свердловской области) // Региональные исследования. 2016. № 2 (52). С. 21–30. ISSN 1994-5280.
4. Петров М. Б., Казаков А. Л., Маслов А. М. Использование модели гиперграфа региональной транспортной сети в обосновании приоритетов ее усиления // Известия УРГЭУ. 2015. № 6 (62). С. 94–101. ISSN 2073-1019.
5. Montis A. D., Barth'elemy M., Chess A., Vespignani A. The structure of inter-urban traffic: A weighted network analysis // Environment and Planning B: Urban Analytics and City Science. 2007. № 5 (34). P. 905–924. ISSN 2399-8083.
6. Светлов Н. М. Эконометрический анализ развития сухопутных транспортных сетей // Экономика и математические методы. 2016. № 2. С. 60–74. ISSN 0424-7388.
7. Billheimer J.W., Gray P. Network design with fixed and variable cost elements. Transportation Science. 1973. V. 7. P. 49–74.
8. Cancho R. F., Sole R. V. Optimization in complex networks. In Statistical Mechanics of Complex Networks. Springer. 2003. V. 625 Lecture Notes in Physics. P. 114–125. ISBN 978-3-540-40372-2
9. Brede M. Coordinated and uncoordinated optimization of networks. Phys. Rev. ser. E. 2010. V. 81:066104.
10. Bejan A., Ledezma G. A. Streets tree networks and urban growth: optimal geometry for quickest access between a finite-size volume and one point. Physica A. 1998. V. 255. P. 211–217.
11. Barthelemy M., Flammini A. Modeling urban street patterns. Phys. Rev. Lett. 2008. 100:138702.
12. Lei Zhang David Levinson. A model of the rise and fall of roads // Journal of Transport and Land Use. 2017. V. 10 № 1. P. 337–356.
13. Feng Xie, David Levinson. Topological evolution of surface transportation networks // Computers Environment and Urban Systems. 2009. V. 33. P. 211–223.
14. Клековкин Г. А., Коннова Л. П., Коннов В. В. Геометрическая теория графов : учеб. пособие для СПО. М. : Изд-во Юрайт. 2017. 240 с. ISBN 978-5-534-04813-1.
15. OpenStreetMap. URL: <https://www.openstreetmap.org/#map=2/69.6/-74.9> (дата обращения: 15.04.2020).
16. Мартыненко А. В. Программа Wolfram Mathematica как универсальная среда для обработки и анализа географической информации // Географический вестник. 2016. № 4 (39). С. 129–138. ISSN 2079-7877.

Literature

1. Petrov M. B. Transport networks of the Greater Ural in the shaping of Ural-Arctic vector of development // Herald of USURT [Transportnye seti Bol'shogo Urala v formirovanii Uralo-Arkticheskogo vektora razvitiya // Vestnik UrGUPS]. 2016. № 4 (32). P. 103–111. ISSN 2079-0392.
2. Lekomtsev A. L. Influence of transport and transport network development on the systems of population resettlement (by the example of Udmurt area) // Herald of Udmurt university ; Series : «Biology. Earth science» [Vliyanie razvitiya transporta i transportnoy seti na sistemy rasseleniya naseleniya (na primere territorii Udmurtii) // Vestnik Udmurtskogo universiteta ; Ser. : «Biologiya. Nauki o Zemle»]. 2010. №4. P. 110–114. ISSN 2412-9518.
3. Martynenko A. V., Petrov M. B. Influence of shaping transport network on accessibility indicators (by the example of Sverdlovsk region) // Regional research [Vliyanie nachertaniya transportnoy seti na pokazateli dostupnosti (na primere Sverdlovskoy oblasti) // Regional'nye issledovaniya]. 2016. № 2 (52). P. 21–30. ISSN 1994-5280.
4. Petrov M. B., Kazakov A. L., Maslov A. M. Using a model of hypergraph of a regional transport network to justify priorities for its strengthening // News bulletin of USUE

- [Ispol'zovanie modeli gipergrafa regional'noy transportnoy seti v obosnovanii prioriteto ee usileniya // Izvestiya URGEU]. 2015. № 6 (62). P. 94–101. ISSN 2073-1019.
5. Montis A. D., Barth'elemy M., Chess A., Vespignani A. The structure of inter-urban traffic: A weighted network analysis // Environment and Planning B: Urban Analytics and City Science. 2007. № 5 (34). P. 905–924. ISSN 2399-8083.
 6. Svetlov N. M. Econometric analysis of development of terrestrial transport networks // Economy and mathematical methods [Ekonometricheskiy analiz razvitiya suhoputnyh transportnyh setey // Ekonomika i matematicheskie metody]. 2016. № 2. P. 60–74. ISSN 0424-7388.
 7. Billheimer J. W., Gray P. Network design with fixed and variable cost elements. Transportation Science. 1973. V. 7. P. 49–74.
 8. Cancho R. F., Sole R. V. Optimization in complex networks. In Statistical Mechanics of Complex Networks. Springer. 2003. V. 625 Lecture Notes in Physics. P. 114–125. ISBN 978-3-540-40372-2.
 9. Brede M. Coordinated and uncoordinated optimization of networks. Phys. Rev. ser. E. 2010. V. 81:066104.
 10. Bejan A., Ledezma G. A. Streets tree networks and urban growth: optimal geometry for quickest access between a finite-size volume and one point. Physica A. 1998. V. 255. P. 211–217.
 11. Barthelemy M., Flammini A. Modeling urban street patterns. Phys. Rev. Lett. 2008. 100:138702.
 12. Lei Zhang David Levinson. A model of the rise and fall of roads // Journal of Transport and Land Use. 2017. V. 10 № 1. P. 337–356.
 13. Feng Xie, David Levinson. Topological evolution of surface transportation networks // Computers Environment and Urban Systems. 2009. V. 33. P. 211–223.
 14. Klekovkin G. A., Konnova L. P., Konnov V. V. Geometric theory of graphs : teaching aid for secondary vocational education. M. : Urait publishing house [Geometricheskaya teoriya grafov : ucheb. posobie dlya SPO. M. : Izd-vo Yurayt]. 2017. 240 p. ISBN 978-5-534-04813-1.
 15. OpenStreetMap. URL: <https://www.openstreetmap.org/#map=2/69.6/-74.9> (reference date: 15.04.2020).
 16. Martynenko A. V. Wolfram Mathematica program as general purpose environment for processing and analysis of geographic information // Geographic herald [Programma Wolfram Mathematica kak universal'naya sreda dlya obrabotki i analiza geograficheskoy informatsii // Geograficheskiy vestnik] 2016. № 4 (39). P. 129–138. ISSN 2079-7877.

Статья сдана в редакцию 17 апреля 2020 года

Механика машин и роботов

УДК 629.423.14

А. А. Воробьёв, Р. С. Сметанин

Анализ износа бандажей колесных пар электровозов 2ЭС10

UDC 629.423.14

A. A. Vorobyov, R. S. Smetanin

Analysis of 2ЭС10 electric locomotive wheelset binding bands wear

Аннотация

В статье рассматривается мониторинг состояния бандажей колесных пар электровозов с асинхронными тяговыми двигателями, и, поскольку это очень важный фактор в надежности всего электровоза в целом, полученные решения опираются на ее результаты. При анализе рассмотрены часто встречающиеся дефекты колесных пар и их естественный износ в процессе эксплуатации.

Электроподвижной состав работает в сложных условиях, которые воздействуют на характер износов и повреждений электрического и механического оборудования. Одна из основных задач – обеспечение надёжной работы различных технических средств, так как отказы в пути сбивают график движения, искажают ритм перевозочного процесса, а из-за этого происходит значительная потеря пропускной способности участков, что также снижает безопасность движения и ведет к большему экономическим потерям.

Оценка надежности – это комплекс мер, направленных на мониторинг состояния электровозов, базирующийся на реальных эксплуатационных данных. На основании этих данных можно увидеть максимально полную картину, проанализировать ее и скорректировать структуру ремонтного цикла данных электровозов.

В статье сделан акцент на анализе рисков, связанных с возможным образованием дефектов, неожиданно высоким износом, некорректным выбором структуры ремонтного цикла, методов и инструментов оценки надежности, некорректным нормативно-документационным обеспечением процедуры, некорректным ведением результатов замеров.

Ключевые слова: анализ износа бандажей, новые электровозы, естественный износ, критерии, методы и инструменты оценки, критерии оценки надежности электровозов с асинхронными двигателями.

DOI: 10.20291/2079-0392-2020-2-13-17

Abstract

The article focuses on monitoring of wheelset binding bands condition of electric locomotives with rotary-field traction motors and, since it is a very important factor in reliability of the electric locomotive by and large, the obtained decisions are based on its results. In analysis there were examined wheelset defects of common occurrence and their natural wear during exploitation.

The electric rolling stock works under complicated conditions which affect the nature of wear and electric and mechanical equipment damage. One of the main tasks is to ensure reliable operation of different machinery, as failures on track disorder the traffic schedule, distort the transportation rhythm, leading to considerable loss of throughput capacity of sections, which also reduces movement safety and results in great economic losses.

Reliability evaluation is a set of measures aimed at monitoring of condition of electric locomotives, which is based on real operational particulars. By virtue of these particulars one can see an ultimately complete picture, analyze it and correct the structure of repair cycle of electric locomotive particulars.

The article accentuates the analysis of risks, related to probable defects, unexpectedly high wear out, incorrect choice of repair cycle structure, ways and tools of reliability evaluation, incorrect statutory results of incorrect measurement.

Key words: analysis of binding bands wear, new electric locomotives, natural wear, criteria, ways and tools of evaluation, evaluation criteria of reliability of electric locomotives with rotary-field traction motors.

DOI: 10.20291/2079-0392-2020-2-13-17

Статья рекомендована к публикации А. П. Буйновым, д-ром техн. наук, профессором Уральского государственного университета путей сообщения. E-mail: byinovs@mail.ru.

Александр Алексеевич Воробьёв, д-р техн. наук, профессор; Российский университет транспорта (МИИТ); Москва, Россия. E-mail: vorobyov-a@yandex.ru. ORCID 0000-0002-7767-8114.

Руслан Сергеевич Сметанин, аспирант, Российский университет транспорта (МИИТ); Москва, Рос-сия. E-mail: smetanin.rus95@gmail.com. ORCID 0000-0002-6735-0844.

The article is recommended for publishing by A. P. Buinovs, Doctor of tech.sci., Professor, Ural state university of railway transport. byinovs@mail.ru.

Alexander Alexeyevich Vorobyov, Doctor of tech.sci., Professor; Russia's Transport university (MITE); Moscow, Russia. E-mail: vorobyov-a@yandex.ru. ORCID 0000-0002-7767-8114.

Ruslan Sergeyevich Smetanin, Post-graduate Student, Russia's Transport university (MITE); Moscow, Russia. E-mail: smetanin.rus95@gmail.com. ORCID 0000-0002-6735-0844.

Сложные условия работы электроподвижного состава влияют на характер износов и различных повреждений электрического и механического оборудования. Это, например, динамические нагрузки, обусловленные взаимодействием колёс с рельсовой колеёй при движении, попадание абразивных частиц в узлы трения, изменение температуры обмоток электрических тяговых машин из-за переменной нагрузки, широкий диапазон температуры окружающей среды в различные времена года, а также перепад влажности. Все это влияет на функционирование и износ электрического и механического оборудования локомотивов.

Ненадёжная работа различных технических средств может спровоцировать задержки, сбой графика движения, исказить ритм перевозочного процесса, теряться пропускная способность участков. Под надёжностью рассматривается свойство локомотива реализовывать заданные функции без существенного искажения эксплуатационных показателей в заранее определённых пределах в течение заданного времени в условиях эксплуатации. Надёжность локомотива определяется его безотказностью, сохраняемостью, долговечностью и ремонтпригодностью.

На базе анализа данных о фактическом техническом состоянии узлов локомотива можно определить ресурс рассматриваемого оборудования и частоту плановых ремонтов, чтобы не тратить лишние материальные средства и содержать весь локомотивный парк в должном техническом состоянии.

Проанализируем работу электровозов постоянного тока с асинхронными тяговыми двигателями 2ЭС10, а именно, износ бандажей колесных пар.

Для выявления дефектов колесные пары тщательно осматривают и обмеряют. Колесные пары должны полностью удовлетворять требованиям инструкции по освидетельствованию, формированию и ремонту колесных пар локомотивов и норм допусков и износов [1].

Электровозы 2ЭС10 эксплуатируются на Западно-Сибирской и Свердловской железных дорогах и работают в тяжелых условиях в широком диапазоне температур: от -55 до $+50$ °С; имеются эксплуатационные данные и некоторые характеристики по износу бандажей.

Проанализировав основные распределения, приходим к выводу, что характеристики распределения можно выразить через дисперсию и математическое ожидание, которые являются основными параметрами наиболее часто встречающегося нормального распределения. Параметры бета-распределения определяются теми же характеристиками, которые выражены в относительных единицах. Поэтому экстраполяцию процедуры изменения выбранных контролируемых параметров оснащения локомотивов, имеющих данные законы распределения, необходимо осуществлять при достаточно больших наработках на основе зависимостей необходимых числовых характеристик – среднего значения и σ_x – среднеквадратического отклонения, полученных при разных значениях наработки t .

Чтобы спрогнозировать процесс изнашивания деталей, полученные числовые характеристики $m_x(t)$ и $\sigma_x(t)$ экстраполируются в область высоких наработок. Принимаем, что износ контролируемых деталей должен оставаться в пределах участка нормальной эксплуатации, что достигается правильной установкой допуска на износ контролируемой детали. Разброс значений контролируемого параметра и линейная функция, описывающая их, представлены на рис. 1.

С увеличением наработки повышается вероятность того, что значение рассматриваемого контролируемого параметра выйдет за пределы допуска, установленного в нормативной документации. Выступ значений рассматриваемого контролируемого параметра за допуск рассматривается как отказ детали, износ которой он отражает.

Расчетным путем получены некоторые значения, на основании которых

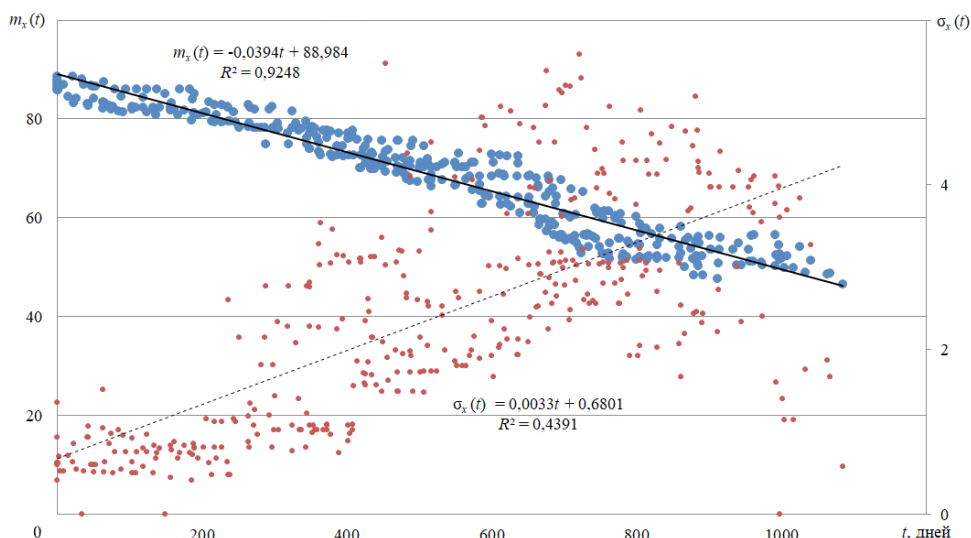


Рис. 1. Зависимости среднего значения и среднеквадратического отклонения контролируемого параметра (толщины бандажа) от наработки

построены необходимые характеристики. Построены законы распределения при различных фиксированных наработках, функция распределения ресурса бандажа колёсной пары и определены 90- и 95%-ные ресурсы (рис. 2). При анализе полученного графика видно, что 90%-ный ресурс составляет 989 дней, умножим количество дней на среднесуточный пробег локомотива (по полученным данным – 662 км), получаем что 90%-ный ресурс составляет примерно 655 тыс. км. Аналогично

определяем и 95%-ный ресурс, который составил 634 тыс. км

Таким образом, установлено, что ресурса бандажей по толщине не хватит, чтобы бандажи менялись только при достижении 800 тыс. км (ремонт ТР-3), следовательно, нужно уменьшить межремонтные пробеги. Функция распределения ресурса по толщине бандажа представлена на рис. 3.

Обоснована и экономическая эффективность уменьшения межремонтных пробегов (до ремонта ТР-3). Годовая

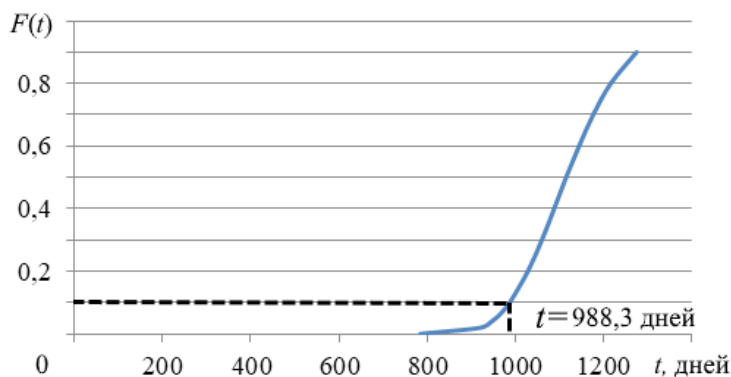


Рис. 2. Функция распределения ресурса по толщине бандажа

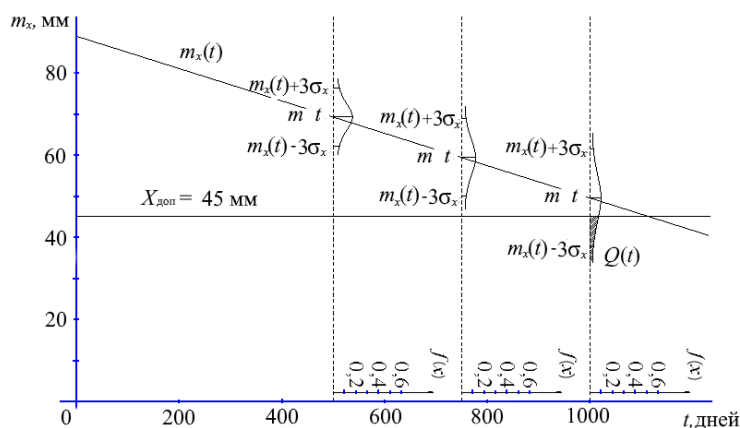


Рис. 3. Функции распределения ресурса по толщине бандажа при различных фиксированных наработках

стоимость плановых ремонтов снижается, не ухудшая надежности, что хорошо сказывается на экономике.

Выводы

Колесные пары локомотивов — одни из наиболее ответственных узлов, от которых напрямую зависит безопасность движения. Они, как правило, лимитируют межремонтные пробеги до ремонта ТР-3.

Каждый из рассмотренных методов имеет свои достоинства и недостатки; выбирать удобный метод нужно в зависимости от конкретной задачи. Применение этих методов полностью оправдывает себя и в дальнейшем позволяет без лишних усилий систематизировать данные, а на основании анализа можно сделать выводы о состоянии того или иного объекта.

Получены и рассмотрены технические характеристики электровоза 2ЭС10, проанализирована расчетная тяговая и тормозная характеристики,

рассмотрены характеристики двигателей, которые применяются на данном электровозе.

Для определения ресурса бандажей некоторых колёсных пар до смены рассматриваемых электровозов аппроксимированы зависимости числовых характеристик от наработки в область высоких наработок некоторыми линейными функциями. Для решения этой задачи использовался метод наименьших квадратов; определены функции распределения ресурса.

По полученным функциям распределения ресурса были найдены 90- и 95%-ные ресурсы до проведения обточки бандажей колёсных пар по данным, собранным с различных депо. Было установлено, что ресурс до смены колёсных пар составляет 600 тыс. км, что ниже установленного нормативной документацией значения для электровозов 2ЭС10 800 тыс. км. Следовательно, для электровозов 2ЭС10 целесообразно установить межремонтные пробеги — 600 тыс. км — до ТР-3. ■

Литература

1. Красковская С. Н., Ридель Э. Э., Черепашенцев Р. Г. Текущий ремонт и техническое обслуживание электровозов постоянного тока. М. : Транспорт, 1989. 408 с.
2. Вентцель Е.С. Теория вероятностей. М. : Наука, 1982. 576 с.
3. Статистические методы повышения качества / под ред. Хитоси Кумэ ; Пер. с англ. — М. : Финансы и статистика, 1990. 304 с.
4. Деминг Э. Лекция перед японскими менеджерами // Методы менеджмента качества, 2000. № 10. 24 с.

5. Крагельский И. В. Трение и износ. М. : Машиностроение, 1968. 480 с.
6. Крагельский И. В. Основы расчетов на трение и износ. М. : Машиностроение, 1977. 526 с.
7. Сидоров Н. И., Сидорова Н. Н. Как устроен и работает электровоз. М. : Транспорт, 1988. – 5-е изд. перераб. и доп. – 223 с.
8. Крылов В. И., Крылов В. В., Автоматические тормоза подвижного состава : учебник для учащихся техникумов железнодорожного транспорта. – М. : Транспорт, 1983. – 360 с.
9. Калинин В. К. Электровозы и электропоезда. М. : Транспорт, 1991. 480 с.
10. Механическая часть подвижного состава : Учебник для вузов ж.-д. трансп. / под ред. И. В. Бирюкова. – М. : Транспорт, 1992. 440 с.
11. Раков В. А. Локомотивы и моторвагонный подвижной состав. М. : Транспорт, 1979. 213 с.
12. Кузьмич В. Д., Пахомов Э. К., Русаков Г. М., Бородулин И. П. Тепловозы. – М. : Транспорт, 1979. – 540 с.
13. Костюковский М. А. Управление электропоездом и его обслуживание. М. : Транспорт, 1980. 208 с.
14. Гаскаров Д. В., Мозголевский А. В. Техническая диагностика «непрерывные объекты». М. : Высшая школа, 1975. 207 с.

Literature

1. Kraskovskaya S. N., Ridel E. E., Cherepashenets R. G. Running repairs and technical maintenance of DC electric locomotives [Tekushchiy remont i tekhnicheskoe obsluzhivanie elektrovozov postoyannogo toka. M. : Transport]. M. : Transport, 1989, 408 p.
2. Ventsel E. S. Theory of probabilities. M.: Nauka [Teoriya veroyatnostey. M. : Nauka], 1982. 576 p.
3. Statistical methods of quality improvement / edited by Hitoshi Kumai: Transl. from Engl. – M. : Finance and statistics [Statisticheskie metody povysheniya kachestva / pod red. Hitosi Kume ; Per. s angl. – M. : Finansy i statistika], 1990. 304 p.
4. Deming E. Lecture for Japanese managers // Methods of quality management, 2000 [Lektsiya pered yaponskimi menedzherami // Metody menedzhmenta kachestva]. № 10. 24 p.
5. Kragelski I. V. Friction and wear. M.: Mechanical Engineering [Trenie i iznos. M. : Mashinostroenie], 1968. 480 p.
6. Kragelski I. V. Fundamentals of calculations for friction and wear. M. : Mechanical Engineering [Osnovy raschetov na trenie i iznos. M. : Mashinostroenie], 1977. 526 p.
7. Sidorov N. I., Sidorova N. N. How an electric locomotive is made up and operated. M. : Transport [Kak ustroen i rabotaet elektrovoz. M. : Transport], 1988. – 5th edition, updated and revised. – 223 p.
8. Krylov V. I., Krylov V. V. Automatic brakes of the rolling stock: textbook for railway technical school students. – M. : Transport [Avtomaticheskie tormoza podvizhnogo sostava : uchebnik dlya uchashchihsya tekhnikumov zheleznodorozhnogo transporta. – M. : Transport], 1983. – 360 p.
9. Kalinin V. K. Electric locomotives and trains. M. : Transport [Elektrovozy i elektropoezda. M. : Transport], 1991. 480 p.
10. The rolling stock machinery: Textbook for railway higher schools. / edited by I. V. Biryukova. – M. : Transport [Mekhanicheskaya chast' podvizhnogo sostava : Uchebnik dlya vuzov zh.-d. transp. / pod red. I. V. Biryukova. – M. : Transport], 1992. 440 p.
11. Rakov V. A. Locomotives and motorcar rolling stock. M. : Transport [Lokomotivy i motorvagonnyy podvizhnoy sostav. M. : Transport], 1979. 213 p.
12. Kuzmich V. D., Pakhomov E. K., Rusakov G. M., Borodulin I. P. Diesel locomotives [Teplovozy. – M. : Transport]. – M. : Transport, 1979. – 540 p.
13. Kostyukovski M. A. The electric train control and its maintenance. M. : Transport [Upravlenie elektropoezdom i ego obsluzhivanie. M. : Transport], 1980. 208 p.
14. Gaskarov D. V., Mozgolevski A.V. Technical diagnostics «uninterrupted objects». M. : Higher school [Tekhnicheskaya diagnostika «neprevyvnnye ob"ekty». M. : Vysshaya shkola], 1975. 207 p.

Статья сдана в редакцию 18 марта 2020 года

УДК 621.43.001.53

А. В. Гриценко, К. В. Глемба, Д. Б. Власов

Исследование характеристик электрических топливных насосов бензиновых двигателей при имитации основных неисправностей топливной системы

UDC 621.43.001.53

A. V. Gritsenko, K. V. Glemba, D. B. Vlasov

Investigation of electrical fuel – injection pump characteristics of petrol engines in simulation of basic fuel system problems

Аннотация

Техническое состояние электрических топливных насосов автомобилей с бензиновым типом двигателя оценивалось с использованием многофакторного эксперимента, основанного на тестовых режимах диагностирования. Существуют две основные неисправности в топливной системе, связанные с поступающим объемом топлива в топливную рампу двигателя: засоренность, при которой топливу затруднено движение к рампе и далее к форсункам,

износ элементов в насосной части (из-за увеличивающегося зазора между роликами и корпусом топливного насоса топливо переливается в бак, то есть не поступает в систему в достаточном объеме).

Проведенные исследования показали, что в первом случае неисправности топливной системы силовая цепь насоса усиленно потребляет силу тока величиной в 4,6 А в зависимости от степени засоренности. Такой уровень тока необходим для поддержания высоких

оборотов элементов насосной части, благодаря которым насос пытается продавить необходимый объем топлива в топливную рампу, создавая необходимое давление в 310 кПа.

Во втором случае топливо тоже не поступает в нужном количестве в рампу, но сила тока при этом невелика (даже меньше номинального значения). Так, например, при самых больших утечках топлива она равна 2,5 А при напряжении питания 12,5 В.

Представлены результаты и методика обработки

Статья рекомендована к публикации А. Г. Возмиловым, д-ром техн. наук, профессором Южно-Уральского государственного университета. E-mail: vozmilov1944@mail.ru.

Александр Владимирович Гриценко, д-р техн. наук, профессор; кафедра «Автомобильный транспорт» ФГАОУ ВО «Южно-Уральский государственный университет (НИУ)»; профессор кафедры «Эксплуатация машинно-тракторного парка» ФГБОУ ВО «Южно-Уральский государственный аграрный университет». Челябинск, Россия. E-mail: alexgrits13@mail.ru, ORCID 0000-0002-7652-7912.

Константин Вячеславович Глемба, канд. техн. наук, доцент; кафедра «Автомобильный транспорт» ФГАОУ ВО «Южно-Уральский государственный университет (НИУ)»; доцент кафедры «Эксплуатация машинно-тракторного парка» ФГБОУ ВО «Южно-Уральский государственный аграрный университет». Челябинск, Россия. E-mail: glemba77@mail.ru, ORCID ID 0000-0001-7212-5388.

Дмитрий Борисович Власов, ассистент; кафедра «Технология и организация технического сервиса» ФГБОУ ВО «Южно-Уральский государственный аграрный университет». Челябинск, Россия. E-mail: dimon.vlasoff2012@yandex.ru, ORCID ID 0000-0003-2580-0429.

The article is recommended for publishing by A. G. Vozmilov, Doctor of tech.sci., Professor, South-Ural state technicaln university. E-mail: vozmilov1944@mail.ru.

Alexander Vladimirovich Gritsenko, Doctor of tech. science, Professor, «Motor transport» Chair, «South Ural state university»; Professor, «Operation of machine and tractor fleet, and technology and mechanization of livestock breeding» Chair, South Ural state agrarian university; Chelyabinsk, Russia. E-mail: alexgrits13@mail.ru, ORCID 0000-0002-7652-7912.

Konstantin Vyacheslavovich Glemba, Cand.of tech. science, Associate Professor, «Motor transport» Chair, «South Ural state university»; Associate Professor, «Operation of machine and tractor fleet, and technology and mechanization of livestock breeding» Chair, South Ural state agrarian university; Chelyabinsk, Russia. E-mail: glemba77@mail.ru.

Dmitry Borisovich Vlasov, Assistant, «Technology and organization of technical service» Chair, South Ural state agrarian university. Chelyabinsk, Russia. E-mail: dimon.vlasoff2012@yandex.ru, ORCID ID 0000-0003-2580-0429.

экспериментальных данных при помощи программы MathCAD. Материалы статьи применимы для научно-исследовательских, ремонтных, автообслуживающих организаций при определении технического состояния топливных насосов низкого давления (в том числе установленных на двигателях с микропроцессорной системой управления).

Ключевые слова: электрический топливный насос, топливная система, топливная рампа, засоренность фильтров и топливопровода, износ.

DOI: 10.20291/2079-0392-2020-2-18-27

Abstract

Technical state of electrical fuel-injection pumps of automobiles with petrol engines was evaluated with application of a multiple

factor experiment, based on diagnostics test modes. There exist two main problems in the fuel system, connected with the fuel volume being injected into the fuel rail: clogging when the fuel flow to the rail and next to nozzles is hindered, wear out of elements in the pump part (due to an increasing clearance space between fuel-injection pump pulleys and casing the fuel flows over the tank, i.e., does not enter the system in sufficient volume).

The studies showed that in the first case of fuel system problems the pump power circuit draws the current 4,6 A persistently depending on clogging extent. Such current rate is necessary for keeping high rotations of the pump elements, helping the pump to push through the necessary fuel volume into the fuel rail, making the essential pressure 310 кПа.

In the second case the fuel does not enter the rail in sufficient amount either, but the current rate here is small (even smaller than the nominal reading). For example, in the largest fuel leakage it equals 2,5 A, power voltage being 12,5 V.

The results and methods of experimental data treatment with MathCAD application are presented. The article materials are applicable for research, repair, technical maintenance organizations when they estimate technical state of fuel-injection low-pressure pumps (including those which are installed on engines with microprocessor control system).

Key words: electrical fuel-injection pump, fuel system, fuel rail, clogging of filters and fuel pipe, wear out.

DOI: 10.20291/2079-0392-2020-2-18-27

Изучение причин неисправности и отказов в системе питания автомобиля с бензиновым типом двигателя показало, что одним из возможных источников служит электрический топливный насос (ЭТН). Наиболее частая неисправность ЭТН и причина его преждевременного выхода из строя заключаются в загрязнении топливных каналов крупными и мелкими частицами, что способствует износу. Причинами функциональных неисправностей и повреждений ЭТН также может быть загрязненное или смешанное с водой топливо, вызывающее половину отказов в работе системы питания двигателя [1, 2]. Загрязнение воздействует поразному: забивание фильтров, уменьшение объема подачи, повышение уровня шума, работа насоса всухую, блокирование ротора – все это может привести к остановке двигателя [3]. Дифференцированное исследование процесса подачи топлива позволит выявить причины и закономерности изменения

параметров работы ЭТН (объем подачи топлива Q (л/ч), давление в топливной системе P (кПа), силы тока в цепи питания I (А), напряжение питания U (В)) [4, 5]. Определить засоренность топливной системы или утечек топлива в насосе [6] можно при помощи работы ЭТН на тестовых режимах [7, 8], не характерных для его работы, где могут проявиться какие-либо отклонения в показаниях приборов. Исследованиями по определению засоренности и утечек в топливной системе никто не занимался. Цель исследований – повышение работоспособности и безотказности функционирования ЭТН бензиновых двигателей внутреннего сгорания за счет выявления неисправностей методом тестового диагностирования на разных режимах, которые могли бы привести к выходу его из строя.

Рассмотрим элементы топливной системы бензинового двигателя, состоящей из бака, фильтра грубой очистки (ФГО), ЭТН, фильтра тонкой очистки

(ФТО), топливопровода, рампы, регулятора давления с форсунками, обратного топливопровода в виде функциональной схемы (рис. 1).

Многофакторный эксперимент проводился на двигателе ЗМЗ-406.2 с роликовым топливным насосом, установленным снаружи топливного бака [9–12]. В разрыв топливных патрубков для имитации износа насоса и засоренности фильтров и патрубков устанавливались одновременно параллельный и последовательный жиклеры с разными диаметрами сечения, мм [13]: 1,0 – параллельное включение; 0,3, 0,7 и 1,2 – последовательное включение жиклеров в схему. Сымитированы утечки через насос и засоренность топливных фильтров и патрубков [14–17]. Лабораторным блоком питания задавали несколько параметров напряжения на клеммах ЭТН, В: 6,5, 9,5 и 12,5 [18, 19]. Для контроля, создаваемого насосом давления, в схеме устанавливался манометр МТ-2А. При испытании было достаточно одной минуты, чтобы ЭТН создал

неизменяющееся давление в топливной системе [20]. Каждую минуту фиксировались установившиеся значения силы тока, давления и объема утекаемой жидкости [21, 22]. Варьируемыми параметрами при проведении многофакторного эксперимента были выбраны напряжение питания ЭТН U (В), величина диаметров $J_{\text{пар}}$ и $J_{\text{пос}}$ (мм) жиклеров разных сечений, при параллельной и последовательной установках в функциональную схему (см. рис. 1). За неварьируемые параметры принимались установившиеся значения силы тока в цепи питания ЭТН I (А), давления топливоподдачи P (кПа) после мест установки жиклеров в топливной магистральной, величина утечки топлива Q (см³/мин).

Для решения задач регрессии по результатам исследований использовалась функция Minerr в программе MathCAD 14. В результате были получены уравнения (1)–(3) и графики связи этих параметров (рис. 2–7). Ввод количества интервалов, на которые

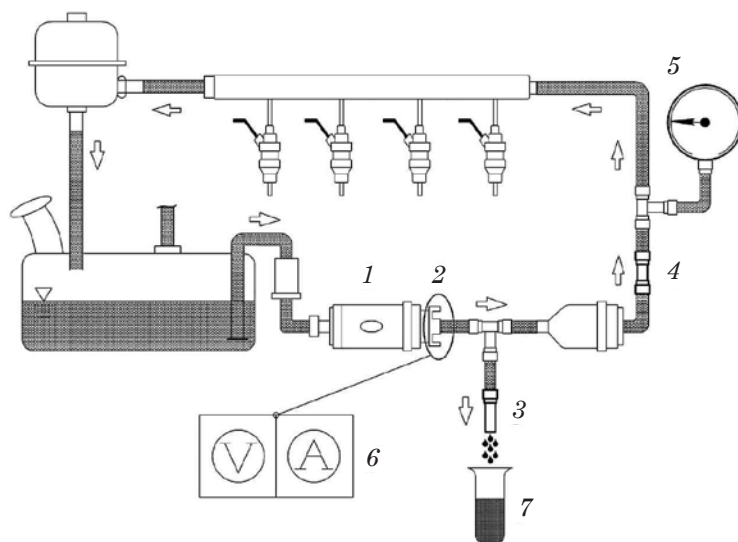


Рис. 1. Схема проведения экспериментальных исследований с установкой жиклеров параллельного и последовательного типов для имитации износа насоса и засоренности фильтров и патрубков

- 1 – топливный насос; 2 – разъем для подключения питания ЭТН;
3, 4 – жиклеры параллельной и последовательной установки, соответственно;
5 – манометр; 6 – лабораторный блок питания; 7 – мензурка

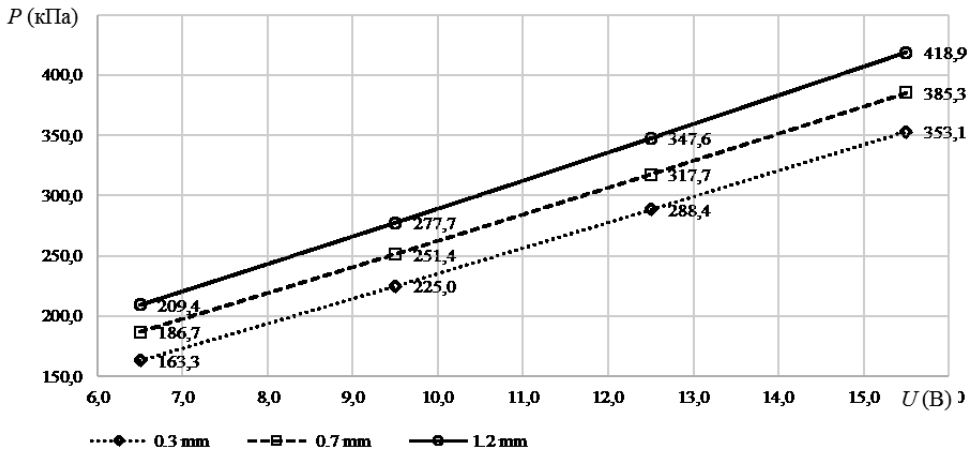


Рис. 2. Зависимость изменения давления P (кПа) от величины напряжения U (В) питания ЭТН при параллельном жиклере $J_{\text{пар}}$ (1 мм) и ряда последовательных $J_{\text{пос}}$ (0,3 мм, 0,7 мм и 1,2 мм)

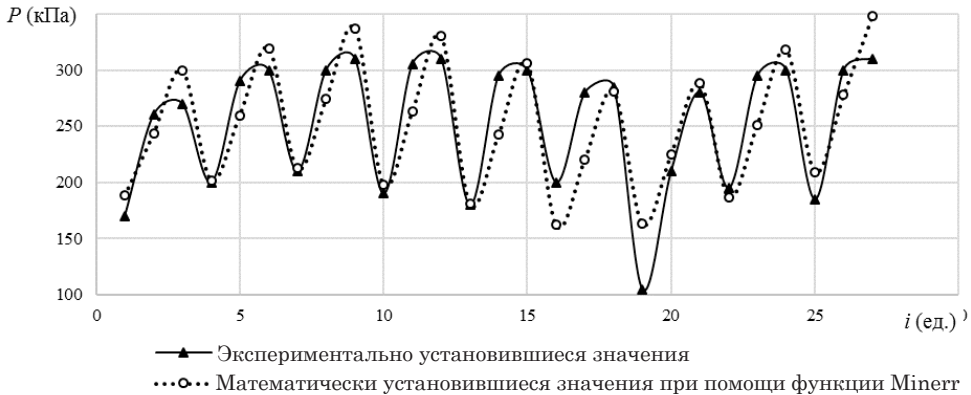


Рис. 3. Значения давления P (кПа), полученные в ходе экспериментальных исследований с числом повторностей от 1 до 27

разбивается выборка: $i := 1...27$. Ввод варьируемых и неварьируемых параметров в каждый из интервалов приведен в выборке [23, 24].

В результате обработки данных эксперимента в программе MathCAD для параметра давления P (кПа) были построены графические зависимости (рис. 2, 3) и получено уравнение регрессии (1):

$$P(U, Z_{\text{пар}}, Z_{\text{пос}}) := 12,76U^{1,1} + 39,66Z_{\text{пар}}^{-0,4} - 0,31Z_{\text{пос}}^{-2,54} + 2,63UZ_{\text{пар}} + 2,42UZ_{\text{пос}} + 28,38Z_{\text{пар}}Z_{\text{пос}}, \quad (1)$$

где P – давление топливоподачи в топливной системе после жиклеров, кПа

(установившийся параметр); U – установленное лабораторным блоком питания напряжение в электрической цепи ЭТН, В (входящий параметр); $Z_{\text{пар}}$, $Z_{\text{пос}}$ – диаметры калиброванных отверстий жиклеров параллельного и последовательного типа, мм (входящие параметры).

Исследования показали, что с увеличением диаметра сечения жиклера последовательного соединения повышается и давление топливоподачи в топливной системе, которое составило 418 кПа при последовательном жиклере $J_{\text{пос}} = 1,2$ мм (см. рис. 2). С увеличением сечения жиклера параллельного соединения давление в топливной системе

снизились до 163 кПа при $J_{\text{пар}} = 1$ мм (см. рис. 2). В результате оба типа жиклеров с условным сечением сильно влияют на давление в топливной системе [25, 26].

В результате обработки данных эксперимента для значений утечек Q (см³/мин) построены графические зависимости (рис. 4, 5) и получено уравнение регрессии (2), где отчетливо видно, что с увеличением сечения жиклеров

параллельного соединения значительно возрастают утечки топлива:

$$Q(U, Z_{\text{пар}}, Z_{\text{пос}}) := -1,31U^{1,78} + 268,43Z_{\text{пар}}^{2,69} - 0,955 \cdot Z_{\text{пос}}^{-3,56} + 53,71UZ_{\text{пар}} + 9,27UZ_{\text{пос}} - 436,11Z_{\text{пар}}Z_{\text{пос}}, \quad (2)$$

где Q – утечки топлива в топливной системе через параллельный жиклер, см³/мин (установившийся параметр).

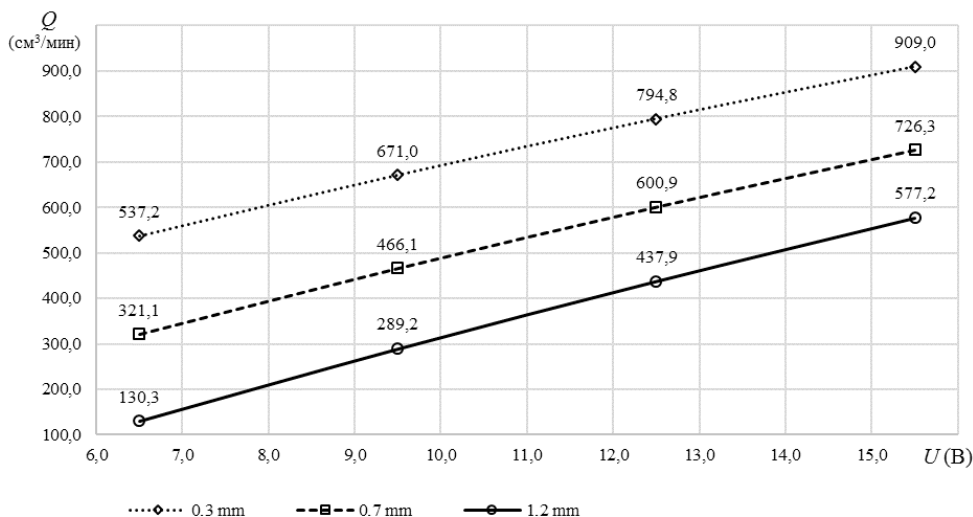


Рис. 4. Зависимость изменения объема утечек топлива Q (см³/мин) от величины напряжения U (В) питания ЭТН при параллельном жиклере $J_{\text{пар}}$ (1 мм) и ряда последовательных $J_{\text{пос}}$ (0,3, 0,7 и 1,2 мм)



Рис. 5. Значения объема утечек топлива Q (см³/мин), полученные в ходе экспериментальных исследований с числом повторностей i (ед.) от 1 до 27

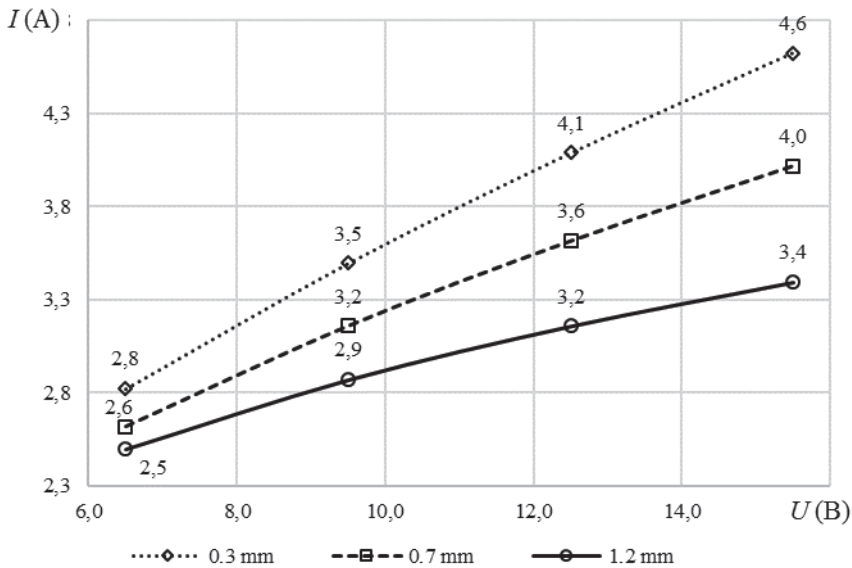


Рис. 6. Зависимость изменения силы тока потребления I (А) от величины напряжения U (В) питания ЭТН при параллельном жиклере $J_{\text{пар}}$ (1 мм) и ряда последовательных $J_{\text{пос}}$ (0,3, 0,7 и 1,2 мм)

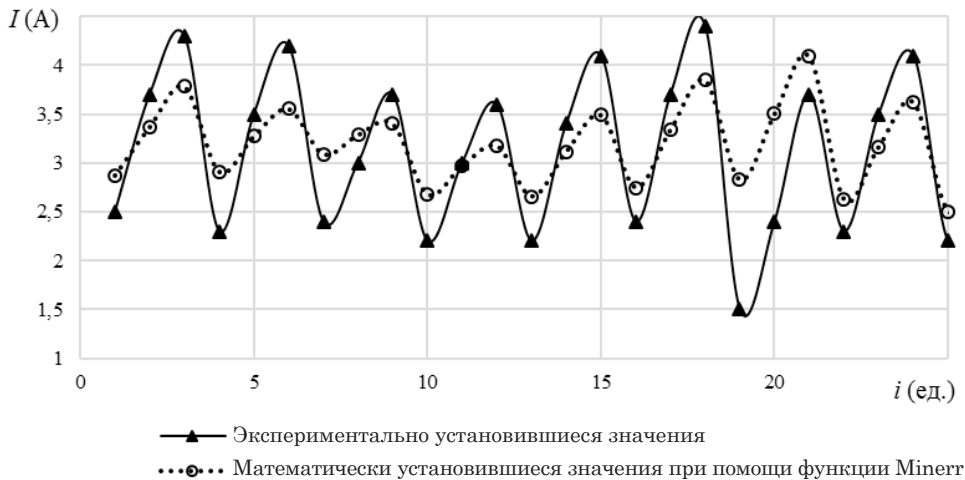


Рис. 7. Значения установившихся значений силы тока I (А), полученные в ходе экспериментальных исследований с числом повторностей i (ед.) от 1 до 27

Максимальное значение утечек составляет $909 \text{ см}^3/\text{мин}$ при $J_{\text{пар}} = 1 \text{ мм}$ (рис. 4). Показатель именно параллельного жиклера оказывает основное влияние на параметр утечек топлива.

В результате обработки данных эксперимента для значений установившейся силы тока I (А) построены

графические зависимости (рис. 6, 7) и получено уравнение регрессии (3):

$$I(U, Z_{\text{пар}}, Z_{\text{пос}}) := U^{0,52} + 0,01Z_{\text{пар}}^{-1,64} - 0,88Z_{\text{пос}}^{1,39} + 0,07UZ_{\text{пар}} - 0,11UZ_{\text{пос}} - 0,7Z_{\text{пар}}Z_{\text{пос}}, \quad (3)$$

где I – сила тока потребления в цепи питания ЭТН в зависимости от присутствующих утечек и сопротивления, A (установившийся параметр).

Анализ исследований показал, что с уменьшением сечения жиклера последовательного соединения затрудняется движение жидкости, из-за чего значительно возрастает сила тока потребления ЭТН (до 4,6 А при жиклере $J_{\text{пос}} = 1,2$ мм) (рис. 6). Величина силы тока в цепи питания ЭТН оказывает основное влияние на установившийся ток потребления. С увеличением же сечения жиклера параллельного соединения уменьшается сила тока; в самом начале работы ЭТН снижалась до значений в 2,5 А при жиклере $J_{\text{пар}} = 1$ мм (рис. 6).

В результате исследований проведен многофакторный эксперимент для оценки технического состояния ЭТН автомобилей с бензиновым ДВС, который основан на тестовых режимах диагностирования. При помощи установки жиклеров последовательного и параллельного типов соединений произведена имитация утечки топлива через зазоры между роликом и корпусом в результате износа ЭТН и засоренности элементов топливной системы. Экспериментальные

исследования показали, что величина силы тока в цепи питания ЭТН оказалась наиболее чувствительным диагностическим параметром при определении гидравлического сопротивления в топливной системе. Так, при имитированном сопротивлении значительно возрастает сила тока в цепи питания ЭТН до 4,6 А, при этом не может установиться нормативное давление топливоподачи (310 кПа). При искусственно имитированных утечках топлива также не достигалось нормативное давление в 310 кПа, а сила тока в самом начале работы ЭТН снижалась до 2,5 А при параллельном жиклере диаметром в 1 мм. Чувствительным диагностическим параметром при имитации степени износа ЭТН является величина количества утечек, которая достигла максимального значения в 1005 см³/мин также при параллельном жиклере диаметром в 1 мм.

Проведенные исследования позволяют рекомендовать использовать этот метод определения технического состояния ЭТН на станциях сервиса автомобиля, так как он основывается на принципе безразборной диагностики топливной системы бензиновых двигателей, используя тестовые режимы диагностирования. ■

Литература

1. De Cesare M., Parotto M., Covassin F. and Sgatti S. Electric Low Pressure Fuel Pump Control for Fuel Saving // SAE Technical Paper 2013-01-0339, 2013. ISSN 0148-7191.
2. Fávero C., de Souza L., Pacheco F. and Pereira M. Corrosion on Electric Fuel Pump Housing at Durability Test in Test Bench // SAE Technical Paper 2013-36-0622, 2013. ISSN 0148-7191.
3. Гриценко А. В., Бакайкин Д. Д., Куков С. С. Способ диагностирования системы топливоподачи двигателей внутреннего сгорания легковых автомобилей // Вестник ЧГАА, 2011. Т. 59. С. 30–32.
4. Гриценко А. В., Куков С. С. Определение эффективности использования средств технического диагностирования с учетом частоты отказов систем ДВС // Вестник ЧГАА, 2012. Т. 60. С. 45–48.
5. Гриценко А. В., Куков С. С. Разработка эффективных средств и методов диагностирования двигателей внутреннего сгорания автомобилей // Вестник ЧГАА, 2011. Т. 58. С. 111–117.
6. Плаксин А. М., Гриценко А. В., Лукомский К. И., Волынкин В. В. Разработка методов тестового диагностирования работоспособности систем топливоподачи и смазки двигателей внутреннего сгорания // Аграрный вестник Урала, 2014. № 7 (125). С. 53–58. ISSN 1997-4868.
7. Гриценко А. В., Цыганов К. А. Диагностирование электрических бензонасосов автомобилей // Механизация и электрификация сельского хозяйства, 2013. № 4. С. 22–23. ISSN 0206-572X.

8. Гриценко А. В., Глемба К. В., Ларин О. Н., Бакайкин Д. Д., Куков С. С. Разработка метода и средства диагностирования электробензонасосов системы топливоподачи ДВС // Транспорт: наука, техника, управление, 2015. №1. С. 40–44. ISSN 0236-1914.
9. Häntsche J., Krause G., Velji A. and Spicher U. High Pressure Fuel Pump for Gasoline Direct Injection based on Ceramic Components // SAE Technical Paper 2005-01-2103, 2005. ISSN 0148-7191.
10. Sarkar S., Kumar S., Singhal A., Kohli S. et al. Common Design of Jet Pump for Gasoline and Diesel Based Vehicles // SAE Technical Paper 2015-01-0458, 2015. ISSN 0148-7191.
11. Kunkel R. New Fuel Pump Technology // SAE Technical Paper 1999-01-0331, 1999. ISSN 0148-7191.
12. Felton G. Compact Rotary Spill Pump with Electronic Control for High Speed Direct Injection Engines // SAE Technical Paper 960865, 1996. ISSN 0148-7191.
13. Гриценко А. В., Плаксин А. М., Цыганов К. А. Разработка тестовых систем диагностирования мобильных энергетических средств // АПК России, 2013. Т. 65. С. 9–19.
14. Rovai F., Ferrarese A. and Sinatora A. Electrical Automotive Fuel Pump Resistance Against E60 Gasoline-Ethanol Blend // SAE Technical Paper 2004-01-3277, 2004. ISSN 0148-7191.
15. Stola F., Paolino D., Parotto M. and Troina F. Electric Feed Pump Simulation and Control for Fuel Saving and System Cost Reduction // SAE Technical Paper 2015-24-2421, 2015. ISSN 0148-7191.
16. Ferreira A., Galhardo A., Busani R. and de Souza R. Development of 1D Simulation Model of Electric Fuel Pump for Flex-Fuel Application // SAE Technical Paper 2016-36-0135, 2016. ISSN 0148-7191.
17. Edward R., Radu R. and Mircea Z. Simulation of the Behavior of a Flow Control Device for the High Pressure Fuel Injection Pump of a Spark Ignition Engine // SAE Technical Paper 1999-01-0562, 1999. ISSN 0148-7191.
18. Пат. РФ № 2418190. Способ диагностирования системы топливоподачи двигателя. Оpubл. 10.05.11. Бюл. №13.
19. Пат. РФ № 2477384. Способ диагностирования электробензонасосов системы топливоподачи автомобиля. Оpubл. 10.03.13. Бюл. № 7.
20. Плаксин А. М., Гриценко А. В., Глемба К. В., Бакайкин Д. Д., Хвостов С. П., Абросимов Д. А., Цыганов К. А., Власов Д. Б. Диагностирование электрических бензиновых насосов по комплексным выходным параметрам // Фундаментальные исследования, 2014. № 1 (часть 12). С. 2610–2614. ISSN 1812-7339.
21. Гриценко А. В., Плаксин А. М. Диагностирование системы питания автомобилей // Механизация и электрификация сельского хозяйства, 2014. № 1. С. 24–26. ISSN 0206-572X.
22. Плаксин А. М., Гриценко А. В., Глемба К. В., Бакайкин Д. Д., Хвостов С. П., Абросимов Д. А., Цыганов К. А., Власов Д. Б. Диагностирование электромагнитных форсунок по изменению качественного состава топливной смеси // Фундаментальные исследования, 2014. – №11. – Ч. 11. – С. 2380–2384. ISSN 1812-7339.
23. Гриценко А. В. Диагностирование систем двигателя внутреннего сгорания бестормозным методом с перераспределением цилиндрических нагрузок // Вестник ЧГАА, 2011. Т. 58. С. 108–110.
24. Гриценко А. В., Куков С. С. Диагностирование систем ДВС на тестовых статических режимах // Вестник ЧГАА, 2012. Т. 61. С. 31–38.
25. Гриценко А. В., Глемба К. В., Ларин О. Н., Бакайкин Д. Д., Куков С. С. Новый метод, средство и программная среда для тестирования ЭМФ автомобиля // Известия ВолгГТУ ; Серия «Процессы преобразования энергии и энергетические установки», 2014. № 18 (145). Т. 18. С. 53–56. ISSN 1990-5297.
26. Глемба К. В., Гриценко А. В., Ларин О. Н. Совершенствование методов, средств и процессов тестового диагностирования систем ДВС // Известия ВолгГТУ, серия «Процессы преобразования энергии и энергетические установки», 2014. №18(145). Т. 18. С. 49–52. ISSN 1990-5297.

Literature

1. De Cesare M., Parotto M., Covassin F. and Sgatti S. Electric Low Pressure Fuel Pump Control for Fuel Saving // SAE Technical Paper 2013-01-0339, 2013. ISSN 0148-7191.

2. Fávero C., de Souza L., Pacheco F. and Pereira M. Corrosion on Electric Fuel Pump Housing at Durability Test in Test Bench // SAE Technical Paper 2013-36-0622, 2013. ISSN 0148-7191.
3. Gritsenko A. V., Bakakaikin D. D., Kukov S. S. Diagnostics technique for automobile internal combustion engine fuel injection system // Herald of ChSAA [Sposob diagnostirovaniya sistemy toplivopodachi dvigatelya vnutrennego sgoraniya legkovykh avtomobiley // Vestnik ChGAA], 2011. V. 59. P. 30–32.
4. Gritsenko A., Kukov S. Determining of technical diagnostics tools efficiency with consideration of ICE systems failure rate // Herald of ChSAA [Opredelenie effektivnosti ispol'zovaniya sredstv tekhnicheskogo diagnostirovaniya s uchetom chastoty otkazov sistem DVS // Vestnik ChGAA], 2012. V. 60. P. 45–48.
5. Gritsenko A., Kukov S. Development of effective means and methods of diagnostics of internal combustion engines // Herald of ChSAA [Razrabotka effektivnykh sredstv i metodov diagnostirovaniya dvigatelya vnutrennego sgoraniya avtomobiley // Vestnik ChGAA], 2011. V. 58. P. 111–117.
6. Plaksin A. M., Gritsenko A. V., Lukomsky K. I., Volynkin V. V. Development of diagnostics test techniques of internal combustion engine fuel injection and lubrication system performance // Agrarian Herald of the Urals [Razrabotka metodov testovogo diagnostirovaniya rabotosposobnosti sistem toplivopodachi i smazki dvigatelya vnutrennego sgoraniya // Agrarniy vestnik Urala], 2014. № 7 (125). P. 53–58. ISSN 1997-4868.
7. Gritsenko A. V., Tsyganov K. A. Diagnostics of automobile electrical petrol pumps // Mechanization and electrification of agriculture [Diagnostirovanie elektricheskikh benzonasosov avtomobiley // Mekhanizatsiya i elektrifikatsiya sel'skogo hozyaystva], 2013. № 4. P. 22–23. ISSN 0206-572X.
8. Gritsenko A. V., Glemba K. V., Larin O. N., Bakakaikin D. D., Kukov S.S. Development of diagnostics technique and tools of ICE fuel injection system of electrical petrol engines // Transport: science, management [Razrabotka metoda i sredstva diagnostirovaniya elektrobazonasosov sistemy toplivopodachi DVS // Transport: nauka, tekhnika, upravlenie], 2015. № 1. P. 40–44. ISSN 0236-1914.
9. Häntsche J., Krause G., Velji A. and Spicher U. High Pressure Fuel Pump for Gasoline Direct Injection based on Ceramic Components // SAE Technical Paper 2005-01-2103, 2005. ISSN 0148-7191.
10. Sarkar S., Kumar S., Singhal A., Kohli S. et al. Common Design of Jet Pump for Gasoline and Diesel Based Vehicles // SAE Technical Paper 2015-01-0458, 2015. ISSN 0148-7191.
11. Kunkel R. New Fuel Pump Technology // SAE Technical Paper 1999-01-0331, 1999. ISSN 0148-7191.
12. Felton G. Compact Rotary Spill Pump with Electronic Control for High Speed Direct Injection Engines // SAE Technical Paper 960865, 1996. ISSN 0148-7191.
13. Gritsenko A. V., Plaksin A. M., Tsyganov K. A. Development of diagnostics test systems of mobile power tools // APC of Russia [Razrabotka testovykh sistem diagnostirovaniya mobil'nykh energeticheskikh sredstv // APK Rossii], 2013. V. 65. P. 9–19.
14. Rovai F., Ferrarese A. and Sinatora A. Electrical Automotive Fuel Pump Resistance Against E60 Gasoline-Ethanol Blend // SAE Technical Paper 2004-01-3277, 2004. ISSN 0148-7191.
15. Stola F., Paolino D., Parotto M. and Troina F. Electric Feed Pump Simulation and Control for Fuel Saving and System Cost Reduction // SAE Technical. P. 2015-24-2421, 2015. ISSN 0148-7191.
16. Ferreira A., Galhardo A., Busani R. and de Souza R. Development of 1D Simulation Model of Electric Fuel Pump for Flex-Fuel Application // SAE Technical. P. 2016-36-0135, 2016. ISSN 0148-7191.
17. Edward R., Radu R. and Mircea Z. Simulation of the Behavior of a Flow Control Device for the High Pressure Fuel Injection Pump of a Spark Ignition Engine // SAE Technical Paper 1999-01-0562, 1999. ISSN 0148-7191.
18. Pat. RF № 2418190. Diagnostics technique of engine fuel injection system [Pat. RF № 2418190. Sposob diagnostirovaniya sistemy toplivopodachi dvigatelya]. Publ. 10.05.11. Bul. № 13.
19. Pat. RF № 2477384. A diagnostics technique of automobile fuel injection system electric feed petrol pumps [Pat. RF № 2477384. Sposob diagnostirovaniya elektrobazonasosov sistemy toplivopodachi avtomobilya]. Publ. 10.03.13. Bul. № 7.

20. Plaksin A. M., Gritsenko A. V., Glemba K. V., Bakakaikin D. D., Khvostov S. P., Abrosimov D. A., Tsyganov K. A., Vlasov D. B. Diagnostics of electric feed petrol engines by integrated output parameters // Fundamental investigations [Diagnostirovanie elektricheskikh benzinovykh nasosov po kompleksnym vyhodnym parametram // Fundamental'nye issledovaniya], 2014. № 1 (Part 12). P. 2610–2614. ISSN 1812-7339.
21. Gritsenko A. V., Plaksin A. M. Diagnostics of automobile feeding system // Mechanization and electrification of agriculture [Diagnostirovanie sistemy pitaniya avtomobiley // Mekhanizatsiya i elektrifikatsiya sel'skogo hozyaystva], 2014. № 1. P. 24–26. ISSN 0206-572X.
22. Plaksin A. M., Gritsenko A. V., Glemba K. V., Bakakaikin D. D., Khvostov S. P., Abrosimov D. A., Tsyganov K. A., Vlasov D. B. Diagnostics of electromagnetic nozzles by fuel qualitative change // Fundamental investigations [Diagnostirovanie elektromagnitnykh forsunok po izmeneniyu kachestvennogo sostava toplivnoy smesi // Fundamental'nye issledovaniya], 2014. – № 11. – P. 11. – P. 2380–2384. ISSN 1812-7339.
23. Gritsenko A. Diagnostics of internal combustion engine systems through non-brake method with redistribution of cylindric load // Herald of ChSAA [Diagnostirovanie sistem dvigatelya vnutrennego sgoraniya bestormoznym metodom s pereraspredeleniem tsilindrovyykh nagruzok // Vestnik ChGAA]. 2011. V. 58. P. 108–110.
24. Gritsenko A., Kukov S. Diagnostics of ICE systems under test static modes // Herald of ChSAA [Diagnostirovanie sistem DVS na testovykh staticheskikh rezhimakh // Vestnik ChGAA], 2012. V. 61. P. 31–38.
25. Gritsenko A. V., Glemba K. V., Larin O. N., Bakakaikin D. D., Kukov S. S. A new method, tool and software environment for testing EMF automobile // VolgSTU Bulletin, series «Energy transformation and power equipment processes» [Noviy metod, sredstvo i programmaya sreda dlya testirovaniya EMF avtomobilya // Izvestiya VolgGTU, seriya «Protsessy preobrazovaniya energii i energeticheskie ustanovki»], 2014. № 18 (145). V. 18. P. 53–56. ISSN 1990-5297.
26. Glemba K. V., Gritsenko A. V., Larin O. N. Development of methods, tools and processes of ICE test diagnostics systems // VolgSTU Bulletin, series «Energy transformation and power equipment processes» [Sovershenstvovanie metodov, sredstv i protsessov testovogo diagnostirovaniya sistem DVS // Izvestiya VolgGTU, seriya «Protsessy preobrazovaniya energii i energeticheskie ustanovki»], 2014. № 18. P. 49–52. ISSN 1990-5297.

Статья сдана в редакцию 29 апреля 2020 года

УДК 621.83.062.1

В. Б. Держанский, С. В. Черепанов, А. А. Волков

Метод исследования динамики управляемой механической бесступенчатой передачи с упругим элементом и механизмом свободного хода

UDC 621.83.062.1

V. B. Derzhansky, S. V. Cherepanov, A. A. Volkov

Investigation technique for dynamics of operative mechanical continuously variable transmission with a resilient member and free-wheel mechanism

Аннотация

Механические бесступенчатые передачи обладают высоким потенциалом по преобразованию крутящего момента, способны обеспечить существенные технико-экономические преимущества при их использовании в приводах технологических и других машин, что делает актуальными исследования в этой области.

В настоящей работе представлен механико-математический метод, позволяющий проводить исследования динамических процессов, проходящих при функционировании управляемой механической бесступенчатой передачи с упругим элементом и механизмом свободного

хода, который позволяет передавать крутящий момент к ведомому валу только в одном направлении.

Цель работы состоит в разработке математической модели механической системы, определяющей динамическую нагруженность элементов передачи. Представлена расчетная схема передачи, в соответствии с которой построена математическая модель на основе уравнения Лагранжа второго рода с неопределенными множителями. При составлении математической модели динамической системы принят ряд допущений. В частности, не учтена возможность возбуждения резонансных режимов в упругой

системе. Кроме того, не учтены нелинейности характеристик механизмов свободного хода, а также гистерезисные потери энергии в режиме включения-выключения и существенные затраты мощности в выключенных механизмах. В дальнейшем необходимо проведение экспериментальных исследований по уточнению динамики передачи.

По результатам имитационного моделирования получены закономерности, определяющие динамические моменты на элементах передачи. Результаты исследования могут быть использованы для построения выходной характеристики передачи, ее согласования с двигателем

Статья рекомендована к публикации А. В. Сириным, канд. техн. наук, доцентом Уральского государственного университета путей сообщения. E-mail: ASirin@usurt.ru.

Виктор Борисович Держанский, д-р техн. наук, профессор; Институт машиноведения УрО РАН, Екатеринбург, Россия; Курганский государственный университет; Курган, Россия. E-mail: dvb_47@mail.ru. ORCID 0000-0003-1043-8340.

Сергей Витальевич Черепанов, канд. техн. наук, научный сотрудник; Институт машиноведения УрО РАН; Екатеринбург, Россия. E-mail: sv_cherepanov@mail.ru.

Александр Александрович Волков, Институт машиноведения УрО РАН; Екатеринбург, Россия, E-mail: al_volkov14@mail.ru. ORCID 0000-0002-3111-6562.

The article is recommended for publishing by A. V. Sirin, Cand. of tech. sci., Associate Professor, Ural state university of railway transport. E-mail: ASirin@usurt.ru.

Victor Borisovich Derzhansky, Doctor of tech. sci., Institute of Machine Science, Ural branch, Russia's Academy of Sciences, Russia; Kurgan state university; Kurgan, Russia. E-mail: dvb_47@mail.ru. ORCID 0000-0003-1043-8340.

Sergey Vitalievich Cherepanov, Cand. of tech. sci., Institute of Machine Science, Ural branch, Russia's Academy of Sciences, Yekaterinburg, Russia. E-mail: sv_cherepanov@mail.ru.

Alexander Alexandrovich Volkov, Institute of Machine Science, Ural branch, Russia's Academy of Sciences, Yekaterinburg, Russia. E-mail: al_volkov14@mail.ru. ORCID 0000-0002-3111-6562.

и прогнозирования эксплуатационных свойств приводов различного технологического оборудования.

Ключевые слова: бесступенчатая передача, импульсный механизм, математическая модель, дифференциальные уравнения, торсионный вал, механизм свободного хода.

DOI: 10.20291/2079-0392-2020-2-28-34

Abstract

Mechanical continuously variable transmissions have high potential for torque conversion, are capable of providing significant technical and economic advantages when used in shafts of technological and other machines, this making investigations in this area to be pertinent.

This paper represents a mechanical and mathematical technique, which enables to do research of dynamic processes,

that occur in functioning of mechanical continuously variable transmission with a resilient member and free-wheel mechanism, making it possible to transmit torque to a driven shaft only in the same direction.

The objective of this paper is to work out a mathematical model of the mechanical system, which determines dynamic force of transmission elements. Computational model of transmission is shown, in obedience to which there was built a mathematical model based on Lagrange equation of second kind with undetermined multipliers. A set of assumptions was made on working out the dynamic system mathematical model. In particular, possibility of excitation of resonant modes in a resilient member was not considered. Moreover, nonlinearity of free-wheel mechanisms was not con-

sidered as well as hysteresis losses of energy in on-off use cycle and significant capacity costs in disconnected machinery. In future it is necessary to carry out experimental investigations in order to make transmission dynamics more exact.

By the results of simulation modeling regularities were obtained which determine dynamic moments on transmission elements. The results of the investigation may be used for making an output characteristic of transmission, its adaptation with the motor and forecasting of operational features of shafts of different technological equipment.

Key words: continuously variable transmission, flashing unit, mathematical model, differential equations, torsion shaft, free-wheel mechanism.

DOI: 10.20291/2079-0392-2020-2-28-34

Идея создания бесступенчатых передач возникла уже в начале XX в. Известны три основных вида бесступенчатых передач: механические, электрические, гидравлические. Преимущество механических бесступенчатых передач заключается в том, что трансформация механической энергии механическими устройствами без промежуточного преобразования энергии может быть осуществлена с меньшими потерями. Исследованиям механических бесступенчатых передач посвящены работы [1, 2], вопросам разработки механизмов свободного хода, их динамической нагруженности – работы [3, 4].

В настоящей статье рассматривается механическая бесступенчатая передача (трансформатор момента) с колебательным движением промежуточного звена. Передача может использоваться в приводах машин небольшой мощности с тепловыми или асинхронными электродвигателями в таких приводах

различного технологического оборудования, как ленточные транспортеры, смесители и т.п. [5].

Расчетная схема нагружения исследуемой бесступенчатой передачи при рассмотрении одного потока приведена на рис. 1.

Механическая бесступенчатая передача включает в себя:

- импульсный механизм, кривошип O_1A которого соединен с маховиком двигателя J_1 ;
- механизм свободного хода (МСХ) с дополнительными рабочими поверхностями [6], установленный между выходным звеном (коромыслом BO_2) импульсного преобразователя с приведенным моментом инерции J_2 и входным концом торсионного вала J_3 ;
- ведомый вал передачи с приведенным моментом инерции J_4 .

В рассматриваемой передаче преобразование момента производится путем использования колебательного

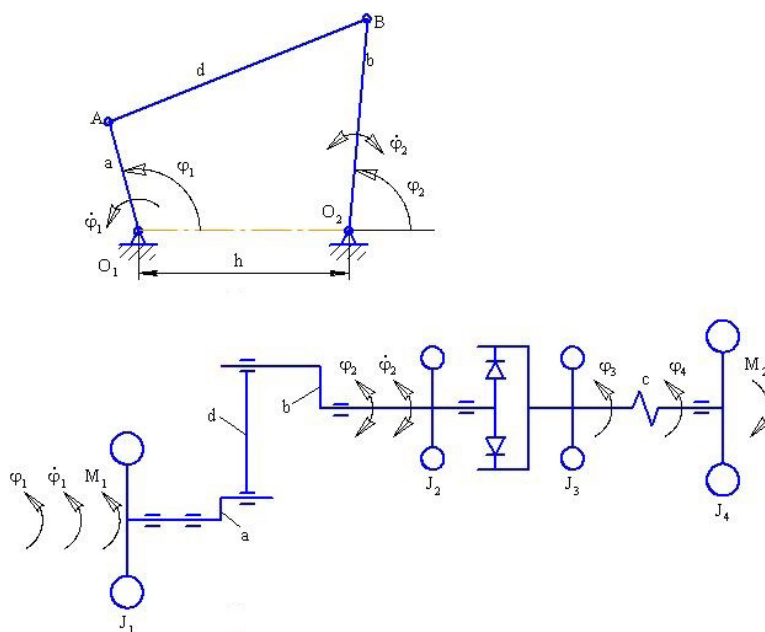


Рис. 1. Расчетная схема нагружения бесступенчатой передачи

J_1 – приведенный момент инерции двигателя и связанных с ним ведущих частей системы; J_2 – момент инерции выходного звена преобразователя и ведущих частей МСХ; J_3 – приведенный момент инерции ведомых частей МСХ; J_4 – приведенный момент инерции ведомых частей механической системы; a, b, d и h – геометрические параметры импульсного механизма; c – жесткость торсионного вала

движения промежуточного звена (коромысла BO_2), которое затем преобразуется во вращение выходного вала с помощью механизма свободного хода. МСХ включен и передает на ведомый вал J_4 импульс момента при условии, что коромысло BO_2 движется в направлении вращения входного конца торсионного вала J_3 (прямой импульс). Обратный импульс, при котором направление движения коромысла BO_2 противоположно вращению входного конца торсионного вала J_3 , на ведомый вал J_4 не передается потому, что МСХ в этот момент выключен. Управление передачей осуществляется путем изменения длины кривошипа O_1A , что приводит к изменению амплитуды колебаний коромысла BO_2 . Механизм управления кривошипом O_1A в настоящей работе не рассматривается. За счет податливости упругого элемента (торсионного вала) трансформатор момента приобретает

свойство внутренней автоматичности при изменении режима нагружения ведомого вала. Принцип работы такой передачи рассмотрен в работах [5, 6].

Таким образом, для исследования динамики импульсной передачи реальная механическая система представлена 4-массовой расчетной физической моделью (см. рис. 1).

Составим на основе аналитических уравнений Лагранжа II рода с неопределенными множителями, опираясь на принятую физическую модель и математическую модель движения механической системы. Необходимость включения неопределенных множителей Лагранжа вызвана сложностью получения в явном виде аналитического выражения, показывающего изменение угла поворота коромысла (обобщенной координаты φ_2) в зависимости от угла поворота вала двигателя φ_1 (то есть в виде $\varphi_2 = f(\varphi_1)$). Взаимосвязь обобщенных

координат φ_1 и φ_2 определяется следующим уравнением голономной связи:

$$\begin{aligned} f(\varphi_1, \varphi_2) = & a^2 + b^2 + h^2 - d^2 - \\ & - 2 \cdot a \cdot h \cdot \cos(\varphi_1) + \\ & + 2 \cdot b \cdot h \cdot \cos(\varphi_2) - \\ & - 2 \cdot a \cdot b \cdot \cos(\varphi_1 - \varphi_2) = 0. \end{aligned} \quad (1)$$

Уравнение голономной связи (1) получено путем представления всех звеньев механизма в виде замкнутого векторного контура с дальнейшим составлением уравнений проекций векторов контура, что после соответствующих алгебраических преобразований приводит к получению искомого выражения.

Для голономных систем уравнения Лагранжа с неопределенными множителями имеют вид [3]

$$\frac{d}{dt} \left(\frac{\partial L}{\partial \dot{q}_i} \right) - \frac{\partial L}{\partial q_i} = Q_i + \sum_{k=1}^m \lambda_k \cdot \frac{\partial f_{ki}}{\partial q_i}, \quad (2)$$

где L – функция Лагранжа; q_i и \dot{q}_i – обобщенная координата и ее производная по времени; f_k – уравнение k -й геометрической связи, наложенной на i -ю обобщенную координату; λ_k – неопределенный множитель Лагранжа k -й геометрической связи; Q_i – составляющая обобщенной силы, действующая в направлении вариации обобщенной координаты δq_i .

Элементарная работа всех внешних сил, приложенных к точкам рассматриваемой системы на виртуальных перемещениях δq_i этих точек, определяется равенством

$$\delta A = Q_1 \delta q_1 + Q_2 \delta q_2 + \dots + Q_n \delta q_n.$$

Для рассматриваемой механической системы выражение виртуальной работы будет иметь вид

$$\delta A = M_1 \delta \varphi_1 - M_2 \delta \varphi_4, \quad (3)$$

где $Q_1 = M_1$ и $Q_4 = -M_2$ – составляющие обобщенной силы (имеющей размерность момента), равные соответственно моментам двигателя и сил

сопротивления и приложенные к ведущему и ведомому валу импульсной передачи; $\delta \varphi_1$ и $\delta \varphi_4$ – виртуальные вариации обобщенных координат.

Функция Лагранжа есть разность кинетической T и потенциальной Π энергий системы [7]:

$$L = T - \Pi.$$

С учетом вышесказанного для исследуемой механической системы функция Лагранжа будет иметь следующую форму:

$$\begin{aligned} L = & \frac{1}{2} \cdot J_1 \cdot \dot{\varphi}_1^2 + \frac{1}{2} \cdot J_2 \cdot \dot{\varphi}_2^2 + \\ & + \frac{1}{2} \cdot J_3 \cdot \dot{\varphi}_3^2 + \frac{1}{2} \cdot J_4 \cdot \dot{\varphi}_4^2 - \\ & - \frac{1}{2} \cdot c \cdot (\varphi_3 - \varphi_4)^2. \end{aligned} \quad (4)$$

Первый участок цикла работы передачи характерен тем, что МСХ включен и его ведущие и ведомые части движутся совместно. При этом $\varphi_2 = \varphi_3$, $\dot{\varphi}_2 = \dot{\varphi}_3$. С учетом этого уравнение геометрической связи тоже преобразится:

$$\begin{aligned} f_1(\varphi_1, \varphi_3) = & a^2 + b^2 + h^2 - d^2 - \\ & - 2 \cdot a \cdot h \cdot \cos(\varphi_1) + 2 \cdot b \cdot h \cdot \cos(\varphi_3) - \\ & - 2 \cdot a \cdot b \cdot \cos(\varphi_1 - \varphi_3) = 0. \end{aligned} \quad (5)$$

Используя уравнения Лагранжа (2), выражения (3), (4), а также уравнение связи (5), получим следующую систему дифференциальных уравнений движения, описывающих динамику передачи на первом участке цикла, когда МСХ включен:

$$\begin{cases} J_1 \cdot \ddot{\varphi}_1 = M_1 + 2 \cdot A_1 \cdot \lambda; \\ (J_2 + J_3) \cdot \ddot{\varphi}_3 + c(\varphi_3 - \varphi_4) = -2 \cdot A_2 \cdot \lambda; \\ J_4 \cdot \ddot{\varphi}_4 - c(\varphi_3 - \varphi_4) = -M_2, \end{cases} \quad (6)$$

где A_1 , A_2 – вспомогательные функции; $A_1 = a \cdot h \cdot \sin(\varphi_1) + a \cdot b \cdot \sin(\varphi_1 - \varphi_3)$; $A_2 = b \cdot h \cdot \sin(\varphi_3) + a \cdot b \cdot \sin(\varphi_1 - \varphi_3)$.

Для исключения неопределенного множителя Лагранжа λ умножим правые и левые части первого уравнения системы (6) на коэффициент A_3 , второго уравнения системы (6) – на коэффициент A_1 и сложим их. Тогда получим систему из двух уравнений:

$$\begin{cases} \ddot{\phi}_1 \cdot J_1 \cdot A_2 + \ddot{\phi}_3 \cdot (J_2 + J_3) \cdot A_1 = \\ = M_1 \cdot A_2 - A_1 \cdot c(\phi_3 - \phi_4); \\ J_4 \cdot \ddot{\phi}_4 - c(\phi_3 - \phi_4) = -M_2. \end{cases} \quad (7)$$

Но двух уравнений в системе (7) недостаточно, так как число обобщенных координат равно трём. В качестве недостающего третьего уравнения будет использоваться вторая производная по времени от уравнения геометрической связи (5):

$$\begin{aligned} & \ddot{\phi}_1 \cdot [a \cdot h \cdot \sin(\phi_1) + a \cdot b \cdot \sin(\phi_1 - \phi_3)] - \\ & - \ddot{\phi}_3 \cdot [b \cdot h \cdot \sin(\phi_3) + a \cdot b \cdot \sin(\phi_1 - \phi_3)] = \\ & = -\dot{\phi}_1^2 \cdot a \cdot h \cdot \cos(\phi_1) + \dot{\phi}_3^2 \cdot b \cdot h \cdot \cos(\phi_3) - \\ & - (\dot{\phi}_1 - \dot{\phi}_3)^2 \cdot a \cdot b \cdot \cos(\phi_1 - \phi_3). \end{aligned} \quad (8)$$

Введем обозначения:

$$B_1 = M_1 \cdot A_2 - A_1 \cdot c(\phi_3 - \phi_4);$$

$$\begin{aligned} B_2 = & -\dot{\phi}_1^2 \cdot a \cdot h \cdot \cos(\phi_1) + \\ & + \dot{\phi}_3^2 \cdot b \cdot h \cdot \cos(\phi_3) - \\ & - (\dot{\phi}_1 - \dot{\phi}_3)^2 \cdot a \cdot b \cdot \cos(\phi_1 - \phi_3). \end{aligned}$$

С учетом принятых обозначений, системы уравнений (6) и второй производной по времени от уравнения связи (8) математическая модель движения импульсной передачи на участке цикла, когда включен МСХ, запишется так:

$$\begin{cases} \ddot{\phi}_1 \cdot J_1 \cdot A_2 + \ddot{\phi}_3 \cdot (J_2 + J_3) \cdot A_1 = B_1; \\ \ddot{\phi}_1 \cdot A_1 - \ddot{\phi}_3 \cdot A_2 = B_2; \\ \ddot{\phi}_4 \cdot J_4 - c(\phi_3 - \phi_4) = -M_2. \end{cases} \quad (9)$$

МСХ обеспечивают кинематическое условие, по которому скорость их ведомых частей $\dot{\phi}_3$ может быть больше, но не может быть меньше скорости ведущих частей $\dot{\phi}_2$, связанных с коромыслом

BO_2 , то есть $\dot{\phi}_3 \geq \dot{\phi}_2$. При этом торсионы закручиваются до некоторой максимальной величины в начале, затем, в конце первого участка цикла, раскручиваются до нуля. Но в любом случае угол закрутки торсионов $\phi_{\text{зак}} = \phi_3 - \phi_4$ не может быть отрицательным, то есть $\phi_3 \geq \phi_4$. Таким образом, условием окончания первого участка цикла является отсутствие закрутки торсионного вала, то есть $\phi_{\text{зак}} = 0$.

На втором участке цикла происходит выключение МСХ. Механическая система разделяется на две независимые подсистемы:

– подсистема на входе, включающая маховик двигателя J_1 , коромысло BO_2 и ведущие части МСХ J_2 ;

– подсистема на выходе, включающая ведомые части МСХ J_3 и ведомый вал механической системы J_4 .

Система уравнений движения подсистемы на входе в импульсную передачу примет вид

$$\begin{cases} J_1 \cdot \ddot{\phi}_1 = M_1 + 2 \cdot A_3 \cdot \lambda; \\ J_2 \cdot \ddot{\phi}_2 = -2 \cdot A_4 \cdot \lambda, \end{cases} \quad (10)$$

где A_3, A_4 – вспомогательные функции; $A_3 = a \cdot h \cdot \sin(\phi_1) + a \cdot b \cdot \sin(\phi_1 - \phi_2)$; $A_4 = b \cdot h \cdot \sin(\phi_2) + a \cdot b \cdot \sin(\phi_1 - \phi_2)$.

Первое уравнение математической модели подсистемы на входе получим путем исключения неопределенного множителя Лагранжа λ из системы уравнений (10) описанным выше способом. Второе уравнение получим путем двойного дифференцирования по времени уравнения геометрической связи (3):

$$\begin{cases} \ddot{\phi}_1 \cdot J_1 \cdot A_4 + \ddot{\phi}_2 \cdot J_2 \cdot A_3 = M_1 \cdot A_4; \\ \ddot{\phi}_1 \cdot A_3 - \ddot{\phi}_2 \cdot A_4 = C_2, \end{cases} \quad (11)$$

$$\begin{aligned} \text{где } C_2 = & -\dot{\phi}_1^2 \cdot a \cdot h \cdot \cos(\phi_1) + \\ & + \dot{\phi}_2^2 \cdot b \cdot h \cdot \cos(\phi_2) - \\ & - (\dot{\phi}_1 - \dot{\phi}_2)^2 \cdot a \cdot b \cdot \cos(\phi_1 - \phi_2). \end{aligned}$$

Математическая модель подсистемы на выходе будет иметь следующий вид:

$$\begin{cases} J_3 \cdot \ddot{\varphi}_3 = -c(\varphi_3 - \varphi_4); \\ J_4 \cdot \ddot{\varphi}_4 = c(\varphi_3 - \varphi_4) - M_2. \end{cases} \quad (12)$$

Второй участок цикла заканчивается при кинематическом условии $\dot{\varphi}_3 \geq \dot{\varphi}_2$.

Численное моделирование системы

Из-за существенной нелинейности полученных уравнений (9), (11) и (12) их решение возможно только с исполь-

зованием ЭВМ. Численным методом Рунге – Кутты получено решение этих систем уравнений для установившегося режима движения передачи. Получена характеристика, определяющая изменение угла закрутки торсиона за цикл (рис. 2) при передаточном отношении трансформатора $i = \dot{\varphi}_4 / \dot{\varphi}_1 = 0,25$; на рис. 3 представлены графики изменения угловых скоростей звеньев передачи.

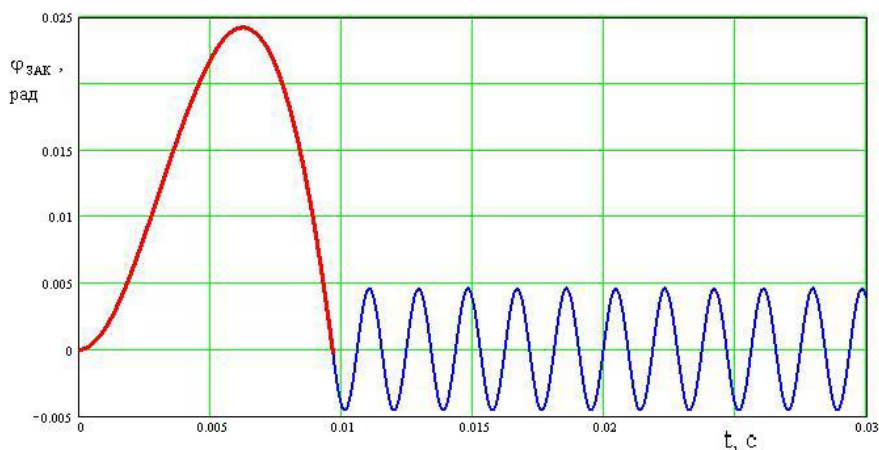


Рис. 2. Изменение угла закрутки торсиона за цикл

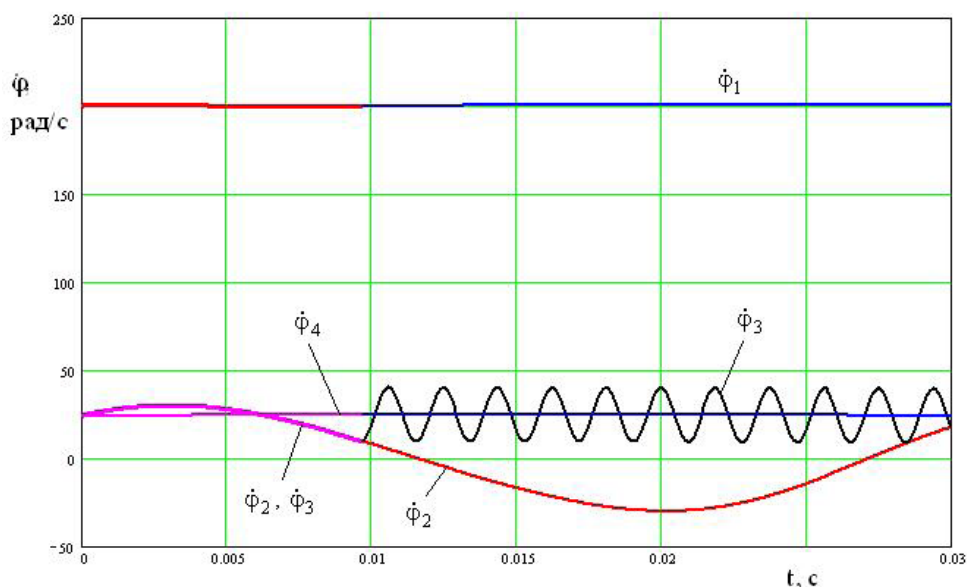


Рис. 3. Изменение угловых скоростей звеньев передачи за цикл

Заключение

Математическая модель движения управляемой механической бесступенчатой передачи с упругим элементом, представленная системой дифференциальных уравнений (9), (11) и (12),

решается численным методом Рунге – Кутты с минимальной погрешностью. Адекватность математической модели может быть проверена сравнением результатов экспериментальных исследований импульсной передачи. ■

Литература

1. Алюков С. В. Внешняя характеристика инерционной бесступенчатой передачи с повышенной нагрузочной способностью // Вестник машиностроения. 2014. № 4. С. 40–43. ISSN 0042-4633.
2. Алюков С. В. Методика расчета механизма свободного хода релейного типа // Вестник машиностроения. 2014. № 6. С. 36–40, ISSN 0042-4633.
3. Sharkov O. V., Kalinin A. V. Kinematic characteristics of pulsed speed regulators // Russian Engineering Research. 2009. V. 29. № 6. P. 551–554. ISSN 1068-798X.
4. Золотов И. А., Шарков О. В. Экспериментальное исследование радиальной деформации внешней обоймы роликовых механизмов свободного хода // Известия высших учебных заведений. Машиностроение. 2018. № 1 (694). С. 19–25. ISSN 0536-1044.
5. Черепанов С. В. Динамика инерционной импульсной механической бесступенчатой передачи с упругим звеном : автореф. ... на соиск. уч. ст. канд. техн. наук. – Курган : Редакционно-издательский центр КГУ, 2005. – 21 с.
6. Благовраов А. А. Механические бесступенчатые передачи. Екатеринбург : УрО РАН, 2004. 204 с.

Literature

1. Alyukov S. V. External characteristic of inertia continuously variable transmission with increased load capacity // Herald of Mechanical Engineering [Vneshnyaya harakteristika inertsionnoy besstupenchatoy peredachi s povyshennoy nagruzochnoy sposobnost'yu // Vestnik mashinostroeniya]. 2014. № 4. P. 40–43. ISSN 0042-4633.
2. Alyukov S. V. Methods of calculation of relay-type free-wheel mechanism // Herald of Mechanical Engineering [Metodika rascheta mekhanizma svobodnogo hoda releynogo tipa // Vestnik mashinostroeniya]. 2014. № 6. P. 36–40, ISSN 0042-4633.
3. Sharkov O. V., Kalinin A. V. Kinematic characteristics of pulsed speed regulators // Russian Engineering Research. 2009. V. 29. № 6. P. 551–554. ISSN 1068-798X.
4. Zolotov I. A., Sharkov O. V. Experimental investigation of radial deformation of free-wheel roller mechanism outer race // Proceedings of higher schools. Mechanical Engineering [eksperimental'noe issledovanie radial'noy deformatsii vneshney oboymy rolikovyh mekhanizmov svobodnogo hoda // Izvestiya vysshih uchebnyh zavedeniy. Mashinostroenie]. 2018. № 1 (694). P. 19–25. ISSN 0536-1044.
5. Cherepanov S. V. Dynamics of inertia pulsed mechanical continuously variable transmission with resilient member : published summary of a dissertation for ... Cand. of tech. sci. degree. – Kurgan : Kurgan technical university printing and publications centre [Dinamika inertsionnoy impul'snoy mekhanicheskoy besstupenchatoy peredachi s uprugim zvenom : avtoref. ... na soisk. uch. st. kand. tekhn. nauk. – Kurgan : Redaktsionno-izdatel'skiy tsentr KGU], 2005. – 21 p.
6. Blagonravov A. A. Mechanical continuously variable transmissions. Yekaterinburg : Ural branch, Russia's Academy of sciences [Mekhanicheskie besstupenchatye peredachi. Yekaterinburg : UrO RAN], 2004. 204 p.

Статья сдана в редакцию 20 февраля 2020 года

Управление в технических системах

УДК 658.5.011

А. А. Комяков

Нормирование и прогнозирование расхода топливно-энергетических ресурсов в производственных процессах на железнодорожном транспорте с использованием информационных технологий

UDC 658.5.011

A. A. Komyakov

Norm setting and forecasting of consumption of fuel and power resources in operative processes on railway transport through information technology

Аннотация

В статье отражены вопросы совершенствования системы нормирования и прогнозирования расхода энергоресурсов за счет совершенствования научных и методологических принципов повышения эффективности функционирования ресурсосберегающих производственных систем железнодорожного транспорта, к которым относится переход от методов управления процессом использования топливно-энергетических ресурсов от достигнутого уровня энергопотребления к методам, предполагающим разработку и применение математических моделей расхода энергоресурсов

и совершенствование организационной структуры управления процессами использования топливно-энергетических ресурсов на железнодорожном транспорте в части делегирования полномочий по разработке проектов заданий по экономии энергоресурсов на уровень филиалов и линейных структурных подразделений.

Предложен алгоритм, описывающий принципы организации процесса прогнозирования расхода топливно-энергетических ресурсов (ТЭР) на железнодорожном транспорте, в том числе регламент взаимодействия структурных подразделений ОАО «РЖД» по формированию заданий по

экономии ТЭР в неперевозочных видах деятельности и порядок формирования годового плана по экономии ТЭР. В качестве методологической основы прогнозирования расхода ТЭР на уровне структурных подразделений предложена усовершенствованная методика на основе искусственных нейронных сетей (ИНС).

Планировать задания по экономии ТЭР предлагается на уровне филиалов и структурных подразделений ОАО «РЖД» на основе разработанного порядка формирования заданий филиалам ОАО «РЖД» по экономии ТЭР.

Ключевые слова: железнодорожный транспорт, прогнозирование, потенциал

Статья рекомендована к публикации В. Т. Черемисиным, д-ром техн. наук, профессором Омского государственного университета путей сообщения. E-mail: cheremisinvt@gmail.com.

Александр Анатольевич Комяков, канд. техн. наук, доцент; Омский государственный университет путей сообщения; Омск, Россия. E-mail: tskom@mail.ru. ORCID 0000-0002-1960-3018.

The article is recommended for publishing by V.T.Cheremisin, Doctor of tech. sci., Professor, Omsk state university of railway transport. E-mail: cheremisinvt@gmail.com.

Alexander Anatolievich Komyakov, Cand. of tech. sci., Associate Professor; Omsk state university of railway transport; Omsk, Russia. E-mail: tskom@mail.ru. ORCID 0000-0002-1960-3018.

экономии, топливно-энергетические ресурсы, алгоритм.

DOI: 10.20291/2079-0392-2020-2-35-43

Abstract

The article reflects issues of improvement of norm setting and forecasting of power resources consumption through improvement of scientific and methodological principles of efficiency enhancement of railway resource-saving operating systems, they including transition from operational methods of fuel and power resources consumption, from the achieved level of power consumption to the methods which imply elaboration and application of

mathematical models of power resources and development of organizational structure of control over railway fuel and power resources with reference to delegation of authority in development of projects related to power resources at the level of subsidiaries and linear subdivisions.

The algorithm was suggested which describes principles of organization of forecasting of fuel and power resources (FPR) on railway transport, including regulations of interaction of RZD JSC structural subdivisions in setting tasks to save FPR in non-traction work and making an yearly plan for FPR cost-effectiveness. The advanced methods

on the basis of artificial neural networks (ANN) were suggested as methodological foundation of FPR consumption forecasting on the level of structural subdivisions.

We suggest that planning of tasks for FPR cost-effectiveness should be made at the level of RZD JSC subsidiaries and structural subdivisions on the basis of developed procedure of task setting to RZD JSC subsidiaries related to FPR cost-effectiveness.

Key words: railway transport, forecasting, cost-effectiveness potential, forecasting, fuel and power resources, algorithm.

DOI: 10.20291/2079-0392-2020-2-35-43

В 2016 г. актуализирована энергетическая стратегия ОАО «РЖД», в соответствии с которой одна из ключевых задач – качественное улучшение структуры управления энергетическим комплексом холдинга, в частности, за счет развития инструментария динамического нормирования и прогнозирования расхода ТЭР [1]. Этот вопрос широко проработан отечественными и зарубежными исследователями [2–7], однако есть области потенциального развития, связанные с повышением точности прогнозирования применительно к производственному процессу в неперевозочных видах деятельности железнодорожного транспорта.

В ОАО «РЖД» применяется метод планирования потребления ТЭР «от достигнутого уровня» [8]. Планирование расхода ТЭР идет по цепочке: структурные подразделения (СП) – региональные дирекции – филиалы – сеть дорог.

По обратной цепочке формируются задания по экономии ТЭР. В соответствии с действующей системой бюджетного управления ОАО «РЖД», департамент экономики ежегодно формирует задания по экономии ТЭР для

филиалов, реализуемые за счет средств этих филиалов.

Исследования показывают, что погрешность планирования расхода ТЭР на уровне СП и региональных дирекций значительна [9]. Например, при планировании расхода дизельного топлива на нетяговые нужды филиалов в границах Западно-Сибирской железной дороги на 2017 г. результирующая погрешность составила 5,3 %. При этом меньше чем в 25 % случаев она имеет удовлетворительное значение ($\delta = 5\%$), а в 15 % случаев – превышает 15 % (рис. 1).

Главной причиной этого служит не объективный учет особенностей производственного процесса конкретного СП (а иногда – полное отсутствие такого учета) и динамики изменения климатических факторов. Ошибка на первом этапе планирования (уровень СП) неизбежно приводит к пролонгированной ошибке на всех этапах процесса. Вторая причина – оценка обоснованного потенциала экономии ТЭР на уровне департамента экономики (ЦЭУ) ОАО «РЖД» эвристическим методом, без учета конкретных особенностей СП или филиала.

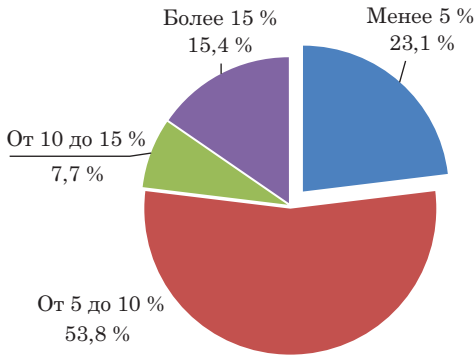


Рис. 1. Расхождение планируемого и фактического расхода дизельного топлива на нетяговые нужды Западно-Сибирской железной дороги при планировании методом «от достигнутого уровня»

Для повышения эффективности функционирования ресурсосберегающих производственных систем железнодорожного транспорта сформулированы следующие научные и методологические принципы, использование которых целесообразно при организации процессов нормирования и прогнозирования расхода ТЭР:

- переход от методов управления процессом использования ТЭР от достигнутого уровня энергопотребления к методам, предполагающим разработку и применение математических моделей, основанных на учете линейного и нелинейного влияния на объем энергопотребления характеристик производственной деятельности, климатических факторов и результатов внедрения организационных, технических и технологических решений, направленных на повышение энергетической эффективности железнодорожного транспорта;

- совершенствование организационной структуры управления процессами использования топливно-энергетических ресурсов на железнодорожном транспорте в части делегирования полномочий по разработке проектов заданий по экономии энергоресурсов на уровень филиалов и линейных структурных подразделений.

Ученые Омского государственного университета путей сообщения

разработали «Порядок формирования заданий филиалам ОАО «РЖД» по экономии топливно-энергетических ресурсов на нетяговые нужды» [10]. Разработан алгоритм процесса нормирования и прогнозирования расхода ТЭР на железнодорожном транспорте, который включает в себя четыре основных этапа (рис. 2).

На этапе I СП ОАО «РЖД» на основе данных о расходе ТЭР за предыдущие периоды, о производственных и климатических факторах, вводе или выводе из эксплуатации оборудования прогнозируется расход ТЭР. Эти предложения согласуются на уровне региональных дирекций, дорожных топливно-энергетических центров (НТЭЦ), филиалов ОАО «РЖД» и ЦЭУ и не включают задания по экономии ТЭР.

На этапе II департамент технической политики в установленном в ОАО «РЖД» порядке формирует на планируемый период проект заданий филиалам (с разбивкой по региональным дирекциям) по экономии ТЭР от реализации мероприятий инвестиционного проекта «Внедрение ресурсосберегающих технологий на железнодорожном транспорте» (ИПРС) $\mathcal{E}_i^{\text{ИПРС}}$ и направляет их в сроки, установленные действующим регламентом бюджетного управления, в департамент экономики.

Задания формируются на технико-экономических обоснованиях и прогнозных эффектах от внедрения мероприятий в базовом году.

Филиалы формируют предложения по экономии ТЭР в рамках реализации инвестиционных проектов филиалов (ИПФ) $\mathcal{E}_i^{\text{ИПФ}}$ и направляют их в департамент экономики. Предложения по экономии ТЭР разрабатываются по целевым показателям, установленным долгосрочной программой развития и сводной программой повышения инвестиционной и операционной эффективности ОАО «РЖД».

На этапе III департамент экономики готовит на планируемый год проект заданий по экономии ТЭР по филиалам от реализации

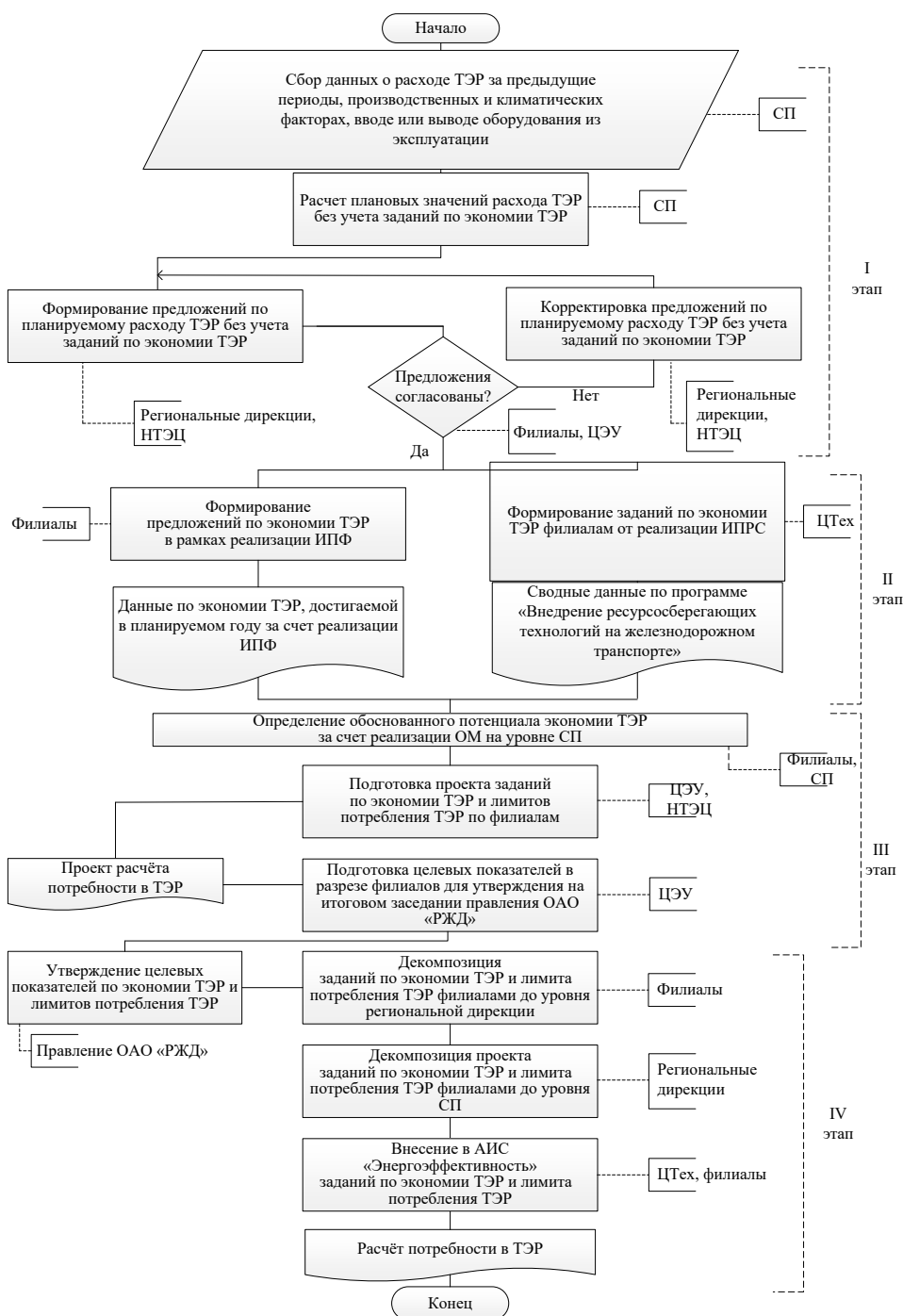


Рис. 2. Алгоритм нормирования и прогнозирования расхода ТЭР на железнодорожном транспорте

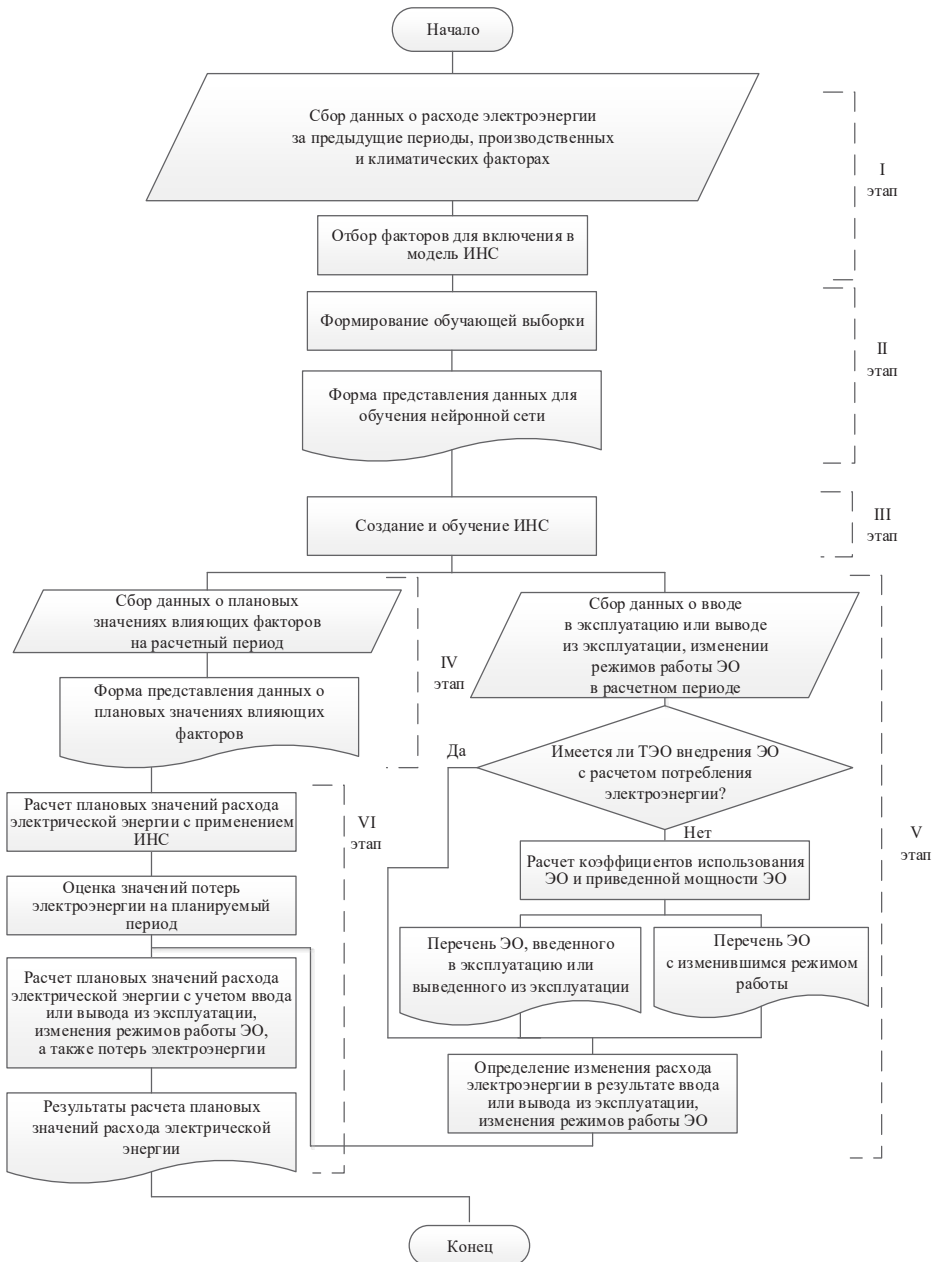


Рис. 3. Алгоритм методики прогнозирования расхода электроэнергии на нетяговые нужды с применением ИНС

организационно-технических мероприятий (ОТМ) $\mathcal{E}_i^{\text{ОТМ}}$, который складывается из следующих составляющих:

$$\mathcal{E}_i^{\text{ОТМ}} = \mathcal{E}_i^{\text{ИПРС}} + \mathcal{E}_i^{\text{ИПФ}} + \mathcal{E}_i^{\text{ОМ}}, \quad (1)$$

где $\mathcal{E}_i^{\text{ОМ}}$ – потенциал экономии ТЭР i -го вида в планируемом периоде за счет реализации организационных мероприятий (ОМ), внедряемых за счет эксплуатационных расходов филиалов ОАО «РЖД».

Потенциал экономии ТЭР за счет реализации ОМ определяется филиалами и СП по данным о прогнозируемом расходе ТЭР за базовый период, прогнозируемом изменении производственных мощностей и совершенствовании технологических процессов в планируемом году, по результатам энергетических обследований и мероприятий, утвержденных начальником соответствующей железной дороги на основании комиссионного осмотра, а также других проверок по эффективности использования ТЭР за последние пять лет, предшествующих базовому периоду [11, 12].

Проект заданий филиалам по экономии ТЭР формируется в натуральном выражении с поквартальной разбивкой по видам ТЭР в разрезе региональных дирекций и согласовывается в установленном порядке с департаментом экономики и соответствующими филиалами.

Департамент экономики ежегодно в сроки, установленные регламентом бюджетного управления, оценивает и согласует целевые показатели, представленные филиалами, при соответствии и сбалансированности их с проектом заданий по экономии ТЭР подготавливает и составляет сводный проект заданий по экономии ТЭР в разрезе филиалов на планируемый год для последующего его утверждения на итоговом заседании правления ОАО «РЖД».

На этапе IV утверждаются целевые показатели по экономии ТЭР на уровне правления ОАО «РЖД». После этого региональные дирекции осуществляют

декомпозицию целевых показателей по экономии ТЭР до уровня линейного структурного.

Линейные структурные подразделения подтверждают целевые показатели экономии ТЭР, установленные на планируемый год региональной дирекцией.

Департамент технической политики совместно с филиалами ежегодно обеспечивает внесение и согласование в АИС «Энергоэффективность» программ энергосбережения и повышения энергетической эффективности филиалов и их структурных подразделений на планируемый год, обеспечивающих достижение установленных целевых показателей по использованию ТЭР.

Важнейший этап представленного на рис. 2 алгоритма – расчет плановых значений расхода ТЭР на уровне СП. Выполнять его предлагается в соответствии с методом, представленным на рис. 3.

В 2011 г. Омский государственный университет путей сообщения разработал и ввел в действие «Методику планирования расхода электрической энергии на нетяговые нужды с использованием искусственных нейронных сетей» [13, 14]. Опытная эксплуатация методики показала, что основная проблема для пользователей заключается в сложности учета в обучающей или тестовой выборке ввода или вывода из эксплуатации электрооборудования (ЭО), изменении режимов его работы. В настоящей работе предлагается усовершенствовать данный процесс выведением его в отдельный этап алгоритма планирования (рис. 3), выполняемый параллельно с четвертым этапом.

В соответствии с предлагаемыми решениями, дополнительный расход электроэнергии в результате ввода в эксплуатацию ЭО с установленной мощностью P_n предлагается не учитывать в обучающей выборке, а определять по формуле:

$$W_{i \text{ пр.доп.мощ}} = k_n k_m P_n T, \quad (2)$$

где T – продолжительность рабочего времени отчетного периода с учетом

даты ввода в эксплуатацию ЭО, ч; P_n – номинальная активная мощность ЭО; k_n – коэффициент использования нагрузки ЭО; k_m – коэффициент использования установленной мощности.

По аналогичной формуле определяется снижение расхода электроэнергии в результате вывода из эксплуатации ЭО $W_{\text{пр.вывод.мощ.}}$.

В случае изменения режимов работы ЭО изменение расхода электроэнергии определяется по выражению:

$$\Delta W = P_n (k_n^{\text{отч}} k_m^{\text{отч}} T^{\text{отч}} - k_n^{\text{баз}} k_m^{\text{баз}} T^{\text{баз}}), \quad (3)$$

где $k_n^{\text{отч}}, k_m^{\text{отч}}, k_n^{\text{баз}}, k_m^{\text{баз}}$ – коэффициенты использования нагрузки и установленной мощности в отчетном и базовом периодах соответственно; $T^{\text{отч}}, T^{\text{баз}}$ – продолжительность рабочего времени отчетного и базового периодов с учетом даты изменения режимов работы ЭО, ч.

В настоящее время предлагаемые в работе решения проходят апробацию в ЦЭУ и НТЭЦ ОАО «РЖД» для определения плановых значений расхода и заданий по экономии ТЭР в непериодических видах деятельности на 2020 г.

Таким образом, в результате проведенных исследований предложены усовершенствованные научные и методологические принципы нормирования

и прогнозирования расхода ТЭР, в целях реализации которых разработан алгоритм, отличающийся усовершенствованными подходами к прогнозированию энергопотребления на уровне СП на основе методов машинного обучения и к формированию заданий по экономии ТЭР. Последний процесс предлагается делегировать на уровень линейных подразделений и филиалов железнодорожных дорог, что позволяет обоснованно оценивать потенциал экономии ТЭР за счет реализации организационных и малозатратных мероприятий.

Предложены изменения в «Методику планирования расхода электрической энергии на нетяговые нужды с использованием искусственных нейронных сетей» в части учета состава ЭО и режимов его работы, которые приведены в виде отдельного этапа алгоритма методики прогнозирования расхода электроэнергии.

Реализация предложенных методологических решений позволяет усовершенствовать организацию процесса нормирования и прогнозирования потребления топливно-энергетических ресурсов и мониторинга показателей энергетической эффективности производственных систем ОАО «РЖД». ■

Литература

1. Энергетическая стратегия холдинга «Российские железные дороги» на период до 2020 г. и на перспективу до 2030 г. : утв. распоряжением ОАО «РЖД» от 14 декабря 2016 г. № 2537р. М., ОАО «РЖД». 2016. 76 с.
2. Рожицкий Д. Б., Филаткин М. С. Опыт оценки энергоэффективности на основе применения автоматизированной системы учета топливно-энергетических ресурсов на железнодорожном транспорте // Энергосбережение и водоподготовка. 2009. № 4(60). С. 60–62. ISSN 1992-4658.
3. Хамитов Р. Н., Грицай А. С., Тюньков Д. А., Синицын Г. Э. Краткосрочное прогнозирование электропотребления на сутки вперед для энергосбытовой компании методом аппроксимации // Промышленная энергетика. 2017. № 3. С. 2–8. ISSN 0033-1155.
4. Манусов В. З., Хохлова С. В. Сравнительный анализ двух моделей прогнозирования электрической нагрузки промышленных предприятий, построенных на основе регрессионного анализа и искусственных нейронных сетей // Научный вестник Новосибирского государственного технического университета. 2008. № 1. С. 147–159. ISSN 1814-1196.
5. Степанец В. А., Рожицкий Д. Б. Оценка энергетической эффективности производственной деятельности холдинга «РЖД» // Главный энергетик. 2012. № 3. С. 22–25. ISSN 2074-7489.

6. Martínez Fernández P., Villalba Sanchís I., Yepes V., Insa Franco R. A review of modelling and optimisation methods applied to railways energy consumption // *Journal of Cleaner Production*. 2019. № 222. Pp. 153–162. ISSN 0959-6526.
7. Galkin A., Kovalev A., Shayuhov T. Integrated approach to the planning of energy consumption by non-traction railway consumers // *MATEC Web of Conference*. 2018. № 239. ISSN 2261-236X.
8. Комяков А. А. Совершенствование системы контроля и анализа расхода электрической энергии нетяговыми железнодорожными потребителями : дис... на соиск. уч. ст. канд. техн. наук. – Омск, 2009. 145 с.
9. Черемисин В. Т., Комяков А. А. Моделирование процессов электропотребления в системе нетягового электроснабжения железнодорожного транспорта : научная монография. – Омск : Омский гос. ун-т путей сообщения, 2017. 161 с. ISBN 978-5-949-41157-5.
10. Порядок формирования заданий филиалам ОАО «РЖД» по экономии топливно-энергетических ресурсов на нетяговые нужды : утв. распоряжением ОАО «РЖД» № 2754р от 24 декабря 2018 г. М., ОАО «РЖД». 2018. 40 с.
11. Каштанов А. Л., Комяков А. А., Никифоров М. М. Совершенствование порядка формирования заданий по экономии топливно-энергетических ресурсов на нетяговые нужды // *Вестник УрГУПС*. 2018. № 4 (40). С. 77–84. ISSN 2079-0392.
12. Каштанов А. Л., Комяков А. А., Никифоров М. М. Планирование заданий по экономии энергоресурсов на нетяговые нужды железнодорожного транспорта на основе аппроксимации временных рядов // *Вестник РГУПС*. 2019. № 1(73). С. 106–111. ISSN 0201-727X.
13. Комяков А. А., Пономарев А. В., Комякова О. А. Применение искусственных нейронных сетей для планирования расхода электрической энергии на нетяговые нужды структурных подразделений железных дорог // *Известия Транссиба*. 2011. № 1 (5). С. 63–67. ISSN 2220-4245.
14. Черемисин В. Т., Комяков А. А., Коломеец О. А. Планирование расхода электрической энергии с применением ИНС // *Железнодорожный транспорт*. 2013. № 11. С. 56–58. ISSN 0044-4448.

Literature

1. Energy strategy of «Russian railways» holding for the period up to 2020 and projected for the period up to 2030: approved by RZD JSC order as of 14 December 2016 № 2537p. М., RZD JSC [Energeticheskaya strategiya holdinga «Rossiyskie zheleznyye dorogi» na period do 2020 g. i na perspektivu do 2030 g. : utv. rasporyazheniem ОАО «RZhD»]. 2016. 76 p.
2. Rozhitsky D. B., Filatkin M. S. Evaluation of power efficiency based on application of automated system of fuel and power resources registration on railway transport // *Power saving and water conditioning [Opyt otsenki energoeffektivnosti na osnove primeneniya avtomatizirovannoy sistemy ucheta toplivno-energeticheskikh resursov na zheleznodorozhnom transporte // Energoberezhenie i vodopodgotovka]*. 2009. № 4(60). P. 60–62. ISSN 1992-4658.
3. Khamitov R. N., Gritsay A. S., Tyunkov D. A., Sinitsyn G. E. Short term forecasting of power consumption one day in advance for energy service company through approximation method // *Industrial power industry [Kratkosrochnoe prognozirovanie elektropotrebleniya na sutki vpered dlya energosbytovoy kompanii metodom approksimatsii // Promyshlennaya energetika]*. 2017. № 3. P. 2–8. ISSN 0033-1155.
4. Manusov V. Z., Khokhlova S. V. Comparative analysis of two forecasting models of electrical load of industrial enterprises, built on regression analysis and artificial neural networks // *Scientific herald of Novosibirsk state technical university [Sravnitel'nyy analiz dvuh modeley prognozirovaniya elektricheskoy nagruzki promyshlennykh predpriyatiy, postroennykh na osnove regressiionnogo analiza i iskusstvennykh neyronnykh setey // Nauchnyy vestnik Novosibirskogo gosudarstvennogo tekhnicheskogo universiteta]*. 2008. № 1. P. 147–159. ISSN 1814-1196.
5. Stepanets V. A., Rozhitsky D. B. Assessment of power efficiency of RZD holding operation // *Chief power engineer [Otsenka energeticheskoy effektivnosti proizvodstvennoy deyatel'nosti holdinga «RZhD» // Glavnyy energetik]*. 2012. № 3. С. 22–25. ISSN 2074-7489.
6. Martínez Fernández P., Villalba Sanchís I., Yepes V., Insa Franco R. A review of modelling and optimisation methods applied to railways energy consumption // *Journal of Cleaner Production*. 2019. № 222. Pp. 153–162. ISSN 0959-6526.

7. Galkin A., Kovalev A., Shayuhov T. Integrated approach to the planning of energy consumption by non-traction railway consumers // MATEC Web of Conference. 2018. № 239. ISSN 2261-236X.
8. Komyakov A. A. Development of control and analysis of power consumption by non-traction railway consumers: published summary of a dissertation for ... Cand. of tech. sci. degree [Sovershenstvovanie sistemy kontrolya i analiza raskhoda elektricheskoy energii netyagovymi zheleznodorozhnymi potrebitel'nyami : dis... na soisk. uch. st. kand. tekhn. Nauk]. – Omsk, 2009. 145 p.
9. Cheremisin V. T., Komyakov A. A. Power consumption modelling in railway non-traction power consumption : scientific monograph. – Omsk: Omsk state university of railway transport [Modelirovanie protsessov elektropotrebleniya v sisteme netyagovogo elektrosnabzheniya zheleznodorozhnogo transporta : nauchnaya monografiya. – Omsk : Omskiy gos. un-t putey soobshcheniya], 2017. 161 p. ISBN 978-5-949-41157-5.
10. Procedure of task setting to RZD JSC subsidiaries in fuel and power saving for non-traction needs : approved by JSC RZD [[Poryadok formirovaniya zadaniy filialam OAO «RZhD» po ekonomii toplivno-energeticheskikh resursov na netyagovye nuzhdy : utv. rasporyazheniem OAO «RZhD»] order № 2754p as of 24 December 2018. M., RZD JSC. 2018. 40 p.
11. Kashtanov A. L., Komyakov A. A., Nikiforov M. M. Improvement of task setting procedure in fuel and power resources saving for non-traction needs // Herald of USURT [Sovershenstvovanie poryadka formirovaniya zadaniy po ekonomii toplivno-energeticheskikh resursov na netyagovye nuzhdy // Vestnik UrGUPS]. 2018. № 4 (40). P. 77–84. ISSN 2079-0392.
12. Kashtanov A. L., Komyakov A. A., Nikiforov M. M. Task setting planning in saving of power resources for railway non-traction needs based on approximation of temporal series // Herald of USURT [Planirovanie zadaniy po ekonomii energoresursov na netyagovye nuzhdy zheleznodorozhnogo transporta na osnove approksimatsii vremennykh ryadov // Vestnik RGUPS]. 2019. № 1 (73). P. 106–111. ISSN 0201-727X.
13. Komyakov A. A., Ponomarev A. V., Komyakova O. A. Application of artificial neural networks for planning of power consumption for non-traction needs of railway structural subdivisions // Herald of Transsib [Primenenie iskusstvennykh neyronnykh setey dlya planirovaniya raskhoda elektricheskoy energii na netyagovye nuzhdy strukturnykh podrazdeleniy zheleznikh dorog // Izvestiya Transsiba]. 2011. № 1 (5). P. 63–67. ISSN 2220-4245.
14. Cheremisin V. T., Komyakov A. A., Kolomoiets O. A. Planning of power consumption through ANN // Railway transport [Planirovanie raskhoda elektricheskoy energii s primeneniem INS // Zheleznodorozhnyy transport]. 2013. № 11. P. 56–58. ISSN 0044-4448.

Статья сдана в редакцию 17 марта 2020 года

УДК 656.25:621.311.6(075.8)

А. В. Бондаренко

Инновационные принципы электроснабжения нетяговых потребителей железнодорожного транспорта

UDC 656.25:621.311.6(075.8)

A. V. Bondarenko

Innovative principles of electric power supply of non-traction power consumers of railway transport

Аннотация

В статье рассматриваются вопросы принципиального изменения электроснабжения нетяговых, например, перегонных устройств, и систем железнодорожного транспорта. Показывается, что возможна практическая реализация электроснабжения подобных потребителей без использования традиционных высоковольтных перегонных линий электропередачи переменного напряжения 6 или 10 кВ и соответствующих силовых электрических подстанций.

Сущность предлагаемого заключается в том, что источником электрической энергии является не высоковольтная линия электропередачи, а устройство преобразования механической потенциальной энергии поезда, движущегося по перегону между сигнальными точками автоблокировки в электрическую.

Практическое применение описываемых устройств электроснабжения дает как технические, так и экономические преимущества перед существующими и широко распространенными системами электроснабжения.

Преобразование энергии осуществляется за счет изменения магнитного сопротивления магнитной цепи, включающей в себя движущуюся колесную пару вагона и постоянный неодимовый магнит. Изменение магнитного сопротивления приводит в силу закона электромагнитной индукции к появлению на катушке индуктивности переменного напряжения, которое и служит источником электроэнергии для питания нетяговых перегонных потребителей, в частности, сигнальных точек автоблокировки. При отсутствии движущейся над преобразователем колесной пары электроснабжение потребителя осуществляет электрической энергией, накопленной в ионисторе.

Ключевые слова: высоковольтная перегонная линия электропередачи, сигнальная точка автоблокировки, преобразователь механической энергии в электрическую, железнодорожный состав, неодимовый магнит, катушка индуктивности, ионистор, колесная пара железнодорожного вагона.

DOI: 10.20291/2079-0392-2020-2-44-50

Abstract

The issues of fundamental changes of electric power-supply of non-traction devices, such as, line-section devices and systems of railway transport are addressed in the article. It is clearly shown that the possibility of electric power-supply of such consumers without using the common high-voltage line-section power-supply lines of alternative voltage of 6 or 10 kV and respective power-supply substations can be implemented in practice.

The essence of the proposed is that the electric power-supply source is not a high-voltage power-supply line, but a device which converts potential mechanical energy of a train, moving along a line section between signal points of railway automatic block system, into electrical one.

Putting the described power-supply devices into operation provides technical as well as economic advantages over currently and widely used power-supply systems.

The conversion of energy is carried out by changing magnetic resistance of a magnetic circuit, which includes railway car wheel-set in motion and direct neodymium magnet. Change in magnetic resistance due to the law of electromagnetic induction results in alternate voltage in the inductance coil, which is used as the electric power-supply source for non-traction line-section power consumers, including but not limited to, signal point of railway automatic block system. In case there is no wheel-set on the converter, electric power-supply for the power consumer is delivered by the electric energy accumulated in an ionistor (supercapacitor).

Key words: line section high-voltage electric power supply line, signal point of railway automatic block system, converter of mechanical energy into electrical one, rolling stock, neodymium magnet, inductivity coil, ionistor, wheel-set of a railway car.

DOI: 10.20291/2079-0392-2020-2-44-50

Статья рекомендована к публикации Б. С. Сергеевым, д-ром техн. наук, профессором Уральского государственного университета путей сообщения. E-mail: BSergeev@usurt.ru.

Анна Викторовна Бондаренко, доцент; Уральский государственный университет путей сообщения. Екатеринбург, Россия. E-mail: ABondarenko@usurt.ru. ORCID 0000-0003-1736-8533.

The article is recommended for publishing by B. S. Sergeev, Doctor of technical sciences, Professor of Ural state university of railway transport. E-mail: BSergeev@usurt.ru.

Anna Viktorovna Bondarenko, Associate Professor; Ural state university of railway transport. Yekaterinburg, Russia. E-mail: ABondarenko@usurt.ru. ORCID 0000-0003-1736-8533.

Княтяговым потребителям железнодорожного транспорта, которые требуют обязательного применения источников электроснабжения, относятся стационарные перегонные и стационарные системы железнодорожной автоматики, телемеханики и связи (СЖАТ) [1] или электронные информационные устройства, установленные на грузовых вагонах [1–3].

Типовая структурная схема системы электроснабжения перегонных СЖАТ, применяемая на магистральных отечественных и зарубежных железных дорогах, показана на рис. 1 [1].

Объективно необходимость применения подобной общепринятой структуры вызвана тем, что на перегонах железнодорожного транспорта обычно отсутствуют источники электроснабжения (кроме трехфазной высоковольтной линии ABC (см. рис. 1)) напряжением 6 или 10 кВ, которая для обеспечения резервирования запитывается с двух сторон перегона от двух соседних подстанций (обычно тяговых). Наличие высокого напряжения в линии электропередачи, когда для питания сигнальных точек СТП перегона требуется стандартное гораздо более низкое напряжение (зачастую 220 В), требует введения в энергетические устройства перегона высоковольтных подстанций ВВП, сложность, материалоемкость и стоимость которых значительны [1]. Это же относится и к их

эксплуатационным затратам. Подобная ситуация в реализации систем электроснабжения перегонных систем СЖАТ сложилась на протяжении нескольких десятков лет и считалась классической, единственно возможной.

Необходимо учитывать также, что за последние десятилетия в связи с совершенствованием электронной элементной базы снижается мощность, потребляемая сигнальными точками [3, 4]. Очевидно, что это увеличивает диспропорцию между необходимостью использования на перегонах высоковольтных линий и мощности их нагрузки.

Можно утверждать, что движущийся по перегону состав обладает значительной потенциальной механической энергией, которую после соответствующих возможных преобразований можно использовать для электроснабжения, например, сигнальных точек автоблокировки. Один из вариантов преобразования механической энергии движущегося поезда в полезную электрическую рассмотрен в [2]. Его функциональная схема приведен на рис. 2.

При наличии колесной пары над преобразователем схема представляет собой замкнутую магнитную цепь, в которой магнитный поток, создаваемый постоянным магнитом, будет максимален Φ_{\max} . При отсутствии колесной пары магнитная цепь практически оказывается разомкнутой, что

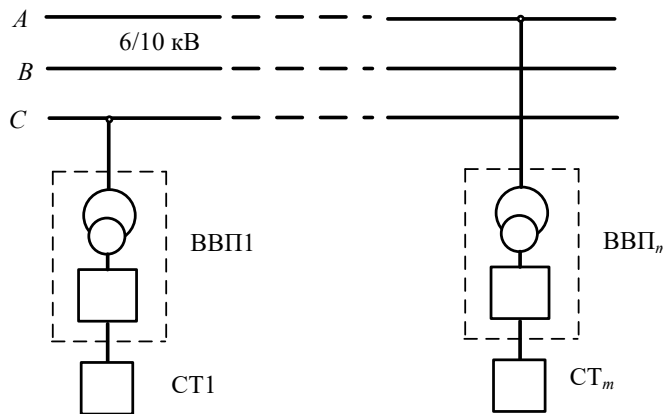


Рис. 1. Типовая структурная схема электроснабжения перегонных устройств СЖАТ

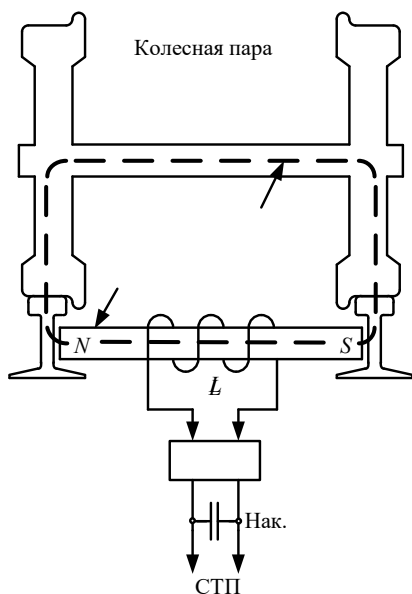


Рис. 2. Функциональная схема преобразователя механической энергии в электрическую

приведет к снижению магнитного потока до $\Phi \rightarrow 0$. Следовательно, проезд колесной пары обуславливает изменение магнитного потока, что в силу закона электромагнитной индукции обусловит появление напряжения на индуктивности катушки L :

$$E = L(d\Phi/dt). \quad (1)$$

После выпрямления напряжение поступает на накопитель электрической энергии и далее подается на питающие входы сигнальных точек СТП.

Анализ процессов, происходящих в функциональной схеме устройства по рис. 2, может быть выполнен по эквивалентной электрической схеме, приведенной на рис. 3. Здесь магнитные сопротивления элементов полной магнитной цепи условно представлены в виде активных резисторов R_{Mi} и условного источника напряжения с магнитными параметрами – остаточной индукции $B_{ост}$ и коэрцитивной силы H_c , которые выражают магнитные параметры постоянного магнита.

Обозначения магнитных сопротивлений: $R_{мок}$ – магнитное сопротивление оси

колесной пары вагона; R_{mk1} и R_{mk2} – магнитные сопротивления первого и второго колеса колесной пары; $R_{мп1}$ и $R_{мп2}$ – магнитные сопротивления шейки и головки первого и второго рельсов железнодорожного пути; $R_{пер1}$ и $R_{пер2}$ – переходные магнитные сопротивления конструкции элементов крепления постоянного магнита к шейкам первого и второго рельсов пути.

В качестве постоянного магнита (рис. 2) должны использоваться неодимовые магниты, обладающие остаточной магнитной индукцией до $B_{ост} = 1250$ миллительс (Гаусс) и более при магнитной энергии 300 Мера/Гаусс – Эрстед [5]. По своим технико-эксплуатационным параметрам эти магниты вполне удовлетворяют требованиям, предъявляемым к аппаратуре железнодорожного транспорта по эксплуатационным и техническим характеристикам. Конструктивно магниты имеют тороидальную форму, что позволяет наращивать их пространственно последовательно для надлежащего выбора их итоговых магнитных характеристик. Это позволяет получить любую итоговую длину магнита для размещения его между шейками левого и правого рельсов железнодорожного пути нанизыванием на ферромагнитный стержень, служащий конструктивным элементом для крепления магнита к шейкам противоположных рельсов

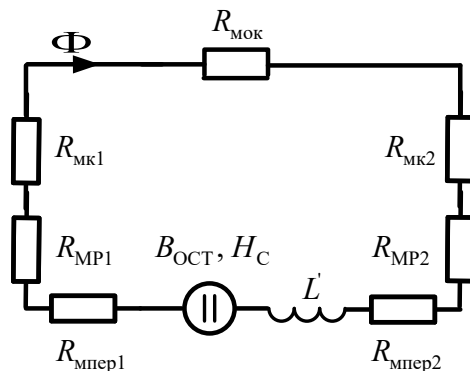


Рис. 3. Эквивалентная электрическая схема устройства по рис. 2

железнодорожного пути. Для минимизации величин переходного сопротивления $R_{\text{пер}1}$ и $R_{\text{пер}2}$ в состав конструктивных элементов должны вводиться соответствующие гибкие или смазывающие ферромагнитные составы, например, описанные в [7].

В качестве накопителя электрической энергии схемы рис. 2 возможно использование традиционных аккумуляторов соответствующей емкости [1], которая зависит от межпоездных интервалов движения составов на участке железной дороги. Кроме того, рационально также использование новых электротехнических элементов ионисторов, представляющих из себя конденсаторы сверхбольшой электрической емкости, которая достигает нескольких десятков фарад и более [6]. За последнее время они нашли широкое применение как в промышленных системах, так и на транспортных объектах, включая железнодорожный транспорт. Функционально во многих случаях они заменяют существующие аккумуляторы, имея при этом ряд технических и эксплуатационных

преимуществ по отношению к аккумуляторам.

На рис. 4, б, в приведены три положения колесной пары при ее продвижении над преобразователем. На рис. 4, б показан этап времени приближения колесной пары к преобразователю ($l_{\text{пр}}$), а на рис. 4, в – при ее удалении ($l_{\text{уд}}$). Это в силу закона (1) определяет изменение полярности напряжения на катушке L преобразователя при приближении колесной пары и последующем ее удалении.

Рис. 4, а, б, в показывает, что минимальное магнитное сопротивление магнитной цепи схемы рис. 2 будет соответствовать положению колесной пары и постоянного магнита, приведенному на рис. 4, а. Очевидно, что это будет соответствовать амплитуде импульса напряжения на катушке индуктивности L .

Таким образом, функционирование преобразователя механической энергии движущегося состава в электрическую описывается следующим выражением:

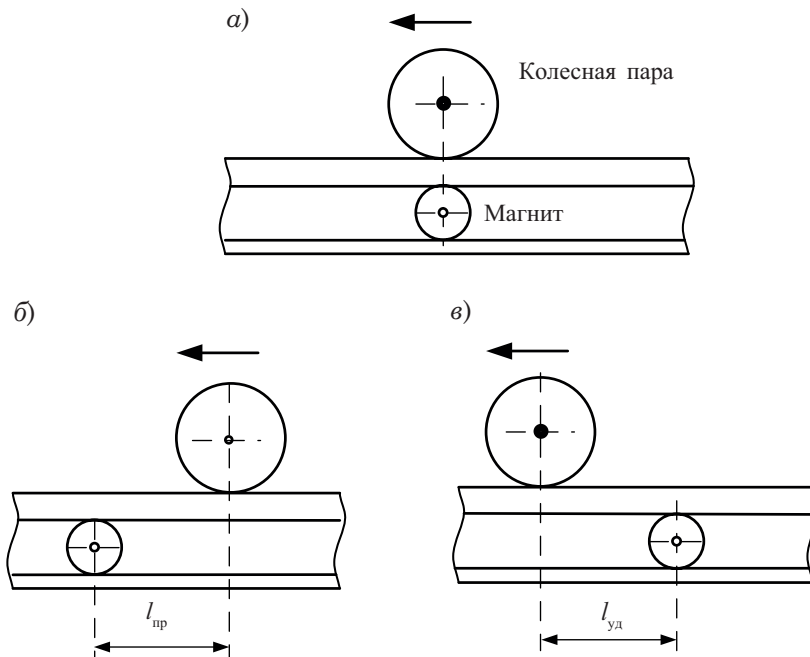


Рис. 4. Процессы движения колесной пары относительно преобразователя энергии

$$\Phi = \begin{cases} 0 & \text{при } R_{\text{мок}} = \infty \\ \Phi_{\text{max}} & \text{при } \sum R_{\text{м}} \rightarrow \text{мин} \end{cases}, \quad (2)$$

где $\Phi_{\text{max}} \Rightarrow d\Phi$ соответствует значению $d\Phi$, входящего в уравнение (1); $\sum R_{\text{м}} = R_{\text{мк1}} + R_{\text{мк2}} + R_{\text{мр1}} + R_{\text{мр2}} + R_{\text{пер1}} + R_{\text{пер2}}$.

В соответствии с изложенным, для увеличения напряжения на выходе катушки L требуется при прочих равных условиях уменьшение величин магнитных сопротивлений, входящих в эквивалентную схему рис. 3. Однако, если величины $R_{\text{мк1}}$, $R_{\text{мк2}}$, $R_{\text{мр1}}$ и $R_{\text{мр2}}$ определяются конструктивными параметрами колесных пар вагона и рельсов, то есть не могут быть изменены, то одной из основных целей разработки преобразователя энергии может являться снижение величины $(R_{\text{пер1}} + R_{\text{пер2}})$.

Компьютерной моделирование рассматриваемого устройства в среде Multisim показало правомерность сделанных выводов и анализа эквивалентной схемы рис. 4, а, б, в и работоспособность устройства преобразования механической энергии в электрическую.

Практически замена высоковольтной линии на рассматриваемый преобразователь энергии приводит систему электроснабжения перегонных устройств СЖАТ к более простому виду, приведенному на рис. 5, который показан для m количества сигнальных точек, расположенных на перегоне.

Использование принципа преобразования механической энергии в электрическую позволяет получить различные значения мощности нагрузки от единиц до десятков ватт. Увеличение мощности, потребляемой от преобразователя сигнальной точкой, решается путем последовательного или параллельного соединения нескольких устройств Пр и последующего сложения выходных мощностей. Но так как пространственно устройство занимает относительно небольшую площадь на участке железнодорожного пути, то экономически это будет целесообразно.

Использование рассмотренного принципа преобразования механической энергии в электрическую не ограничивается приведенным примером.

Например, в настоящее время обсуждается проблема установки функционально сложной электронной аппаратуры на грузовых вагонах [7, 8]. Очевидно, что для нее требуется иметь источник электропитания мощностью до нескольких единиц-десятков ватт для управления механическими управляющими устройствами грузового вагона. Известные методы реализации этого основаны на введении дополнительных электрических связей вдоль всего состава и с локомотивом [7, 8]. Они обладают рядом недостатков технического и эксплуатационного порядка. Существуют также методы обеспечения электропитанием электронной аппаратуры путем введения специальных автономных приборов электропитания. Однако они также не свободны от

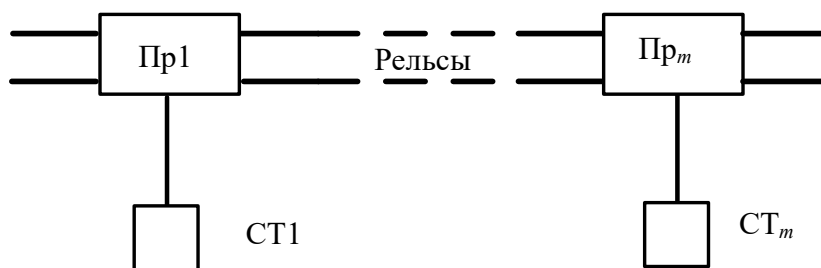


Рис. 5. Инновационная структурная схема электроснабжения перегонных устройств для m сигнальных точек перегона

недостатков из-за необходимости использования ненадежных электро-механических устройств, например, генераторов или других сложных электро-механических устройств [8].

Использование описанного принципа преобразования механической энергии в электрическую позволяет успешно решить и эту задачу. Один из вариантов такого решения проблемы приведен на функциональной схеме рис. 6.

Как видно из схемы рис. 6, устройство работает аналогично схеме, представленной на рис. 2. Отличие заключается в том, что приемная катушка L располагается на грузовом вагоне, что практически реализуется намоткой ее на втулку через зазор, заполненный соответствующей ферромагнитной смазкой. Между осью колесной пары и втулкой имеется зазор достаточно малого размера.

Изложенный материал показывает, что предложенный принцип преобразования механической энергии в электрическую имеет перед известными техническими решениями как экономические, так и эксплуатационные преимущества, что позволяет считать его перспективным для внедрения на сети дорог РЖД.

Возможны и другие железнодорожные системы и устройства, в которых может быть использован описываемый инновационный принцип получения электрической энергии без использования высоковольтных иных силовых

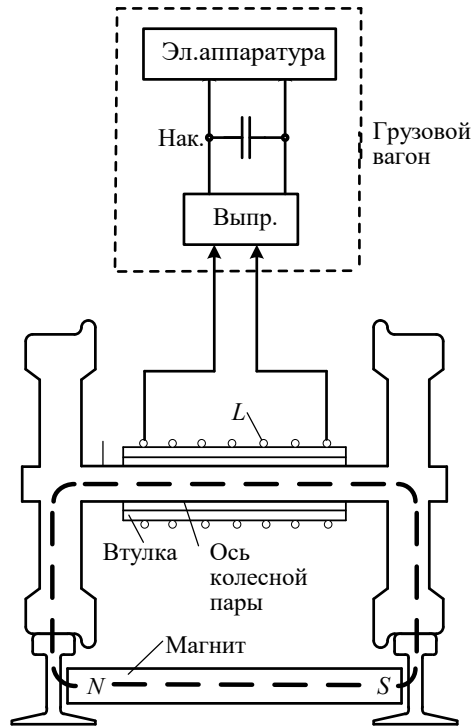


Рис. 6. Преобразователь для питания электронной аппаратуры грузового вагона

линий электропередачи или устройств, которые применяются в настоящее время на отечественных и зарубежных железных дорогах. Для выбора областей применения предложенного принципа преобразования энергии требуется провести широкий анализ оптимальности его применения для электроснабжения большего круга нетяговых потребителей железнодорожного транспорта. ■

Литература

1. Сапожников Вл. В., Ковалев Н. П., Кононов В. А., Сергеев Б. С. Электропитание устройств железнодорожной автоматики, телемеханики и связи. М. : Маршрут, 2005. – 453 с. ISBN 5-89035-312-8.
2. Пат. 2705851 РФ. Источник электропитания устройств железнодорожной автоматики // Б. С. Сергеев, К. Г. Гундырев. Публ. 21.11.2019. Бюл. № 33.
3. Тильк И. Г. Новые устройства автоматики и телемеханики железнодорожного транспорта. – Екатеринбург, 2010. – 168 с. ISBN 9785-94614-155-0.
4. Сисин В. А. Математическое моделирование работы тональных рельсовых цепей // Транспорт Урала, 2015, № 3 (46). С. 45–49. ISSN 1815-9400.
5. Характеристики неодимовых постоянных магнитов. URL: https://magnit96.com/blog/article/harakteristiki_neodimovyh_magnitov/ (дата обращения: 23.02.2020).
6. Ионисторы. Устройство, принцип действия и применение URL: <https://rusenergetics.ru/praktika/primenenie-ionistoraю> (дата обращения: 01.03.2020).

7. Ферромагнитные резиновые прокладки URL. <https://www.yandex.ru/search/?clid=2186621&text> (дата обращения: 23.02.2020).
8. Жироухов Е. И. Умный грузовой поезд // Локомотив, 2018. № 10. С. 32–36.
9. Жироухов Е. И. Умный грузовой вагон: время пришло // Вагоны и вагонное хозяйство, 2018. № 4. С. 28–33.

Literature

1. Sapozhnikov V. V., Kovalev N. P., Kononov V. A., Sergeev B. S. Electric power-supply for railway automatics, telemechanics and telecommunication devices. M. : Route, 2005. – 453 p. [Elektropitanie ustroystv zheleznodorozhnoy avtomatiki, telemekhaniki i svyazi. M. : Marshrut, 2005. – 453 s.] ISBN 5-89035-312-8.
2. The RF patent 2705851. Electric power-supply source of railway automatics devices // B.S. Sergeev, K.G. Gundyrev. Publ. 21.11.2019. Bul. № 33. [Pat. 2705851 RF. Istochnik elektropitaniya ustroystv zheleznodorozhnoy avtomatiki // B. S. Sergeev, K. G. Gundyrev. Publ. 21.11.2019. Byul. № 33].
3. Til'k I. G. New automatics and telemechanics devices of railway transport. [Novye ustroystva avtomatiki i telemekhaniki zheleznodorozhnogo transporta.] – Yekaterinburg, 2010. – 168 p. ISBN 9785-94614-155-0.
4. Sisin V. A. Mathematical modelling of operation of railway audio frequency track circuits // Transport of the Ural, [Matematicheskoe modelirovanie raboty tonal'nyh rel'sovyh tsepey // Transport Urala] 2015 № 3 (46). p. 45–49. ISSN 1815-9400.
5. Characteristics of neodymium permanent magnets [Harakteristiki neodimovyh postoyannyh magnitov]. URL. https://magnit96.com/blog/article/harakteristiki_neodimovyh_magnitov/ (reference date: 23.02.2020).
6. Ionistors. Structure, operating principle and application [Ionistory. Ustroystvo, printsip deystviya i primeneniye] URL. <https://rusenergetics.ru/praktika/primeneniye-ionistoraov> (reference date: 01.03.2020).
7. Ferromagnetic rubber gaskets [Ferromagnitnye rezinovy prokladki] URL. <https://www.yandex.ru/search/?clid=2186621&text> (reference date: 23.02.2020).
8. Zhirouhov E. I. Smart freight train // Locomotive [Umnii gruzovoy poezd // Lokomotiv], 2018. № 10. p. 32–36.
9. Zhirouhov E. I. Smart freight railway car: the time is now // Railway cars and railway car maintenance management [Umnii gruzovoy vagon: vremya prishlo // Vagony i vagonnoe hozyaystvo], 2018. № 4. P. 28–33.

Организация и логистика

УДК 658.7.011.1

В. М. Сай, П. М. Тихонов

Моделирование действий агента-заказчика при закупочной процедуре

UDC 658.7.011.1

V. M. Say, P. M. Tihonov

Modelling of contractor- customer's actions when carrying out procurement procedures

Аннотация

Показаны необходимость учета влияния «цифровой» экономики на бизнес-процессы и актуальность формализации и автоматизации ресурсного обеспечения в сетевых организационных структурах.

Выделены составляющие, влияющие на появление ресурсных потоков в сетевых организационных структурах. Сделано допущение о параллельности процессов со стороны заказчиков и исполнителей с целью последующей формализации и автоматизации.

Показана актуальность рассмотрения и изучения конкурентных способов осуществления закупочных процедур как наиболее сложных, реализующих вероятностный характер качества конечных результатов. Результат закупочной процедуры – появление ресурсного потока.

Разработана методологическая основа для моделирования при осуществлении конкурентной закупочной процедуры со стороны заказчика. Методология включает в себя выделение и математическую формализацию каждого этапа закупочного процесса.

Для формализации этапов закупочного процесса разработана общая логическая блок-схема и детализированные для каждого выделенного этапа. Детализация заключается в выделении основных драйверов, влияющих на результат функционирования каждого отдельного этапа.

При математической формализации и выделении драйверов показаны зависимости, влияющие на расчет параметров закупочной процедуры и конечный результат работы всей модели.

Ключевые слова: государственные закупки, закупки, закупочный процесс, холдинг «РЖД», сетевые структуры, ресурсное обеспечение, управление ресурсными потоками, математическое моделирование.
DOI: 10.20291/2079-0392-2020-2-51-68

Abstract

The necessity of taking into consideration the impact of «digital» economy on business-processes as well as timeliness of formalisation and automation of resource provisioning in network organisational structures are presented in this article.

The constituent parts influencing the emergence of resource flows in network organisational structures are distinguished. The assumption concerning parallelism of processes on the part of the customer and contractor for the purpose of eventual formalisation and automation is made.

The timeliness of consideration and studying of competitive means of carrying out procurement procedures as the most complex ones, which fulfil probabilistic nature of quality of the final results are pointed out in the article. The result of a procurement procedure is the emergence of a resource flow.

The methodological framework for modelling is worked out when carrying out a competitive procurement procedure on the part of a customer. This methodology includes segregation and mathematical formalisation of every stage of a procurement process.

In order to formalise the stages of the procurement process a general logical flowchart is elaborated as well as the detailed ones for every segregated stage. The detailed treatment involves segregation of the main drivers, affecting the result of functioning of each specific stage.

Under mathematical formalisation and segregation of drivers the correlations are indicated which have influence upon calculation of parameters of a procurement procedure and the final result of functioning of the entire model.

Key words: public procurements, procurements, procurement process, «RZD» holding, network structures, resource provisioning, management of resource flows, mathematical modelling.
DOI: 10.20291/2079-0392-2020-2-51-68

Статья рекомендована к публикации И. Д. Громовым, канд. техн. наук, ведущим инженером Свердловского филиала ЦФТО ОАО «РЖД». E-mail: id-gromov@mail.ru.

Василий Михайлович Сай, д-р техн. наук, профессор; Уральский государственный университет путей сообщения; Екатеринбург, Россия. E-mail: vsay@usurt.ru. ORCID 0000-0003-1061-2855.

Павел Михайлович Тихонов, аспирант, Уральский государственный университет путей сообщения; Екатеринбург, Россия. E-mail: tikhonov.p.m@gmail.com. ORCID 0000-0002-3543-7312.

The article is recommended for publishing by I. D. Gromov, Candidate of Technical Sciences, a lead engineer of Sverdlovsk branch of the Centre of Corporate Transportation Services of JSC «RZD». E-mail: id-gromov@mail.ru.

Vasilii Mihajlovich Say, Doctor of Technical Sciences, Professor; Ural state university of railway transport; Yekaterinburg, Russia. E-mail: vsay@usurt.ru. ORCID 0000-0003-1061-2855.

Pavel Mihailovich Tihonov, postgraduate student, Ural state university of railway transport; Yekaterinburg, Russia. E-mail: tikhonov.p.m@gmail.com. ORCID 0000-0002-3543-7312.

Современное развитие технологий привело к появлению понятия «цифровая экономика». Такая экономика предъявляет серьезные требования к современной организации бизнес-процессов компаний [1].

Цифровизация и автоматизация процессов взаимодействия в сетевых организационных структурах предоставляет конкурентные преимущества и снижает транзакционные издержки. Избыточные издержки особенно характерны при организации ресурсных потоков в таких крупных холдинговых компаниях, как «РЖД».

Для сокращения издержек и автоматизации закупочных процессов в настоящей статье разработана методология моделирования всех действий со стороны агента-заказчика.

Характеристика ресурсных потоков

Ресурсное обеспечение в сетевых структурах требует комплексного подхода, включающего в себя ресурсные потоки между агентами (субъектами права) и внутреннее (реактивное) функционирование субъектов сети [2].

Агенты, находящиеся в сети, осуществляют свою деятельность в соответствии с целями. Цели можно условно разделить на две основные группы [3]: 1) связанные с процессами функционирования (производственные и поддерживающие процессы) и 2) связанные с эффективностью деятельности (финансовый и экономический результаты). Достижение этих целей неразрывно связано с реализацией внешнего исходящего ресурсного потока, который служит результатом работы агентов. Таким образом, саму сущность ресурсных потоков можно охарактеризовать следующим выражением:

$$Q_{\text{out}} = (Q_{\text{ink}} + Q_{\text{pr}} + Q_{\text{oth}}) \cdot m, \quad (1)$$

где Q_{out} – результирующий исходящий ресурсный поток; Q_{ink} – входящий ресурсный поток; Q_{pr} – внутренние процессы и операции работы системы

(производство, оказание услуг и т.п.); Q_{oth} – прочие внутренние процессы и операции (обеспечивающие, управленческие функции и т.п.); m – коэффициент, учитывающий установленную норму рентабельности (характеризует эффективность функционирования организации).

Выражение (1) показывает зависимость исходящего ресурсного потока от входящего. Зависимость выражена в наличии Q_{ink} в составной и неотъемлемой части слагающих, которые влияют на величину Q_{out} .

Входящий и исходящий ресурсные потоки осуществляются одновременно. Для формализации составляющих потоков и последующей оптимизации и автоматизации бизнес-процессов эти сущности будут рассматриваться как параллельные. Неотъемлемой частью ресурсного обеспечения служит закупочный процесс [2].

Способ закупочной процедуры (единственный источник или конкурентная процедура) выбирается из следующих составляющих: регулирующее воздействие (требования законодательства или иных установленных требований) экономико-правовых характеристик агента (роль по отношению к сетевому интегратору), конкурентная среда и структура рынка (оценивается такими индексами, как Герфиндаля – Гиршмана и др.).

Далее при исследовании закупочного процесса агента-заказчика будут рассматриваться только регулируемые конкурентные процедуры (в первую очередь из-за отсутствия гарантированного результата и наличия ограничений [2]).

Логическая блок-схема закупочной процедуры со стороны агента-заказчика

Закупочный процесс агентов-заказчиков в виде логической блок-схемы представлен на рис. 1; выделены этапы с оказывающими влияние факторами (драйверами). Расшифровка этапов представлена в таблице 1.

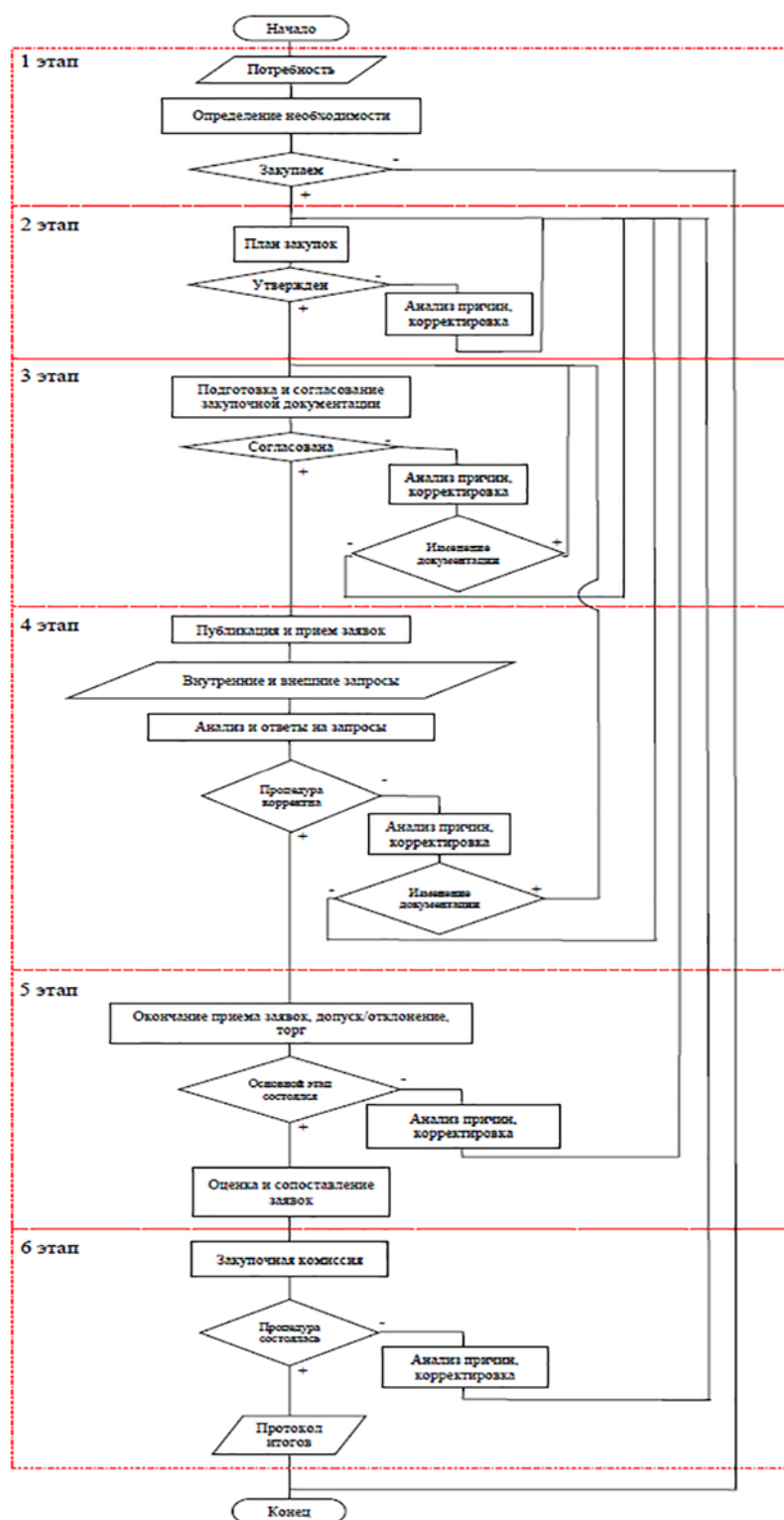


Рис. 1. Логическая блок-схема закупочной процедуры со стороны агента-заказчика

Таблица 1

Этапы закупочного процесса агента-заказчика

Этап	Наименование	Характеристика	Результат	Влияющие факторы (драйверы)
1	Определение потребности	Получение потребностей в материалах (работах, услугах), консолидация потребностей по типу	Количественные и качественные данные о необходимости осуществления закупок	План продаж Решение о производстве или закупке соответствующего ресурса
2	Разработка плана закупок	Категоризация процедур, определение вида закупочной процедуры, начальных (максимальных) цен и сроков	План закупок	Бюджет Сроки закупок Оценка категоризации процедур
3	Подготовка пакета документов	Подготовка документов в соответствии с планом: критерии допуска / оценки, договор, техническое задание	Закупочная документация	Оценка категоризации процедур Вид процедуры Влияние внутренних стейкхолдеров
4	Открытие закупочной процедуры (экспозиция)	Публикация на электронных торговых площадках, приглашение потенциальных участников, обработка запросов	Закупочная документация опубликована и верифицирована потенциальными исполнителями, заявки получены	Сроки процедур Вид закупочной процедуры Качество закупочной документации Экономическая ситуация, конкурентная среда и структура рынка Соответствие закупочной документации предложениям рынка Критерии допуска/оценки
5	Оценка заявок	Допуск/отклонение, основной этап (торг, процедура конкурентной борьбы между потенциальными исполнителями), оценка и сопоставление	Данные по заявкам	Степень фаворитизма и субъективизма Критерии допуска/оценки Экономическая ситуация, конкурентная среда и структура рынка Предложения потенциальных исполнителей
6	Закрытие закупочной процедуры (подведение итогов)	Принятие решения закупочной комиссией	Итоговый протокол	Оценка результатов закупочных процедур Предложения потенциальных исполнителей

Каждый драйвер этапа закупочного процесса со стороны агента-заказчика можно математически формализовать. Изменение драйверов при математической формализации в абсолютных величинах обозначено на блок-схемах соответствующим символом Δ .

Факторы, логически влияющие на закупочный процесс агентов-заказчиков, можно представить в виде выражений, характеризующих ограничения системы:

$$\left\{ \begin{array}{l} \text{Срок закупочной процедуры} \rightarrow \min; \\ \text{Конкуренция} \rightarrow \max; \\ \text{Закупочная цена} \rightarrow \min; \\ \text{Качество планирования и подготовки} \rightarrow \max; \\ \text{Субъективное влияние на результат} \rightarrow \min; \\ \text{Критерии допуска/оценки} \rightarrow \max. \end{array} \right. \quad (2)$$

Модель первого этапа закупочного процесса агента-заказчика

На первом этапе со стороны внутренних подразделений агента-заказчика определяется потребность в товарах (работах, услугах) a_i^m . Далее каждая i -я потребность объема a с соответствующим видом m консолидируется в общую потребность: $a_i^m \in K_{mj}$.

После консолидации агент-заказчик собственными силами определяет возможность и экономическую целесообразность удовлетворения возникшей потребности.

Математическая формализация первого этапа в виде блок-схемы представлена на рис. 2.

Экономическая целесообразность осуществления закупки возникшей потребности [4]:

$$K_{mj} < Q_m = \frac{F}{C_{\text{ориентир}}^m - V_m}, \quad (3)$$

где Q_m – расчетный (условный) объем товаров (работ, услуг), требуемый к удовлетворению потребностей; F – постоянные издержки организации вне зависимости от объема производства товаров (работ, услуг) собственными силами; $C_{\text{ориентир}}^m$ – ориентировочная цена закупки единицы товаров (работ, услуг); V_m – переменные издержки в расчете на единицу производимых товаров (работ, услуг) собственными силами.

По результатам этапа формируются решение о закупке $P_{\text{buy}}^m = 1$ или удовлетворении потребности собственными силами $P_{\text{buy}}^m = 0$, а также консолидированная потребность K_{mj} .

Архитектура второго этапа закупочного процесса агента-заказчика

На втором этапе агент-заказчик определяет начальные (максимальные) цены, категоризацию закупочных процедур и вид закупочной процедуры.

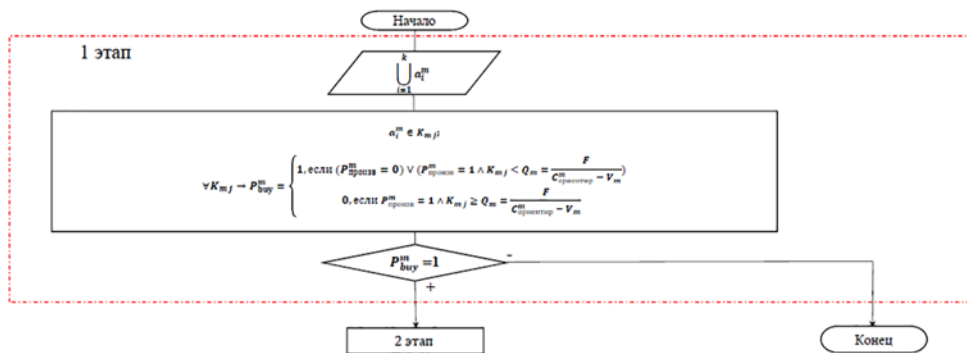


Рис. 2. Блок-схема первого этапа закупочной процедуры

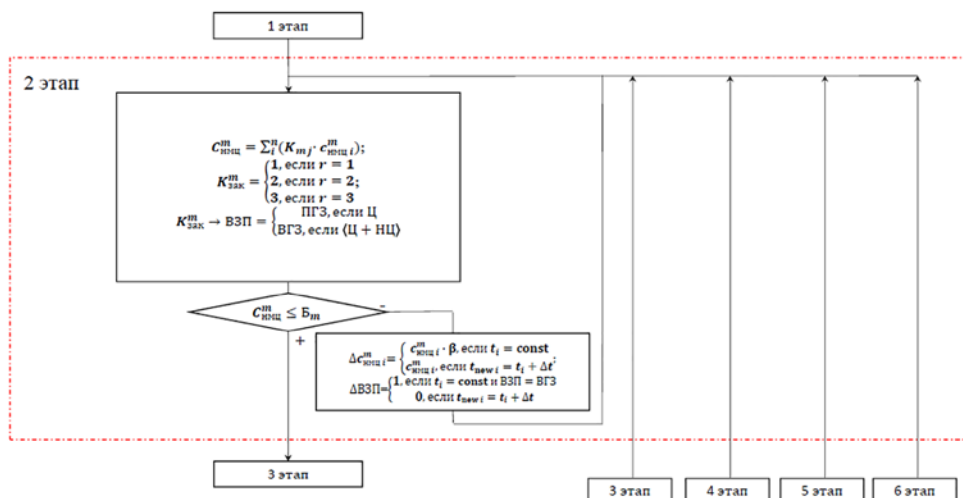


Рис. 3. Блок-схема второго этапа закупочной процедуры

Исходными параметрами этапа служат данные о консолидированной потребности $K_{иц}$, ценовых выборках, полученных в ходе анализа рынка.

Математическая формализация второго этапа в виде блок-схемы представлена на рис. 3.

Основной драйвер второго этапа – определение и проверка начальных (максимальных) цен. Метод определения цен, максимально точно учитывающий динамичность экономической среды и рекомендованный при регулируемых закупочных процедурах [5–7], – метод сопоставимых рыночных цен.

Он подразумевает получение ценовой информации от других агентов и использование в общей совокупности ценовых выборок ретроспективной информации.

После получения ценовых выборок необходимо проверить статистическую

корректность ценовой выборки с помощью коэффициента вариации:

$$k_v = \frac{\delta}{\bar{C}}, \quad (4)$$

где δ – среднее квадратическое отклонение, с помощью которого определяют разброс данных; \bar{C} – средняя арифметическая цена.

Среднее квадратическое отклонение:

$$\delta = \sqrt{\frac{\sum_{i=1}^n (c - \bar{C})^2}{n - 1}}, \quad (5)$$

где c – значение цены в ценовой выборке; n – количество ценовых данных.

Оценка приемлемых уровней значений коэффициентов вариации с учетом общепринятых в статистическом анализе показателей, а также рекомендуемых [8] представлена в таблице 2.

Таблица 2

Интерпретация значений коэффициента вариации

Значение коэффициента	Интерпретация данных	Однородность данных
Менее 0,10	Степень рассеивания данных незначительная	Данные однородные
От 0,10 до 0,20	Степень рассеивания данных средняя	Данные однородные
Более 0,20 до 0,33	Степень рассеивания данных высокая	Данные однородные
Более 0,33	Степень рассеивания данных значительная	Данные неоднородные

Если уровень коэффициента вариации неудовлетворительный (данные неоднородные), то исходные данные корректируются или рынок исследуется еще раз для получения большего значения ценовых параметров.

В зависимости от количества значений выборки и однородности данных для финального определения начальных (максимальных) цен используют среднеарифметическое значение $C_{\text{нмц}i} = \bar{C}$ (при незначительной степени рассеивании данных), среднеарифметическое значение между минимальным ценовым значением и среднеарифметическим всего ценового ряда $C_{\text{нмц}i} = C_{\text{min}}$ (при средней степени рассеивания данных), медианное значение $C_{\text{нмц}i} = C_e$ (при высокой степени рассеивания данных).

При необходимости проведения конкурентной закупочной процедуры использование крайнего минимального значения ценовой выборки часто не рационально (есть риск, что не будет предложений от потенциальных исполнителей).

Среднеарифметическое значение между минимальным ценовым значением и среднеарифметическим всего ценового ряда:

$$\bar{C}_{\text{min}} = \frac{\bar{C} + c_{\text{min}}}{n}, \quad (6)$$

где c_{min} – минимальное значение ценовой выборки.

Медианное значение:

$$C_{\text{ниж}} + i \cdot \frac{\sum f - S}{Y}, \quad (7)$$

где $C_{\text{ниж}}$ – нижняя граница медианного интервала, в котором накопленная частота превышает полусумму всех частот; i – величина медианного интервала, f – частота, с которой встречается то или иное значение в ряду; S – сумма частот интервалов, предшествующих медианному; Y – частота медианного интервала (число значений).

Медианные значения следует выбирать в зависимости от количества и однородности ценовых выборок. Для определения цен с использованием медианных значений следует разбивать полученные ценовые значения выборок на усредненные интервалы.

Медианные значения можно вычислять в автоматическом режиме, без дополнительных преобразований исходных данных (при наличии соответствующих программных комплексов).

Определение общей начальной (максимальной) цены консолидированной потребности:

$$C_{\text{нмц}} = \sum_{i=1}^n (C_{\text{нмц}i} \cdot K_{mj}). \quad (8)$$

Следующий драйвер второго этапа – определение категории закупочной процедуры, влияющей в дальнейшем на основные параметры.

В основу категоризации следует положить влияние рисков на исходящий ресурсный поток. Зависимость категории закупочной процедуры от величины влияния рисков на исходящий ресурсный поток Q_{out} следует логически.

Под риском будем понимать вероятность наступления события, влекущего возникновение экономических потерь [9].

Для оценки и ранжирования экономических рисков выбора исполнителей с помощью нечетких показателей и логики можно лингвистически оценить зависимость риска r от вероятности возникновения и величины экономических потерь (влияние $Q_{\text{инк}i}$ на Q_{out}), учитывая исследования [10] (таблица 3).

Таким образом, показано отношение к рискам с помощью нечетких лингвистических величин. Данное отношение к рискам можно положить в основу соответствующей категоризации закупочных процедур $K_{\text{зак}}^m$. Количественные выражения нечетких лингвистических величин задаются в каждом конкретном кейсе.

В соответствии с категорией определяется нужна или не нужна качественная оценка потенциальных

Таблица 3

Зависимость риска от вероятности возникновения экономических потерь

Вероятность возникновения потерь	Экономические потери		
	большие	средние	низкие
Большая	Большой (категория 1)	Средний (категория 2)	Низкий (категория 3)
Средняя	Средний (категория 2)	Средний (категория 2)	Низкий (категория 3)
Низкая	Низкий (категория 3)	Низкий (категория 3)	Низкий (категория 3)

исполнителей и, соответственно, вид закупочной процедуры:

$$ВЗП = \begin{cases} \text{ПГЗ, если Ц} \\ \text{ВГЗ, если (Ц + НЦ)} \end{cases}, \quad (9)$$

где ВЗП – вид закупочной процедуры; ПГЗ – первая группа закупок (установление критериев допуска, оценка предложений потенциальных исполнителей только по ценовым факторам Ц); ВГЗ – вторая группа закупок (установление критериев допуска и оценки, оценка осуществляется как по ценовым Ц, так и по неценовым факторам НЦ (установление критериев оценки)).

При $K_{\text{зак}}^m = 3$ следует определять ВЗП как ПГЗ, так как дополнительная качественная оценка нецелесообразна из-за низкого влияния рисков на Q_{out} . В остальных случаях следует определять ВЗП как ВГЗ.

По результатам второго этапа происходит проверка на соответствие планируемому (доведенному) бюджету для закупочной процедуры: $C_{\text{нмц}} \leq B_m$. Если B_m не соответствует, то цены пересматриваются, то есть проводится дальнейшее исследование рынка или корректировка полученных $C_{\text{нмц}}$ с использованием отсрочек платежей или уменьшающих коэффициентов.

При сложности определения начальных (максимальных) цен рассматривают возможность отсрочки платежей для нивелирования негативного эффекта на бюджетную составляющую. При рассмотрении отсрочки платежей учитывают возможность корректировки сроков оплаты и максимально возможный срок оплаты исходя из заданных бюджетных правил.

Для рассмотрения отсрочек оплаты используют дисконтирование:

$$PV_{t_0} = \frac{FV_t}{(1+r)^{t-t_0}}, \quad (10)$$

где PV_{t_0} – стоимость денежных средств во времени t_0 ; FV_t – будущая стоимость денежных средств во времени t ; r – принятая процентная ставка за установленный период дисконтирования.

После дисконтирования и определения будущей стоимости денежных средств, планируемых к оплате, оценивают негативный эффект и устанавливают различные сроки оплаты, чтобы соблюдалось условие:

$$PV_{(C_{\text{нмц}})_{tc}} \leq PV_{(B_m)_{tB}}, \quad (11)$$

где $PV_{(C_{\text{нмц}})_{tc}}$ и $PV_{(B_m)_{tB}}$ – соответствующие стоимости денежных средств $C_{\text{нмц}}$ и B_m во времени tc и tB .

В случае невозможности изменения сроков оплаты или при незначительном эффекте от дисконтирования к значению $C_{\text{нмц}}$ можно применить уменьшающий бюджетный коэффициент β :

$$C_{\text{нмц}} \cdot \beta \leq B_m. \quad (12)$$

Использование коэффициента β может снизить вероятность успешности закупочной процедуры и опосредованно повлиять на качество ресурсных потоков, так как рыночная стоимость товаров (работ, услуг) искусственно занижается. Для нивелирования негативных последствий при использовании коэффициента β следует определять

ВЗП = ПГЗ независимо от определенной закупочной категории.

По результатам этапа определяются начальная (максимальная) цена $C_{\text{НМЦ}}$, категория закупочной процедуры $K_{\text{зак}}$ и вид закупочной процедуры ВЗП \equiv ПГЗ или ВГЗ.

Модель третьего этапа закупочного процесса агента-заказчика

На третьем этапе со стороны внутренних подразделений агента-заказчика происходит подготовка закупочной документации.

Математическая формализация третьего этапа в виде блок-схемы представлена на рис. 4.

Для нивелирования разночтений и разногласий при разработке документации, в частности, договоров и техни-

ческих заданий логичнее в организациях утверждать закупочные нормативы и типовые технические задания с договорами. Вид договора и технического задания T_m выбирается на основании данных о консолидированной потребности K_m и категории $K_{\text{зак}}^m$. На третьем этапе устанавливаются критерии допуска и оценки потенциальных исполнителей. Поскольку есть особенности закупочных процедур, то для ПГЗ используются только критерии допуска, для ВГЗ – допуска и оценки.

Основные требования к потенциальным исполнителям в виде критериев допуска и оценки представлены в таблице 4.

В таблице 4 приведены существенные и практически реализуемые критерии допуска и оценки. Также можно применять иные критерии в зависимости

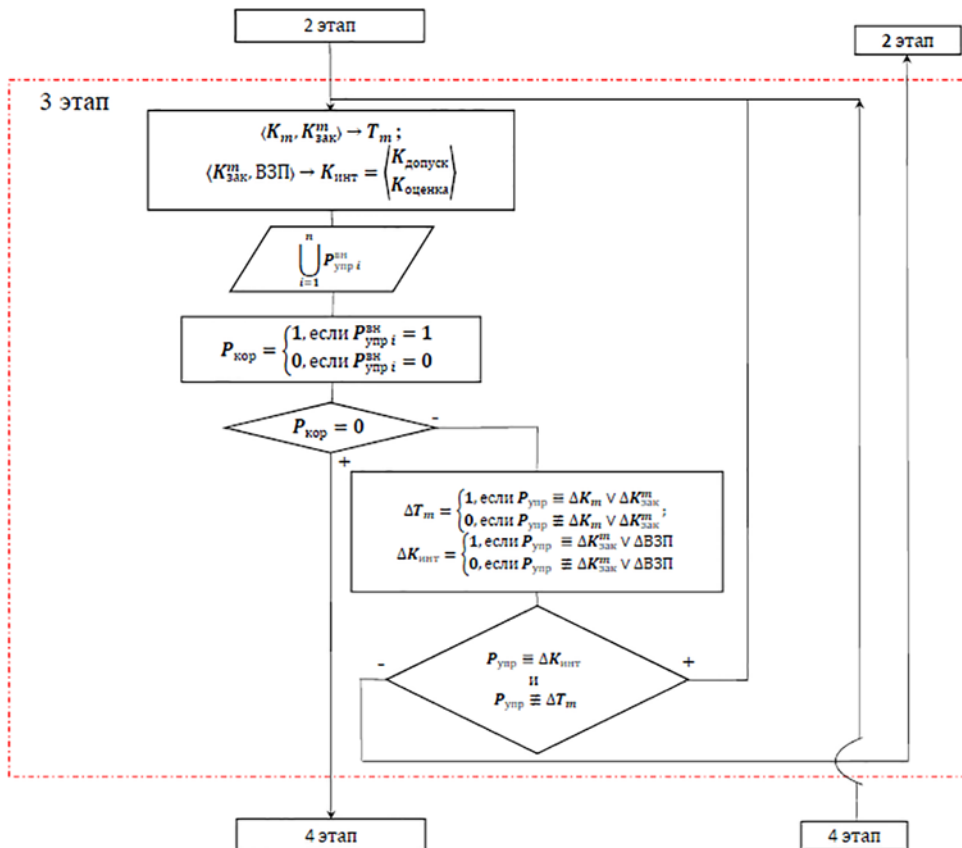


Рис. 4. Блок-схема третьего этапа закупочной процедуры

Таблица 4

Критерии допуска и оценки			
Вид	Критерий	Формализация и расшифровка составляющих критериев	Обоснование использования
Допуск	Корректность подачи ценового предложения	$C_{\Pi} \leq C_{\text{нмц}}$, где C_{Π} – ценовое предложение потенциального исполнителя	Характеризует экономическую эффективность закупочной деятельности, не может быть более заданной начальной (максимальной) цены
	Соответствие требованиям законодательства и отраслевым стандартам	$\Pi \geq \text{ОС}$, где Π – предложение потенциального исполнителя; ОС – установленные требования, согласно законодательству и отраслевым стандартам	Характеризует соответствие установленным требованиям Предложение не должно быть хуже заданных требований
	Соответствие требованиям технического задания	$\Pi \geq \text{ТЗ}$, где Π – предложение потенциального исполнителя; ТЗ – установленное техническое задание Подтверждение соответствия происходит на основании предоставленных документов, требования к которым установлены в закупочной документации Также при закупках работ и товаров подтверждение соответствия возможно при предоставлении потенциальными исполнителями конкретных характеристик соответствующих работ и товаров в случае установления интервальных значений заказчиком в документации	Характеризует соответствие установленным требованиям Предложение не должно быть хуже заданных требований
	Соответствие требованиям, подтверждающим наличие соответствующей материально-технической базы	$\text{МТБ}_{\Pi} \geq \text{МТБ}_3$, где МТБ_{Π} – предложение потенциального исполнителя подтверждения наличия материально-технической базы; МТБ_3 – установление требований к материально-технической базе со стороны заказчика Установление требований к материально-технической базе должно быть обосновано и соответствовать минимально необходимым требованиям для выполнения работ. Минимально необходимые требования берутся из трудозатрат и технологической составляющей планируемых ресурсных потоков	Характеризует соответствие установленным требованиям Предложение не должно быть хуже заданных требований
	Соответствие требованиям, подтверждающим наличие опыта	$\Sigma \text{О}_{\Pi} \geq \text{О}$, где $\Sigma \text{О}_{\Pi}$ – сумма аналогичного опыта, предоставленная потенциальным исполнителем; О – установленный размер опыта со стороны заказчика Опыт может измерять в натуральных или стоимостных показателях Установление требований к наличию аналогичного опыту должно быть обосновано и не должно превышать планируемый объем работ согласно закупочной документации Также при установлении данного требования должны быть четко и измеримо прописаны требования аналогичности	Характеризует соответствие установленным требованиям Предложение не должно быть хуже заданных требований

Продолжение табл. 4

Вид	Критерий	Формализация и расшифровка составляющих критериев	Обоснование использования
Оценка	Подтверждение наличия МТБ, установленных для оценки	$МТБ_{и} > МТБ_{з}$	Оценка МТБ осуществляется при предоставлении подтверждения наличия более установленных закупочной документацией
	Подтверждение наличия аналогичного опыта, установленного для оценки	<p>Оценочная величина аналогичного опыта i-го потенциального исполнителя:</p> $O_{доп} = \frac{100 \cdot \sum O_{п}}{C_{нмц} \cdot Win},$ <p>где Win – максимальное возможное количество победителей по закупочной процедуре в соответствии с условиями закупочной документации</p>	Предложенная величина опыта приводится к потенциальному объему исполнения обязательств сторон
	Финансовая устойчивость компании	<p>1. Стоимость чистых активов [11]:</p> $СЧА = (\Sigma НП(НУ) + ДБП - ЗУ) > v,$ <p>где $\Sigma НП$ – сумма нераспределенной прибыли; $\Sigma НУ$ – сумма непокрытого убытка, ДБП – доходы будущих периодов; ЗУ – задолженность по взносам в уставный капитал; v – заданная величина (обычно 0)</p> <p>Источник получения обозначенных данных – бухгалтерский баланс. Исходя из источника получения данных стоимость чистых активов можно рассчитать [11]:</p> $СЧА = \text{стр.1300} + \text{стр.1530} - \text{стр.1170}$ <p>2. Коэффициент соизмеримости выручки:</p> $КСВ = \frac{\sum В \cdot P}{(12 + КМ) \cdot С} \geq \mu,$ <p>где $\Sigma В$ – сумма показателей выручки за последний заверченный период (год) и за текущий год на отчетную дату (в соответствии с отчетом о прибылях и убытках); P – период выполнения обязательств по данным закупочной документации; КМ – количество месяцев в отчетном периоде текущего года; C – планируемая сумма договора с учетом предложения потенциального исполнителя; μ – заданный коэффициент, характеризующий устойчивость компании при потенциальном выполнении обязательств (во многих источниках и на практике устанавливают значение 0,5)</p> <p>3. Коэффициент, учитывающий долю собственных и заемных средств в обороте [12]:</p> $\partial = 1 - \frac{V_{\text{заем.оборот}}}{V_{\text{общ.оборот}}},$ <p>где $V_{\text{заем.оборот}}$ – объем заемных средств в обороте; $V_{\text{общ.оборот}}$ – общий объем средств</p>	<p>1. Формализованный финансовый показатель, характеризующий остаток собственных средств компании после всех расчетов с кредиторами</p> <p>2. Характеризует соизмеримость суммы заключаемого по результатам конкурсной процедуры контракта с объемом годовой выручки от основной деятельности</p> <p>3. Оценивается долговая нагрузка организации</p>

Окончание табл. 4

Вид	Критерий	Формализация и расшифровка составляющих критериев	Обоснование использования
Оценка		в обороте. Данные указываются в соответствии с бухгалтерскими учетными документами	
	Состояние материально-технической базы	Износ основных фондов [12]: $k_{\text{изн}} = 1 - \frac{Q_{\text{изн}}}{Q_{\text{общ}}},$ где $Q_{\text{изн}}$ – активная часть основных производственных фондов предприятия с критической степенью износа; $Q_{\text{общ}}$ – общая активная часть основных производственных фондов предприятия	Оценивается износ основных фондов организации
	Добросовестность компании	Коэффициент устойчивости компании с учётом [12]: $k_{\text{уст}} = 1 - \frac{n_i \cdot k_{ni}}{N_i},$ где n_i – количество нарушений i -й компании, выявленных на этапе исполнения; k_{ni} – коэффициент, характеризующий степень нарушений; N_i – общее количество действующих договоров Данные декларируются потенциальным исполнителем. Достоверная проверка возможна только по договорам с текущим заказчиком (который осуществляет закупочную процедуру), а также по договорам с государственными заказчиками (информация указывается в Единой информационной системе)	Оценивается добросовестность организации при исполнении обязательств по заключенным договорам
	Альтернативное предложение по срокам оплаты	В случае предоставления улучшенных условий оплаты потенциальному исполнителю могут быть предоставлены преимущества исходя из получения выгоды заказчика. Выгода заказчика рассчитывается путем дисконтирования, как было указано в формуле (11). Преимущества оцениваются в виде виртуальной дополнительной скидки к ценовому предложению при оценке: $C_{\text{п для оц}} = C_{\text{п}} \cdot z,$ где z – коэффициент, учитывающий виртуальную дополнительную скидку потенциального исполнителя	Оценивается предложение по улучшенным срокам оплаты
	Альтернативное предложение по срокам исполнения обязательств	В случае предоставления улучшенных условий по срокам исполнения обязательств потенциальному исполнителю могут быть предоставлены преимущества исходя из получения выгоды заказчика. Выгода заказчика рассчитывается путем дисконтирования, как было указано в формуле (11) Преимущества оцениваются в виде виртуальной дополнительной скидки к ценовому предложению при оценке: $\Pi_{\text{п срок для оц}} = C_{\text{п}} \cdot z$	Оценивается предложение по улучшенным срокам исполнения обязательств сторон

от целей и кейсов. Критерии оценки без критериев допуска использовать нельзя.

В случае использования оценочных критериев оценка происходит по цене и неценовым критериям, для которых применяют соответствующие весовые коэффициенты, удовлетворяющие условию: $\sum \alpha_i = 1,00$. Сами веса α_i на текущий момент можно определить только экспертным путем.

Управляющее воздействие со стороны внутренних стейкхолдеров $P_{\text{упр}}$ реализуется при необходимости корректировки K_{mj} , $K_{\text{зак}}^m$, ВЗП. Возможность корректировки определяется на основании установленных изначальных правил, при этом должно строго соблюдаться правило, установленное выражением (9).

По результатам этапа формируется информация о виде технического задания и договора T_m , критериев допуска $K_{\text{допуск}}$ и/или оценки $K_{\text{оценка}}$.

Особенности моделирования четвертого этапа закупочного процесса агента-заказчика

Четвёртый этап заключается в экспозиции и верификации установленных требований и условий. Основной драйвер – именно верификация.

Начальными данными этапа служит вектор \vec{T} , включающий в себя все основные параметры закупочной процедуры, определенные в предыдущих этапах.

Математическая формализация четвертого этапа в виде блок-схемы представлена на рис. 5.

Экспозиция заключается в представлении потенциальным исполнителям параметров закупочной процедуры \vec{T} .

Потенциальные исполнители, получив параметры, могут предложить корректировки и уточнить составляющую. Такие же предложения по разным причинам возможны со стороны внутренних служб агента-заказчика.

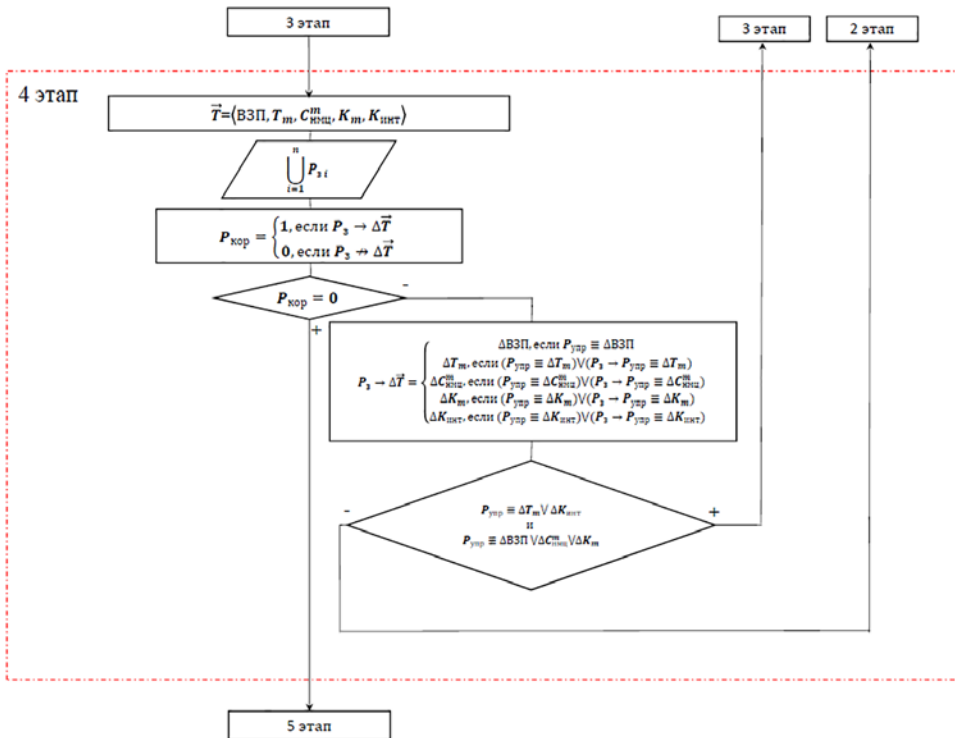


Рис. 5. Блок-схема четвертого этапа закупочной процедуры

Появление предложений выражено вероятностной величиной P_{zi} . Возможность корректировки выражена величиной $P_{кор}$ и заключается в проверке предложений на заданные изначально зависимости и ограничения системы.

В случае возможности на этапе, где параметр вводился или рассчитывался, агент-заказчик вносит корректировку в соответствии с предложением.

В случае корректности закупочной документации (соответствие начальных (максимальных) цен, договора и технического задания возможностям потенциальных исполнителей) требования и условия считаются верифицированными.

По результатам этапа подтверждается корректность установленных требований.

Модель пятого этапа закупочного процесса агента-заказчика

На пятом этапе происходят допуск, торг и оценка потенциальных исполнителей.

В качестве исходных данных этапа используется множество предложений

от потенциальных исполнителей $\bigcup_{i=1}^l \bar{P}_i$,

характеризующих вектор соответствующих данных. Вектор данных будет использоваться в качестве исходных, подлежащих оценке в соответствии с параметрами закупочной процедуры.

Математическая формализация пятого этапа в виде блок-схемы представлена на рис. 6.

Для допуска используют соответствующие критерии, установленные в таблице 4. В случае неудовлетворения критериям допуска потенциальные исполнители не допускаются для дальнейших оценочных действий и их предложения не учитываются.

Если количество заявившихся потенциальных исполнителей или количество допущенных потенциальных исполнителей n_i^c менее определенного (установленного) значения ω , то закупочная процедура признается несостоявшейся

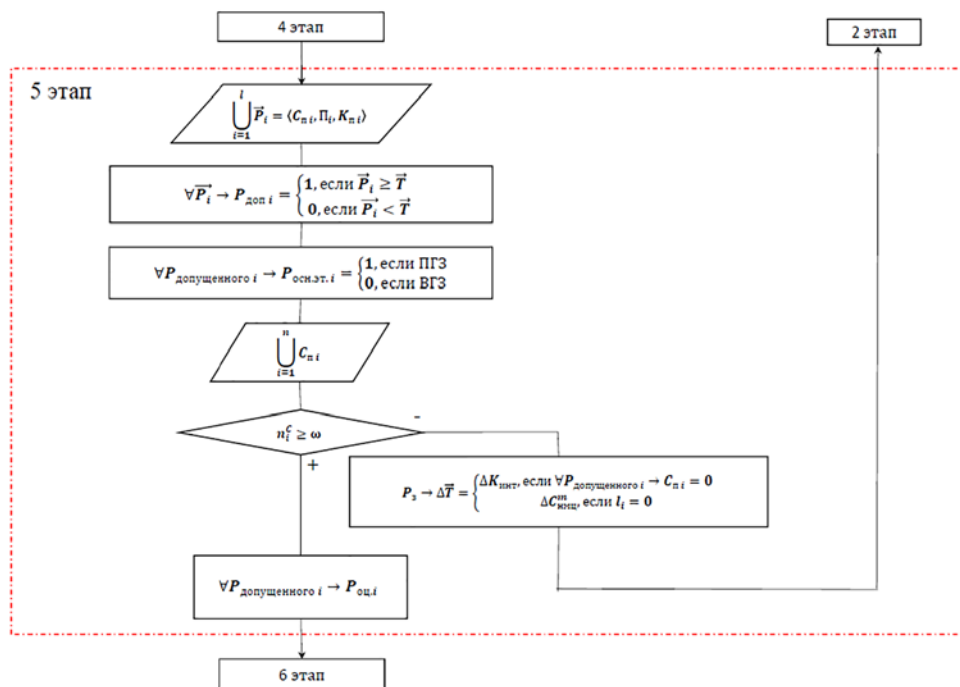


Рис. 6. Блок-схема пятого этапа закупочной процедуры

даже с корректировкой критериев допуска и оценки или начальной (максимальной цены).

В случае ПГЗ используют ценовые предложения (основной этап подачи ценовых предложений), в случае ВГЗ – оценочные критерии с соответствующими весами.

Для ВГЗ решается задача с многокритериальным выбором. Для решения эффективно использовать совокупность подходов в интегральной оценке [2]: иерархический, TOPSIS и нечеткий многоцелевой.

Алгоритм решения многокритериальной задачи с учетом [13] включает в себя построение соответствующих матриц (i -й строки и j -того столбца) и следующие действия: критерии оценки переводятся в безразмерный вид, к полученным критериям применяют коэффициенты весов α_i , далее находят идеально позитивное и идеально негативное решения, затем определяются расстояния от альтернатив до идеальных решений, финальным действием является нахождение относительной близости (соответствия) к идеально позитивному решению.

Перевод критериев в безразмерный вид [13]:

$$p_{ij} = \frac{k_{ij}}{\sqrt{\sum_{j=1}^n k_{ij}^2}}, \quad (13)$$

где k_{ij} – соответствующая величина критерия из предложения потенциально-го исполнителя.

Применение весовых коэффициентов к безразмерным величинам критериев [13]:

$$g_{ij} = \alpha_i \cdot p_{ij}. \quad (14)$$

Нахождение идеально позитивного и идеально негативного решения [13]:

$$R_i^+ = \max(g_i), \quad (15)$$

$$R_i^- = \min(g_i). \quad (16)$$

Нахождение расстояний от альтернатив до идеальных решений [13]:

$$S_j^+ = \sqrt{\sum_{i=1}^n (R_i^+ - g_{ij})^2}, \quad (17)$$

$$S_j^- = \sqrt{\sum_{i=1}^n (R_i^- - g_{ij})^2}. \quad (18)$$

Нахождение относительной близости (соответствия) к идеально позитивному решению [13]:

$$S_{\text{близ}}^+ = \frac{S_j^-}{S_j^+ + S_j^-}. \quad (19)$$

Результатом этапа являются обработанные данные от потенциальных исполнителей. Логика блок-схемы представлена на рис. 6; $S_{\text{близ}}^+ \equiv P_{\text{ош}}^+$.

Главное преимущество предложенного подхода к оценке предложений потенциальных исполнителей – использование относительных величин в зависимости от предложений при первоначальном установлении входного порога. Данное преимущество наиболее актуально для таких крупных сетевых структур, как холдинг «РЖД».

Модель шестого (заключительного) этапа закупочного процесса агента-заказчика

Главным драйвером служит ранжирование результатов закупочной процедуры R_i с использованием нечетких множеств.

Математическая формализация шестого этапа в виде блок-схемы представлена на рис. 7.

Ранжирование для ПГЗ происходит в соответствии с минимальным ценовыми предложениями потенциальных исполнителей: $R_{\text{max}} = C_{n \text{ min}}$. Места расставляют от наименьшего ценового предложения к наибольшему.

Ранжирование для ВГЗ происходит в соответствии с данными, полученными при оценке нахождения относительной близости к идеально-позитивному

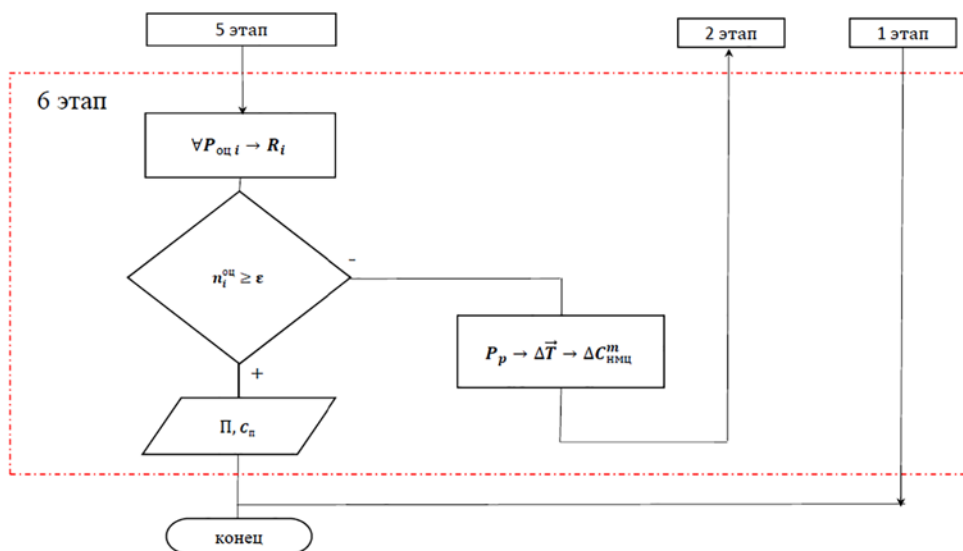


Рис. 7. Блок-схема шестого этапа закупочной процедуры

решению: $R_{\max} = S_{\text{близ. max}}^+$. Места расставляют от наибольшей относительной близости к наименьшей.

Если количество предложений от потенциальных исполнителей $n_i^{\text{оц}}$, которые были допущены и оценены на предыдущем этапе, менее определенного (установленного) значения количества победителей ϵ , то закупочная процедура признается несостоявшейся, а начальная (максимальная) цена корректируется.

Результат финального этапа – данные о победителе (победителях) закупочной процедуры. Основные данные характеризуются предложением Π и ценой C_{π} . Можно представить и иные данные, учитывающие доли распределения договоров и правила. Финальные характеристики предложений будут использоваться в ресурсном потоке при исполнении обязательств сторон.

Представленный подход к моделированию действий агента-заказчика верифицирован и положен в основу программного продукта, разработанного в пакете прикладных программ MatLAB.

Выводы

1. Разработана общая модель закупочной процедуры со стороны агентов-заказчиков, которая представляет собой набор автоматизированных действий в зависимости от формализованных драйверов.

2. Предложенная модель состоит из шести этапов. Суть декомпозиции – в автоматизации и цифровизации каждого отдельного этапа, характеризующего определенный бизнес-процесс организации закупочной деятельности. Декомпозиция позволяет моделировать и автоматизировать действия в каждом отдельном структурном подразделении организации.

3. Выходные параметры разработанной модели: для этапов с первого по четвертый – моделирование исходных данных для закупочной процедуры со стороны агента-заказчика, для этапов с пятого по шестой – моделирование показателей предложений потенциальных исполнителей, которые являются условиями для дальнейшей организации ресурсных потоков. ■

Литература

1. Зайцев В. Е. Цифровая экономика как объект исследования: обзор публикаций // Вопросы государственного и муниципального управления. № 3. 2019. С. 107–122. ISSN 1999-5431.
2. Тихонов П. М. Развитие ресурсного обеспечения при регулируемой закупочной деятельности // Вестник УрГУПС № 4 (44). 2019. С. 112–123. ISSN 2079-0392.
3. Абрамов В. И. Разработка агент-ориентированной модели функционирования системы государственных закупок (на примере закупочной деятельности предприятия наукограда) : дис. ... на соиск. уч. ст. канд. экон. наук : 08.00.13. – М. : ФГБУН «Центральный экономико-математический институт Российской академии наук». – 2018. 163 с.
4. Деминова С. В. Развитие анализа и прогнозирования рентабельности коммерческих организаций на основе системного подхода : дис. ... на соиск. уч. ст. канд. экон. наук : 08.00.12. – Орёл : ФГБОУ ВПО «Орловский государственный институт экономики и торговли». – 2014. 187 с.
5. О закупках товаров, работ, услуг отдельными видами юридических лиц : федеральный закон. URL: http://www.consultant.ru/document/cons_doc_LAW_116964/ (дата обращения: 10.01.2020).
6. О контрактной системе в сфере закупок товаров, работ, услуг для обеспечения государственных и муниципальных нужд : федеральный закон. URL: http://www.consultant.ru/document/cons_doc_LAW_144624/ (дата обращения: 10.01.2020).
7. О защите конкуренции : федеральный закон. URL: http://www.consultant.ru/document/cons_doc_LAW_61763/ (дата обращения: 10.01.2020).
8. Об утверждении методических рекомендаций по применению методов определения начальной (максимальной) цены контракта, цены контракта, заключаемого с единственным поставщиком (подрядчиком, исполнителем) : приказ Министерства экономического развития Российской Федерации. – URL: <https://base.garant.ru/70473958/> (дата обращения: 11.01.2020).
9. Чернушевич Т.К. Риски в сетевых организационных структурах // Вестник УрГУПС, № 2 (30). 2016. С. 108–118. ISSN 2079-0392.
10. Сидоров А. О. Модель и метод структурированной оценки риска при анализе информационной безопасности : автореф. дис. ... на соиск. уч. ст. канд. техн. наук : 05.13.19. – СПб : ГОУ ВПО «Санкт-Петербургский государственный университет информационных технологий, механики и оптики». 2008. 24 с.
11. Об утверждении порядка определения стоимости чистых активов : приказ Минфина России. URL: http://www.consultant.ru/document/cons_doc_LAW_169895/ (дата обращения: 10.01.2020).
12. Сизый С. В. Теория и методология формирования сетевого организационного взаимодействия на железнодорожном транспорте : дис. ... на соиск. уч. ст. д-ра техн. наук : 05.02.22. – Екатеринбург : ФГБОУ ВПО УрГУПС, 2011. 384 с.
13. Лобкова Е. В. Применение метода TOPSIS при решении задачи оценки устойчивости развития территорий // Экономические науки, № 172. 2019. С. 47–51. ISSN 2072-0858.

Literature

1. Zaitsev V. E. Digital economy as the subject of research: literature survey // Government and municipal management issues [Tsifrovaya ekonomika kak ob'ekt issledovaniya: obzor publikatsiy // Voprosy gosudarstvennogo i munitsipal'nogo upravleniya], № 3. 2019. p. 107–122. ISSN 1999-5431.
2. Tihonov P. M. Development of resource provisioning under controlled procurement-related activities // Herald of USURT [Razvitie resursnogo obespecheniya pri reguliruemoy zakupchnoy deyatel'nosti // Vestnik UrGUPS] № 4 (44). 2019. p. 112–123. ISSN 2079-0392.
3. Abramov V. I. Elaboration of the contractor-oriented model of functioning public procurement system (based on the example of procurement-related activities of «Naukograd» enterprise): diss. ... for cand. of econ. sciences degree: 08.00.13. – M. Federal State Budget Establishment of Science “Central economy-mathematical institute of the Russian academy of science” [Razrabotka agent-orientirovannoy modeli funktsionirovaniya sistemy gosudarstvennykh zakupok (na primere zakupchnoy deyatel'nosti predpriyatiya naukograda) : dis. ... na soisk. uch. st. kand. ekon. nauk : 08.00.13. – M. : FGBUN «Tsentral'niy ekonomiko-matematicheskiy institut Rossiyskoy akademii nauk»]– 2018. 163 p.

4. Deminova S. V. Development of analysis and forecasting profitability of commercial organizations on the basis of system approach: diss. ... for cand. of econ. sci. degree: 08.00.12. – Orel: FSBEI HPE «Orlov state institute of economy and trade» [Razvitie analiza i prognozirovaniya rentabel'nosti kommercheskikh organizatsiy na osnove sistemnogo podhoda : dis. ... na soisk. uch. st. kand. ekon. nauk : 08.00.12. – Orel : FGBOU VPO «Orlovskiy gosudarstvenniy institut ekonomiki i trgovli»]. – 2014. 187 p.
5. On procurement of goods, works, services by certain types of legal entities: Federal law [O zakupkah tovarov, rabot, uslug otdel'nymi vidami yuridicheskikh lits : federal'niy zakon]. URL: http://www.consultant.ru/document/cons_doc_LAW_116964/ (reference date: 10.01.2020).
6. On the contract system in the field of procurement of goods, works, services for state and municipal needs: Federal law [O kontraktной sisteme v sfere zakupok tovarov, rabot, uslug dlya obespecheniya gosudarstvennyh i munitsipal'nyh nuzhd : federal'niy zakon]. URL: http://www.consultant.ru/document/cons_doc_LAW_144624/ (reference date: 10.01.2020).
7. On protection of competition: Federal law [O zashchite konkurentsii : federal'niy zakon]. URL: http://www.consultant.ru/document/cons_doc_LAW_61763/ (reference date: 10.01.2020).
8. On approval of methodical recommendations for application of methods of initial (maximum) contract price determination, contract price concluded with a sole supplier (contractor, agent) : decree of the Russian Federation Ministry of economic development [Ob utverzhdenii metodicheskikh rekomendatsiy po primeneniyu metodov opredeleniya nachal'noy (maksimal'noy) tseny kontrakta, tseny kontrakta, zaklyuchaemogo s edinstvennym postavshchikom (podryadchikom, ispolnitelem) : prikaz Ministerstva ekonomicheskogo razvitiya Rossiyskoy Federatsii]. – URL: <https://base.garant.ru/70473958/> (reference date: 11.01.2020).
9. Chernushevich T.K. Risks in network organisational structures // Herald of USURT [Riski v setevykh organizatsionnykh strukturah // Vestnik UrGUPS], № 2 (30). 2016. P. 108–118. ISSN 2079-0392.
10. Sidorov A. O. Model and method for structure risk evaluation while analysing information security : synopsis of a diss. ... for tech. sci. degree : 05.13.19. Saint-Petersburg : SEI HPE «Saint-Petersburg state university of information technologies, mechanics and optics» [Model' i metod strukturirovannoy otsenki riska pri analize informatsionnoy bezopasnosti : avtoref. dis. ... na soisk. uch. st. kand. tekhn. nauk : 05.13.19. – SPb : GOU VPO «Sankt-Peterburgskiy gosudarstvenniy universitet informatsionnykh tekhnologiy, mekhaniki i optiki»]. 2008. 24 p.
11. On approval of procedure for determining of net asset value : decree of the Russian Ministry of finance [Ob utverzhdenii poryadka opredeleniya stoimosti chistykh aktivov : prikaz Minfina Rossii] URL: http://www.consultant.ru/document/cons_doc_LAW_169895/ (reference date: 10.01.2020).
12. Sizyi S. V. Theory and methodology for establishing network organisational interaction at railway transport : diss. ... for a doctoral degree of technical sciences : 05.02.22. – Yekaterinburg : FSBEI HPE USURT [Teoriya i metodologiya formirovaniya setevogo organizatsionnogo vzaimodeystviya na zheleznodorozhnom transporte : dis. ... na soisk. uch. st. d-ra tekhn. nauk : 05.02.22. – Ekaterinburg : FGBOU VPO UrGUPS], 2011. 384 p.
13. Lobkova E. V. Application of TOPSIS method in finding solution for estimation of sustainability of territory development // Economic science [Primenenie metoda TOPSIS pri reshenii zadachi otsenki ustoychivosti razvitiya territoriy // Ekonomicheskie nauki], № 172. 2019. P. 47–51. ISSN 2072-0858.

Статья сдана в редакцию 15 февраля 2020 года

В. В. Цыганов, А. А. Рошин

Самообучение ранжированию предприятия железнодорожного транспорта по энергоэффективности

UDC 658.314.7:330.115

V. V. Tsyganov, A. A. Roshhin

Self-instruction in ranking of railway enterprise for energy efficiency

Аннотация

Рассматриваются адаптивные механизмы управления энергоэффективностью в условиях неопределенности, основанные на самообучении и учете человеческого фактора. Поставлена и решена задача дихотомического ранжирования стохастического потенциала энергоэффективности для случая, когда известны его вероятностные характеристики. В противном случае для определения оптимального параметра правила ранжирования предложено использовать процедуру самообучения.

Рассмотрен случай асимметричной осведомленности лица, принимающего решения, о ранжировании, и персонала, ответственного за энергоэффективность. При этом дальновидный персонал выбирает свои показатели так, чтобы максимизировать собственную целевую функцию, зависящую от результатов ранжирования. Такая активность персонала может приводить к занижению показателя энергоэффективности по сравнению с потенциалом. Соответственно, применение процедуры самообучения может исказить оценки параметра ранжирования.

Для решения этой проблемы предложены механизмы самообучения ранжированию, моделирующие процессы управления персоналом в условиях неопределенности. Результаты функционирования этих механизмов – оценки параметров ранжирования, нормативы и ранги, определяющие стимулы персонала. Найдены достаточные условия синтеза механизма самообучения ранжированию, при котором лицо, принимающее решения, определяет оптимальный параметр правила ранжирования. Эти условия проиллюстрированы на примере самообучения ранжированию энергоэффективности линейного предприятия железнодорожного транспорта в процессе реализации программы повышения энергетической эффективности холдинга «РЖД».

Ключевые слова: энергоэффективность, активность, управление, обучение, стимулирование, ранжирование.
DOI: 10.20291/2079-0392-2020-2-69-80

Abstract

Adaptive methods of energy efficiency control are looked upon under ambiguity conditions, based on self-instruction and human factor. The objective of dichotomous ranking of energy efficiency stochastic potential was set and solved in case when its probabilistic characteristics are known. In a reverse situation, it is suggested to use self-instruction for determination of the most suitable parameter of ranking procedure.

A case of asymmetrical awareness of a decision-making person about ranking and a personnel responsible for energy efficiency was studied. Herewith, the forward-looking personnel chooses its indicators in such a way that the individual objective function which depends on ranking results, can be maximized. Such activity of the personnel may bring to underestimation of the energy efficiency indicator as compared to the potential. As a consequence, application of self-instruction may pervert ranking parameter assessment.

In order to solve this problem there were suggested self-instruction mechanisms in ranking which simulate personnel management under conditions of ambiguity. The results of these mechanisms functioning are estimates of ranking parameters, norms and ranks, determining personnel stimuli. There were found out appropriate conditions of mechanism synthesis of self-instruction in ranking, when a decision-making person identifies the most suitable parameter of the ranking procedure. These conditions are illustrated with the example of energy efficiency ranking self-instruction of the railway enterprise in the process of realization of «RZD» holding energy efficiency improvement program.

Key words: energy efficiency, activity, management, instruction, stimulating, ranking.
DOI: 10.20291/2079-0392-2020-2-69-80

Владимир Викторович Цыганов, д-р техн. наук, профессор; Институт проблем управления им. В. А. Трапезникова РАН; Москва, Россия. E-mail: bbc@ipu.ru. ORCID 0000-0001-9274-0548.

Александр Алексеевич Рошин, зав. лабораторией; Институт проблем управления им. В. А. Трапезникова РАН; Москва, Россия. E-mail: rochinaa@mail.ru. ORCID 0000-0001-7100-4197.

Статья подготовлена по результатам исследований по проекту №16-19-10609 Российского научного фонда «Модели, методы и информационные технологии синтеза комплексных механизмов управления зрелыми активными системами».

Vladimir Viktorovich Tsyganov, Doctor of tech.sci., Professor; Institute of Management Problems named after V. A. Trapeznikov, RAN; Moscow, Russia. E-mail: bbc@ipu.ru. ORCID 0000-0001-9274-0548.

Alexander Alexeyevich Roschin, Institute of Management Problems named after V. A. Trapeznikov, RAN; Moscow, Russia. E-mail: rochinaa@mail.ru. ORCID 0000-0001-7100-4197.

The article is written according to investigation results of the project №16-19-10609 of the Russian scientific foundation «Models, methods and information technology of integrated mechanisms synthesis of ergatic active systems management».

Энергетическая эффективность характеризует отношение пользы от применения энергоресурсов к их затратам, произведенным для получения такого результата. В условиях роста затрат на энергию крупномасштабному холдингу необходима система управления энергоэффективностью его предприятий. Например, в холдинге «РЖД» создана многоуровневая система энергетического менеджмента (СЭМ), интегрированная в общую систему управления производственной деятельностью [1]. Цель – рациональное использование топливно-энергетических ресурсов во всех сферах деятельности холдинга для повышения экономической эффективности железнодорожных перевозок на основе использования потенциала повышения энергоэффективности и внедрения инновационных технических средств и технологий при обеспечении надежности энергоснабжения и снижении негативного воздействия на окружающую среду.

На корпоративном уровне холдинга «РЖД» функционирует Управление планирования и нормирования материально-технических ресурсов, а на региональном – топливно-энергетические центры железных дорог (ТЭЦ), осуществляющие функции управления энергоэффективностью подчиненных региональных предприятий железнодорожного транспорта (линейных предприятий). На каждом уровне назначены руководители, ответственные за СЭМ и реализацию Энергетической стратегии холдинга «РЖД» [2], выполнение программ энергосбережения и повышение энергетической эффективности ОАО «РЖД» [3] с учетом указаний Федеральной службы тарифов. Первое направление работ – повышение энергоэффективности перевозочного процесса за счет совершенствования методов управления движением поездов, повышения показателей использования локомотивов и показателей системы тягового электроснабжения, улучшения технического состояния подвижного состава и путевого хозяйства, повышения

уровня возврата энергии рекуперации на электрической тяге.

Второе направление работ – повышение энергоэффективности использования энергоресурсов в стационарной энергетике и на другие нетяговые нужды за счет модернизации и оптимизации режимов работы систем отопления, оптимизации режимов работы систем освещения, повышения энергетической эффективности технологических процессов.

Важнейший аспект повышения энергоэффективности – раскрытие внутренних резервов и ресурсов линейных предприятий в этой сфере. Это определяет актуальность математического моделирования организационных механизмов повышения энергоэффективности с учетом человеческого фактора. Эта проблема рассматривалась с позиций фундаментальной теории активных систем [4–6] и развитой на её основе прикладной теории больших транспортных систем [7]. Результаты соответствующих прикладных исследований опубликованы в работах [8–10].

Все большее значение приобретают механизмы функционирования организационных систем с элементами искусственного интеллекта. В работе [11] рассматривается важный их подкласс: механизмы наставничества, основанные на обучении с учителем. В настоящей работе анализируется другой важный их подкласс: самообучающиеся механизмы, предназначенные для воспроизведения простых ментальных и поведенческих функций человека в условиях неопределенности.

Дихотомическое ранжирование в условиях неопределенности

Многие задачи лица, принимающего решения (ЛПР), сводятся к присвоению объекту управления одного из двух рангов (дихотомическому ранжированию). В зависимости от его результата осуществляется управление. В качестве примеров можно указать на определение сильных и слабых мест

энергоэффективности железнодорожных перевозок с целью инвестирования, внедрения инновационных технических средств и технологий, определение объективных и субъективных причин невыполнения планов, принятие кадровых решений, премирование и т.д.

Для дихотомического ранжирования необходимо решающее правило. При достаточно полной априорной информации ЛПР может использовать правила теории статистических решений. Обозначим через t период, $t = 0, 1, \dots$. Пусть z_t – случайная величина, характеризующая потенциал энергоэффективности объекта в периоде t , $z_t \in \Delta \subset R^1$. Задача дихотомического ранжирования в условиях неопределенности заключается в отнесении z_t к одной из двух областей, составляющих множество Δ . Неправильное ранжирование приводит к потерям.

Предположим вначале, что ЛПР известна плотность распределения $q(z)$ случайной величины z . Обозначим через $\{\Delta_1, \Delta_2\}$ некоторое разбиение множества Δ на две области, $\bigcup_{k=1}^2 \Delta_k = \Delta$. При ранжировании, т.е. отнесении ситуации z_t к одной из этих областей, ЛПР принимает решение, связанное с некоторым риском. Задача состоит в определении разбиения, минимизирующего средний риск, связанный с ранжированием.

Введем для каждой, пока неизвестной области Δ_k , $k = 1, 2$, функции потерь дихотомического ранжирования:

$L_1(c, z)$ – потери в случае присвоения объекту ранга 1, в то время как $z \in \Delta_2$;

$L_2(c, z)$ – потери в случае присвоения объекту ранга 2, тогда как $z \in \Delta_1$,

где c – неизвестный параметр. При этом принадлежность z той или иной области определяется знаком решающего правила

$$\begin{aligned} \mu_{12}(c, z) &= L_1(c, z) - L_2(c, z): \\ z \in \Delta_1 &\text{ при } \mu_{12}(c, z) < 0, \\ \text{и } z \in \Delta_2 &\text{ при } \mu_{12}(c, z) \geq 0. \end{aligned} \quad (1)$$

Задача заключается в определении решающего правила (1), минимизиру-

ющего средний риск, связанный с ранжированием.

Заметим, что решающее правило (1) задается параметром c . Таким образом, задача определения оптимального решающего правила сводится к определению параметра c . Следовательно, параметр c должен быть выбран таким образом, чтобы минимизировать средний риск, связанный с ранжированием:

$$J(c) = \sum_{k=1}^2 \int_{\Delta_k} L_k(c, z) q(z) dz \xrightarrow{c} \min. \quad (2)$$

Условие минимума среднего риска (2) можно записать в виде:

$$\begin{aligned} M_z \left\{ \sum_{k=1}^2 \hat{B}_k(c, z) \frac{\partial L_k(c, z)}{\partial c} \right\} &= 0, \\ \hat{B}_k(c, z) &= \begin{cases} 1 & \text{при } z \in \Delta_k, \\ 0 & \text{иначе,} \end{cases} \end{aligned} \quad (3)$$

где M_z – оператор математического ожидания.

Для простоты будем рассматривать линейные функции потерь: $L_1(c, z) = z - vc$, $0 < v < 1$, $L_2(c, z) = d(c - z)$, $d > 0$. Подставляя эти выражения в (1), получаем решающее правило:

$$\begin{aligned} z \in \Delta_1 &\text{ при } z < (d + v)c/(d + 1), \\ \text{и } z \in \Delta_2 &\text{ при } z \geq (d + v)c/(d + 1). \end{aligned} \quad (4)$$

Теперь, зная $q(z)$, можно найти параметр c как решение задачи (2) из условия (3).

Однако в стохастической обстановке априорной информации часто недостаточно. Возникает необходимость в настройке решающего правила так, чтобы минимизировать потери ранжирования. Самообучающееся ЛПР проводит эту настройку, наблюдая вход и выход управляемого объекта.

Предположим, что $q(z)$ неизвестно ЛПР. Поэтому непосредственное определение параметра c , решающего задачу оптимизации (2), невозможно. Поэтому нужно настроить параметр решающего правила c по наблюдениям последовательности z_t для минимизации (2). Используя метод стохастической

аппроксимации для решения (2), с учетом (4) нетрудно показать, что процедура настройки параметра решающего правила имеет вид

$$c_{t+1} = I(c_t, z_t) = \begin{cases} c_t + \gamma_t v & \text{при } z_t < \frac{(d+v)c_t}{(d+1)}, \\ c_t - \gamma_t d & \text{при } z_t \geq \frac{(d+v)c_t}{(d+1)}, \end{cases} \quad (5)$$

$$c_0 = c^0, \quad t = 0, 1, \dots,$$

где γ_t – коэффициент адаптации в пе-

риоде t , $\gamma_t > 0$, $\sum_{t=0}^{\infty} \gamma_t < \infty$ [12]. При этом

$$c_t = I(c_t, z_t) \rightarrow c^* = \arg \min_c J(c). \quad (6)$$

Эргатическая активная система и энергоэффективность

Эргатическая система – схема производства, элементами которой являются люди, технологии и процессы управления, с помощью которых они осуществляют свою деятельность [13]. При исследовании и разработке эргатических систем необходимо учитывать социально-психологические аспекты производственной деятельности, в том числе активность персонала [4–7, 11].

Рассмотрим модель функционирования эргатической активной системы в сфере энергоэффективности, пользуясь полученными результатами. Предположим, что потенциал z_t становится известным персоналу перед выбором фактического показателя энергоэффективности y_t в периоде t , но остается неизвестным ЛПР. Исходя из условия, что фактический показатель энергоэффективности не может превышать потенциала (т.е. $y_t \leq z_t$), дальновидный персонал (ДП) выбирает y_t так, чтобы максимизировать свою целевую функцию, зависящую от текущих и будущих рангов, присваиваемых ЛПР.

ЛПР же наблюдает только фактический показатель y_t , не обязательно совпадающий с потенциалом ДП (т.к. $y_t \leq z_t$). Поэтому ЛПР вынужден формировать ранг ДП, самообучаясь в ус-

ловиях неполной информированности с помощью рекуррентной процедуры (5). Формально, ранг $\varphi_t = f(a_t, y_t)$, где a_t – текущая оценка параметра решающего правила, получаемая посредством процедуры, подобной процедуре (5):

$$a_{t+1} = I(a_t, y_t) = \begin{cases} a_t + \gamma_t v & \text{при } y_t < \frac{(d+v)a_t}{(d+1)}, \\ a_t - \gamma_t d & \text{при } y_t \geq \frac{(d+v)a_t}{(d+1)}, \end{cases} \quad (7)$$

$$a_0 = c^0, \quad t = 0, 1, \dots$$

В общем случае $y_t \neq z_t$, так что $a_t \neq c_t$, $t = 1, 2, \dots$. Поэтому оценка a_t , рассчитываемая с помощью рекуррентной процедуры (7), не сходится к оптимальной оценке c^* , определяемой согласно (6). Таким образом, возникает проблема определения c^* . Содержательно её причина – в том, что ЛПР не имеет возможности учитывать случайные помехи и другие факторы, которые становятся известны ДП в процессе производственной деятельности. Это не только увеличивает энергозатраты производственного процесса, но также делает алгоритм (7) неэффективным.

Механизм самообучения дихотомическому ранжированию

Рассмотрим задачу обеспечения сходимости оценки a_t , рассчитываемой с помощью рекуррентной процедуры (7), к оптимальной оценке c^* , определяемой согласно (6):

$$a_t = I(a_t, y_t) \xrightarrow{t} c^*. \quad (8)$$

Для выполнения (8) необходимо самообучение ЛПР и ранжирование энергоэффективности персонала. Эти процедуры можно объединить в механизм самообучения дихотомическому ранжированию $\Sigma = (I, f)$, представленный на рис. 1. Таким образом, в двухуровневой эргатической активной системе, показанной на рис. 1, ЛПР задает механизм $\Sigma = (I, f)$, позволяющий формировать норматив оценивания a_t

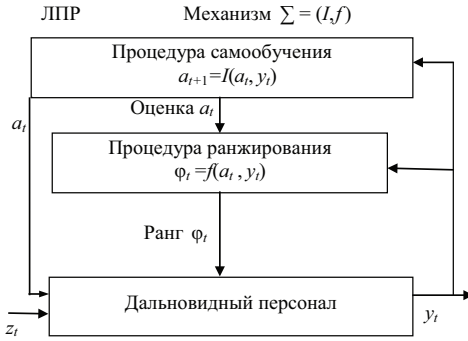


Рис. 1. Эргатическая активная система и механизм самообучения дихотомическому ранжированию $\Sigma = (I, f)$

с помощью процедуры самообучения (I), а затем производить ранжирование на основе сопоставления a_t с фактическим выходом ДП y_t .

Целевая функция персонала

Рассмотрим следующий порядок функционирования эргатической активной системы в периоде t , $t = 0, 1, \dots$. В начале периода t ДП узнает значение z_t , $z_t \in \Delta$, $t = 0, 1, \dots$. На основании этого он выбирает выход y_t^* , $y_t^* \leq z_t$.

Со своей стороны, ЛПР, основываясь на наблюдаемой величине y_t^* и известной оценке a_t , формирует оценку a_{t+1} в следующем периоде $t + 1$ с помощью рекуррентной процедуры (7). Одновременно ЛПР определяет ранг ДП $\phi_t = f(a_t, y_t^*)$. Чем выше этот ранг, тем больше стимул ДП в периоде t .

Зная порядок и механизм функционирования системы, ДП выбирает свой выход так, чтобы увеличить свою целевую функцию V_t , зависящую как от текущих, так и от будущих рангов $\phi_\tau = f(a_\tau, y_\tau)$, $\tau = t, t + 1, \dots$:

$$V_t = \sum_{\tau=t}^{t+\theta} \rho^{\tau-t} f(a_\tau, y_\tau), \quad (9)$$

где ρ – коэффициент дисконтирования, $0 < \rho < 1$; θ – количество периодов, учитываемых ДП (дальновидность ДП).

Будем предполагать, что ДП и ЛПР известно, что $0 \leq y_\tau \leq z_\tau$ и $z_\tau \in D$ в каждом

периоде τ , $\tau = t + 1, t + \theta$. Чтобы выбрать показатель y_t в условиях такой неопределенности, ДП ориентируется на гарантированное значение (9):

$$w_t(y_t) = \min_{z_t \in D, \tau=t+1, t+\theta} \min_{0 \leq y_\tau \leq z_\tau, \tau=t+1, t+\theta} V_t. \quad (10)$$

Дальновидный ДП выбирает y_t^* так, чтобы максимизировать (10). При этом множество возможных его выборов имеет вид

$$W_t(\Sigma, z_t) = \left\{ 0 \leq y_t^* \leq z_t \mid w_t(y_t^*) \geq w_t(y_t), \right. \\ \left. 0 \leq y_t \leq z_t \right\}. \quad (11)$$

Предположим, что множество (11) включает точку z_t . Тогда будем говорить, что справедлива гипотеза благожелательности ДП по отношению к ЛПР, если ДП выбирает $y_t^* = z_t$, $t = 0, 1, \dots$

Самообучение дихотомическому ранжированию

Обратимся к текущей практике управления производством. Во-первых, процедуры оценки, планирования, ранжирования и стимулирования обычно разрабатываются таким образом, чтобы стимулы росли по мере увеличения показателей производства по сравнению с текущими их оценками (нормами, планами). Обычно стимулирование проводится при условии превышения этих оценок [4]. Следовательно, чем выше оценка, тем сложнее получить стимул.

Во-вторых, процедура прогнозирования в крупной корпорации обычно организована таким образом, что оценка (план) в каждом последующем периоде увеличивается на определенный процент от достигнутого сегодня результата (так называемое планирование от достигнутого уровня). Тогда будущая оценка (норма, план) тем выше, чем выше достигнуты сегодняшние показатели. Поэтому персонал может быть не заинтересован в превышении оценки (поскольку чем выше оценка в будущем, тем сложнее будет получить стимул).

Таким образом, возникает проблема отсутствия заинтересованности ДП

в раскрытии потенциала энергоэффективности. В этом случае $y_t \neq z_t$ и невозможно определить s^* . Решить эту проблему можно, подобрав соответствующий механизм $\Sigma = (I, f)$.

Теорема. Для обеспечения (8) достаточно механизма самообучения дихотомическому ранжированию $\Sigma = (I, f)$, в котором I удовлетворяет (7) и

$$\begin{aligned} f(a_t, y_t) &= \Theta(y_t - x_t), \\ x_t &= a_t(d + v)/(d + 1), \end{aligned} \quad (12)$$

$$\Theta(y_t - x_t) = \begin{cases} 1 & \text{при } y_t \geq x_t, \\ 0 & \text{при } y_t < x_t. \end{cases} \quad (13)$$

Доказательство. Целевая функция

$$\text{ДП } V_t = \sum_{\tau=t}^{t+\Theta} \rho^{\tau-t} f(a_\tau, y_\tau), \text{ определяемая}$$

согласно (9), зависит как от текущих, так и от будущих рангов $\varphi_\tau = f(a_\tau, y_\tau)$, $\tau = t, t + T$. По условию (12), с ростом показателя y_t , текущий ранг ДП $\varphi_t = f(a_t, y_t)$ возрастает (не убывает). ЛПР использует процедуру самообучения (7), при которой нормы a_t убывают (не возрастают) с ростом показателя y_t при $\tau = t + 1, t + T$. Следовательно, согласно (12), будущие ранги ДП $\varphi_\tau = f(a_\tau, y_\tau)$ возрастают (не убывают) с ростом показателя y_t при $\tau = t + 1, t + T$.

Далее, V_t монотонно возрастает по φ_τ , $\varphi_\tau = f(a_\tau, y_\tau)$, $\tau = t, t + T$. Но φ_t монотонно возрастает (не убывает) по y_t . Следовательно, с ростом показателя y_t возрастает (не убывает) и целевая функция ДП (9). Поскольку $y_t \leq z_t$, то максимум $V(a_t, y_t)$ достигается при $y_t = z_t$. Следовательно, в силу гипотезы благожелательности $y_t^* = z_t$. Но тогда процедуры обучения (5) и (7) совпадают, поэтому из (6) следует (8), что и требовалось доказать.

Теорема допускает простую интерпретацию. Предположим, что система стимулирования энергоэффективности построена таким образом, что чем выше ранг, тем выше стимул персонала. ЛПР наблюдает величину y_t , характеризующую фактическую энергоэффективность в периоде t , $y_t \leq z_t$, где z_t – неизвестный (случайный) потенциал энергоэффек-

тивности. Самообучаясь, ЛПР настраивает параметр решающего правила (7).

Далее, в соответствии с принятым решающим правилом, ЛПР классифицирует персонал по результатам производства. Именно при $y_t \geq x_t$ персонал относится к классу успешных (ранг $\Theta = 1$) и поощряется. Если же $y_t < x_t$, то персонал относится к неблагоприятным (ранг $\Theta = 0$) и наказывается.

Любое из этих решений связано для Центра с определенным риском. В первом случае потери L_1 возрастают со снижением энергоэффективности y_t (незаслуженное поощрение или премирование персонала). Во втором случае эти потери L_2 возрастают при увеличении энергоэффективности производства и несправедливым наказанием персонала. Норма $x_t = a_t(d + v)/(d + 1)$ соответствует нижней границе удовлетворительной работы персонала.

Заметим, что, согласно выражениям (5)–(12), чем выше показатели производства (y_t), тем ниже оценка на следующий период (a_{t+1}). Но, согласно (13), эта оценка играет роль порогового значения показателя y_{t+1} , при котором персонал получает поощрение в периоде $t + 1$. Следовательно, персоналу становится легче получить поощрение и в периоде $t + 1$ даже при меньшем значении случайного потенциала z_t .

Иными словами, при повышении показателя y_t персонал получает не только более высокое поощрение. С ростом y_t снижается оценка на следующий период (a_{t+1}), т.е. пороговое значение для стимулирования в будущем. Это дополнительно заинтересовывает персонал в раскрытии потенциала энергоэффективности, т.е. в выборе $y_t = z_t$. При этом процедура самообучения (7), в соответствии с выражениями (5) и (6), обеспечивает сходимость оценки a_t к оптимальному значению s^* (8).

Самообучение ранжированию энергоэффективности

Механизм самообучения дихотомическому ранжированию, удовлетворяющий

условиям теоремы, позволяет раскрыть потенциал энергоэффективности и получать корректные его оценки. Рассмотрим применение этого механизма на примере самообучения ранжирования энергоэффективности регионально-го линейного предприятия железнодорожного транспорта, направленного на достижение показателей энергоэффективности, соответствующих программе повышения энергетической эффективности холдинга «РЖД».

Комплексная процедура ранжирования

Повышение энергоэффективности стационарной энергетики на предприятии может быть достигнуто за счет модернизации и оптимизации технологических процессов, а также режимов работы систем отопления и освещения предприятия. Решение о ранжировании энергоэффективности линейного предприятия принимает сотрудник вышестоящего ТЭЦ, ответственный за обеспечение достижения показателей программы повышения энергетической эффективности в регионе. Этот сотрудник выступает в роли ЛПР, наблюдая фактическую энергоэффективность стационарной энергетики на подведомственном предприятии. Показатель энергоэффективности y_t рассчитывается как отклонение фактической ежемесячной энергоэффективности от соответствующей нормы. На основе показателя y_t осуществляется ежемесячное ранжирование энергоэффективности.

При этом ЛПР может использовать несколько решающих правил с настраиваемыми оценками, опираясь на базовую процедуру (7) и условия теоремы. Поэтому, чтобы сделать результаты ранжирования более наглядными, ЛПР определяет четыре ранга энергоэффективности: отличный (4), хороший (3), удовлетворительный (2), плохой (1). Для этого ЛПР формирует следующий комплексный механизм определения оценок параметров решающего

правила и ранжирования энергоэффективности с использованием теоремы.

Если показатель y_t – неотрицательный ($y_t \geq 0$), то ранг энергоэффективности может быть равен 3 или 4. При этом линейные функции потерь имеют вид

$y_t - v^{34} a^{34}$ – потери в случае ошибочного присвоения ранга 4, $0 < v^{34} < 1$;
 $d^{34} (a^{34} - y_t)$ – потери в случае ошибочного присвоения ранга 3, $d^{34} > 0$,

где a^{34} – параметр, настраиваемый согласно алгоритму (7). В соответствии с теоремой, решающее правило имеет следующий вид.

Если

$$y_t \geq x_t^{34}, x_t^{34} = a_t^{34} (d^{34} + v^{34}) / (d^{34} + 1), t = \overline{0, 12}, \quad (14)$$

где

$$a_t^{34} = \begin{cases} a_{t-1}^{34} + \gamma_{t-1} v^{34} & \text{при } y_{t-1} < x_{t-1}^{34} \\ a_{t-1}^{34} - \gamma_{t-1} d^{34} & \text{при } y_{t-1} \geq x_{t-1}^{34} \end{cases}$$

$$t = \overline{1, 12}, a_0^{34} = c_0^{34},$$

то ранг энергоэффективности в периоде t равен 4.

Если $0 \leq y_t < x_t^{34}$, то ранг энергоэффективности в периоде t равен 3.

Если показатель энергоэффективности y_t отрицательный ($y_t < 0$), то ранг энергоэффективности может быть равен 1 или 2. При этом линейные функции потерь имеют вид

$y_t - v^{12} a^{12}$ – потери в случае ошибочного присвоения ранга 2, $0 < v^{12} < 1$;
 $d^{12} (a^{12} - y_t)$ – потери в случае ошибочного присвоения ранга 1, $d^{12} > 0$,

где a^{12} – параметр, настраиваемый согласно алгоритму (7). В соответствии с теоремой, решающее правило имеет следующий вид.

Если

$$x_t^{12} \leq y_t < 0, x_t^{12} = a_t^{12} \frac{(d^{12} + v^{12})}{(d^{12} + 1)}, t = \overline{0, 12} \quad (15)$$

где

$$a_{\tau}^{12} = \begin{cases} a_{\tau-1}^{12} + \gamma_{\tau-1} v^{12} & \text{при } y_{\tau-1} < x_{\tau-1}^{12} \\ a_{\tau-1}^{12} - \gamma_{\tau-1} d^{12} & \text{при } y_{\tau-1} \geq x_{\tau-1}^{12} \end{cases},$$

$$\tau = \overline{1, 12}, a_0^{12} = c_0^{12},$$

то ранг энергоэффективности в периоде t равен 2.

Если $y_t < x_t^{12}$, то ранг энергоэффективности равен 1.

Величины x_t^{34} и x_t^{12} будем называть соответственно верхней и нижней нормой энергоэффективности в периоде t , $t = \overline{0, 12}$.

Результаты расчетов

На рис. 2 показаны графики показателя y_t , а также верхней и нижней норм энергоэффективности x_t^{34} и x_t^{12} , рассчитываемых согласно (14) и (15) соответственно в течение года, $t = \overline{0, 12}$.

Как видно из рис. 2, процедуры (14) и (15) обеспечивают сходимость норм x_t^{34} и x_t^{12} к их стационарным значениям.

Далее ЛПР определяет ранг энергоэффективности производства r_t в периоде t . Если текущий показатель y_t неотрицателен ($y_t \geq 0$), то для присвоения 3-го или 4-го рангов используется оценка (14). Если же текущий показатель энергоэффективности y_t отрицателен ($y_t < 0$), то для присвоения 1-го или

2-го рангов используется оценка (15). Таким образом, процедура ранжирования энергоэффективности производства в периоде t имеет вид

$$r_t = \begin{cases} 4 & \text{при } y_t \geq x_t^{34} \\ 3 & \text{при } 0 \leq y_t < x_t^{34} \\ 2 & \text{при } x_t^{12} \leq y_t < 0 \\ 1 & \text{при } y_t < x_t^{12} \end{cases}, t = \overline{0, 12}, \quad (16)$$

где r_t – ранг энергоэффективности предприятия. На рис. 3 показан график ежемесячных рангов энергоэффективности r_t , рассчитываемых по формуле (16), $t = \overline{0, 12}$.

Содержательно норма x_t^{34} – это нижний предел энергоэффективности y_t , соответствующий отличной работе персонала предприятия. Норма x_t^{12} – это нижний предел энергоэффективности y_t , соответствующий удовлетворительной его работе. Если энергоэффективность ниже этой нормы, то требуется вмешательство руководства.

Чем выше ранг, тем больше стимулы персонала предприятия за энергоэффективность. Обозначим через s_t стимул энергоэффективности в периоде t . Формально процедура стимулирования такова, что стимул $s_t = S(r_t)$ монотонно возрастает с повышением ранга r_t : $s_t = S(r_t) \uparrow r_t$. Учитывая (16), получаем, что, чем выше показатель энергоэффективности y_t , тем выше ранг персонала.

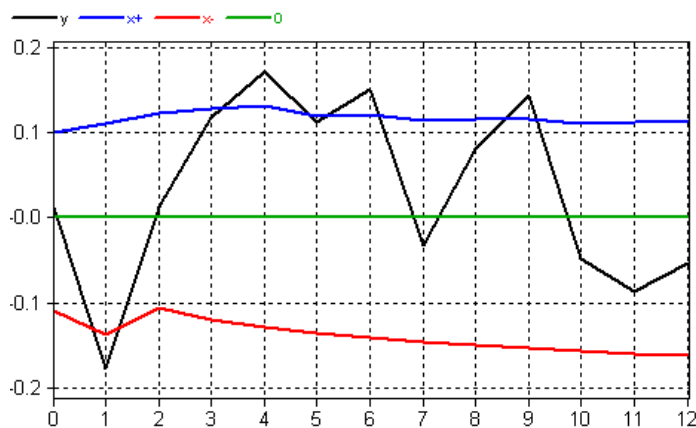


Рис. 2. Ежемесячные показатели и нормы энергоэффективности линейного предприятия

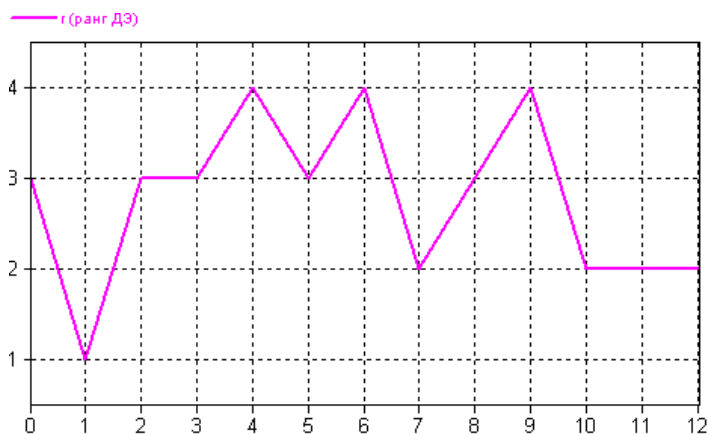


Рис. 3. Ранги энергоэффективности линейного предприятия

Кроме того, согласно (14) и (15), чем выше показатель y_t , тем ниже нормы оценки персонала на следующий период x_t^{12} и x_t^{34} . Таким образом, при повышении показателя y_t персонал получает не только более высокое поощрение s_t , но и «планки поощрения» x_t^{12} и x_t^{34} для него в будущем понижаются. В результате, в соответствии с теоремой, принятые процедуры (14)–(16) обеспечивают максимальное раскрытие потенциала энергоэффективности.

Программный комплекс RDS

Для проведения многовариантных расчетов оценок и рангов энергоэффективности линейного предприятия используется программный комплекс RDS, позволяющий моделировать системы, представленные в виде набора взаимосвязанных блоков [14]. Каждый из них содержит программу расчета, определяющую реакцию на действия пользователя и взаимодействие с другими блоками. Экран системы моделирования самообучения ранжированию энергоэффективности с помощью программного комплекса RDS представлен на рис. 4.

Преимущества RDS: модули работают с максимальной скоростью, поскольку их алгоритмы не интерпретируются; для системы моделирования нет разницы между стандартными

модулями, созданными разработчиками RDS, и блоками с алгоритмами, созданными пользователями (всем им доступны одни и те же возможности, включая возможности операционной системы по отображению информации, чтению и записи файлов и т. п.); для создания блока с собственной программой пользователю не нужно быть высококвалифицированным программистом. Ему достаточно написать только часть программы, реализующую алгоритм его работы. RDS автоматически добавляет в программу код, отвечающий за сопряжение модуля с системой, вызывает компилятор (сейчас используется язык C++) и созданную компилятором готовую программу для расчетов.

RDS обладает гибкостью и легко подстраивается под возможности исследователя. Чтобы создавать собственные блоки, пользователю достаточно знать только основы синтаксиса C++ для написания в нем математических формул. Позже он сможет усложнять алгоритмы своих блоков, включая в них как более сложные языковые конструкции, так и вызовы функций из обширной встроенной библиотеки, обеспечивающих взаимодействие с другими блоками.

Для пользователя исследуемая система выглядит как структурная схема, в которой связи между блоками изображаются графически в виде линий. Внешний вид блоков может меняться

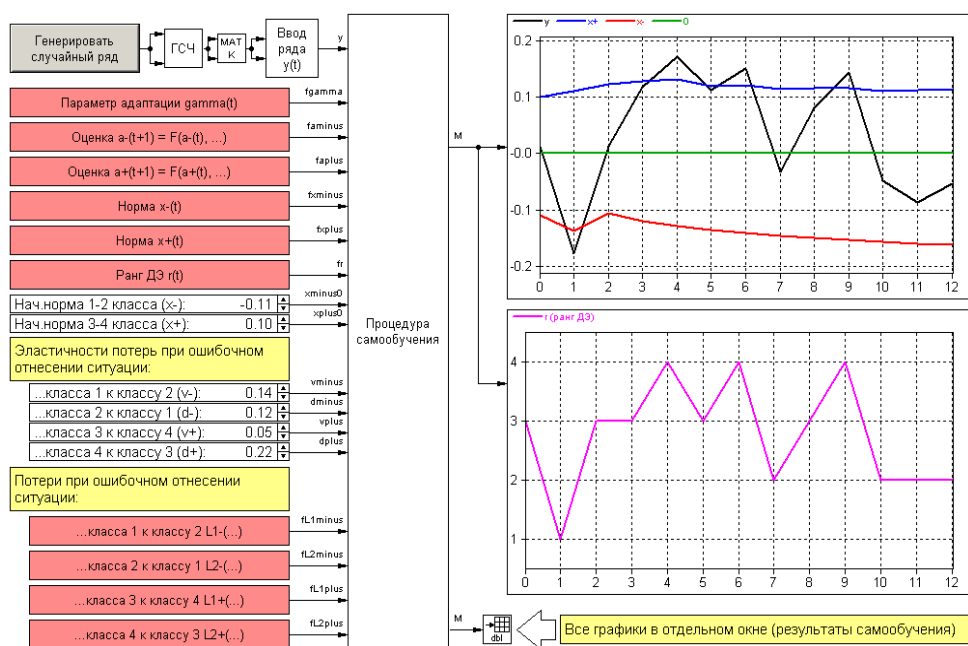


Рис. 4. Экран системы моделирования самообучения ранжированию энергоэффективности

в процессе моделирования. Это позволяет демонстрировать пользователю результаты расчетов в виде графиков, индикаторов, чисел и др.

Кроме того, пользователь может вмешиваться в работу RDS непосредственно в процессе моделирования, меняя параметры блоков и наблюдая результаты этих изменений. В RDS удалось добиться компромисса между простотой и удобством описания, с одной стороны, и широкими возможностями и скоростью работы, с другой.

Выводы

Ключевым вопросом разработки методов интеллектуального управления и повышения энергоэффективности в условиях неопределенности является исследование возможности активизации использования внутренних резервов и ресурсов. Для этого необходимо согласование интересов дальновидных элементов организации. Задача теории – синтез комплексных ме-

ханизмов согласованного управления эргатической активной системой, при которых стремление элементов к достижению своих интересов приводит к росту энергоэффективности организации.

В работе построена модель и предложен метод решения оптимизационной задачи согласованного управления для комплексного механизма управления повышением энергоэффективности в системе энергетического менеджмента холдинга «РЖД» с иерархической структурой. Этот метод включает построение процедур стохастической аппроксимации решающего правила, ранжирования и стимулирования. Метод проиллюстрирован на примере самообучения ранжированию энергоэффективности линейного предприятия железнодорожного транспорта, направленного на достижение целевых показателей энергоэффективности, установленных программой повышения энергетической эффективности холдинга «РЖД». ■

Литература

1. Стандарт ОАО «РЖД» «Система управления энергоэффективностью производственных процессов. Основные положения СТО РЖД 08.017-2012»: утв. распоряжением ОАО «РЖД» от 24 декабря 2012 г. № 2674р.
2. Стандарт ОАО «РЖД» «Энергетическая стратегия холдинга «РЖД» на период до 2020 года и на перспективу до 2030 года»: утв. распоряжением ОАО «РЖД» от 14 декабря 2016 г. № 2537р.
3. Стандарт ОАО «РЖД» «Программа энергосбережения и повышения энергетической эффективности ОАО «РЖД» на 2016-2018 годы»: утв. распоряжением ОАО «РЖД» от 29 апреля 2016 г. № 807р.
4. Цыганов В. В. Адаптивные механизмы в отраслевом управлении. М. : Наука, 1991. 166 с. ISBN 5-02-006774-1.
5. Сирина Н. Ф., Цыганов В. В. Адаптивная организация вагоноремонтного комплекса / Екатеринбург : УрГУПС, 2008. 178 с. ISBN 978-5-94614-121-5.
6. Сирина Н. Ф., Цыганов В. В. Механизмы функционирования вагонного хозяйства. М. : Учебно-методический центр по образованию на железнодорожном транспорте, 2010. 188 с. ISBN 978-5-9994-0065-9.
7. Цыганов В. В., Малыгин И. Г., Еналеев А. К., Савушкин С. А. Большие транспортные системы: теория, методология, разработка и экспертиза. СПб : ИПТ РАН, 2016. 216 с. ISBN 978-5-9908209-3-7.
8. Цыганов В. В., Адамец Д. Ю. Иерархические и сетевые структуры внедрения энергоэффективных технологий на железнодорожном транспорте / Труды XII Международной конференции «Современные сложные системы управления». – Липецк : ЛГТУ, 2017. Т. 2. – С. 194–199.
9. Цыганов В. В., Басыров С. К. Структуры и механизмы внедрения средств и технологий энергоэффективности на железнодорожном транспорте / Труды 6-й конференции «Интеллектуальные системы управления на железнодорожном транспорте. Компьютерное и математическое моделирование». – М. : ОАО НИИАС. 2017. С. 185–190.
10. Цыганов В. В., Адамец Д. Ю. Комплекс механизмов управления разработкой и внедрением энергоэффективных средств и технологий на железнодорожном транспорте / Труды 7-й конференции «Интеллектуальные системы управления на железнодорожном транспорте. Компьютерное и математическое моделирование». – М. : ОАО НИИАС. 2018. С. 214–219.
11. Цыганов В. В., Федянин Д. Н. Механизмы наставничества в организационных системах и повышение энергоэффективности железнодорожного транспорта // Вестник УрГУПС. 2019. № 3 (43). С. 55–66. ISSN 2079-0392.
12. Цыпкин Я. З. Основы информационной теории идентификации. – М. : Наука, 1984. 320 с.
13. Климов Е. А. Введение в психологию труда. М. : Юнити, 1998. 320 с.
14. Дорри М. Х., Рошин А. А. Программный комплекс для моделирования и исследования систем управления «Расчет динамических систем (РДС)» : справочное руководство. – Ч. 1. Устройство РДС и редактирование схем. – М. : ЛЕНАНД, 2017. 344 с. ISBN 978-5-9710-4717-9.

Literature

1. JSC «RZD» standard «Operational processes energy efficiency management. Basic provisions СТО РЖД 08.017-2012»: appr. By JSC «RZD» [Standart ОАО «RZhD»] «Sistema upravleniya energoeffektivnost'yu proizvodstvennykh protsessov. Osnovnye polozheniya STO RZhD 08.017-2012»: utv. rasporyazheniem ОАО «RZhD»] order as of 24 December 2012 № 2674p.
2. JSC «RZD» standard «RZD holding energy strategy for the period up to 2020 and for further extention up to 2030»: appr. by JSC «RZD» [Standart ОАО «RZhD»] «Energeticheskaya strategiya holdinga «RZhD» na period do 2020goda i na perspektivu do 2030 goda»: utv. rasporyazheniem ОАО «RZhD»] order as of 14 December 2016 № 2537p.
3. JSC «RZD» standard «Energy saving program and improvement of JSC «RZD» energy efficiency for the period of 2016-2018»: appr. by JSC «RZD» [Standart ОАО «RZhD»] «Programma energosberezheniya i povysheniya energeticheskoy effektivnosti ОАО «RZhD» na 2016-2018 gody»: utv. rasporyazheniem ОАО «RZhD»] order as of 29 April 2016 № 807 p.
4. Tsyganov V. V. Adaptive mechanisms in industrial management. M. : Nauka [Adaptivnyye mekhanizmy v otraslevom upravlenii. M. : Nauka], 1991. 166 p. ISBN 5-02-006774-1.

5. Sirina N. F., Tsyganov V. V. Adaptive organization of railway-car repair complex / Yekaterinburg: USURT [Adaptivnaya organizatsiya vagonoremontnogo kompleksa / Yekaterinburg : UrGUPS], 2008. 178 p. ISBN 978-5-94614-121-5.
6. Sirina N. F., Tsyganov V. V. Mechanisms of rolling stock functioning. M.: Training and Methodology Centre for Railway Transport, 2010 [Mekhanizmy funktsionirovaniya vagonnogo hozyaystva. M. : Uchebno-metodicheskiy tsentr po obrazovaniyu na zheleznodorozhnom transporte]. 188 p. ISBN 978-5-9994-0065-9.
7. Tsyganov V. V., Malygin I. G., Enaleyev A. K., Savushkin S. A. Large transport systems: theory, methodology, development and expertise. StPb: IPT RAN [Bol'shie transportnye sistemy: teoriya, metodologiya, razrabotka i ekspertiza. SPb : IPT RAN], 2016. 216 p. ISBN 978-5-9908209-3-7.
8. Tsyganov V. V., Adamets D. Yu. Hierarchic and network structures of adoption of energy efficient technology on railway transport / Proceedings of XII International conference «Up-to-date complex managerial systems» [Ierarhicheskie i setevye struktury vnedreniya energoeffektivnykh tekhnologiy na zheleznodorozhnom transporte / Trudy XII Mezhdunarodnoy konferentsii «Sovremennyye slozhnye sistemy upravleniya»]. Lipetsk: LSTU, 2017. V. 2. – P. 194–199
9. Tsyganov V. V., Basyrov S. K. Structures and mechanisms of adoption of means and technology of energy efficiency on railway transport / Proceedings of 6th conference «Intellectual management systems on railway transport. Computer and mathematical simulation» [Struktury i mekhanizmy vnedreniya sredstv i tekhnologiy energoeffektivnosti na zheleznodorozhnom transporte / Trudy 6-y konferentsii «Intellektual'nye sistemy upravleniya na zheleznodorozhnom transporte. Komp'yuternoe i matematicheskoe modelirovanie»]. – M. : JSC NIIAS. 2017. P. 185–190.
10. Tsyganov V. V., Adamets D. Yu. A complex of management mechanisms for development and adoption of energy efficient means and technology on railway transport / Proceedings of 7th conference «Intellectual management systems on railway transport. Computer and mathematical simulation» [Kompleks mekhanizmov upravleniya razrabotkoy i vnedreniem energoeffektivnykh sredstv i tekhnologiy na zheleznodorozhnom transporte. / Trudy 7-y konferentsii «Intellektual'nye sistemy upravleniya na zheleznodorozhnom transporte. Komp'yuternoe i matematicheskoe modelirovanie»]. – M. : JSC NIIAS. 2018. P. 214–219.
11. Tsyganov V. V., Fedyanin D. N. Mechanisms of apprenticeship in organization systems and improvement of railway transport energy efficiency // Herald of USURT [Mekhanizmy nastavnichestva v organizatsionnykh sistemakh i povyshenie energoeffektivnosti zheleznodorozhnogo transporta // Vestnik UrGUPS]. 2019. № 3 (43). P. 55–66. ISSN 2079-0392.
12. Tsyppkin Ya. Z. Fundamentals of identification information theory [Osnovy informatsionnoy teorii identifikatsii]. M. : Nauka, 1984. 320 p.
13. Klimov E. A. Introduction to psychology of labour [Vvedenie v psikhologiyu truda]. M. : Uniti, 1998. 320 p.
14. Dorrey M. Kh., Roschin A. A. Program complex for simulation and investigation of management systems «Analysis of dynamic systems (ADS)»: reference book. – P. 1. ADS arrangement and modification of schemes [Programmniy kompleks dlya modelirovaniya i issledovaniya sistem upravleniya «Raschet Dinamicheskikh Sistem (RDS)» : spravochnoe rukovodstvo. – Ch. 1. Ustroystvo RDS i redaktirovanie skhem]. – M. : LENAND, 2017. 344 p. ISBN 978-5-9710-4717-9.

Статья сдана в редакцию 1 марта 2020 года

УДК 656.078.1:502.131.1

*Н. А. Осинцев***Концепция системы управления логистическими потоками в «зелёных» цепях поставок**

UDC 656.078.1:502.131.1

*N. A. Osintsev***Concept of management system of logistic flows in «green» supply chains****Аннотация**

Для эффективной реализации концепции устойчивого развития при управлении цепями поставок необходимы новые методы выработки управленческих решений по управлению логистическими потоками. Решения должны приниматься на основе измерения и оценки параметров логистических потоков с целью дальнейшей реализации наиболее эффективных «зелёных» технологий.

Реализация предлагаемой концепции позволит повысить качество оценки состояния логистических потоков по критерию соответствия целям концепции устойчивого развития и эффективность принятия решений по управлению логистическими потоками в «зелёных» цепях поставок.

Ключевые слова: устойчивое развитие, «зелёная» логистика, логистические потоки, цепи поставок, концепция, принципы, методы и инструменты, параметры.

DOI: 10.20291/2079-0392-2020-2-81-92

Abstract

For the effective implementation of the sustainable development concept when managing supply chains the new methods for working out management decisions on logistic flows management are required. The decisions should be concluded on the basis of measurement and assessment of the parameters of logistic flows for the purpose of further implementation of the most effective «green» technologies.

Implementing the proposed concept will improve the quality of assessment of condition of logistic flows according to the criterion of matching the aims of sustainable development concept and the efficiency of making decisions on management of logistic flows in «green» supply chains.

Key words: sustainable development, «green» logistics, logistic flows, supply chains, concept, principles, methods and tools, parameters.

DOI: 10.20291/2079-0392-2020-2-81-92

Статья рекомендована к публикации М. А. Журавской, канд. техн. наук, доцентом Уральского государственного университета путей сообщения. E-mail: MZhuravskaya@usurt.ru.

Никита Анатольевич Осинцев, канд. техн. наук, доцент; Магнитогорский государственный технический университет им. Г.И. Носова; Магнитогорск, Россия. E-mail: osintsev@magtu.ru. ORCID 0000-0003-1168-6725.

The article is recommended for publishing by M. A. Zhuravskaya, Candidate of technical sciences, Associate Professor of Ural state university of railway transport. E-mail: MZhuravskaya@usurt.ru.

Nikita Anatol'evich Osintsev, Candidate of technical sciences, Associate Professor; Nosov Magnitogorsk state technical university; Magnitogorsk, Russia. E-mail: osintsev@magtu.ru. ORCID 0000-0003-1168-6725.

Развитие международной торговли приводит к росту объёмов мирового товарооборота, расширению и усложнению товарной номенклатуры, изменению географической структуры международной торговли. Анализ объёмов торговых потоков в мировой экономической системе показывает следующую динамику: плавное увеличение до конца 1990-х гг., резкий рост с начала 2000-х, резкое снижение после экономического кризиса 2008 г. В последние годы наблюдается постепенное восстановление объёмов перевозок в мировой транспортной системе. Мировой экспорт коммерческих услуг и мировой экспорт товаров с 1995-го по 2014-й гг. увеличился с 1,18 до 4,87 и с 5,16 до 19 млрд долл. соответственно [1].

Рост объёмов производства и потребления негативно отражается на состоянии окружающей среды: увеличивается выброс углекислого газа, образуются отходы. По данным Всемирного института ресурсов, только 20-ти странам удалось обеспечить снижение показателей уровня выбросов парниковых газов при одновременном росте ВВП [2].

Об актуальности проблемы загрязнения окружающей среды говорят показатели перерасхода экологического капитала в мировой экономике, факты неравномерного использования разными странами возобновляемых источников энергии, а также такого эффективного инструмента, как государственное финансирование решения проблем окружающей среды. Оценка Climate Change Performance Index (CCPI) в 2018 г. подтверждает значительные различия в усилиях Европейского Союза и 56 других государств по защите окружающей среды и эффективность этих усилий [3]. Несмотря на снижение темпов роста выбросов CO₂, еще ни одна из оцениваемых стран не достигла уровня «очень хорошо».

Рост мирового товарооборота, увеличение объёмов перевозок в мировой транспортной системе и, как следствие, усиление отрицательного воздействия промышленности, транспорта

и торговли на окружающую среду повышает актуальность совершенствования цепей поставок в соответствии с принципами концепции устойчивого развития. Основополагающая идея концепции заключается в балансе между экономическим и социальным развитием общества и защитой окружающей среды.

В транспортных системах и управлении цепями поставок реализация концепции устойчивого развития затруднена противоречиями между логистическими принципами, направленными на повышение экономической эффективности и качества обслуживания, с одной стороны, и принципами устойчивого развития, направленными на повышение экологической и социальной устойчивости транспортных систем и цепей поставок. Поиск новых подходов к достижению целей устойчивого развития (ЦУР), основанный на согласовании экономических целей с целями в области экологии и социального развития при управлении транспортными системами и цепями поставок – актуальная проблема, решение которой затрагивает все без исключения страны.

Большинство существующих моделей устойчивого развития основано на принципе разумного баланса между экономическим, социально-культурным развитием общества и сохранением окружающей среды. Однако сложность его реализации обусловлена разрозненностью связей между областями устойчивого развития, наличием разнообразных ограничений и противоречивостью ЦУР, слабым фокусом на динамике процесса развития.

Применительно к транспортным системам, устойчивое развитие рассматривается с позиции разных концепций – устойчивости, жизнеспособности, устойчивого развития и устойчивого транспорта [4]. Объединяет эти концепции условие: удовлетворение общественных потребностей в перевозках не должно преобладать над приоритетами защиты окружающей среды и приводить к истощению природных ресурсов [5, 6].

В исследованиях [7, 8] показан значительный потенциал логистики в сфере экологического контроля и аудита транспортных систем, ресурсо- и энергосбережения, утилизации продукции, систем управления отходами, «зелёного» строительства [9]. Учёные отмечают парадокс между классической и «зелёной» логистикой как противоречие между решением задач, направленных на максимизацию прибыли, и снижением отрицательного влияния на окружающую среду [10–12].

В логистической деятельности концепция устойчивого развития реализуется на основе государственного и рыночного подходов [5, 13]. Если государственный подход направлен на контроль соблюдения компаниями обязательных требований как принудительно, так и на основе стимулирующих мер, то рыночный основан на получении не только экономической выгоды от реализации «зелёных» технологий, но и повышении ее имиджа, общественной популярности и конкурентоспособности.

Обзор используемых на транспорте и в логистике «зелёных» технологий позволяет говорить о большом разнообразии применяемых методов и подходов, что приводит к недостаточно системной их реализации [14–18]. Многие компании активно разрабатывают и реализуют различные экологические проекты и программы; обоснована целесообразность и доказана эффективность использования «зелёных» технологий в практике [19]. Анализ результатов исследований внедрения экологических аспектов в практику управления цепями поставок позволяет говорить, что исследования до сих пор носят фрагментарный характер, затрагивая лишь отдельные сферы применения логистики.

В развитых и развивающихся странах различаются подходы и методы управления «зелёными» цепями поставок [20]. В исследованиях особенностей управления «зелёными» цепями поставок выделяются шесть основных предметных областей: «зелёная» политика (вопросы деловой этики

и корпоративной социальной ответственности, государственный и общественный контроль соблюдения экологических норм), научные обзоры, «зелёная» закупка (сертификация, экологическое сырьё и материалы, экоупаковка, взаимоотношения между поставщиками и покупателями), «зелёное» производство (проектирование и конструирование, разработка и производство экологической продукции), «зелёная» логистика и реверсивная логистика [21].

Сложность управления «зелёными» цепями поставок заключается в недостаточно исследованных взаимосвязях показателей и параметров логистических потоков. Все еще нет общепринятой универсальной системы измерителей логистических потоков. Основными измерителями потоков [22] выступают масса, путь и время, а дополнительными – траектория, скорость и время движения потока, пункты (начальный, конечный и промежуточные), интенсивность [23, 24]. Недостаток большинства существующих методов и моделей заключается в отсутствии комплексности и системности к оценке всех видов логистических потоков для учёта взаимосвязи между показателями и параметрами потоков для достижения целей концепции устойчивого развития [19].

Обзор исследований в области устойчивого развития транспортных систем, логистики и «зелёных» цепей поставок позволяет сделать следующие выводы:

- наблюдается растущий интерес к использованию «зелёных» технологий в логистике, сформирован соответствующий понятийный аппарат, создана нормативная база реализации концепции устойчивого развития;
- нет системы принципов «зелёной» логистики, а большинство известных логистических принципов направлено на достижение экономических целей функционирования цепей поставок;
- наличие множества «зелёных» технологий и их недостаточная системность реализации на практике снижает эффективность каждой технологии в отдельности, не способствует

возникновению «зелёного» синергетического эффекта в цепях поставок;

– общепринятые логистические критерии управления слабо учитывают экологические и социальные аспекты, что снижает эффективность управления логистическими потоками в соответствии с целями концепции устойчивого развития.

Для достижения ЦУР в логистической деятельности предлагается использование разработанной концепции системы управления логистическими потоками в «зелёных» цепях поставок.

Концепция системы управления логистическими потоками в «зелёных» цепях поставок

В основу предлагаемой концепции управления логистическими потоками в «зелёных» цепях поставок положена идея достижения баланса между экономической, экологической и социальной устойчивостью логистической системы. Формирование такой системы должно осуществляться с учётом следующих условий:

– согласованность логистических принципов с принципами концепции устойчивого развития;

– достижение и поддержание баланса между аспектами устойчивого развития (экономическими, социальными и экологическими) в рамках нормативно-правовой базы международного и национальных законодательств;

– развитие системы методов и инструментов «зелёной» логистики на основе учёта лучших практик реализации международных и национальных экологических программ (проектов) в сфере бизнеса и научно-исследовательской деятельности.

Основу концепции системы управления логистическими потоками в «зелёных» цепях поставок составляют следующие положения.

1. Достижение целей устойчивого развития при функционировании цепей поставок осуществляется приведением в соответствие целей, методов

и принципов «зелёной» логистики целям и задачам хозяйственной деятельности организации.

2. Формирование и развитие цепей поставок основано на использовании системы принципов «зелёной» логистики, представляющей собой синтез принципов устойчивого развития с логистическими принципами.

3. Достижение и поддержание баланса между экономической, экологической и социальной устойчивостью цепей поставок обеспечивается реализацией системой методов и инструментов «зелёной» логистики, воздействующих на элементы логистической системы и логистические потоки.

4. Управление логистическими потоками в цепях поставок основывается на использовании нечёткой модели логистических потоков в «зелёных» цепях поставок, позволяющей выполнять оценку (идентификацию) параметров и показателей логистических потоков и приводить значения данных параметры в соответствии с целями устойчивого развития.

Система управления логистическими потоками в цепях поставок

Сопоставление целей устойчивого развития и целей управления цепями поставок показывает наличие между ними противоречий. С позиций «зелёной» логистики необходим поиск путей согласования ЦУР и логистических целей. В основу гипотезы согласования положена идея, что использование логистических концепций, методов и функций позволяет в результате оптимизации параметров логистических потоков снизить затраты ресурсов и уменьшить отрицательное воздействие логистической системы на окружающую среду. Под логистической системой понимается сложная организационно завершённая экономическая система, состоящая из отдельных функциональных элементов, взаимосвязанных в едином процессе продвижения материальных потоков, а также сопутствующих им финансовых,

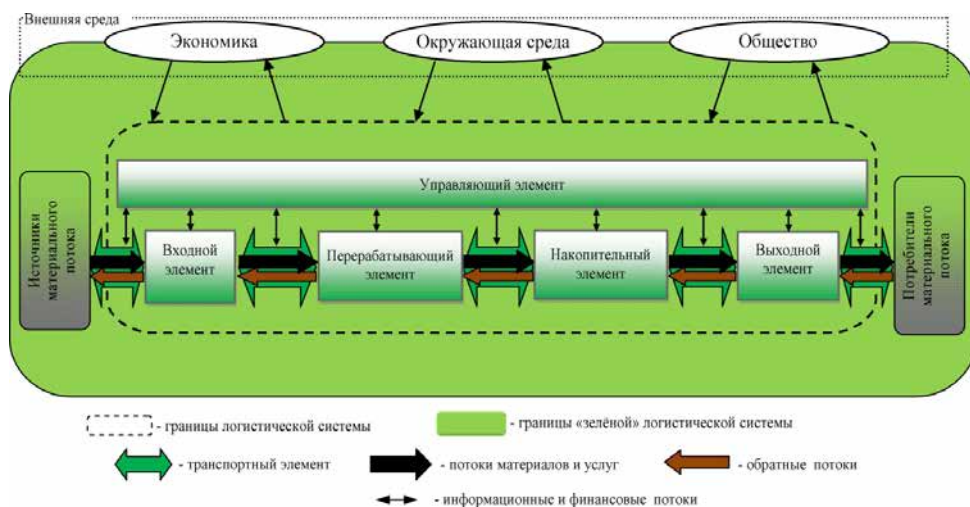


Рис. 1. Схема «зелёной» логистической системы

информационных потоков и потоков услуг [25]. Для воздействия на логистические потоки элементы (рис. 1) в зависимости от уровня решаемых ими задач, выполняют следующие функции:

- ключевые (функции управления логистическими элементами и логистической системой в целом);

- базисные (обобщённые функции воздействия на логистические потоки – ввод и вывод потоков из системы (снабжение и сбыт), качественные изменения потоков (производство), продвижение (транспортирование), накопление и замедление потоков (складирование));

- поддерживающие (специфические функции каждого элемента логистической системы по выполнению конкретных операций (действий) для изменения параметров логистических потоков. В результате выполнения логистических операций и поддерживающих функций реализуются базисные логистические функции логистической системы).

Выделение логистических функций на основе структурного и функционального подходов позволяет систематизировать логистические принципы и методы в соответствии с ЦУР. Это позволит сгруппировать известные «зелёные»

технологии и методы по двум основным признакам: а) принадлежность к каждому логистическому элементу при реализации ими базисных и поддерживающих функций, б) по признаку воздействия метода на логистические потоки на основе реализации ключевых функций управления логистическими элементами. Такой подход исключит дублирование «зелёных» методов на различных этапах логистического процесса, позволит определять и использовать перспективные «зелёные» методы и технологии.

Синтез принципов «зелёной» логистики

Основные недостатки принципов устойчивого развития (а) и логистики (б) в реализации устойчивого развития и логистики в управлении цепями поставок, выявленные в результате анализа:

а) различие в интерпретации принципов в экологическом законодательстве разных стран, недостаточная системность (отсутствие разделения на аспекты устойчивого развития), недостаточная конкретность (приводит к многообразию решений по их реализации);

б) отсутствие универсальной системы логистических принципов, направленность принципов на достижение экономических целей, неравномерность использования и отсутствие комплексного подхода при реализации принципов в отношении элементов и функций логистической системы, расхождения в терминологии и понимании сущности принципов).

Эффективная реализация принципов устойчивого развития при управлении цепями поставок основана на идее синтеза правил логистики и правил устойчивого развития для формирования баланса между экономической, экологической и социальной устойчивостью логистической системы. Новая синтезированная система принципов «зелёной» логистики включает три группы

принципов: общие, частные и специфические принципы, позволяющие элементам логистической системы реализовывать ключевые, базисные и поддерживающие функции по управлению всеми видами логистических потоков в цепях поставок (рис. 2).

Реализация синтезированной системы принципов «зелёной» логистики в управлении цепями поставок позволит повысить эффективность принятия решений по разработке и реализации методов и инструментов «зелёной» логистики, унифицировать процесс устойчивого развития логистической системы за счет устранения несогласованного использования инструментов различными элементами. Как следствие, это понижает негативное влияние на окружающую среду, способствует достижению

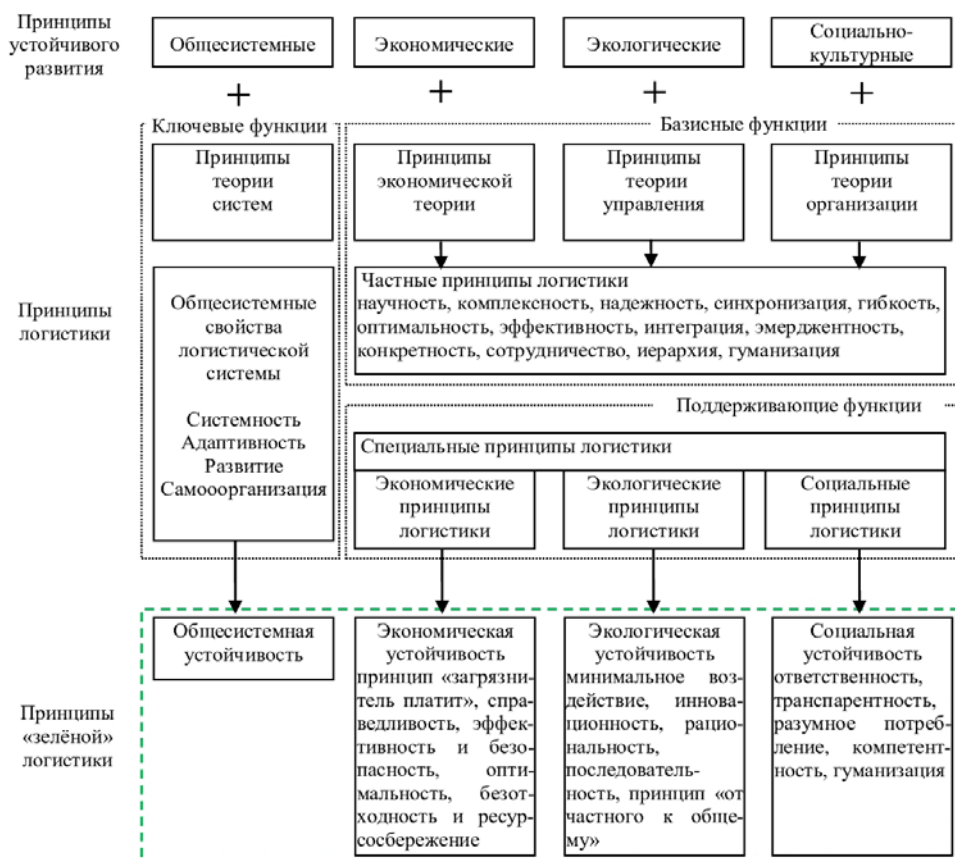


Рис. 2. Схема синтеза принципов устойчивого развития и логистики

целей концепции устойчивого развития в логистической деятельности при условии экономической эффективности цепей поставок.

Система методов и инструментов «зелёной» логистики

В основу разработанной системы методов и инструментов «зелёной» логистики положены результаты исследований факторов устойчивого развития транспортно-логистических систем, использования структурно-функционального подхода к выделению у элементов логистической системы основных (базисных) и поддерживающих функций.

Структурно-функциональный подход, используемый для систематизации «зелёных» технологий в логистике, отличается от распространённого способа выделения функциональных областей логистики – транспортной, сбытовой, производственной логистики, логистики снабжения и складирования. Недостаток такого функционального подхода заключается в рассмотрении

логистических функций и операций применительно к инфраструктурным элементам цепей поставок – промышленным предприятиям, складам, отделам снабжения и сбыта, транспорту. При использовании функционального подхода для решения задачи систематизации логистических методов возникает ситуация, при которой одинаковые методы управления логистическими потоками реализуются в разных функциональных областях. Это служит одной из главных причин несогласованного использования методов и инструментов «зелёной» логистики, когда одинаковые по сути методы и инструменты реализуются на различной методической основе, поддерживаются различными, зачастую противоречащими друг другу нормативно-правовыми документами.

Система методов «зелёной» логистики с выделением инструментов «зелёной» логистики применительно к транспортному и накопительному элементам логистической системы представлена на рис. 3.

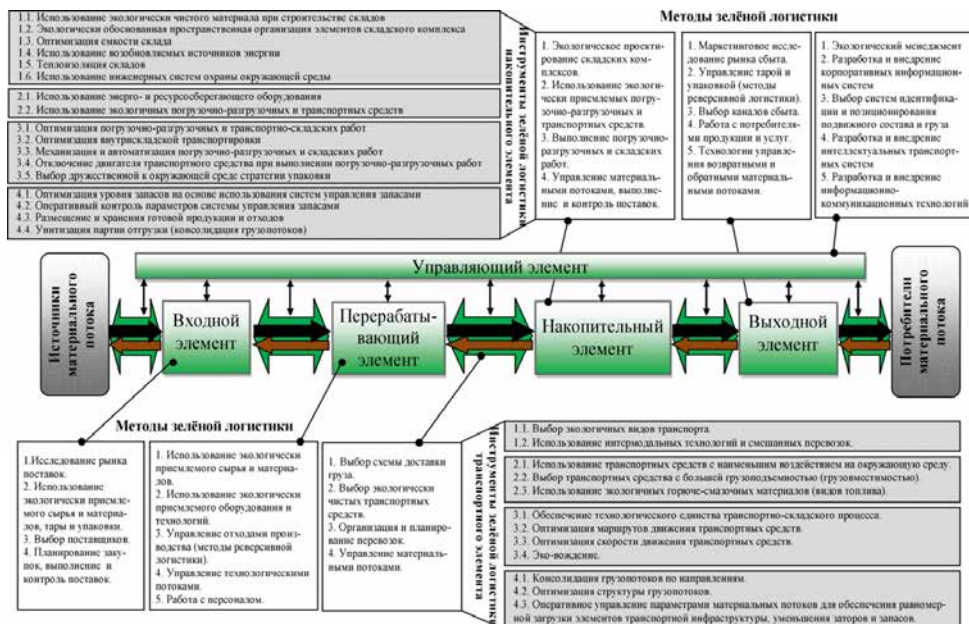


Рис. 3. Схема системы методов и инструментов «зелёной» логистики (с выделением инструментов для транспортного и накопительного логистических элементов)

Представленный способ систематизации методов и инструментов «зелёной» логистики предлагается использовать как основу для оценки эффективности практик реализации экологических проектов (программ) в деятельности различных коммерческих и некоммерческих организаций – частных, государственных, общественных. Предполагается, что результатом такой оценки станет расширение и совершенствование данной системы методов и инструментов, которая обеспечит их согласованное практическое применение на различных этапах логистического процесса и на различных уровнях управления транспортными системами и цепями поставок.

Система управления параметрами логистических потоков в «зелёных» цепях поставок

Сложность управления «зелёными» цепями поставок заключается в недостаточно исследованных взаимосвязях показателей и параметров логистических потоков. Результаты анализа научной литературы, представленные в [19], показали, что общепринятой универсальной системы параметров и показателей логистических потоков нет. Оценка материальных потоков в логистике выполняется, в основном, по таким параметрам, как масса потока, его скорость (время) и маршрут. Эти параметры потоков управляемы; механизм управления ими основан на сравнении фактических значений с расчетными (плановыми). Однако расчётные значения параметров – это результат оптимизации логистических потоков по экономическим критериям – «7 Right» («Семь правил логистики») [26], без учета экологических аспектов логистической деятельности.

Предлагаемая система управления параметрами логистических потоков в «зелёных» цепях поставок состоит из следующих элементов: система параметров и показателей логистических потоков, нечёткая модель взаимосвязи

параметров и показателей логистических потоков, инструментов «зелёной» логистики [19].

Выделены пять групп параметров и показателей логистических потоков в «зелёных» цепях поставок:

- физические (управляемые) (характеризующие свойства изменения материального логистического потока во времени и пространстве);
- экономические (эффективность использования ресурсов и экономическую жизнеспособность логистической системы);
- энергоэкологические (энергоёмкость логистических потоков и их влияние на окружающую среду);
- показатели качества (качество управления логистическими потоками, а также сохранность и своевременность продвижения и переработки материального потока);
- статистические (отражающие закономерности изменения управляемых параметров потоков).

Нечёткая модель логистических потоков в «зелёных» цепях поставок используется для интегральной оценки соответствия цепи поставок ЦУР. Значение интегрального показателя устойчивости цепи поставок определяется на основе нечёткой оценки показателей логистических потоков с учётом веса этих показателей, рассчитанных с использованием комбинированного нечёткого метода аналитической иерархии и метода ранжирования решений по критерию близости к идеальному – fuzzy AHP-TOPSIS [27, 28]. Основные элементы модели: схема взаимосвязи параметров и показателей логистических потоков, базовые значения параметров и показателей для различных видов транспорта и вида транспортной системы, набор функций принадлежности для термов лингвистических переменных, описывающих параметры и показатели логистических потоков, набор логических правил управления.

Управление заключается в мониторинге фактических значений параметров и показателей логистических

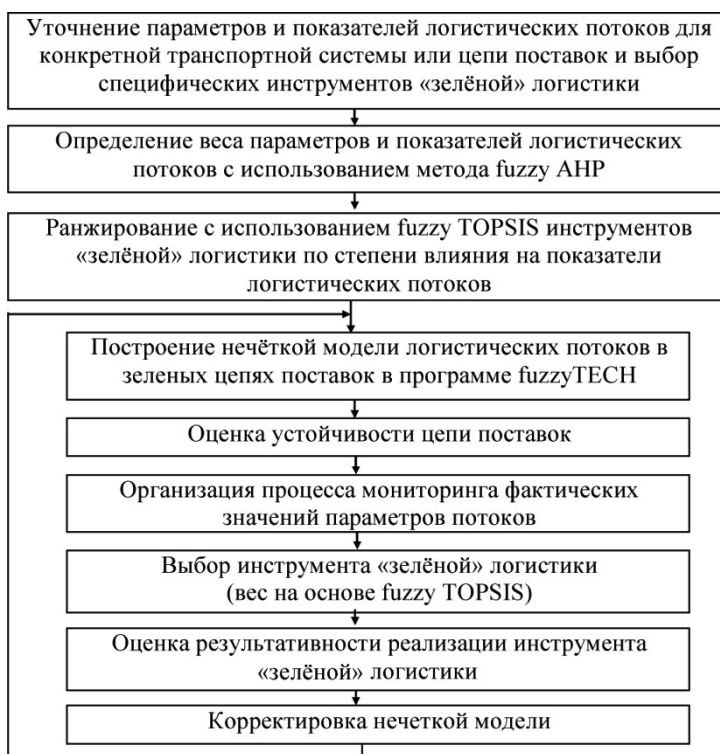


Рис. 4. Методика формирования системы управления параметрами логистических потоков в «зелёных» цепях поставок

потоков с последующим выбором и реализацией инструментов «зелёной» логистики для обеспечения устойчивости цепи поставок, то есть соответствия её показателей целям концепции устойчивого развития. Предлагаемая универсальная методика формирования системы управления логистическими потоками, включающая в себя этапы, представлена на рис. 4.

Заключительный этап представленной методики реализации модели нечёткого вывода может быть реализован с использованием имитационной модели цепи поставок. Использование имитационной модели при формировании системы управления потоками позволяет эффективно обучать нечёткую модель логистических потоков, а в процессе эксплуатации сформированной системы управления – прогнозировать изменение параметров и показателей логистических потоков и планировать

на основе прогнозов оптимальную последовательность реализации инструментов «зелёной» логистики.

Заключение

Для достижения целей устойчивого развития при управлении цепями поставок необходима реализация методов выработки управленческих решений по управлению логистическими потоками, учитывающих не только экономические, но и социальные и экологические аспекты формирования цепей поставок.

В исследовании представлена концепция управления логистическими потоками в «зелёных» цепях поставок. В основу предлагаемой концепции положена идея достижения баланса между экономической, экологической и социальной устойчивостью логистической системы (цепи поставок).

Формирование такой системы должно основываться на использовании принципов «зелёной» логистики, системы методов и инструментов «зелёной» логистики, методики управления

параметрами логистических потоков в «зелёных» цепях поставок с использованием нечётких многокритериальных методов принятия управленческих решений. ■

Литература

1. WTO. Trade in goods and services has fluctuated significantly over the last 20 years. – URL: https://www.wto.org/english/res_e/statis_e/its2015_e/its15_highlights_e.pdf (дата обращения: 22.11.2019).
2. World Resources Institute. The Roads to Decoupling: 21 Countries Are Reducing Carbon Emissions While Growing GDP. – URL: <http://www.wri.org/blog/2016/04/roads-decoupling-21-countries-are-reducing-carbon-emissions-while-growing-gdp> (дата обращения: 22.11.2019).
3. Burck J., Marten F., Bals C., Höhne N. The climate change performance index : Results 2018. Bonn : Germanwatch, 2017. – 24 с. ISBN 978-3-943704-59-4.
4. Litman T. Well Measured: Developing Indicators for Sustainable and Livable Transport Planning. Victoria: Victoria Transport Policy Institute, 2015. – 100 с.
5. Герами В. Д., Колик А. В. Управление транспортными системами: транспортное обеспечение логистики. – М. : Изд-во «Юрайт», 2015. – 512 с. ISBN 978-5-9916-4792-2.
6. Либерман Б. А. Экологические тенденции в науке и образовании // Современные проблемы транспортного комплекса России, 2016. – Т. 6. – № 1. – С. 25–28. ISSN 2222-9396.
7. Balon V. Green supply chain management: Pressures, practices, and performance – An integrative literature review // Business Strategy and Development. 2019. – С. 1–19. ISSN 2572-3170.
8. Fahimnia B., Sarkis J., Davarzani H. Green supply chain management: A review and bibliometric analysis // International Journal of Production Economics. 2015. – Т. 162. – С. 101–114. ISSN 0925-5273.
9. Bartolini M., Bottani E., Grosse E. H. Green warehousing: Systematic literature review and bibliometric analysis // Journal of Cleaner Production. 2019. – Т. 226. – С. 242–258. ISSN 0959-6526.
10. Rodrigue J.-P., Slack B., Comtois C. Green logistics (The paradoxes of). – Handbook of Logistics and Supply-Chain Management. – Amsterdam ; London : Pergamon, 2001. – С. 339–350. ISBN 0-08-043593-9.
11. Kumar A. Green logistics for sustainable development: an analytical review // IOSRD International Journal of Business. 2015. – Т. 1. – № 1. – С. 7–136.
12. Klumpp M. To green or not to green: a political, economic and social analysis for the past failure of green logistics // Sustainability. 2016. – Т. 8. – № 5. – С. 441. ISSN 2071-1050.
13. Rakhmangulov A., Sladkowski A., Osintsev N., Muravev D. Green Logistics: Element of the Sustainable Development Concept. Part 1 // Nase More, 2017. – Т. 64. – № 3. – С. 120–126. ISSN 0469-6255.
14. Bretzke W.-R., Barkawi K. Sustainable Logistics: Responses to a global challenge. Heidelberg : Springer, 2013. 518 с. ISBN 978-3-642-34374-2.
15. Bevilacqua M., Ciarapica F. E., Giacchetta G. Design for Environment as a Tool for the Development of a Sustainable Supply Chain. – London, New York : Springer, 2012. – 373 с. ISBN 978-1-4471-2460-3.
16. McKinnon A. C. Green Logistics: Improving the Environmental Sustainability of Logistics. – London, Philadelphia : Kogan Page, 2015. – 426 с. ISBN 978-0-7494-7185-9.
17. Golinska P., Romano C. A. Environmental Issues in Supply Chain Management: New Trends and Applications. – Berlin, Heidelberg : Springer Berlin Heidelberg, 2012. – 266 с. ISBN 978-3-642-23562-0.
18. Rakhmangulov A., Sladkowski A., Osintsev N., Muravev D. Green Logistics: A System of Methods and Instruments – Part 2 // Nase More. 2018. – Т. 65. – № 1. – С. 49–55. ISSN 0469-6255.
19. Osintsev N., Rakhmangulov A., Sladkowski A. Logistic Flow Control System in Green Supply Chains : Ecology in Transport : Problems and Solutions, Lecture Notes in Networks and Systems, 2020. – Т. 124. – С. 311–380. ISBN 978-3-030-42322-3.

20. Green supply chain management: a review and research direction / N. A. Abu Seman, N. Zakuan, A. Jusoh, M. S. Md Arif, M. Z. Mat Saman // *International Journal of Managing Value and Supply Chains*. 2012. – Т. 3. – № 1. – С. 1–18.
21. Min H., Kim I. Green supply chain research: past, present, and future // *Logistics Research*. 2012. – Т. 4. 1–2. – С. 39–47. ISSN 1865-035X.
22. Неруш Ю. М. Логистика. М. : ТК Велби ; Изд-во «Проспект», 2006. – 520 с. ISBN 5-482-00348-5.
23. Миротин Л. Б., Сергеев В. И. Основы логистики : Учеб. пособие. – М. : ИНФРА-М, 1999. – 200 с. ISBN 5-16-000003-8.
24. Ивуть Р. Б., Нарушевич С. А. Логистика. Минск : БНТУ, 2004. – 328 с. ISBN 985-479-183-1.
25. Корнилов С. Н., Рахмангулов А. Н., Шаульский Б.Ф. Основы логистики : Учеб. пособие. – М. : ФГБОУ «Учебно-методический центр по образованию на железнодорожном транспорте», 2016. – 302 с. ISBN 978-5-89035-918-6.
26. Shapiro R. D., Heskett J. L. *Logistics Strategy: Cases and Concepts*. St. Paul, Minn. : West Pub. Co. – 1985. ISBN 978-0-314-85297-7
27. A state-of the-art survey of TOPSIS applications / M. Behzadian, S. Khanmohammadi Otaghsara, M. Yazdani, J. Ignatius // *Expert Systems with Applications*. 2012. – Т. 39. – № 17. – С. 13051–13069. ISSN 0957-4174.
28. Buckley J. J. Fuzzy hierarchical analysis // *Fuzzy Sets and Systems*. 1985. – Т. 17. – № 3. – С. 233–247. ISSN 0165-0114.

Literature

1. WTO. Trade in goods and services has fluctuated significantly over the last 20 years. – URL: https://www.wto.org/english/res_e/statist_e/its2015_e/its15_highlights_e.pdf (дата обращения: 22.11.2019).
2. World Resources Institute. The Roads to Decoupling: 21 Countries Are Reducing Carbon Emissions While Growing GDP. – URL: <http://www.wri.org/blog/2016/04/roads-decoupling-21-countries-are-reducing-carbon-emissions-while-growing-gdp> (дата обращения: 22.11.2019).
3. Burck J., Marten F., Bals C., Höhne N. The climate change performance index : Results 2018. Bonn : Germanwatch, 2017. – 24 с. ISBN 978-3-943704-59-4.
4. Litman T. *Well Measured: Developing Indicators for Sustainable and Livable Transport Planning*. Victoria: Victoria Transport Policy Institute, 2015. – 100 с.
5. Gerami V. D., Kolik A. V. Transport system management: Transport provision of logistics. – М. : Urait Publisher [Upravlenie transportnymi sistemami: Transportnoe obespechenie logistiki. – М. : Izd-vo Yurayt], 2015. – 512 p. ISBN 978-5-9916-4792-2.
6. Liberman B. A. Ecological tendencies in science and education // *Contemporary challenges of Russia's transport industry [Ekologicheskie tendentsii v nauke i obrazovanii / Sovremennye problemy transportnogo kompleksa Rossii]*, 2016. – V. 6. – № 1. – p. 25–28. ISSN 2222-9396.
7. Balon V. Green supply chain management: Pressures, practices, and performance – An integrative literature review // *Business Strategy and Development*. 2019. – С. 1–19. ISSN 2572-3170.
8. Fahimnia B., Sarkis J., Davarzani H. Green supply chain management: A review and bibliometric analysis // *International Journal of Production Economics*. 2015. – Т. 162. – С. 101–114. ISSN 0925-5273.
9. Bartolini M., Bottani E., Grosse E. H. Green warehousing: Systematic literature review and bibliometric analysis // *Journal of Cleaner Production*. 2019. – Т. 226. – С. 242–258. ISSN 0959-6526.
10. Rodrigue J.-P., Slack B., Comtois C. Green logistics (The paradoxes of). – *Handbook of Logistics and Supply-Chain Management*. – Amsterdam ; London : Pergamon, 2001. – С. 339–350. ISBN 0-08-043593-9.
11. Kumar A. Green logistics for sustainable development: an analytical review // *IOSRD International Journal of Business*. 2015. – Т. 1. – № 1. – С. 7–136.
12. Klumpp M. To green or not to green: a political, economic and social analysis for the past failure of green logistics // *Sustainability*. 2016. – Т. 8. – № 5. – С. 441. ISSN 2071-1050.
13. Rakhmangulov A., Sladkowski A., Osintsev N., Muravev D. Green Logistics: Element of the Sustainable Development Concept. Part 1 // *Nase More*, 2017. – Т. 64. – № 3. – С. 120–126. ISSN 0469-6255.

14. Bretzke W.-R., Barkawi K. Sustainable Logistics: Responses to a global challenge. Heidelberg : Springer, 2013. 518 c. ISBN 978-3-642-34374-2.
15. Bevilacqua M., Ciarapica F. E., Giacchetta G. Design for Environment as a Tool for the Development of a Sustainable Supply Chain. – London, New York : Springer, 2012. – 373 c. ISBN 978-1-4471-2460-3.
16. McKinnon A. C. Green Logistics: Improving the Environmental Sustainability of Logistics. – London, Philadelphia : Kogan Page, 2015. – 426 c. ISBN 978-0-7494-7185-9.
17. Golinska P., Romano C. A. Environmental Issues in Supply Chain Management: New Trends and Applications. – Berlin, Heidelberg : Springer Berlin Heidelberg, 2012. – 266 c. ISBN 978-3-642-23562-0.
18. Rakhmangulov A., Sladkowski A., Osintsev N., Muravev D. Green Logistics: A System of Methods and Instruments – Part 2 // Nase More. 2018. – Т. 65. – № 1. – С. 49–55. ISSN 0469-6255.
19. Osintsev N., Rakhmangulov A., Sladkowski A. Logistic Flow Control System in Green Supply Chains : Ecology in Transport : Problems and Solutions, Lecture Notes in Networks and Systems, 2020. – Т. 124. – С. 311–380. ISBN 978-3-030-42322-3.
20. Green supply chain management: a review and research direction / N. A.Abu Seman, N. Zakuan, A. Jusoh, M. S. Md Arif, M. Z. Mat Saman // International Journal of Managing Value and Supply Chains. 2012. – Т. 3. – № 1. – С. 1–18.
21. Min H., Kim I. Green supply chain research: past, present, and future // Logistics Research. 2012. – Т. 4. 1–2. – С. 39–47. ISSN 1865-035X.
22. Nerush Yu. M. Logistics. M. : TK Velbi ; «Prospect» publisher [TK Velbi ; Izd-vo «Prospekt»], 2006. – 520 p. ISBN 5-482-00348-5.
23. Mirotin L. B., Sergeev V. I. Fundamentals of logistics : Teaching aid. – M. : INFRA-M [Osnovy logistiki : Ucheb. posobie. – M. : INFRA-M], 1999. – 200 p. ISBN 5-16-000003-8.
24. Ivut` R. B., Narushevich S. A. Logistics. Minsk : Belarusian national technical university [Logistika. Minsk : BNTU], 2004. – 328 p. ISBN 985-479-183-1.
25. Kornilov S. N., Rakhmangulov A. N., Shaul`skiy B. F. Fundamentals of logistics : Teaching aid. – M. : FSBEI «Academic and methodological centre on education at railway transport» [Osnovy logistiki : Ucheb. posobie. – M. : FGBOU «Uchebno-metodicheskiy tsentr po obrazovaniyu na zheleznodorozhnom transporte»], 2016. – 302 p. ISBN 978-5-89035-918-6.
26. Shapiro R. D., Heskett J. L. Logistics Strategy: Cases and Concepts. St. Paul, Minn. : West Pub. C°. – 1985. ISBN 978-0-314-85297-7
27. A state-of the-art survey of TOPSIS applications / M. Behzadian, S. Khanmohammadi Otaghsara, M. Yazdani, J. Ignatius // Expert Systems with Applications. 2012. – Т. 39. – № 17. – С. 13051–13069. ISSN 0957-4174.
28. Buckley J. J. Fuzzy hierarchical analysis // Fuzzy Sets and Systems. 1985. – Т. 17. – № 3. – С. 233–247. ISSN 0165-0114.

Статья сдана в редакцию 3 марта 2020 года

А. Я. Бутыркин, Е. Б. Куликова, К. О. Яцкевич

Инновационные подходы к реализации гибкой системы тарифообразования в международном пассажирском сообщении

UDC 656.032.21

A. Ya. Butyrkin, E. B. Kulikova, K. O. Yatskevich

Innovative approaches to implementation of flexible system of tariff setting at international passenger traffic

Аннотация

Изучены особенности организации перевозки пассажиров железнодорожным транспортом на пространстве колеи 1520 мм и конкурентными видами транспорта (авиа- и автомобильным).

Проанализирована динамика изменения социально-экономических показателей развития всех государств на пространстве СНГ за последние десять лет для выявления самых важных факторов, влияющих на подвижность населения и особенности формирования пассажиропотоков.

Исследованы показатели работы более 50 международных пассажирских поездов и динамика изменения этих показателей в течение года.

Опрошены более 20 тыс. пассажиров в пути следования, на основе полученных анкет сформирована информационная база данных. Анализ особенно значимых факторов, влияющих на выбор пассажиром вида транспорта, показал, что важность цены серьезно зависит от конкретного маршрута. Это требует от железнодорожной администрации (перевозчика) системной работы, связанной с изучением эластичности спроса на каждом отдельном направлении, и принятия обоснованных и взвешенных решений при формировании тарифа на проезд в вагоне соответствующего класса [1].

Разработана укрупненная модель оценки эластич-

ности спроса под влиянием различных факторов. Проведена проверка модели с использованием результатов маркетинговых исследований на конкретных маршрутах пассажирских поездов в международном сообщении.

Ключевые слова: пассажир, железнодорожный транспорт, международное сообщение, тарифообразование, эластичность спроса, модель оценки эластичности спроса.

DOI: 10.20291/2079-0392-2020-2-93-102

Abstract

The peculiarities of organisation of passenger transportation by railway transport

Статья рекомендована к публикации В. М. Сай, д-ром техн. наук, профессором Уральского государственного университета путей сообщения. E-mail: vsay@usurt.ru.

Александр Яковлевич Бутыркин, д-р экон. наук, профессор; Российский университет транспорта (РУТ (МИИТ)); Москва, Россия. E-mail: a_butyркиn@mail.ru. ORCID 0000-0002-5424-1307.

Екатерина Борисовна Куликова, канд. техн. наук, доцент; Российский университет транспорта (РУТ (МИИТ)); Москва, Россия. E-mail: iuit_kulikova@inbox.ru. ORCID 0000-0002-2904-0626.

Константин Олегович Яцкевич, НЦ «Экспресс» АО ВНИИЖТ; Москва, Россия. E-mail: yatskevitch@gmail.com. ORCID 0000-0001-6775-2475.

The article is recommended for publishing by V.M. Sai, Doctor of technical sciences, Professor of Ural state university of railway transport. E-mail: vsay@usurt.ru.

Aleksandr Yakovlevich Butyrkin, Doctor of economics, Professor; the Russian transport university (RTU (MIIT)); Moscow, Russia. E-mail: a_butyркиn@mail.ru. ORCID 0000-0002-5424-1307.

Ekaterina Borisovna Kulikova, Candidate of technical sciences, Associate Professor; the Russian transport university (RTU (MIIT)); Moscow, Russia. E-mail: iuit_kulikova@inbox.ru. ORCID 0000-0002-2904-0626.

Konstantin Olegovich Yatskevich, SC «Express» JSC Railway research institute of Russian railways; Moscow, Russia. E-mail: yatskevitch@gmail.com. ORCID 0000-0001-6775-2475.

at spacing of 1520 mm track gauge and competitive modes of transport (air and road).

The dynamic pattern of social and economic development indicators of all countries within the area of the CIS for the last 10 years is analysed in the article in order to identify the most important factors affecting population mobility and peculiarities of passenger flow formation.

Performance indicators of more than 50 international passenger trains and their dynamic pattern throughout the year are investigated

in the article. More than 20 thousand passengers in transit are surveyed and on the basis of the questionnaires obtained the information database is built. Analysis of the particular significant factors has shown that the price importance is heavily dependent on a specific route. This requires systematic work from railway administration (carrier) which is connected with investigating elasticity of demand at each route as well as making reasonable and considered decisions when building a tariff fare for a

railcar of the corresponding class [1].

An enlarged model for assessment of elasticity of demand influenced by a wide range of factors is worked out. The model using the marketing research results at specific routes of passenger trains in international traffic is examined.

Key words: passenger, railway transport, international traffic, tariff setting, elasticity of demand, model for assessment of demand elasticity.

DOI: 10.20291/2079-0392-2020-2-93-102

Ценообразование – важный элемент стратегии и тактики ведения любого бизнеса, в частности, организации пассажирских перевозок на железнодорожном транспорте. Перевозчики пассажиров в международном железнодорожном сообщении работают в условиях жесткой конкуренции, а стоимость билета нередко служит важнейшим фактором, влияющим на выбор потребителем вида транспорта.

Действующие документы в области тарифообразования в международном пассажирском сообщении не предусматривают процедуры осуществления ценовой политики, которую железнодорожные администрации (перевозчики) формируют для каждого сообщения с учетом конкурентной среды, маршрута, платежеспособности населения, мотивации поездок и т.д. В настоящее время у железнодорожных администраций (перевозчиков) нет единого подхода к формированию конечной стоимости проезда для пассажира [2].

Из-за высокой конкуренции со стороны авиационного и автомобильного (автобусы) видов транспорта железнодорожные администрации, фактически несвободные в определении цены на билет, должны ориентироваться на рыночные реалии [3].

В действующих документах дирекции Совета по железнодорожному

транспорту государств-участников Содружества не предусмотрена процедура ценовой политики, которую причастным железнодорожным администрациям целесообразно формировать для каждого сообщения с учетом конкурентной среды, маршрута поезда, платежеспособности населения, мотивации поездок и т.д. [4].

Популярная точка зрения, что ценовой фактор является определяющим при выборе пассажиром вида транспорта, не всегда справедлива. На эластичность спроса влияют время поездки, железнодорожная администрация формирования пассажирского поезда и маршрут [5]. Например, на маршрутах с временем поездки менее 14 часов ключевым фактором для 17 % пассажиров является расписание прибытия-отправления поезда, для 14,3 % – время в пути следования, для 12,5 % – комфортные условия поездки. И только 11 % пассажиров выбрали стоимость поездки в качестве важнейшей причины выбора транспорта. Чем продолжительнее маршрут, тем весомее становится фактор времени, а расписание – менее значимым.

Степень влияния тех или иных факторов на эластичность спроса различна для всех железнодорожных администраций, формирующих пассажирские поезда в международном сообщении [6–8].

Например, стоимость поездки наиболее значима для пассажиров только поездов формирования России и Казахстана.

Укрупненная экономико-математическая модель оценки ценовой эластичности реакции пассажиров на изменение стоимости билета, позволяющая железнодорожным администрациям (компаниям-перевозчикам) на практике с учётом местных условий реализовать эффективную систему тарифообразования [9], разработанная учеными университета, учитывает влияние различных факторов, выявленных в результате проведения маркетинговых исследований. Результаты опроса пассажиров на конкретных направлениях служат информационной базой для теоретического построения и дальнейшего практического использования модели.

Обозначим: Π – число поездок пассажира по заданному маршруту в год, Π – цена билета в вагоне определенного класса по заданному маршруту, $\Pi(B)$ – базовая цена билета (цена на момент проведения опроса пассажиров).

Соответственно, базовая выручка $V(B)$ – произведение базовой цены на билет на число поездок по заданному маршруту в год будет рассчитываться:

$$V(B) = \Pi(B) \cdot \Pi(B), \text{ руб.},$$

где $\Pi(B)$ – число поездок при базовой цене билета.

Число поездок при базовой цене билета:

$$\Pi(B) = x_1 \cdot n_1 + x_2 \cdot n_2 + x_3 \cdot n_3,$$

где x_1 – процент пассажиров, совершающих поездку чаще шести раз в год; x_2 – процент пассажиров, совершающих поездку три-пять раз в год; x_3 – процент пассажиров, совершающих поездки с иной регулярностью.

$$x_1 \cdot n_1 + x_2 \cdot n_2 + x_3 \cdot n_3 = 100 \%,$$

где n_1 – среднее число поездок в группе пассажиров, совершающих поездку

чаще шести раз в год; n_2 – среднее число поездок в группе пассажиров, совершающих поездку три-пять раз в год; n_3 – среднее число поездок в группах пассажиров, совершающих поездки с иной регулярностью.

Значения x_1 , x_2 и x_3 принимаются исходя из результатов опроса пассажиров на заданных маршрутах. Значения n_1 , n_2 , n_3 принимаются экспертно (например, обоснованно можно принять $n_1 = 7$, а $n_2 = 4$). При проведении расчетов принимаются удельные значения на 100 или 1000 чел.

Порядок построения кривой эластичности при условии снижения цены относительно базовой

Определим величину изменения выручки при условии снижения цены на проезд относительно базовой. При проведении опроса пассажиру конкретного поезда были заданы следующие вопросы: «Как изменится частота поездки по маршруту при снижении цены на проезд (на... %)» и «Размер скидки, который может повлиять на увеличение частоты поездок на железнодорожном транспорте?».

Число поездок Π на заданном маршруте увеличится при соответствующем варианте снижения цены за счет двух групп пассажиров: ответивших «Буду совершать поездки чаще» (f_1 , %) и «Откажусь от поездок другими видами транспорта» (f_2 , %), и в общем случае (исходя из удельного показателя в 1000 человек) будет определяться:

$$\begin{aligned} \Pi(1, 2, 3) = & 1000 \cdot (1 + \Omega) \times \\ & \times (x_1 \cdot (f_1 + f_2) \cdot m_1 + x_1 \cdot (1 - f_1 - f_2) \cdot n_1 + \\ & + x_2 \cdot (f_1 + f_2) \cdot m_2 + x_2 \cdot (1 - f_1 - f_2) \cdot n_2 + \\ & + x_3 \cdot (f_1 + f_2) \cdot m_3 + x_3 \cdot (1 - f_1 - f_2) \cdot n_3), \end{aligned}$$

где f_1 , f_2 (в долях) – значения изменений числа поездок пассажиров в соответствующем диапазоне изменения цены (менее 10 %; 10–20; более 30 %); m_1 , m_2 ,

m_3 – среднее увеличившееся число поездок в группе; Ω^* – доля пассажиров, перешедших с альтернативных видов транспорта на железнодорожный в результате потенциального снижения стоимости проезда, доля.

В этом случае относительное изменение выручки определяется:

$$D(1,2,3) = \frac{B(1,2,3)}{B(B)},$$

или в общем виде:

$$D(1,2,3) = \frac{P(1,2,3)(1-k)}{P(B)},$$

где k – процент скидки/100.

Расчеты позволяют определить для кривой эластичности при уменьшении цены три дополнительные (к базовой) точки изменения выручки. При этом ясно, что относительное изменение выручки не зависит от базовой цены.

Порядок построения кривой эластичности при условии увеличения цены относительно базовой

Важное отличие от предыдущего случая – уменьшение цены относительно базовой – заключается в изменении (уменьшении) количества пассажиров, которые продолжают пользоваться железнодорожным транспортом. Удельный показатель (на 100 или 1000 человек) необходимо умножить на сумму $(q_1 + q_2)$, где данные показатели означают процент ответивших следующим образом: «Воспользуюсь другим видом транспорта» и «Вообще откажусь от поездки» в необходимом диапазоне увеличения цены.

В общем виде число поездок при условии увеличения цены относительно базовой рассчитывается аналогично случаю уменьшения цены:

$$\begin{aligned} P(1,2,3) = & 1000 \cdot (1 - (q_1 + q_2)) \times \\ & \times ((x_1 \cdot f_3 \cdot m_4 + x_1 \cdot (1 - f_3) \cdot n_1 + \\ & + x_2 \cdot f_3 \cdot m_5 + x_2 \cdot (1 - f_3) \cdot n_2 + \\ & + x_3 \cdot f_3 \cdot m_6 + x_3 \cdot (1 - f_3) \cdot n_3), \end{aligned}$$

где f_3 – значение показателя «Стану реже совершать поездки» в соответствующем диапазоне увеличения цены, доли; m_4, m_5, m_6 – среднее уменьшившееся число поездок в группе.

Изменение выручки определяется:

$$D(1,2,3) = \frac{B(1,2,3)}{B(B)},$$

или в общем виде:

$$D(1,2,3) = \frac{P(1,2,3)(1+k)}{P(B)},$$

Расчеты позволяют определить для кривой эластичности при увеличении цены три дополнительные (к базовой) точки изменения выручки. Как и в предыдущем случае видно, что относительное изменение выручки не зависит от базовой цены [10].

Проверка модели расчета ценовой эластичности на примере маршрута Москва – Кишинев

Число поездок пассажиров на маршруте в год при базовой цене:

$$P(B) = x_1 \cdot n_1 + x_2 \cdot n_2 + x_3 \cdot n_3.$$

Данные для определения $P(B)$, полученные по результатам опроса пассажиров на заданном маршруте, приведены в таблице 1.

Частота поездок пассажирами по заданному маршруту приведена на рис. 1.

При базовом варианте стоимости пассажиры совершают по маршруту в год среднее количество поездок, равное:

$$P(B) = 100 \cdot 7 + 360 \cdot 4 + 540 \cdot 1 = 2680.$$

* На практике величина Ω может быть рассчитана с использованием методологии *conjoint* (объединенного) анализа. В статье при проверке модели не учитывается.

Таблица 1

Исходные данные для определения среднего числа поездок пассажиров в поезде № 47/48 Москва – Кишинев за год

Обозначение	Значение
x_1	10 %
x_2	36 %
x_3^*	54 %
n_1	7 раз/год
n_2	4 раза/год
n_3	1 раз/год

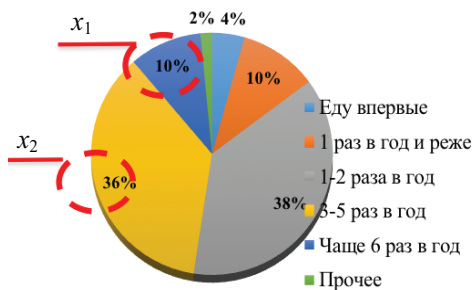


Рис. 1. Частота поездок пассажирами по заданному маршруту

Порядок построения кривой эластичности при условии снижения цены относительно базовой

Вопрос – «Как изменится частота поездок на железнодорожном транспорте при снижении стоимости на проезд?» – предполагал три варианта ответа: «Продолжу совершать поездки с той же частотой», «Буду совершать поездки чаще» и «Откажусь от поездок другими видами транспорта» для различной величины

скидок (до 10 %, 10–30 %, свыше 30 %). При построении кривой эластичности спроса пассажиров на поездки при изменении стоимости проезда учитывались только «чувствительные» к цене сегменты – число поездок по маршруту поезда может увеличиться в целом только за счет групп пассажиров, суммарно ответивших: «Буду совершать поездки чаще» и «Откажусь от поездок другими видами транспорта» (рис. 2)* при соответствующем варианте снижения цены.

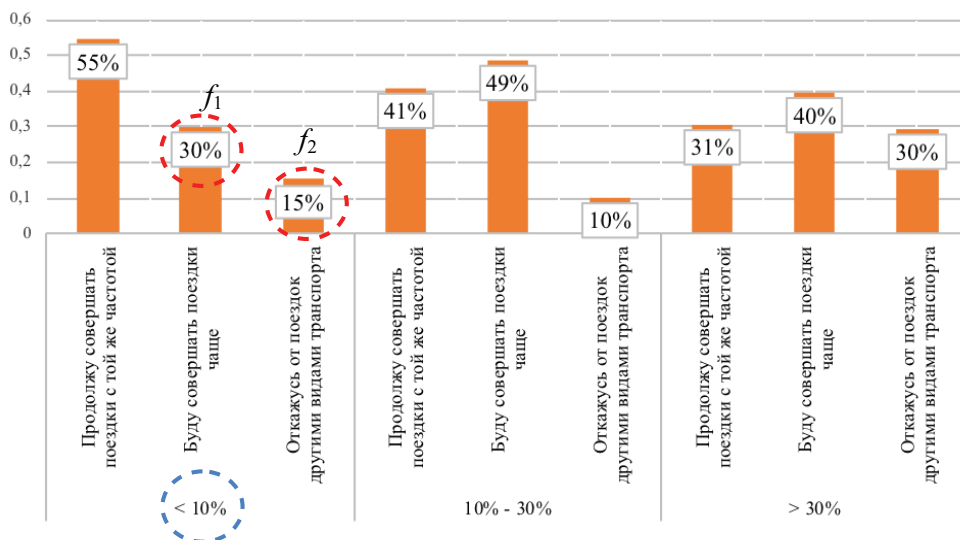


Рис. 2. Изменение частоты поездок пассажиров по маршруту при снижении цены билета на заданном маршруте

* В одну группу объединены пассажиры сегментов «Еду впервые», «Один раз в год и реже» и «Один-два раза в год» и «Прочие» (соответственно 4 % + 10 % + 38 % + 2 % = 54 %).

Данные для построения кривой эластичности (доля пассажиров, «чувствительных» к соответствующему изменению цены билета, и среднее значение числа поездок пассажиров сверх базового в каждой группе) вынесены в таблицу 2.

Таблица 2

Исходные данные для построения кривой эластичности при снижении цены билета в поезде

Обозначение	Значение
Снижение цены на 10 %	
f_1	0,3
f_2	0,15
Снижение цены на 20 %	
f_1	0,49
f_2	0,1
Снижение цены на 30 %	
f_1	0,4
f_2	0,3
Среднее увеличение числа поездок в группе*	
m_1	8
m_2	5
m_3	1,3

Тогда общее число поездок в год, которое пассажиры могут совершить поездом по заданному маршруту, при снижении цены билета на 10 %:

$$\begin{aligned} \Pi(1) = & 1000 \cdot (10 \% \cdot (0,3 + 0,15) \cdot 8 + \\ & + 10 \% \cdot (1 - 0,3 - 0,15) \cdot 7 + \\ & + 36 \% \cdot (0,3 + 0,15) \cdot 5 + \\ & + 36 \% \cdot (1 - 0,3 - 0,15) \cdot 4 + \\ & + 54 \% \cdot (0,3 + 0,15) \cdot 1,3 + \\ & + 54 \% \cdot (1 - 0,3 - 0,15) \cdot 1) = 2959,9. \end{aligned}$$

Изменение размера выручки к базовому уровню:

$$Д(1) = \frac{2959,9(1 - 0,07)}{2680} = 2,71 \, \%.$$

Общее число поездок в год, которое пассажиры могут совершить поездом по заданному маршруту при снижении цены билета на 20 %:

$$\begin{aligned} \Pi(2) = & 1000 \cdot (10 \% \cdot (0,49 + 0,1) \cdot 8 + \\ & + 10 \% \cdot (1 - 0,49 - 0,1) \cdot 7 + \\ & + 36 \% \cdot (0,49 + 0,1) \cdot 5 + \\ & + 36 \% \cdot (1 - 0,49 - 0,1) \cdot 4 + \\ & + 54 \% \cdot (0,49 + 0,1) \cdot 1,3 + \\ & + 54 \% \cdot (1 - 0,49 - 0,1) \cdot 1) = 3078,84. \end{aligned}$$

Изменение размера выручки к базовому уровню:

$$Д(2) = \frac{3078,84(1 - 0,2)}{2680} = -8,09 \, \%.$$

Число поездок в год при снижении цены билета на 30 %:

$$\begin{aligned} \Pi(3) = & 1000 \cdot (10 \% \cdot (0,4 + 0,3) \cdot 8 + \\ & + 10 \% \cdot (1 - 0,4 - 0,3) \cdot 7 + \\ & + 36 \% \cdot (0,4 + 0,3) \cdot 5 + \\ & + 36 \% \cdot (1 - 0,4 - 0,3) \cdot 4 + \\ & + 54 \% \cdot (0,4 + 0,3) \cdot 1,3 + \\ & + 54 \% \cdot (1 - 0,4 - 0,3) \cdot 1) = 3153,2. \end{aligned}$$

Изменение размера выручки к базовому уровню:

$$Д(3) = \frac{3153,2(1 - 0,3)}{2680} = -17,64 \, \%.$$

Порядок построения кривой эластичности при условии увеличении цены билета относительно базовой*

Вопрос – «Как изменится частота поездок на железнодорожном транспорте при увеличении стоимости на проезд?» – предполагал шесть вариантов ответов: «Продолжу совершать поездки с той же частотой», «Перейду в другой тип вагона», «Перейду в другой поезд», «Воспользуюсь другим видом транспорта», «Стану совершать поездки реже» и «Вообще откажусь от

* Здесь и далее при проведении расчетов ответы пассажиров – «Буду ездить чаще» – интерпретируются следующим образом: количество поездок для пассажиров с базовой частотой поездки 7 увеличивается на одну поездку в год и в расчетах принимается 8, с базовой частотой 4 увеличивается на одну и в расчетах принимается 5, с базовой частотой 1 увеличивается на 30 % и в расчетах принимается 1,3.

поездок» для различной величины надбавок к тарифу (до 10 %, 20–30 %, свыше 40 %). При построении кривой эластичности спроса на поездки при изменении стоимости проезда учитывались только «чувствительные» к цене сегменты – число поездок по маршруту поезда может увеличиться в целом только за счет групп пассажиров, суммарно ответивших «Воспользуюсь другим видом транспорта» и «Вообще откажусь от поездок» за исключением сегмента «Стану реже совершать поездки» (рис. 3) при соответствующем варианте снижения цены.

Данные для построения кривой эластичности (доля пассажиров, «чувствительных» к соответствующему изменению цены билета, и среднее число поездок пассажиров сверх/ниже базового в каждой группе) вынесены в таблицу 3.

Число поездок в год, которое пассажиры готовы совершить на заданном

Таблица 3
Исходные данные для построения кривой эластичности при увеличении цены билета в поезде на заданном маршруте

Обозначение	Значение
Увеличение цены на 10 %	
q_1	0,13
q_2	0,08
f_3	0,11
Увеличение цены на 20 %	
q_1	0,23
q_2	0,03
f_3	0,15
Увеличение цены на 40 %	
q_1	0,2
q_2	0,2
f_3	0,17
Среднее сокращение числа поездок в группе	
m_4	6
m_5	3
m_6	0,7

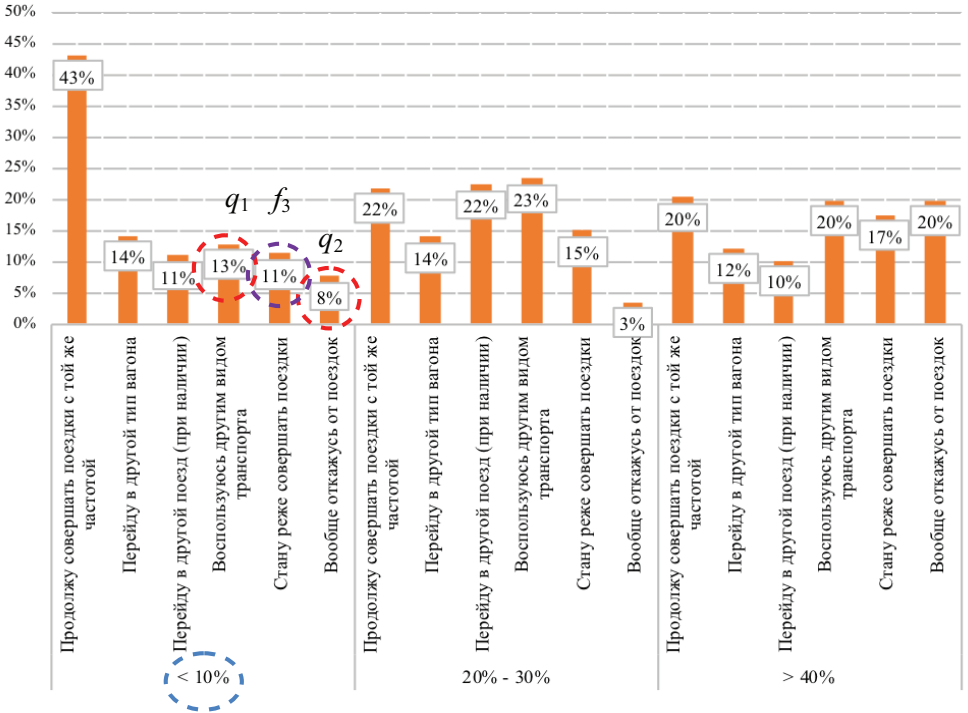


Рис. 3. Изменение частоты поездок пассажиров при увеличении цены билета на заданном маршруте

маршруте при увеличении цены билета на 10 %:

$$\begin{aligned} \Pi(1) &= 1000 \cdot (1 - (0,13 + 0,08)) \times \\ &\times ((10 \% \cdot 0,11 \cdot 6 + 10 \% \cdot (1 - 0,11) \cdot 7 + \\ &+ 36 \% \cdot 0,11 \cdot 3 + 36 \% \cdot (1 - 0,11) \cdot 4 + \\ &+ 54 \% \cdot 0,11 \cdot 0,7 + 54 \% \cdot (1 - 0,11) \cdot 1) = \\ &= 2063,15. \end{aligned}$$

Изменение размера выручки к базовому уровню:

$$D(1) = \frac{2063,15(1 + 0,1)}{2680} = -15,32 \ \%.$$

Число поездок в год, которое пассажиры могут совершить на заданном маршруте при увеличении цены билета на 20 %:

$$\begin{aligned} \Pi(2) &= 1000 \cdot (1 - (0,23 + 0,03)) \times \\ &\times ((10 \% \cdot 0,15 \cdot 6 + 10 \% \cdot (1 - 0,15) \cdot 7 + \\ &+ 36 \% \cdot 0,15 \cdot 3 + 36 \% \cdot (1 - 0,15) \cdot 4 + \\ &+ 54 \% \cdot 0,15 \cdot 0,7 + 54 \% \cdot (1 - 0,15) \cdot 1) = \\ &= 1914,16. \end{aligned}$$

Изменение размера выручки к базовому уровню:

$$D(2) = \frac{1914,16(1 + 0,2)}{2680} = -14,29 \ \%.$$

Число поездок в год, которое пассажиры готовы совершить на маршруте при увеличении цены билета на 40 %:

$$\begin{aligned} \Pi(3) &= 1000 \cdot (1 - (0,2 + 0,2)) \times \\ &\times ((10 \% \cdot 0,17 \cdot 6 + 10 \% \cdot (1 - 0,17) \cdot 7 + \\ &+ 36 \% \cdot 0,17 \cdot 3 + 36 \% \cdot (1 - 0,17) \cdot 4 + \\ &+ 54 \% \cdot 0,17 \cdot 0,7 + 54 \% \cdot (1 - 0,17) \cdot 1) = \\ &= 1544,56. \end{aligned}$$

Изменение размера выручки к базовому уровню:

$$D(3) = \frac{1544,56(1 + 0,4)}{2680} = -19,31 \ \%.$$

На основании полученных значений построена кривая эластичности спроса пассажиров при увеличении и уменьшении цены билета на заданном маршруте (рис. 4).

В дополнение к графику кривой эластичности, построенному без учёта

перетока пассажиров с других видов транспорта ($\Omega = 0$), на основании экспертных оценок построен дополнительный график, предполагающий учет перетока пассажиров при условии $\Omega \neq 0$; Ω экспертно принимается равной $0,3 \cdot (q_1 + q_2)$.

В транспортной отрасли при установлении оптимальной цены на билет целесообразно использовать модифицированный показатель эластичности спроса по цене (дополнительно или отдельно к используемому в базовых отраслях традиционному показателю зависимости объема продаж товара от цены) [11]. Выделяют три базовых значения данного показателя.

1. Спрос эластичный: если при уменьшении цены на билет на 1 % выручка от продаж возрастает больше чем на 1 %.

2. Неэластичный: если при снижении цены на билет на 1 % спрос увеличивается менее чем на 1 %.

3. Единичной эластичности: если при снижении цены на товар на 1 % спрос увеличивается на 1 %.

Общепринята рекомендация уменьшения цены на маршрутах с эластичным спросом (при условии дополнительного анализа) на маршрутах со спросом единичной эластичности. В общем случае, без учета дополнительных факторов, уменьшение цены на маршрутах с неэластичным спросом нецелесообразно.

Основываясь на проведенных маркетинговых исследованиях, результаты которых не учитывают переток пассажиров с других видов транспорта, и построенной финансово-экономической модели эластичности, можно сделать вывод, что спрос на рассматриваемом маршруте неэластичен. Действующая цена оптимальна и ее снижение не приведет к адекватному увеличению выручки. Такой вывод для рассматриваемого маршрута остается в силе даже в случае введения в финансовую модель корректирующего допущения о наличии перетока пассажиров с авиационного и автобусного сообщения на соответствующих маршрутах. ■

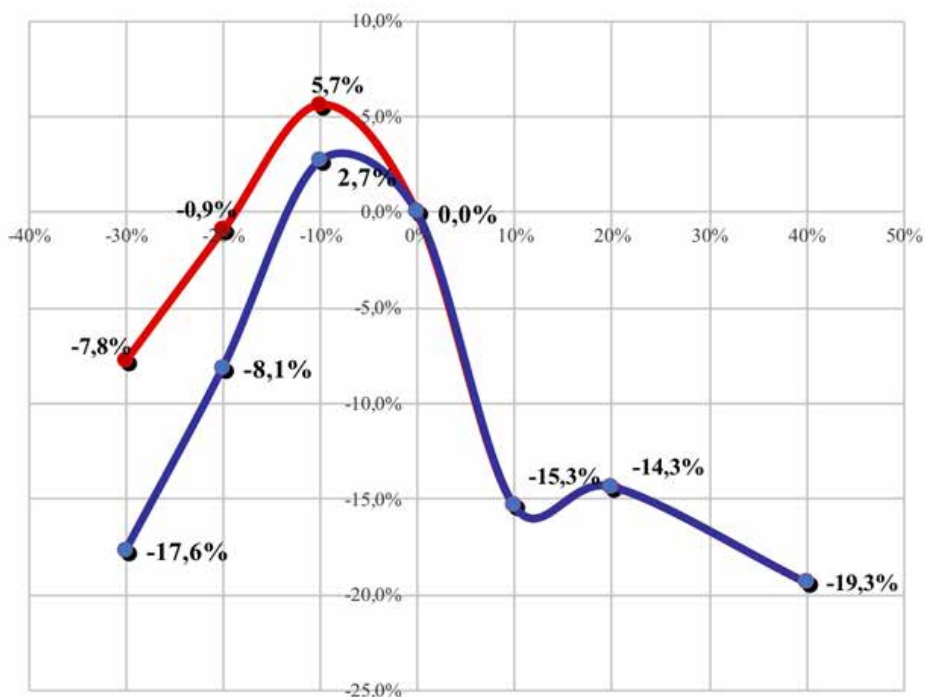


Рис. 4. Кривая эластичности спроса при уменьшении и увеличении цены билета на рассматриваемом маршруте

— кривая эластичности без учета Q ;

— кривая эластичности с учетом Q , принятой на основании экспертных оценок

Литература

1. Вакуленко С. П., Куликова Е. Б., Яцкевич К. О. Лицом к пассажиру, или как переломить отрицательную динамику снижения объемов пассажирских перевозок в международном сообщении // Наука и техника транспорта. 2018. № 3. С. 72–76. ISSN 2074-9325.
2. 70-е заседание Совета по железнодорожному транспорту государств-участников Содружества // Железнодорожный транспорт. 2019. № 6. С. 4–8. ISSN 0044-4448.
3. Кулачинская А. Ю. Совершенствование тарифов на транспортные услуги населению с учётом их социальной значимости // Мир транспорта. 2019. Т. 17. № 3 (82). С. 114–121. ISSN 1992-3252.
4. Куликова Е. Б., Ладыгина Д. Д., Яцкевич К. О. Создание альянсов как вариант эффективного развития транспортного рынка // Железнодорожный транспорт. 2019. № 3. С. 74–77. ISSN 0044-4448.
5. Михальченко А. А. Влияние экономико-технологических факторов на величину межгосударственного тарифа в международном сообщении // Развитие экономической науки на транспорте: экономическая основа будущего транспортных систем : сб. науч. ст. – СПб : ООО «Институт независимых социально-экономических отношений – оценка», 2019. С. 579–586.
6. Безопасность – наиболее значимый фактор при выборе потенциальным пассажиром вида транспорта: безопасность движения поездов : сб. науч. тр. / Моск. инст. инж. тр. – М. : МИИТ, 2002. 298 с. II–5.
7. Вакуленко С. П., Копылова Е. В., Куликова Е. Б. Стандартизация менеджмента качества услуг // Мир транспорта. 2012. Т. 10. № 2 (40). С. 120–123. ISSN 1992-3252.
8. Вакуленко С. П., Копылова Е. В., Куликова Е. Б. Стандартизация – основа высокого качества услуг пассажирского комплекса // Железнодорожный транспорт. 2016. № 8. С. 39–41. ISSN 0044-4448.
9. Килькеева Ю. А., Мельниченко Е. К. Программа динамического тарифообразования и её влияние на спрос пассажирских железнодорожных перевозок // Современные

проблемы экономического развития предприятий, отраслей, комплексов, территорий/ Межд. сб. науч. тр. – 2018. – С. 216–221.

10. Головкин В. А. Совершенствование системы транспортного обслуживания населения небольших городов с использованием логистических технологий. М. : РУТ (МИИТ), 2019. 112 с.
11. Cross R. Revenue Management. Hard-Core Tactics for Market Domination. Universities Press, 1997. 276 p.

Literature

1. Vakulenko S. P., Kulikova E. B., Yatskevich K.O. For the good of the passenger, or how to overcome the negative trend of decrease in the volume of passenger transportation in international traffic // Science and technology of transport [Litsom k passazhiru, ili kak perelomit' otritsatel'nyuyu dinamiku snizheniya ob'emov passazhirskih perevozok v mezhdunarodnom soobshchenii // Nauka i tekhnika transporta]. 2018. № 3. p. 72–76. ISSN 2074-9325.
2. The 70th meeting of the railway transport Council of the member-countries of the Commonwealth // Railway transport [70-e zasedanie Soveta po zheleznodorozhnomu transportu gosudarstv-uchastnikov Sodruzhestva // Zheleznodorozhnyy transport]. 2019. № 6. P. 4–8. ISSN 0044-4448.
3. Kulachinskaya A. Yu. Improving tariffs for transport services for population taking into consideration their social significance // World of transport [Sovershenstvovanie tarifov na transportnye uslugi naseleniyu s uchyotom ih sotsial'noy znachimosti // Mir transporta]. 2019. V. 17. № 3 (82). P. 114–121. ISSN 1992-3252.
4. Kulikova E. B., Ladygina D. D., Yatskevich K. O. Building alliances as an option for effective development of transport market // Railway transport [Sozdanie al'yansov kak variant effektivnogo razvitiya transportnogo rynka // Zheleznodorozhnyy transport]. 2019. № 3. P. 74–77. ISSN 0044-4448.
5. Mihal'chenko A.A. The impact of economic and technological factors on state-to-state tariff value in international traffic // Development of economic science in transport industry : economic foundation for future transport system : collection of scientific articles – Saint-Petersburg : LLC «Institute of independent social and economic relations – assessment» [Vliyanie ekonomiko-tekhnologicheskikh faktorov na velichinu mezhdunarodnogo tarifa v mezhdunarodnom soobshchenii // Razvitie ekonomicheskoy nauki na transporte: ekonomicheskaya osnova budushchego transportnykh sistem : sb. nauch. st. – SPb : OOO «Institut nezavisimyykh sotsial'no-ekonomicheskikh otnosheniy – otsenka»], 2019. P. 579–586.
6. Safety – the most significant factor when choosing mode of transport by a prospective passenger: train traffic safety : collection of scientific works / Moscow institute of transport engineers – M. : MIIT [Bezopasnost' – naibolee znachimyy faktor pri vybere potentsial'nym passazhirom vida transporta: bezopasnost' dvizheniya poezdov : sb. nauch. tr. / Mosk. inst. inzh. tr. – M. : MIIT], 2002. 298 p. II–5.
7. Vakulenko S. P., Kopylova E. V., Kulikova E. B. Standardization of service quality management // World of transport [Standartizatsiya menedzhmenta kachestva uslug // Mir transporta]. V. 10. № 2 (40). P. 120–123. ISSN 1992-3252.
8. Vakulenko S. P., Kopylova E. V., Kulikova E. B. Standardization – the basis for high quality services for passenger facilities // Railway transport [Standartizatsiya – osnova vysokogo kachestva uslug passazhirskogo kompleksa // Zheleznodorozhnyy transport]. 2016. № 8. p. 39–41. ISSN 0044-4448.
9. Kil'keeva Yu. A., Mel'nichenko E. K. Program of dynamic tariff setting and its impact on demand of railway passenger transportation // Contemporary challenges of economic development of enterprises, industries, complexes, territories / International collection of scientific works [Programma dinamicheskogo tarifoobrazovaniya i eyo vliyanie na spros passazhirskih zheleznodorozhnykh perevozok // Sovremennyye problemy ekonomicheskogo razvitiya predpriyatiy, otrasley, kompleksov, territoriy/Mezhd. sb. nauch. tr.]. – 2018. – P. 216–221.
10. Golovko V. A. Improvement of transport service system for people in towns using logistic technologies. M. : RTU (МИИТ) [Sovershenstvovanie sistemy transportnogo obsluzhivaniya naseleniya nebol'shih gorodov s ispol'zovaniem logisticheskikh tekhnologiy. M. : RUT (МИИТ)], 2019. 112 p.
11. Cross R. Revenue Management. Hard-Core Tactics for Market Domination. Universities Press, 1997. 276 p.

Статья сдана в редакцию 20 апреля 2020 года

Безопасность деятельности человека

УДК 628.5

А. А. Пазуха

Повышение уровня электробезопасности на контактной сети за счет создания новых знаков безопасности труда

UDC 628.5

А. А. Pazukha

Enhancement of electrical safety on the catenary system through invention of new work safety signs

Аннотация

Анализ несчастных случаев работников, обслуживающих устройства контактной сети, показал, что имеются случаи электротравмирования из-за расширения зоны и места работы, особенно при работе на сопряжении анкерных участков станционной и перегонной ветви контактной сети. Определено, что работники не всегда ориентируются в сложной производственной обстановке, не знают схему секционирования контактной сети и зону фактического места производства работ, а это влечет за собой их электротравмирование. Рассмотрены применяемые на контактной сети железных дорог знаки электробезопасности. Разработан новый знак безопасности, который будет информировать работников о присутствии опасного фактора, позволит быстрее ориентироваться в производственном процессе, снижая риск получения электротравмы и повышая уровень электробезопасности.

Предложено установить знак безопасности труда в местах сопряжения анкерных участков перегонной и станционной ветви и на границах различных секций контактной сети. Из трех вариантов знаков безопасности труда с помощью ранжирования вариантов по наименьшей сумме рангов определен оптимальный вариант знака безопасности.

Доказана степень согласованности мнений экспертов расчетом коэффициента конкордации.

С помощью критерия Пирсона χ^2 установлено, что согласованность мнений экспертов при выборе оптимального варианта знака безопасности не случайна.

Определены дальнейшие направления исследований по созданию новых знаков безопасности труда на контактной сети.

Ключевые слова: контактная сеть, электротравматизм, знак безопасности труда, экспертный метод, критерий Пирсона, коэффициент конкордации.

DOI: 10.20291/2079-0392-2020-2-103-109

Abstract

The analysis of injuries in attendants of catenary units showed that there happen electrical injuries due to extension of the workplace and its area, especially in case of work at interlinkage of anchor sections of station and wayside lines of the catenary system. It was found that attendants not always know their way around in complicated operation environment, show ignorance of the catenary sectionalizing and factual performance place, this resulting in their electrical traumas. The electrical safety signs used on railway catenary systems were studied. A new safety sign which will inform workers about a hazardous factor was invented. It will provide better orientation in the operational process, reducing the risk of being injured and increasing the safety level.

The work safety sign was suggested to be installed at interlinkage spots of anchor sections of wayside and station lines and at edges of catenary different sections. The most suitable safety sign variant was determined from three work safety signs using ranking of the variants by the least rank sum.

The expert opinion consistency was proved through calculation of concordance coefficient.

Using χ^2 Pearson criterion it was found out that the expert opinion consistency in selecting the most suitable safety sign was nonrandom.

Further lines of research for inventing new work safety signs on the catenary were identified.

Key words: catenary, electrical injuries, work safety sign, expert method, Pearson criterion, concordance coefficient.

DOI: 10.20291/2079-0392-2020-2-103-109

Статья рекомендована к публикации К. Б. Кузнецовым, д-ром техн. наук, профессором Уральского государственного университета путей сообщения. E-mail: kobokuz@gmail.com.

Александр Александрович Пазуха, аспирант; Уральский государственный университет путей сообщения; Екатеринбург, Россия. E-mail: aapazukha@gmail.com. ORCID 0000-0002-1553-764X.

The article is recommended for publishing by K. B. Kuznetsov, Doctor of tech.sci., Professor, Ural state university of railway transport. E-mail: kobokuz@gmail.com.

Alexander Alexandrovich Pazukha, Postgraduate Student, Ural state university of railway transport; Yekaterinburg, Russia. E-mail: aapazukha@gmail.com. ORCID 0000-0002-1553-764X.

Для продольного секционирования контактной сети применяются изолирующее сопряжение анкерных участков, которое обеспечивает механическое и электрическое разделение двух смежных анкерных участков [1]. Работники электроэнергетического комплекса ОАО «РЖД» не всегда знают зону производства работ, границы отключенных секций контактной сети и плохо ориентируются в фактически выделенном месте производства работ.

Зафиксированы неоднократные случаи электротравмирования работников, произошедшие из-за расширения зоны и места работы, особенно при работе на сопряжении анкерных участков контактной сети. Например, 25.02.2013 на Московской железной дороге во Внуковской дистанции электроснабжения смертельно электротравмирован старший электромеханик контактной сети. При замене компенсирующего устройства в анкеровке контактного провода изолирующего сопряжения «В», находясь на вышке автомотрисы, при подтягивании струбины к крюковой клемме потерял равновесие и, держась левой рукой за крюковую клемму, правой коснулся коромысла анкеровки контактного провода, находящегося под напряжением станционной ветви смежного анкерного участка [2]; 2.01.2018 г. на Красноярской железной дороге в Иланской дистанции электроснабжения травмирован током наведенного напряжения электромонтер контактной сети. Бригада района контактной сети под руководством начальника района контактной сети проводила восстановительные работы по устранению обрыва несущего троса в пролете опор № 13–15 с автомотрисы по приказу энергодиспетчера на основании аварийной заявки. Начальник дистанции электроснабжения принял решение провести осмотр контактной подвески с лейтера, для чего сам начал ее перемещать. Пострадавший находился в каретке лейтера. При нахождении лейтера в переходном пролете

воздушного промежутка «А» возле опоры № 5 пострадавший завесил шунтирующую штангу на заземленный контактный провод нейтральной вставки и, коснувшись перегонной ветви анкерного участка, которая не была заземлена, был травмирован током наведенного напряжения. Начальник дистанции электроснабжения начал перемещать вышку в сторону опоры № 7, шунтирующая штанга зацепилась за дополнительный фиксатор, что привело к наклону лейтера и выпадению пострадавшего на железнодорожное полотно. Электромонтер получил смертельную травму головы [3]. 9.12.2019 на Восточно-Сибирской железной дороге в Иркутской дистанции электроснабжения электромонтер района контактной сети получил электротравму. Бригада района контактной сети выполняла работу по наряду-допуску под напряжением с изолирующей съёмной вышки по ревизии и регулировке контактной подвески по 1, 6, 7, 8 путям. Работник, поднявшись на лейтер, завесил шунтирующую штангу вышки на заземленную отходящую ветвь анкерного отхода для регулировки звеньевых струн (расположенных после врезного изолятора на заземленном участке) 1 пути. Он отклонился назад, приблизился спиной к контактной подвеске анкерного участка 1 пути – возникло короткое замыкание. Пострадавший попал под рабочее напряжение и получил 6%-ный ожог спины [4]. 17.01.2020 году на Северо-Кавказской железной дороге в Ростовской дистанции электроснабжения электромонтер района контактной сети получил электротравму II и III степени площадью 19 %. Бригада района контактной сети выполняла работу по комплексной проверке состояния и ремонту контактной сети в границах опор №№ 7–119 ст. Орловка – Кубанская с вышки автомотрисы. Опора № 7 являлась анкерной изолирующего сопряжения «Б». Пострадавший спиной приблизился к перегонной ветви изолирующего сопряжения «Б», находящейся под напряжением,

и был травмирован возникшей электрической дугой [5].

Во всех этих случаях работники работали вблизи разделенных участков высоковольтной контактной сети и не имели по этому поводу никакой или достаточной зрительной информации, что послужило одной из главных причин возникновения тяжелых несчастных случаев.

Одним из существующих элементов улучшения в этих случаях охраны труда работников является расширение комплекса мероприятий, направленных на предупреждение производственного травматизма созданием специальной системы зрительной информации, помогающей работающим ориентироваться в сложной производственной обстановке в виде знаков безопасности [6]. Установлены следующие группы знаков безопасности: запрещающие, предупреждающие, предписывающие, указательные, пожарной безопасности, эвакуационные и знаки медицинского и санитарного назначения [7].

Запрещающие знаки предназначены для запрещения определенных действий: «Не включать! Работают люди», «Не включать! Работа на линии», «Не открывать! Работают люди», «Опасное электрическое поле. Без средств защиты проход запрещен», «Работа под напряжением. Повторно не включать».

Предупреждающие знаки предназначены для предупреждения работающих о возможной опасности: «Осторожно. Электрическое напряжение», «Стоять!

Напряжение», «Не влезай! Убьет», «Испытание. Опасно для жизни», «Внимание! Опасное место», «Осторожно! Негабаритное место».

Предписывающие знаки в электроустановках предназначены для обозначения подготовленного места работ («Работать здесь», «Влезать здесь») предназначены для соблюдения подготовленного места работ, чтобы выделить его по отношению к соседнему электрооборудованию, имеющему идентичный вид.

Указательные знаки предназначены для указания местонахождения различных объектов и устройств, пунктов медицинской помощи, питьевых пунктов, пожарных постов, пожарных кранов, гидрантов, огнетушителей, пунктов извещения о пожаре, складов, мастерских [7]*.

Для недопущения случаев электротравмирования работников необходимо создать специальные системы зрительной информации, которые дополнят существующие и будут информировать персонал о присутствии опасного производственного фактора.

Символическое изображение должно быть предельно близко к его значению, содержать минимальное количество деталей и представлять собой силуэт или контур; поясняющая надпись, если она требуется, должна быть лаконична, понятна и не допускать различного толкования.

На основании этих положений автором разработаны эскизы нескольких знаков. Для первоначальной оценки

* На контактной сети железных дорог применяются следующие знаки безопасности.

Для запрещения подачи напряжения на рабочее место применяется запрещающий знак «Не включать! Работают люди».

Для запрещения подачи напряжения на линию, на которой работают люди, применяется запрещающий знак «Не включать! Работа на линии».

Для запрещения повторного ручного включения выключателей воздушной линии после их автоматического отключения без согласования с производителем работ применяется знак запрещающий «Работа под напряжением. Повторно не включать!».

Для предупреждения об опасности поражения электрическим током применяются предупреждающие знаки «Осторожно! Электрическое напряжение», «Внимание! Опасное место», «Осторожно! Негабаритное место».

Для указания безопасного пути подъема к рабочему месту, расположенному на высоте, применяется предписывающий знак «Влезать здесь».

Для указания о недопустимости подачи напряжения на заземленный участок электроустановки применяется указательный знак «Заземлено» [8].



Рис. 1. Варианты предупреждающего знака о наличии опасного фактора
1 – первый вариант знака; 2 – второй;
3 – третий

актуальности и целесообразности выбора максимально выразительного знака использован экспертный метод: группе экспертов предъявляются все варианты одного знака безопасности труда (рис. 1). Каждый эксперт проводил ранжирование вариантов, т.е. присваивает ранг 1 наилучшему по его мнению варианту, следующему (в убывающем по качеству порядке) – ранг 2 и т.д. После этого определяется сумма рангов, присвоенных каждому варианту всеми экспертами. Вариант, получивший наименьшую сумму рангов, принимается за оптимальный. Далее, по методу ранговой корреляции, по величине коэффициента конкордации определяется степень согласованности мнений экспертов. Правильность гипотезы о согласованности мнений экспертов проверяется с помощью критерия Пирсона χ^2 [6].

Матрица рангов группы экспертов из 30 человек (три руководителя структурного подразделения; десять руководителей линейных подразделений; четыре электромеханика района контактной сети; 12 электромонтеров контактной сети; один председатель первичной профсоюзной организации) представлена в таблице.

Из матрицы рангов видно, что большинство экспертов отдали предпочтение

Матрица рангов при выборе оптимального варианта знака безопасности

Эксперт	Вариант знака		
	1	2	3
1	1	3	2
2	1	2	3
3	1	2	3
4	1	2	3
5	2	1	3
6	1	2	3
7	2	1	3
8	1	2	3
9	2	1	3
10	1	2	3
11	1	3	2
12	2	3	1
13	1	2	3
14	2	1	3
15	1	3	2
16	1	2	3
17	2	1	3
18	1	2	3
19	1	2	3
20	1	2	3
21	1	2	3
22	2	1	3
23	1	2	3
24	2	1	3
25	1	2	3
26	1	2	3
27	3	2	1
28	1	2	3
29	1	3	2
30	1	2	3
Сумма рангов	40	58	82
Отклонение суммы рангов (от средней суммы рангов 60)	20	2	–22
Квадраты отклонений от средней суммы	400	4	484

варианту 1. Этот вариант принят как оптимальный.

После этого определялась степень согласованности мнений экспертов. Рассчитаем коэффициент конкордации Кендалла:

$$W = \frac{12S}{m^2(n^3 - n)},$$

где S – сумма квадратов отклонений сумм рангов от средней суммы рангов; m – число экспертов; n – число вариантов знака [9, 10].

Сумма квадратов отклонений сумм рангов от средней суммы рангов равна 888, число экспертов – 30, число вариантов знака – 3, тогда коэффициент конкордации W равен 0,493.

Степень согласованности мнений экспертов можно считать достаточной, если значение коэффициента конкордации W составляет около 0,5 и более. Полученное значение коэффициента конкордации позволило гипотетически считать, что мнение экспертов имеет достаточную согласованность.

Убедимся, что согласованность мнений экспертов не случайна. Это было проведено с помощью критерия Пирсона χ^2 , так как установлено, что величина $m(n-1)W$ имеет χ^2 распределение при числе свободы $n-1$.

В данном случае $n-1=2$, табличное значение χ^2 при двух степенях свободы и уровне значимости – $q=0,05$ составляет величину, равную $\chi^2=6$ [10].

Определим величину $m(n-1)W = 30 \cdot 2 \cdot 0,493 = 29,58$.

Табличное значение коэффициента χ^2 меньше расчетного ($6 < 29,58$); это дает основание считать, что гипотеза о неслучайной согласованности мнений экспертов правильна.

Модель знака безопасности труда предлагается установить в местах сопряжения анкерных участков перегонной и станционной ветвей и на границах

различных секций контактной сети. Знак безопасности труда не будет ухудшать видимость сигнальных приборов, указателей и знаков.

В прошлом году получил смертельную электротравму и.о. начальника района контактной сети ст. Камышлов Тюменской дистанции электроснабжения Свердловской железной дороги.

После выезда автомотрисы из гаража района контактной сети дежурный по станции Камышлов приготовил маршрут на путь 6 станции. При нахождении на пути 6 производитель работ, увидев отсутствие струнки в пролете опор контактной сети 77-79, дал команду машинисту автомотрисы подъехать к данному месту, остановиться, членам бригады подняться на изолированную площадку автомотрисы для установки струны. Два члена бригады поднялись на площадку, установили трехметровую лестницу на несущий трос, один из них поднялся по лестнице, закрепил конец струны на несущем тросе (при этом бухта провода марки БМ-4, используемая для изготовления струны, лежала на изолированной площадке автомотрисы), поставив тем самым площадку под потенциал 3,3 кВ. При креплении струны к контактному проводу электромонтер запросил ножницы у находящегося внизу на площадке автомотрисы производителя работ для регулировки струны по длине. И.о. начальника района контактной сети станции Камышлов встал на ящик с инструментом и при подаче ножниц коснулся ими нижней части подъемника, перекрыв его изоляцию, в результате чего был смертельно травмирован током напряжения 3,3 кВ [11].

После этого системы зрительной информации – «Осторожно! Электрическое напряжение», «Не влезай! Убьет» – были установлены на подъемных лестницах автомотрис (рис. 2).



Рис. 2. Подъемная лестница автомотрисы, оснащенная знаками безопасности

Заключение

Разработка специальной системы зрительной информации, помогающей персоналу ориентироваться в сложной производственной обстановке на контактной сети, является актуальной задачей, которая подтверждается статистическими данными электротравмирования работников. Системы зрительной информации направлены на снижение риска электротравмирования работников, предупреждение производственного травматизма, а также на повышение уровня электробезопасности.

Использование экспертного метода позволило выбрать оптимальный вариант знака «Внимание! Опасная зона работ», предупреждающий об опасной разности потенциалов при работе на сопряжениях анкерных участков перегонной и станционной ветви и на границах различных секций контактной сети.

Коэффициент конкордации 0,493 подтвердил достаточную степень согласованности мнений экспертов при выборе оптимального знака безопасности. С помощью критерия Пирсона χ^2 принята гипотеза о неслучайной согласованности мнений экспертов.

Перспективным дальнейшим исследованием является рассмотрение с помощью экспертных оценок место установки знака «Внимание! Опасная зона работ» в местах сопряжения анкерных участков перегонной и станционной ветвей и на границах различных секций контактной сети, а также применение знаков безопасности при работе на гибких поперечинах контактной сети и при работе с применением съемной изолирующей вышки (лейтер). При ранжировании вариантов предусмотреть максимальное число экспертов путем создания анкетирования в мессенджерах и в онлайн платформах. ■

Литература

1. Марквардт К. Г. Контактная сеть : учеб. для вузов ж.-д. трансп. – М. : Транспорт, 1994. – 4-е изд. перераб. и доп. – 335 с. ISBN 5-277-01713-5.
2. ОАО «Российские железные дороги». Телеграмма № исх. 6613/ЦДИ от 28.02.2013. – М. : ЦДИ – филиал ОАО «РЖД», 2013. 3 с.
3. ОАО «Российские железные дороги». Телеграмма № исх. 24/ТЭ от 09.01.2019. – М. : ТЭ – филиал ОАО «РЖД», 2019. 2 с.
4. ОАО «Российские железные дороги». Телеграмма № исх. 7546/ВСИБНБТ от 10.12.2019. – Иркутск : ОАО «РЖД», 2019. 3 с.
5. ОАО «Российские железные дороги». Телеграмма № исх. 1157/ТЭ от 18.02.2020. – М. : ТЭ – филиал ОАО «РЖД», 2020. 3 с.

6. Александров В. И., Левицкий А. Л. Разработка знаков безопасности труда // Охрана труда на железнодорожном транспорте : сборник статей / под ред. П. А. Жданова, Н. В. Илюхина, 1979. – С. 81–89.
7. ГОСТ 12.4.026–2015. Цвета сигнальные, знаки безопасности и разметка сигнальная. Назначение и правила применения. Общие технические требования и характеристики. Методы испытаний. URL: <https://magazinot.ru/files/document/GOST-P-12.4.026-2015.pdf> (дата обращения: 12.02.2020).
8. Инструкция по безопасности для электромонтеров контактной сети. Екатеринбург : Уралюриздат, 2010. 246 с. ISBN 978-5-9682-0899-6.
9. Kendall M. G., Babington Smith B. (Sep 1939). The Problem of m Rankings. The Annals of Mathematical Statistics 10 (3). URL: https://projecteuclid.org/download/pdf_1/euclid.aoms/1177732186 (reference date: 12.02.2020).
10. Пустыльник Е. И. Статистические методы анализа и обработки наблюдений : монография. – М. : Наука, Главная редакция физ.-мат. лит., 1968. 288 с.
11. ОАО «Российские железные дороги». Телеграмма № исх. 3419/ТЭ от 18.04.2019. – М. : ТЭ – филиал ОАО «РЖД», 2019. 5 с.

Literature

1. Marquardt K. G. Catenary system: textbook for railway higher schools. – М.: Transport [Kontaknaya set' : ucheb. dlya vuzov zh.-d. transp. – М. : Transport], 1994. – 4th edition, updated and revised. – 335 p. ISBN 5-277-01713-5.
2. JSC «Russian railways». Telegram № исх. 6613/ЦДИ as of 28.02.2013. – М.: CDI – JSC RZD subsidiary [ОАО «Rossiyskie zheleznye dorogi». Telegramma № iskh. 6613/TsDI ot 28.02.2013. – М. : TsDI – filial ОАО «RZhD», 2013. 3 p.
3. JSC «Russian railways». Telegram № исх. 24/ТЭ as of 09.01.2019. – М. : TE – JSC RZD subsidiary [ОАО «Rossiyskie zheleznye dorogi». Telegramma № iskh. 24/TE ot 09.01.2019. – М. : TE – filial ОАО «RZhD», 2019. 2 p.
4. JSC «Russian railways». Telegram № исх. 7546/ВЦИБНБТ as of 10.12.2019. – Irkutsk: JSC «RZD» [ОАО «Rossiyskie zheleznye dorogi». Telegramma № iskh. 7546/VSIBNBT ot 10.12.2019. – Irkutsk : ОАО «RZhD», 2019. 3 p.
5. JSC «Russian railways». Telegram № исх. 1157/ТЭ as of 18.02.2020. – М.: TE – JSC RZD subsidiary [ОАО «Rossiyskie zheleznye dorogi». Telegramma № iskh. 1157/TE ot 18.02.2020. – М. : TE – filial ОАО «RZhD», 2020. 3 p.
6. Alexandrov V. I., Levitsky A. L. Development of work safety signs // Professional safety on railway transport: collection of papers [Razrabotka znakov bezopasnosti truda // Ohrana truda na zheleznodorozhnom transporte] / edited by P. A. Zhdanov, N. V. Ilyukhin, 1979. – P. 81–89.
7. ГОСТ 12.4.026–2015. Warning colours, safety signs and warning marks. Assignment and application regulations. General technical requirements and features. Testing techniques. [ГОСТ 12.4.026–2015. Tsveta signal'nye, znaki bezopasnosti i razmetka signal'naya. Naznachenie i pravila primeneniya. Obshchie tekhnicheskie trebovaniya i harakteristiki. Metody ispytaniy] URL: <https://magazinot.ru/files/document/GOST-P-12.4.026-2015.pdf> (reference date: 12.02.2020).
8. Safety instruction for catenary electricians. Yekaterinburg: Uralizdat [Instruktsiya po bezopasnosti dlya elektromonterov kontaktnoy seti. Yekaterinburg : Uralyurizdat], 2010. 246 p. ISBN 978-5-9682-0899-6.
9. Kendall M. G., Babington Smith B. (Sep 1939). The Problem of m Rankings. The Annals of Mathematical Statistics 10 (3). URL: https://projecteuclid.org/download/pdf_1/euclid.aoms/1177732186 (reference date: 12.02.2020).
10. Pustynnik E. I. Statistical methods of analysis and treatment of observations : monograph. – Nauka, Chief editors of phys. and math. lit. [Statisticheskie metody analiza i obrabotki nablyudeniy : monografiya. – М. : Nauka, Glavnaya redaktsiya fiz.-mat. lit.], 1968. 288 p.
11. JSC «Russian railways». Telegram № исх. 3419/ТЭ as of 18.04.2019. – М.: TE – JSC «RZD» subsidiary [ОАО «Rossiyskie zheleznye dorogi». Telegramma № iskh. 3419/TE ot 18.04.2019. – М. : TE – filial ОАО «RZhD», 2019. 5 p.

Статья сдана в редакцию 26 февраля 2020 года

Аспирантская тетрадь

УДК 658.014

Д. Ю. Горелова

Методологические подходы определения коэффициента устойчивости в сетевых организационных структурах

UDC 658.014

D. Yu. Gorelova

Methodological approaches to determination of stability coefficient in network organization structures

Аннотация

В статье рассмотрены теоретические подходы моделирования функционирования сетевых организационных структур. Приведены достоинства и недостатки сетевых организационных структур.

Рассмотрены представления моделирования узлов сети как графов, а линий связи – его рёбер. Проанализированы вопросы устойчивости организационных сетей с модельной точки зрения. Приведены основные требования к геометрической конфигурации организационных сетей, которые должны соответствовать практической цели, как то устойчивость, надёжность, жизнеспособность или доходность. Рассмотрены понятие «геометрическая устойчивость» и условия её достижения.

Представлена концепция комплексной оценки устойчивости сетевой организационной структуры. Предложен набор математических характеристик для построения математической модели устойчивости организационной сети, разделенных на две группы коэффициентов (геометрические и экономические), отражающих строение исследуемой структуры сети как геометрического объекта. Выведен и рассмотрен ряд коэффициентов, позволяющих оценить устойчивость организационной сети количественно и качественно.

Рассмотрены понятия количественной и структурной устойчивости. Сформулирован закон равновесия для сетевой организационной структуры как социально-экономической системы. Выявлена их отличительная особенность.

Обоснованы основополагающие идеи разработки комплексного показателя устойчивости и методики определения устойчивости сетевой организационной структуры управления крупной компанией. Предложены новые подходы к расчету интегрального показателя устойчивости сетевой организационной структуры.

Ключевые слова: организационная сеть, сетевое взаимодействие, устойчивость организационных сетей, коэффициенты устойчивости, коэффициент сети.

DOI: 10.20291/2079-0392-2020-2-110-119

Abstract

The article focuses on theoretical approaches of modeling of network organization structures. Advantages and disadvantages of network organization structures are given.

Network nodes are shown in modeling as graphs and connecting lines as its ribs. Issues of organization networks stability from the model viewpoint were analyzed. Main requirements to geometry configuration of organization networks are stated which must correspond to a practical goal, i.e.: stability, reliability, feasibility or profitability. The term «geometrical stability» was examined and conditions for its achievement.

The concept of integrated assessment of network organization structure stability is presented. A set of mathematical features is proposed for construction a mathematical model of organization network stability, divided into two groups of coefficients (geometrical and economic), reflecting the framework of the network structure under study as a geometrical object. A number of coefficients is deduced and studied, which makes it possible to evaluate the organization network on a wider and deeper scale.

Concepts of quantitative and structural stability are studied. A principle of equilibrium for the network organization structure as a social and economic system is formulated. Their distinctive feature is found out.

Underlying ideas of development of the integrated indicator of stability and methods to determine network organization structure of major company management were grounded. New approaches to calculation of the integrated indicator of network organization structure stability are suggested.

Key words: organization network, network interaction, stability of organization networks, stability coefficients, network coefficient.

DOI: 10.20291/2079-0392-2020-2-110-119

Статья рекомендована к публикации И.Д. Громовым, канд. техн. наук, ведущим инженером Свердловского филиала ЦФТО ОАО «РЖД». E-mail: id-gromov@mail.ru.

Дарья Юрьевна Горелова, аспирант, Уральский государственный университет путей сообщения; Екатеринбург, Россия. E-mail: DGorelova@usurt.ru. ORCID 0000-0002-5653-2036.

The article is recommended for publishing by I. D. Gromov, Cand. of tech. sci., Leading Engineer, Sverdlovsk subsidiary, JSC «RZD». E-mail: id-gromov@mail.ru.

Daria Yurievna Gorelova, Postgraduate Student, Ural state university of railway transport; Yekaterinburg, Russia. E-mail: DGorelova@usurt.ru. ORCID 0000-0002-5653-2036.

Введение

Стройной методологии моделирования и построения прогнозных моделей функционирования сетевых организаций пока нет, хотя в последние годы появляются статьи по этой проблеме.

В теоретических подходах понятие «сетевая организационная структура» несколько идеализировано – при рассмотрении некоторых структур управления компанией на практике сложно сказать, к какому именно типу она относится [1–4]. Получается, что формализация сетевой структуры по ряду характерных черт не совсем корректна. В иных компаниях сетевая модель может быть реализована в виде только «business unit management» (принцип внутреннего хозрасчета) или внутрикорпоративными, нарушающими принцип иерархии средствами коммуникаций.

Например, «В сетевых компаниях невозможно использование традиционных отношений в сфере занятости рабочей силы. Трудовые отношения в таких компаниях устанавливаются на основе частичной занятости, срочных трудовых договоров, договоров о взаимном предоставлении персонала компаниями, договоров со специалистами свободных профессий» [2]. Этот автор также утверждает, что в сетевых организациях сокращается потребность в управленческом персонале, происходят явная концентрация специализированных работ и автономия предприятий, входящих в сеть, высокая степень децентрализации в управлении.

Основной конфигурацией сетевой организации «...является самоорганизующаяся полицентрическая структура, которая образуется с ориентацией на конкретные цели и задачи и меняется при возникновении каждой новой ситуации, не нарушая при этом баланс властных отношений» – автор [3] согласен с автором [2].

Достоинства и недостатки сетевых структур – динамичность, гибкость, возможности неограниченного расширения, свобода узлов сети и, как следствие,

короткое время принятия решений, неустойчивость для классических методов воздействия – отмечены в работе [5]. Недостатки сетевых структур: многосторонняя слабость каждого из звеньев в сети (перегруженность информацией, слабая защищенность от внешнего воздействия, нестабильность, неспособность провести глобальный проект, идею самостоятельно), умаление роли человека как самостоятельной единицы в рамках сети (однако это утверждение противоречит мнению авторов [1–4]), большие объемы непроверенной информации, распространяющейся в сети.

Некоторые вопросы устойчивости рассмотрены в работах [6–13]. Так, например, в работе [6] представлено авторское определение устойчивости как вероятности неизменной работы субъекта во время осуществления условий договора без дополнительного привлечения вспомогательных ресурсов из сети.

Принципиальные требования к геометрической конфигурации сети заключены в следующих работах авторов: устойчивость и надежность [8, 9], геометрическая жизнеспособность против сторонних разрушающих воздействий [7, 13], кратковременная или длительная доходность [8] и др. Требования, предъявляемые к конфигурации сети, всегда соответствуют поставленной практической цели.

Кроме того, в работе [7] авторами концептуализировано понятие «геометрическая устойчивость организационных сетей», согласно которому сеть должна: а) отвечать условию регулярности, что предотвращает распад на уровне фрагментов сети, б) стремиться значительно превосходить по количеству связей количество элементов внутри сети, что гарантирует резерв геометрической прочности и устойчивости сети, подтверждает отсутствие критического пограничного состояния сети и наличие необходимого прочностного резерва к внешним дестабилизирующим противодействиям.

С модельной точки зрения, сети рассматриваются как графы, в которых

узлы сети предстают в виде графов, а линии связи – их рёбер [13]. При численной оценке устойчивости сети (графа) потеря устойчивости рассматривается как потеря связности, то есть распад на несвязанные элементы сети. Значит, геометрическая прочность сети заключена в устойчивости к утрате связности при стороннем разрушающем воздействии.

Предлагается оценивать устойчивость интегратора организационной сети, предварительно разложив производство по секторам (направлениям), что детализирует производственно-хозяйственную деятельность и учитывает специфику кооперации интегратора и хозяйствующих субъектов рассматриваемого сектора [10–12]. Устойчивость интегратора всегда преобладает над устойчивостью элементов сети, что обусловлено более высоким уровнем технико-экономического развития первого [11]. Кроме того, целесообразно учитывать вероятность срыва договоров подрядчиков при расчете устойчивости конкретного предприятия.

Условие устойчивой и эффективной работы организационной сети заключается в коллективном удовлетворении интересов всех ее элементов в объемах, близких к пониманию необходимых интересов каждого хозяйствующего субъекта.

Эффективность управления сетевой организационной структуры можно оценить по какому-либо интегральному показателю, набору тех или иных количественных характеристик функционирования системы.

Наиболее вероятным и важным критерием оценки сетевой структуры может стать устойчивость организационной сети.

Количественная оценка устойчивости сетевой структуры характеризуется комплексным интегральным показателем, формируемым на основе нескольких ключевых характеристик, описывающих сеть в целом и по отдельным элементам (узлам).

Большинство авторов, характеризуя иерархические организационные

структуры, сходится в поиске структуры или набора структур для минимизации организационных издержек при ограничении удовлетворения системой внешним требованиям [14]. Однако смысл минимальных издержек, или максимального функционала, полностью не раскрывается, и эта методика на практике может успешно применяться только при дополнительной детализации параметров структуры (выбор конкретного критерия или ряда критериев, отвечающих за снижение организационных издержек). К вопросу управления сетью современные исследователи подходят с другой стороны [15]. Они рассматривают системы, состоящие из множества взаимодействующих друг с другом компонент (предприятий), которые, в свою очередь, тоже являются системой. Взаимодействию различных предприятий (компонент) системы присущ параллелизм.

Таким образом, при решении задачи определения количественной оценки устойчивости сетевых структур должно быть, с одной стороны, основано на теории сетей, а с другой, на сетевом организационном дизайне.

Помимо основных параметров, описывающих сеть, предлагаются и дополнительные [4], вычислив которые исследователь получит представление о конфигурации сети. Изначально сеть описывается стандартно: матрица смежности, векторы раскраски (для различения узлов сети) и потоков (для количественного определения связей).

Предлагаемый набор числовых характеристик при их математической формализации и построении математической модели позволит исследователю выявлять зависимости и закономерности, формировать обоснованные варианты сетевых организационных структур. Характеристики разделены на две группы коэффициентов: геометрические и экономические.

Геометрические коэффициенты отражают строение исследуемой структуры корпоративной сети как геометрического объекта, то есть показывают число

связей между узлами, наличие или отсутствие циклов, долю предприятий на орбитах и т.п. Эти показатели вычисляются на основе матрицы смежности сети G и вектора раскраски без экономического наполнения и интерпретации хозяйственных связей.

Одним из важных показателей стабильности и независимости отдельного узла-предприятия или группы узлов-предприятий служит коэффициент автаркии (самообеспечения). Наличие самообеспечения и замкнутости производственных циклов у предприятий проявляется наличием петель. В предложенной модели коэффициент автаркии $\alpha^{(k)}$ k -го порядка определяется как отношение имеющегося числа $N^{(k)}$ циклов длины k в сети G к общему возможному максимальному числу $N_{\max}^{(k)}$ длины k в этой сети.

В сетевых структурах непрерывно протекают процессы формирования элементов сети, происходит их миграция как на верхние, так и на нижние орбиты. Чтобы адекватно отражать степень наполненности орбит элементами, используются коэффициенты $\eta^{(k)}$ наполнения орбит сети G : отношение числа узлов-предприятий на k -й орбите к общему числу узлов-предприятий сети G .

Коэффициенты наполнения отражают доли предприятий на орбитах сети, поэтому:

$$0 \leq \eta^{(k)} \leq 1;$$

$$\sum \eta^{(k)} = 1.$$

Выход узлов на внешние орбиты приводит к уменьшению коэффициентов $\eta^{(k)}$ наполнения орбит сети G (по крайней мере, для первых $k = 1, 2, 3$), а их зависимости – изменению $\eta^{(k)}(t)$; с течением времени t могут служить важными функциональными характеристиками сетевой структуры.

Похожий на предыдущий коэффициент – общий коэффициент корпоративности $\mu(0)$: отношение числа узлов-предприятий на внутренних орбитах к общему числу узлов-предприятий сети G .

Можно предположить, что в процессе настройки сетевой структуры значение общего коэффициента корпоративности будет со временем уменьшаться.

Далее вводятся три группы геометрических коэффициентов сети G , характеризующих среднее количество связей у узла-предприятия, расположенного в сети на орбите с номером k , с предприятиями самой орбиты с номером k с предприятиями внешних орбит и с предприятиями внутренних орбит:

– коэффициенты внутриорбитальной связности орбиты (k) , $s^{(k)}$:

$$s^{(k)} = 2 \frac{R^{(k)}}{N^{(k)}}, \quad (1)$$

где $R^{(k)}$ – общее число дуг между различными узлами орбиты с числом k (т.е. дуги, вершинами которых являются предприятия только на орбите k); $N^{(k)}$ – число узлов сети G на орбите k .

Коэффициенты внутриорбитальной связности характеризуют степень монолитности данной орбиты и ее прочность как самостоятельного образования по отношению к возможным внешним воздействиям [4]; коэффициенты связности орбиты (k) с внешними орбитами, $r^{(k)}$:

$$r^{(k)} = \frac{R_{\text{внеш}}^{(k \rightarrow)}}{N^{(k)}}, \quad (2)$$

где $R_{\text{внеш}}^{(k \rightarrow)}$ – общее число дуг в диаграмме сети, идущих от всех узлов орбиты (k) в узлы, находящиеся на орбитах с большими номерами, т.е. $R_{\text{внеш}}^{(k \rightarrow)}$ – количество центробежных связей; дуги, вершинами которых являются предприятия только на орбите k ; $N^{(k)}$ – число узлов сети G на орбите k ;

– коэффициенты связности орбиты (k) с внутренними орбитами, $v(k)$:

$$v(k) = R_{\text{внутр}}^{(\leftarrow k)}, \quad (3)$$

где $R_{\text{внутр}}^{(\leftarrow k)}$ – общее число дуг в диаграмме сети, идущих от всех предприятий орбиты (k) в узлы, находящиеся на орбитах с меньшими номерами ($R_{\text{внутр}}^{(\leftarrow k)}$ – количество центростремительных связей, дуги, вершинами которых являются

предприятия только на орбите k). Естественные ограничения на коэффициенты $v(k)$:

$$0 < v(k) < N(k-1), \quad (4)$$

где $N(k)$ – число узлов сети G на орбите k .

Коэффициенты связности с внешними или внутренними орбитами могут характеризовать степень «привязанности» орбит друг к другу, в некотором смысле прочность прикрепления одной орбиты к другой, насыщенность ресурсного обмена между ними.

Рассмотрим еще один геометрический показатель, предложенный в [4], – коэффициент достижимости $d^{(k,m)}$. Он может характеризовать длины путей от узлов орбиты с номером (k) до узлов орбиты с номером (m) :

$$d_{\min}^{(k,m)}(A, B) \text{ по всем узлам} \\ d^{(k,m)} = 2 \frac{A \in (k); B \in (m)}{N^{(k)} N^{(m)}}, \quad (5)$$

где $N^{(k)}, N^{(m)}$ – общее число узлов сети G на соответствующих орбитах; $d_{\min}^{(k,m)}(A, B)$ – длина минимального пути в сети G между узлами A и B .

Этот показатель может характеризовать быстроту взаимодействия между узлами, скорость влияния и взаимодействия узла на узел, скорость распространения и передачи информации.

Вторую группу коэффициентов составляют экономические показатели, отражающие экономические процессы, происходящие в сети $G(N, A)$ на текущий момент.

Первый в экономической группе – коэффициент участия ξ_H – числовое выражение степени участия некоторой фиксированной группы узлов H (подсети H в сети G) в обеспечении функционирования и жизнедеятельности самой корпоративной сети $G(N, A)$. В качестве подсети H могут рассматриваться целые

орбиты либо группы предприятий, либо отдельные узлы-предприятия. Коэффициенты участия показывают, какая доля от общего объема продукции, производимой на всех предприятиях подсети H , поставляется внутрь (на нужды) самой корпоративной сети [4].

Коэффициент участия вычисляется по формуле:

$$\xi_H = \frac{\sum Q_{P_i}}{\sum_{P_i \in H} V_{P_i}}, \quad (6)$$

где V_{P_i} – общий объем продукции; Q_{P_i} – объем продукции, реально поставляемый из узла-предприятия P_i в сторону узлов сети G .

Для любой подсети справедливо ограничение $0 < \xi_H < 1$.

Равенство значения коэффициента участия подсети H нулю означает, что узел ничего на нужды сети не поставляет (он должен быть исключен), а равенство значения единице – подсеть всю свою продукцию производит и поставляет на нужды сети.

Коэффициенты участия ξ_H , вычисляемые в сети G для различных групп узлов подсети H , являются естественными индикаторами образующих принципов построения структур управления и экономических преобразований.

Следующий экономический коэффициент – коэффициент зависимости $\xi_T(H, a)$. Он характеризует степень зависимости рассматриваемой группы узлов T (или одного отдельно взятого узла-предприятия) от фиксированной группы узлов H сети G по ресурсам вида a :

$$z_T(H, a) = \frac{\sum_{P_i \in H} Q_{P_i}}{\sum_{P_j \in H} V_{P_j}}, \quad (7)$$

где V_{P_i} – объем реальной потребности предприятия P_j в продукции вида a ; Q_{P_i} – объем продукции вида a , фактически поставляемый с узла-предприятия P_i в сторону группы узлов T .

Суммирование в числителе и знаменателе указанной дроби ведется по всем узлам подсетей H и T .

Коэффициенты зависимости – это некоторые доли от общего, требуемого в подсети T объема продукции вида a :

$$0 < \xi_T(H, a) < 1.$$

Равенство нулю коэффициента зависимости означает, что рассматриваемая группа узлов H не поставляет продукцию вида a в узел или совокупность узлов T , т.е. узлы подсети T не зависят от узлов подсети H по данному виду продукции.

Предложенные коэффициенты зависимости $\xi_T(H, a)$, вычисляемые в сети, образуют достаточно обширную группу экономических показателей, характеризующих степени взаимосвязи и взаимодействия различных фрагментов корпоративной сети G .

Рассмотренные параметры адекватно описывают сетевую организационную структуру, значит, они могут быть использованы при разработке интегральной теоретико-игровой модели сетевой организационной структуры управления, которая, в свою очередь, позволит вариантную разработку стратегий функционирования сети.

Для математической формализации функционирования элементов сети и сети в целом необходимо использовать логико-математическое описание объекта, теоретическая основа которого лучше всего прослеживается в методе имитационного моделирования. Использование метода имитационного моделирования как раз и предполагает построение «образа» объекта исследования с формализацией и расчетом ряда характеристик, по которым и производится анализ.

Морфологическая модель определения устойчивости организационной сети

Эффективность управления в сетевой организации определяется успеш-

ной реализацией производственного потенциала элементов сети организацией (упорядочиванием) их в сетевую структуру, обеспечивающую заданный уровень устойчивости при различных внутрисетевых и внешних воздействиях как на элементы сети, так и на сеть в целом.

Другими словами, эффективность управления обеспечивается структурной упорядоченностью элементов сетевой структуры, координацией их взаимодействия, научно обоснованным распорядительным воздействием интегратора сети, направленным на создание сети как единого целого с уровнем устойчивости, обеспечивающим ее эффективную работу на рынке.

Безусловно, такая система должна быть открытой для внешней среды и быть готовой к изменениям в самой сети и в рыночной среде. При этом должно соблюдаться условие: чем активнее внешняя среда воздействует на элементы сети и на сеть в целом, тем гибче должна быть ее организационная структура управления при заданном уровне устойчивости.

Устойчивость сети, несомненно, зависит от устойчивости как отдельного ее элемента, так и их организованной совокупности.

Далее к устойчивости чего-либо применено следующее определение: «Устойчивость – свойство объекта, заключающееся в способности сохранять с достаточно малыми отклонениями значений координат возмущения процесса после действия возмущения от значений тех же координат невозмущенного процесса, если эти отклонения были достаточно малыми в момент окончания возмущения» [16].

Определения количественной и структурной устойчивости приводятся в [17].

Количественная устойчивость характеризуется числом и разнообразием компонентов, входящих в систему, т.е. чем больше компонентов входит в систему, тем она устойчивее по отношению к внешним и внутренним возмущениям.

Структурная устойчивость характеризуется разнообразием связей между компонентами системы. Структурная устойчивость бывает статическая и динамическая. Статическая устойчивость характеризуется прочностью связей между компонентами, динамическая – равновесным состоянием совокупности компонентов в системе в противовес каждому изменению в системе.

Разумеется, системы сохраняют и изменяют свою устойчивость благодаря механизму отбора, который подразумевает замену элементов, обладающих наименьшим сопротивлением внешним воздействиям.

Структурную устойчивость систем подвижного равновесия выражает закон равновесия, сформулированный Ле Шателье для физических и химических систем: «Всякая система подвижного равновесия стремится изменить таким образом, чтобы свести к минимуму эффект внешнего воздействия, сохраняя при этом свою качественную определенность».

Для сетевой организационной структуры как социально-экономической системы закон равновесия можно сформулировать так: всякая социально-экономическая система проводит изменения таким образом, чтобы свести к минимуму отрицательное внешнее воздействие и сохранить заданный уровень развития.

Отличительной особенностью социально-экономических систем служат их постоянные в процессе производственно-хозяйственной деятельности незначительные отклонения от обоснованного (потребного) среднего. Мелкие отклонения не влияют на устойчивость организационной сети в целом.

С другой стороны, элементы (предприятия, входящие в сеть) сетевой структуры (в особенности организованной на договорном праве) продукцию (услуги), как правило, поставляют не только для элементов сети, но и на свободный рынок.

Таким образом, определение устойчивости для социально-экономических

систем в большей степени подходит согласно устоявшемуся термину «устойчивость по Ляпунову».

Устойчивость сетевой структуры может характеризоваться интегральным показателем, объединяющим в себе различные компонентные показатели – характеристики элементов сети и сеть в целом.

Так, например, интегрированный показатель устойчивости сетевой организационной структуры как социально-экономической системы может быть определен следующим образом:

$$K_{уст} = F(K_{инт}, K_{уз}, K_{э}, K_{ге}), \quad (8)$$

где $K_{инт}$ – интегральный показатель устойчивости интегратора сети-корпорации (этот показатель определяет его устойчивость в увязке со всеми непосредственно взаимодействующими с ним элементами сети и его внесетевое взаимодействие); $K_{уз}$ – интегральный показатель устойчивости элементов (узлов) организационной сети (показывает, насколько в целом устойчивы элементы сети в среднем); $K_{э}$ – коэффициент эластичности сетевой структуры управления (характеризует степень чувствительности структуры управления элементов и сети в целом к изменению различных факторов внутренней и внешней сред. Этот показатель можно определить как показатель, отражающий готовность структуры измениться под изменяющиеся условия); $K_{ге}$ – геометрический коэффициент сети (он также является интегральным и объединяет в себе несколько геометрических характеристик сети. Этот коэффициент дает представление об общей геометрии сети и отвечает на вопрос: насколько рассматриваемая сеть приспособлена для эффективного выполнения производственных программ?).

Необходимо отметить, что $K_{инт}$ рассчитывается по той же методике, что и показатели устойчивости каждого элемента сети. Однако он выделен в отдельный показатель, так как его весовая норма, как правило, намного больше

других узлов, что, безусловно, намного сильнее влияет на итоговую устойчивость сети. Кроме того, в отличие от элемента сети, при определении этого показателя для интегратора имеются составляющие, как правило, отличные от элементов. Тогда:

$$K_{\text{инт}} = F(K_{\text{пост}}, K_{\text{зак}}), \quad (9)$$

где $K_{\text{пост}}$ – интегральный показатель устойчивости поставок интегратору элементами сети и структурами, не входящими в сеть; $K_{\text{зак}}$ – интегральный показатель устойчивости заказов интегратором элементам сети и структурам, не входящими в сеть; $K_{\text{соб}}$ – интегральный показатель собственной устойчивости самого интегратора.

Таким образом, с помощью этих показателей можно косвенно рассчитать количественную и структурную устойчивость интегратора и сети в целом.

Выводы

1. Графическое представление сетевой структуры управления компании

дает лишь представление о графической конфигурации сети. Для того чтобы исследовать поведение элементов сети и сети в целом, необходимо ее математически формализовать, построить математический образ (цифровой клон) объекта исследования, выполнить логико-математическое описание сети.

2. Рассмотренные в статье геометрические и экономические параметры описания организационной сети послужат основой для разработки математической модели сетевой организационной структуры.

3. Для социальной-экономической системы, которой является сетевая организационная структура, определение «устойчивость по Ляпунову» в большей мере соответствует функционированию сети, так как именно в таких системах и наблюдаются эти незначительные отклонения, не изменяющие при этом систему в целом.

4. Раскрытие (решение) предложенных функционалов определения интегральных показателей устойчивости позволит определить количественную и структурную устойчивость интегратора и сети в целом. ■

Литература

1. Вайбер Р. Эмпирические законы сетевой экономики // Проблемы теории и практики управления. 2003. № 3. С. 86–89; № 4. С. 82–88. ISSN 0234-4505.
2. Владимирова И. Г. Компании будущего: организационный аспект // Менеджмент в России и за рубежом. 1999. № 2. С. 58–72. ISSN 1028-5857.
3. Рюэг-Штюм И. Значение новых сетевых организационно-управленческих форм для динамизации предприятий / Й. Рюэг-Штюм, М. Янг // Проблемы теории и практики управления. 2001. № 6. ISSN 0234-4505.
4. Сай В. М. Формирование организационных структур управления : научная монография. – М. : ВИНТИ РАН, 2002. 437 с. ISBN S-900242-307.
5. Сидоренко В. Г. Сетевые структуры как новая форма организации общества в глобальном мире. Идеал или заблуждение? / М-лы конференции «Философия в глобальном мире». – РУДН. 2005. С. 23–31.
6. Сай В. М. Методология построения сетевых организационных структур на железнодорожном транспорте : дисс. ... на соиск. уч. ст. д-ра техн. наук. – Екатеринбург : УрГУПС, 2003. 389 с.
7. Сай В. М., Сизый С. В. Геометрические характеристики организационных сетей // Мир транспорта. 2010. № 4 (32). С. 10–17. ISSN 1992-3252.
8. Сай В. М., Сизый С. В. Организационные структуры как мультиоператорные сети. Задачи прочности и устойчивости // Транспорт Урала. 2009. № 2 (21). С. 5–9. ISSN 1815-9400.
9. Сизый С. В. Устойчивость и стабильность предприятий в организационных сетях // Вестник РГУПС. 2010. №3. С. 122–127. ISSN 0201-7272.
10. Громов И. Д. Формализация и настройка организационной сети с разделенными интересами // Вестник РГУПС. 2015. №3 (58). ISSN 0201-727X.

11. Громов И. Д. Формирование и оценка организационных сетевых структур с разделенными интересами (на примере холдинга «РЖД») : дисс. ... на соиск. уч. ст. канд. техн. наук. – Екатеринбург : УрГУПС, 2015. 127 с.
12. Сай В. М., Громов И. Д. Количественная оценка организационной сети компании ОАО «РЖД» // Транспорт Урала. 2015. № 3 (45). С. 43–58. ISSN 1815-9400.
13. Сизый С. В., Маевский В. В. Геометрическая прочность сетей. Признаки и показатели надежности сетевых структур // Транспорт: наука, техника, управление. 2010. № 11. С. 13–20. ISSN 0236-1914.
14. Новиков Д. А. Сетевые структуры и организационные системы : научное издание. – М. : ИПУ РАН. 2003. 102 с. ISBN 5-89502-766-0.
15. Котов В. Е. Сети Петри. М. : Наука ; Главная редакция физ.-мат. лит. 1984. 160 с.
16. Барбашин Е. А. Введение в теорию устойчивости. М. : Наука. 1967.
17. Шеметов П. В., Петухова С. В. Теория организации : курс лекций. – М. : Изд-во «Омега-Л». 2006. 282 с. ISBN 5-98119-504-5.

Literature

1. Vayber R. Empiric laws of network economy // Issues of management theory and practice [Vayber R. Empiricheskie zakony setevoy ekonomiki // Problemy teorii i praktiki upravleniya]. 2003. № 3. P. 86–89 ; № 4. P. 82–88. ISSN 0234-4505.
2. Vladimirova I. G. Companies of future: organization aspect // Management in Russia and overseas [Kompanii budushchego: organizatsionnyy aspekt // Menedzhment v Rossii i za rubezhom]. 1999. № 2. P. 58–72. ISSN 1028-5857.
3. Reueg-Shturm Y. Significance of new network-type organization and managerial forms for dynamization of enterprises / Y. Reueg-Shturm, M. Young // Issues of management theory and practice [Znachenie novyh seteobraznyh organizatsionno-upravlencheskih form dlya dinamizatsii predpriyatiy / Y. Ryueg-Shtyurm, M. Yang // Problemy teorii i praktiki upravleniya]. 2001. № 6. ISSN 0234-4505.
4. Say V. M. Development of management organization structures: scientific monograph. – M.: VINITI RAN [Formirovanie organizatsionnyh struktur upravleniya : nauchnaya monografiya. – M. : VINITI RAN], 2002. 437 p. ISBN S-900242-307.
5. Sidorenko V. G. Network structures as a new form of organization of society in the global world. Ideal or delusion? / Proceedings from the conference «Philosophy in the global world». – RUDN [Setevye struktury kak novaya forma organizatsii obshchestva v global'nom mire. Ideal ili zabluzhdenie? / M-ly konferentsii «Filosofiya v global'nom mire». – RUDN]. 2005. P. 23–31.
6. Say V. M. Methodology of development of network organization structures on railway transport: diss. ... for Doctor of tech.sci. degree. – Yekaterinburg: USURT [Metodologiya postroeniya setevykh organizatsionnykh struktur na zheleznodorozhnom transporte : diss. ... na soisk. uch. st. d-ra tekhn. nauk. – Yekaterinburg : UrGUPS], 2003. 389 p.
7. Say V. M., Sizy S. V. Geometrical features of organization networks // The world of transport [Geometricheskie karakteristiki organizatsionnykh setey // Mir transporta.]. 2010. № 4 (32). P. 10–17. ISSN 1992-3252.
8. Say V. M., Sizy S. V. Organization structures as multipleoperator networks. Issues of durability and stability // Transport of the Urals [Organizatsionnye struktury kak mul'tioperatornye seti. Zadachi prochnosti i ustoychivosti // Transport Urala]. 2009. № 2 (21). P. 5–9. ISSN 1815-9400.
9. Sizy S. V. Steadiness and stability of enterprises in organization networks // Herald of RSURT [Ustoychivost' i stabil'nost' predpriyatiy v organizatsionnykh setyah // Vestnik RGUPS]. 2010. № 3. P. 122–127. ISSN 0201-7272.
10. Gromov I. D. Formalization and arrangement of organization network with separate interests // Herald of RSURT [Formalizatsiya i nastroyka organizatsionnoy seti s razdelennymi interesami // Vestnik RGUPS]. 2015. № 3 (58). ISSN 0201-727X.
11. Gromov I. D. Formation and evaluation of organization network structures with separate interests (as exemplified by «RZD» holding): diss. ... for Cand.of tech. sci. degree. – Yekaterinburg: USURT [Formirovanie i otsenka organizatsionnykh setevykh struktur s razdelennymi interesami (na primere holdinga «RZhD») : diss. ... na soisk. uch. st. kand. tekhn. nauk. – Yekaterinburg : UrGUPS], 2015. 127 p.

12. Say V. M., Gromov I. D. Quantitative evaluation of JSC RZD company organization network // Transport of the Urals. [Kolichestvennaya otsenka organizatsionnoy seti kompanii OAO «RZhD» // Transport Urala] 2015. № 3 (45). P. 43–58. ISSN 1815-9400.
13. Sizy S. V., Mayevsky V. V. Geometrical durability of networks. Signs and indicators of reliability of network structures // Transport: science, engineering, management. [Geometricheskaya prochnost' setey. Priznaki i pokazateli nadezhnosti setevykh struktur // Transport: nauka, tekhnika, upravlenie] 2010. № 11. P. 13–20. ISSN 0236-1914.
14. Novikov D. A. Network structures and organization systems: scientific publication. – М.: IPU RAN [Setevye struktury i organizatsionnye sistemy : nauchnoe izdanie. – М. : IPU RAN]. 2003. 102 p. ISBN 5-89502-766-0.
15. Kotov V. E. Petri nets. М.: Nauka; Chief editors of phys. and math. lit. [Seti Petri. М. : Nauka ; Glavnaya redaktsiya fiz.-mat. lit] 1984. 160 p.
16. Barbashin E. A. Introduction to stability theory. М. : Nauka [Vvedenie v teoriyu ustoychivosti. М. : Nauka]. 1967.
17. Shemetov P. V., Petukhova S. V. Theory of organization: series of lectures. – М.: Omega-L Publishers [Teoriya organizatsij : kurs lektsij]. 2006. 282 p. ISBN 5-98119-504-5.

Статья сдана в редакцию 8 апреля 2020 года

УДК 331.101

Н. В. Калганова

Моделирование системы управления методическим и материальным обеспечением учебного процесса в вузе

UDC 331.101

N. V. Kalganova

Modelling of management sytem by means of methodical and material support for educatonal process in a higher-educational establishment

Аннотация

В работе рассматриваются математические дифференциальные модели оптимального управления стратегическим достижением запланированных значений материального обеспечения учебной и научной деятельности вуза. Построенные модели содержат аналитические сведения об исследуемых процессах и описывают их динамику на период до пяти лет; модели достаточно просты и могут быть использованы для планирования и прогнозирования материального обеспечения вузов.

В своем исследовании автор опирался, в частности, на монографию [1] посвященную проблеме материально-технического обеспечения образовательного процесса в вузе, выпускающего специалистов для железнодорожного транспорта.

В настоящей статье представлено теоретическое обоснование эффективного управления материальным обеспечением учебной и научной деятельности вуза с помощью математических методов. В работе применены методы теории решения и исследования дифференциальных и систем дифференциальных уравнений с использованием пакета MathCAD 15 для численных решений дифференциальных уравнений.

Ключевые слова: управление, математическая модель, вуз, дифференциальные уравнения, материальное обеспечение, учебный процесс.

DOI: 10.20291/2079-0392-2020-2-120-126

Abstract

This work deals with mathematical differential models of optimal management of strategic achievement of the planned values of material support for academic and scientific activity. The elaborated models contain analytical data on the processes under study and describe their dynamics for the period of up to 5 years, the models are sufficiently simple and can be used for planning and prognostication of material support for higher-educational establishments.

The author's research is namely based on the monograph [1] focused on the issue of material and technical support for the educational process in higher educational establishments which qualify specialists for railway transport.

The present article presents theoretical justification for the effective management of material support for academic and scientific activities of a higher-educational establishment by means of mathematical methods. The techniques of the theory of solution and studies of differential and system differential equations using MathCAD 15 package for numerical solutions of differential equations are applied in this work.

Key words: management, mathematical model, higher-educational establishment, differential equations, material support, educational process.

DOI: 10.20291/2079-0392-2020-2-120-126

Статья рекомендована к публикации Н. П. Чуевым, канд. физ.-мат. наук, доцентом Уральского государственного университета путей сообщения, Екатеринбург. E-mail: NChuev@usurt.ru.

Наталья Валерьевна Калганова, аспирант; Уральский государственный университет путей сообщения; Екатеринбург, Россия. E-mail: kalganova.natalia@yandex.ru. ORCID 8429891.

The article is recommended for publishing N. P. Chuev, Cand. of physical and math. sciences, Associate professor of Ural state university of railway transport, Yekaterinburg. E-mail: NChuev@usurt.ru.

Natal'ya Valer'evna Kalganova, post-graduate student of Ural state university of railway transport; Yekaterinburg, Russia. E-mail: kalganova.natalia@yandex.ru. ORCID 8429891.

Высшее образование, как и другое производство, выпускает «продукцию» – обученного специалиста, а для любой деятельности необходимо методическое и материальное обеспечение.

Математическое моделирование как один из способов научного знания дает возможность изучать явления и процессы находящейся вокруг реальности с поддержкой преобразований условных выражений, отражающих важные взаимные связи. Невозможно представить себе современную науку без широкого применения математического моделирования. Сущность этой методологии состоит в замене исходного объекта его «образом» – математической моделью – и дальнейшем изучении модели с помощью реализуемых на компьютерах вычислительно-логических алгоритмов [2].

Моделирование как универсальный метод познания окружающей действительности и социально-педагогических проблем является сегодня составляющей частью исследования деятельности образовательных учреждений, процесса обучения. Исходным началом моделирования служит постановка цели, учитывающей современные проблемы образования, сложность которых обуславливает их комплексный характер. Адекватная математическая модель позволит выбрать режимы работы и оптимальные управляющие воздействия, составить объективный прогноз будущих состояний системы.

В настоящей работе решается задача по построению математических моделей, описывающих процессы стратегического достижения заданного значения материального обеспечения учебной и научной деятельности вуза. Необходимо математически описать множество возможных вариантов системы, спрогнозировать последствия реализуемых вариантов и обосновать рациональный выбор управления по достижению оптимального материального обеспечения вуза.

Рассмотрим математическую модель управления методическим и материаль-

ным обеспечением учебного процесса вуза. Пусть в момент t вуз располагает определенным набором средств материального обеспечения учебного процесса $y(t)$ и суммой средств $z(t)$ для приобретения аппаратуры, учебников, методических пособий, вычислительной техники и т. п. В вузе происходят изменения количества средств материального обеспечения учебного процесса со скоростью $\alpha y(t)$, где $\alpha > 0$, за счёт постоянного системного приобретения. Скорость уменьшается в момент t как сдерживающего фактора из-за ограниченности количества средств пропорционально $\beta y(t)z(t)$. Количество денежных средств $z(t)$ при этом убывает со скоростью $\lambda z(t)$, однако происходит сдерживание со скоростью $\delta y(t)z$ (t – за счет планового расходования, поиска для приобретения дешевых средств материального обеспечения, дополнительных источников для приобретения приборов и т. п.). Кроме этого, на скорость приобретения может повлиять передача оборудования от предприятий, дополнительных поступлений бюджетных и внебюджетных средств со скоростью $g(t)$; объем денежных средств может быть уменьшен за счет передачи их на другие нужды со среднестатистической скоростью $h(t)$.

В итоге наших предположений мы видим систему двух нелинейных дифференциальных уравнений:

$$\begin{aligned}\frac{dy(t)}{dt} &= \alpha y(t) - \beta y(t)z(t) + g(t); \\ \frac{dz(t)}{dt} &= \delta y(t)z(t) - \lambda z(t) - h(t),\end{aligned}\quad (1)$$

где $\alpha, \beta, \delta, \lambda$ – постоянные параметры системы в виде положительных чисел, имеющих размерность 1/время.

Система (1) при $g(t) = h(t) = 0$ есть известное уравнение Лотка – Вольтерра [3]. Будем искать решение системы (1) при заданных начальных условиях:

$$\begin{aligned}y(t)|_{t=t_0} &= y_0(t_0); \\ z(t)|_{t=t_0} &= z_0(t_0),\end{aligned}\quad (2)$$

где t_0 можно положить равным нулю, т. е. отсчёт производить с начала цикла; $y_0(t_0)$, $z_0(t_0)$ – положительные неизменные.

Системы (1)–(2) будут иметь устойчивый фокус; в точке или в центре – либо фокус, либо вокруг точки цикла и находящиеся между ними незамкнутые линии движения, которые спиралевидно приближаются к данным циклам.

По условиям задачи искомые функции $y(t)$ и $z(t)$ ограниченные, поэтому точки равновесия наподобие седла или узла в представленном исследовании опускаются.

Рассмотрим систему Лотка – Вольтерра как частный случай системы (1), т. е. при условии, что скорости равны нулю [4]. Рассматриваем системы (1) и (2). Система (1) содержит две стационарные точки: $M(0,0)$ и $N\left(\frac{\lambda}{\delta}; \frac{\alpha}{\beta}\right)$. Система (1) содержит первый интеграл $f(y,z) = C$, где $C = \text{const}$, делим второе уравнение системы (1) на первое, получаем (формула (3)):

$$\frac{dz}{dy} = \frac{z(\delta y - \lambda)}{y(\alpha - \beta z)}. \quad (3)$$

Уравнение (3) есть дифференциальное уравнение с разделяющимися переменными:

$$\frac{(\alpha - \beta z) dz}{z} = \frac{(\delta y - \lambda) dy}{y}. \quad (4)$$

Интегрируя полученное уравнение, будем иметь первый интеграл:

$$\begin{aligned} f(y,z) &= y^\lambda e^{-\delta y} \cdot z^\alpha e^{-\beta z} = \\ &= y_0^\lambda e^{-\delta y_0} \cdot z_0^\alpha e^{-\beta z_0} = C, \end{aligned} \quad (5)$$

где неизменная C выводится из исходных критериев (2).

Рассмотрим стационарную точку $M(0,0)$. Около данной точки $|y(t)| < \varepsilon$ и $|z(t)| < \varepsilon$, где ε – сколь угодно малая величина. Тогда уравнение (3) будет иметь вид

$$\frac{dz}{dy} \approx -\frac{\lambda z}{\alpha y}. \quad (6)$$

Так как $|y(t)z(t)|$ есть безгранично малая более высокого порядка величина в сравнении с $y(t)$ и $z(t)$, то для изучения критериев кривых вблизи точки $M(0,0)$ было положено $yz = 0$.

Из уравнения (6) мы видим, что в окрестности $M(0,0)$:

$$\begin{aligned} \frac{dz}{z} &\approx \frac{\lambda}{\alpha} \frac{dy}{y} \Rightarrow \ln z \approx \\ &\approx \ln y^{-\frac{\lambda}{\alpha}} \Rightarrow \ln C \Rightarrow zy^h = C_1, \end{aligned}$$

$$C_1 = \text{const}, \quad h = \frac{\lambda}{\alpha}, \quad (7)$$

т. е. вблизи начала координат $M(0,0)$ образуются линии гиперболической формы. В окрестности точки $N\left(\frac{\lambda}{\delta}; \frac{\alpha}{\beta}\right)$ зафиксируем $y(t) = \frac{\lambda}{\delta} + \tilde{y}(t)$, $z(t) = \frac{\alpha}{\beta} + \tilde{z}(t)$ и рассмотрим $|\tilde{y}(t)| < \varepsilon$ и $|\tilde{z}(t)| < \varepsilon$. Тогда уравнение (3) принимает вид с точностью до членов первого порядка по $\tilde{y}(t)$ и $\tilde{z}(t)$:

$$\begin{aligned} \frac{d\tilde{z}}{d\tilde{y}} &\approx \frac{\left(\tilde{z} + \frac{\alpha}{\beta}\right) (\delta \tilde{y} + \gamma - \lambda)}{\left(\tilde{y} + \frac{\lambda}{\delta}\right) (\alpha - \alpha - \beta \tilde{z})} \approx \\ &\approx \frac{\delta \frac{\alpha}{\beta} \tilde{y}}{-\beta \frac{\lambda}{\delta} \tilde{z}} \Rightarrow -\beta \frac{\lambda}{\delta} \tilde{z} d\tilde{z} \approx \\ &\approx \delta \frac{\alpha}{\beta} \tilde{y} d\tilde{y} \Rightarrow \delta^2 \alpha \tilde{y}^2 + \beta^2 \lambda \tilde{z}^2 = C_2, \end{aligned} \quad (8)$$

где $C_2 = \text{const}$

$$\delta^2 \alpha \left(y - \frac{\lambda}{\delta}\right)^2 + \beta^2 \lambda \left(z - \frac{\alpha}{\beta}\right)^2 = C_2.$$

Отсюда следует, что вблизи точки

$N\left(\frac{\lambda}{\delta}; \frac{\alpha}{\beta}\right)$ кривые на фазовой плоскости будут замкнутыми линиями движения, а точка N выступит в роли особой точки, т.е. центра. Замкнутые линии

движения могут быть в виде эллипсов или подобных эллипсу конфигурациями (рис. 1).

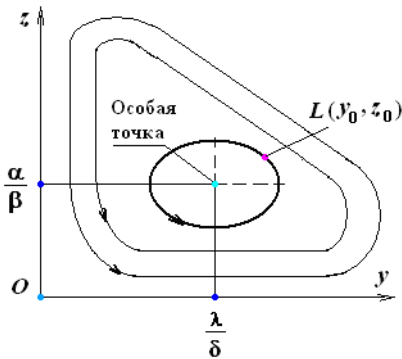


Рис. 1. Фазовый портрет для системы двух уравнений (1) и (2) при $g(t), h(t) = 0$

Из математического анализа математической модели следует, что есть стационарное состояние (особая точка на рис. 1), всякое же другое начальное положение L приводит к повторяющемуся шатанию численности, система возвращается в состояние L через некоторое время.

При небольшом изменении модели, когда правым частям прибавляются члены, и при соответствующем наборе коэффициентов $\alpha, \beta, \delta, \lambda$ получим решения, которые при t стремятся к бесконечности, то есть к сбалансированному состоянию.

Таким образом, следуя работе В.И. Арнольда [5], можно сделать вывод: модель (1)–(2) является «мягкой» структурно устойчивой моделью, соответствующей уравнениям, связывающим исследуемые переменные $y(t)$ и $z(t)$. Математическая теория «мягких» моделей показывает нужную для этого информацию, без которой «жесткая» модель может привести к качественно ошибочным результатам.

Отметим, что при иных параметрах системы и исходных критериях задачи фазового портрета имеют абсолютно другой вид, чем показанный на рис. 1.

Построенная математическая модель (1) является достаточно простой,

т. к. с помощью данного математического аппарата исследования можно провести качественный или количественный анализ исследуемых качеств с определенной точностью и оценить итог [6].

Воспользуемся программой MathCAD 14 и с ее помощью рассмотрим численное решение нелинейной дифференциальной системы (1) [7].

Пример 1. Определим исходные условия: $\alpha = 0,9$; $\beta = 0,35$; $\delta = 0,3$; $\lambda = 0,8$; $g(t) = 10$; $h(t) = 9$. Рассмотрим нелинейную систему дифференциальных уравнений с исходными условиями: $t_0 = 0$, $y_0 = 10$; $z_0 = 11$.

Зададим интервал интегрирования $t_0 := 0$ и $t_1 := 20$.

Для решения системы используем блок Given-Odesolve пакета MathCAD 14.

Given

$$\frac{d}{dt} y(t) = 0,9 \cdot y(t) - 0,35 \cdot y(t) \cdot z(t) + 10$$

$$\frac{d}{dt} z(t) = 0,3 \cdot y(t) \cdot z(t) - 0,8 \cdot z(t) - 9$$

$$y(t_0) = 10$$

$$z(t_0) = 9$$

$$\begin{pmatrix} y \\ z \end{pmatrix} := \text{Odesolve} \left[\begin{pmatrix} y \\ z \end{pmatrix}, t, 20 \right]$$

Получим графики функций $y(t)$ и $z(t)$, представленные на рис. 2.

Фазовый портрет представлен на рис. 3.

Здесь $y = y(t)$ – количество приобретенных средств материального обеспечения учебного процесса, $z = z(t)$ – количество денежных средств, направленных на материальное обеспечение учебного процесса для приобретения аппаратуры, учебников, методических пособий, вычислительной техники и т. п.

Характер колебаний функций $y(t)$ и $z(t)$ в зависимости от принятых исходных критериев имеет разный вид, но практически повторяющийся характер [8]. Получившаяся фазовая линия движения действительно выглядит спиралью, что указывает на неритмичный характер производственного

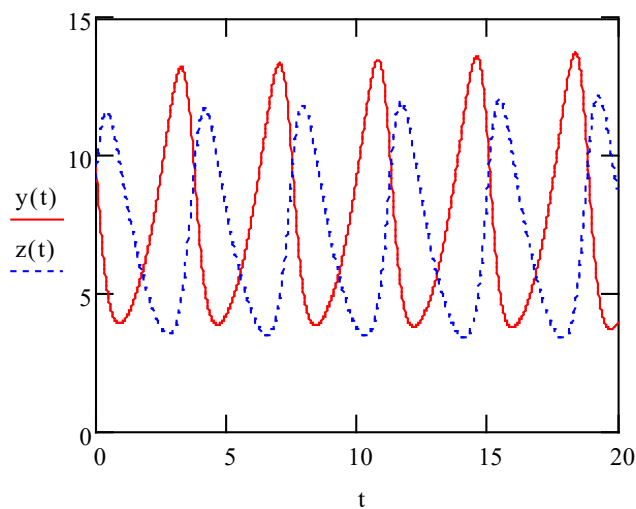


Рис. 2. График функций $y(t)$, $z(t)$

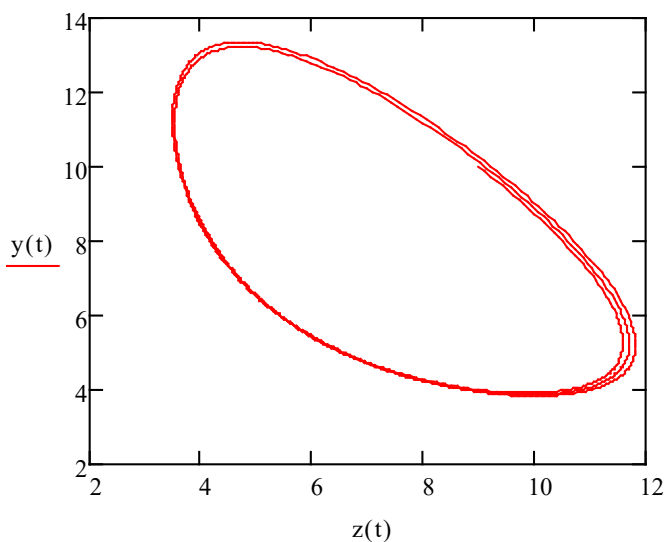


Рис. 3. Фазовый портрет системы Лотка – Вольтерра

процесса, но достаточно устойчивый ограниченный процесс материального обеспечения [9].

Пример 2. Зададим интервалы интегрирования $t_0:=0$ и $t_1:=20$.

Рассмотрим нелинейную систему дифференциальных уравнений с исходными данными, для решения системы также используем блок Given-Odesolve пакета MathCAD 14.

Given

$$\frac{d}{dt}y(t) = 0,8y(t) - 0,35y(t)z(t) + 9,2$$

$$y(t_0) = 10,$$

$$\frac{d}{dt}z(t) = -0,6z(t) + 0,3y(t)z(t) - 8,5,$$

$$z(t_0) = 11 \begin{pmatrix} y \\ z \end{pmatrix} \cdot \text{Odesolve} \left[\begin{pmatrix} y \\ z \end{pmatrix}, t, t_1 \right].$$

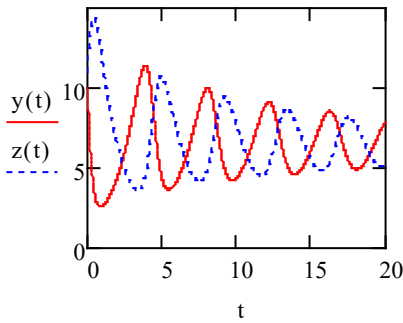
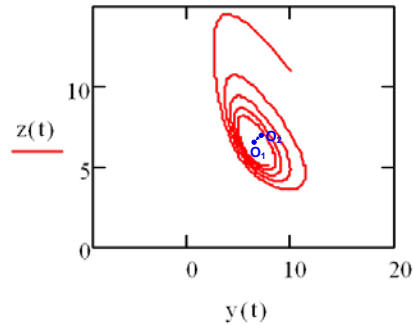
Рис. 4. График функций $y(t)$, $z(t)$ 

Рис. 5. Фазовый портрет системы Лотка – Вольтерра

Здесь $y = y(t)$, $z = z(t)$ – функции, как и в предыдущем примере.

Получили графики функций $y(t)$ и $z(t)$ (рис. 4, 5).

С помощью математических моделей выстраивается оптимальная стратегия приобретения с учетом начального состояния. В представленной статье исследуются процессы, в которых результаты предыдущих операций можно использовать для управления ходом будущих.

В работе рассмотрены математические модели решения вопросов по приобретению средств материального обеспечения учебного и научного процессов вуза.

В задаче о приобретении оборудования аналитическая информация включает суммы денежных средств, количества оборудования с учетом текущих цен.

Математическая модель позволяет выстраивать оптимальную стратегию

приобретения с учетом начального состояния и сформулированного целевого значения в конце пятилетнего периода на основании полученной с помощью дифференциального уравнения логистической функции.

Построенная математическая модель на основе системы двух нелинейных дифференциальных уравнений типа Вольтерра – Лотка устанавливает взаимосвязь выделяемых денежных средств и приобретаемого материального обеспечения для вуза.

Рассмотрена математическая модель методического и материального обеспечения учебного и научного процесса вуза с использованием линейных систем трех дифференциальных уравнений, которая может быть использована для разработки стратегии оптимизации выполнения закупочных работ материального обеспечения учебного и научного процессов вузов. ■

Литература

1. Конова Т. А., Антропов В. А., Нестеров В. Л. Научно-методические основы организации материально-технического обеспечения подготовки кадров для нужд железнодорожного транспорта. Екатеринбург : УрГУПС, 2015. – 211, с. ISBN 978-5-94614-315-8.
2. Самарский А. А., Михайлов А. П. Математическое моделирование. Идеи. Методы. Примеры. – М. : Физматлит, 2001. – 2-е изд., испр. – 320 с. ISBN 5-9221-0120-X.
3. Эрроусмит Д. Обыкновенные дифференциальные уравнения / Д. Эрроусмит, К. Плейс. – М. : Мир, 1986. – 243 с.
4. Романов В. П., Ахмадеев Б. А. Моделирование инновационной экосистемы на основе модели «хищник-жертва» // Бизнес-информатика. 2015. № 1 (31). С. 7–17.
5. Арнольд В. И. «Жесткие» и «мягкие» математические модели. М. : Изд-во МЦНМО, 2004. – 32 с. ISBN 5-94057-134-4.
6. Виноградов И. М. Математическая энциклопедия. М. : Наука, 1982. – 592 с.

7. Макаров Е. Г. MathCAD : учебный курс. – СПб : – 2009. – 384 с. ISBN 978-5-388-00201-3.
8. Введение в математическое моделирование : учеб.-метод. пособие [Vvedenie v matematicheskoe modelirovanie : ucheb.-metod. posobie] / Б. А. Вороненко, А. Г. Крысин, В. В. Пеленко, О. А. Цуранов. – СПб : НИУ ИТМО ; ИХиБТ, 2014. – 44 с. ISSN 2227-8397.
9. Табунов И. В. Модели управления интеллектуальным капиталом // Экономика сегодня: проблемы и пути решения. 2014. – Т. 5. – С. 119–123.

Literature

1. Konova T. A., Antropov V. A., Nesterov V. L. Scientific and methodical principles of organisation of material and technical support for training specialists for railway transport needs. Yekaterinburg : USURT [Nauchno-metodicheskie osnovy organizatsii material'no-tekhnicheskogo obespecheniya podgotovki kadrov dlya nuzhd zheleznodorozhnogo transporta. Ekaterinburg : UrGUPS], 2015. – 211 p. ISBN 978-5-94614-315-8.
2. Samarskiy A. A., Mihailov A. P. Mathematical modelling. Ideas. Methods. Examples. – M. : Phismathlit [Matematicheskoe modelirovanie. Idei. Metody. Primery. – M. : Fizmatlit], 2001. – 2-nd edition, revised – 320 p. ISBN 5-9221-0120-X.
3. Aerosmith D. Ordinary differential equations / D. Aerosmith, K. Place [Obyknovennyye differentsial'nye uravneniya]. M. : Mir, 1986. – 243 p.
4. Romanov V. P., Ahmadeev B. A. Modelling of innovative ecosystem based on the “predator-prey” model // Business-informatics [Modelirovanie innovatsionnoy ekosistemy na osnove modeli «hishchnik-zhertva» // Biznes-informatika]. 2015. № 1 (31). P. 7–17.
5. Arnol'd V. I. «Hard» and «soft» mathematical models. M. : Moscow centre for continuous mathematical education publishers, [«Zhestkie» i «myagkie» matematicheskie modeli. M. : Izd-vo MTsNMO] 2004. – 32 p. ISBN 5-94057-134-4.
6. Vinogradov I. M. The encyclopaedia of mathematics. M. : Science [Matematicheskaya entsiklopediya. M. : Nauka], 1982. – 592 p.
7. Makarov E. G. MathCAD : course of study. – Saint-Petersburg [MathCAD : uchebniy kurs. – SPb] – 2009. – 384 p. ISBN 978-5-388-00201-3.
8. Introduction to mathematical modelling : teaching and methodical aid / B. A. Voronenko, A. G. Krysin, V. V. Pelenko, O. A. Tsuranov. – Saint-Petersburg National scientific research university of information technologies, mechanics and optics ; Institute of frost and biotechnologies, 2014. – 44 p. ISSN 2227-8397.
9. Tabunov I. V. Models of intellectual capital management // Economy today: challenges and solutions [Modeli upravleniya intellektual'nym kapitalom // Ekonomika segodnya: problemy i puti resheniya]. 2014. – V. 5. – p. 119–123.

Статья сдана в редакцию 25 марта 2020 года

Уважаемые коллеги!

Информирую вас о требованиях, предъявляемых к оформлению статей.

При наборе используйте Word-2003 или Word-2007; шрифт (по всему тексту, в том числе в рисунках и таблицах) – тип Times, размер шрифта – 14, межстрочное расстояние – 1,5, абзацный отступ – 1,25 (1,27) см, поля – 2 см; расстановка переносов по всему тексту – автоматическая.

Набор формул: простые формулы и сочетания символов ($x^2 < y^2$; $E = mc^2$; $a^2 + b^2 = c^2$; Q_{i-1} ; ψ_j) – только в текстовом режиме, сложные

$$(s^2 = \frac{1}{n-1} \left[\sum_{j=1}^e x_j^2 n_j - \frac{1}{n} \left(\sum_{j=1}^e x_j n_j \right)^2 \right]; \left(\frac{\sigma_a}{[n]} \right)$$

или S_i^m) – только в редакторе формул

Equation или в MathType.

Написание букв: русские (а, б, в, А, Б, В), греческие (Θ, Σ, Ω, Ψ, α, β, δ, ε, λ, π), а также цифры и аббревиатуры (1, 2, 3; I, II, III; max, lg, sin и т. п.) пишутся только прямо; латинские (a, b, n, A, B, N и т. д.) – только курсивом. Исключение – курсив во вспомогательном тексте (слова «Таблица» и «Рис.», примечания в рисунках и ссылки в тексте на эти примечания).

Оформление текста: левый верхний край – инициалы, фамилия; заголовков – все буквы ПРОПИСНЫЕ, жирные, расположение – по центру набора; таблиц и рисунков: в таблицах размер шрифта – на полтора-два размера меньше, чем в основном тексте (11,5–12), расположение текста в «шапке» таблицы – по центру, в столбцах – по ширине; межстрочное расстояние – 1; слово «Таблица» – курсивное начертание, в правый край таблицы; название таблицы – начертание нормальное (прямое), расположение – по центру таблицы. В рисунках (графиках, диаграммах): размер подрисуночной

подписи – 14, расположение – по центру набора, слово «Рис.» – курсив, название рисунка – нормальное начертание, описание рисунка (экспликация) – нормальное начертание, условные обозначения – курсивное начертание, их расшифровка – нормальное. Расположение таблиц и рисунков – строго после ссылки на них.

Кроме того, рисунки обязательно прилагаются к материалу (один рисунок – один файл; формат – *.jpg).

Ссылки на литературу в тексте пишутся в квадратных скобках ([1], [1, 2] или [3–5]); нумерация сквозная. Список литературы/источников оформляется по ГОСТ 7.0.5–2008.

В конце статьи обязательно ставится дата отсыла материала в редакцию.

Объем статьи – не более 14-ти страниц.

Название файла: Фамилия. Первое слово заголовка. Подчеркивание. Последнее слово заголовка (Сидоров. Синтез_электроприводом).

К материалу (статье) обязательно прилагаются (отдельным файлом): УДК, сведения об авторе, аннотация, ключевые слова (название файла: УДК 000. Сидоров. Синтез_электроприводом).

Материалы для очередного номера журнала «Вестник УрГУПС» принимаются до 30 числа первого месяца квартала (до 30-го января, 30-го апреля, до 30-го июля, до 30-го октября). Материалы, поступившие в редакцию после 30-го числа, будут опубликованы только в следующем номере.

Успешной работы!

*Л. Барышникова,
литературный и выпускающий
редактор журнала «Вестник УрГУПС»*

Уважаемые читатели и авторы журнала «Вестник УрГУПС»!

Если вам нравится наш журнал, вы можете оказать содействие в его развитии, перечислив денежные средства по реквизитам:

Ассоциация выпускников УЭМИИТ-УрГУПС

ИНН-КПП 6670317893/667001001

ОГРН 1156600001470

620075, Свердловская обл., г. Екатеринбург, ул. Шевченко, д. 20, помещение 1

Р/с 40703810863010000192

в ПАО КБ «УБРИР» филиал ССБ

к/с 30101810900000000795

БИК 046577795

Назначение платежа: «Пожертвование для поддержки научных журналов УрГУПС».

Ваша финансовая поддержка позволит нам увеличить число публикаций, повысить индексы цитирования журнала и наших авторов.

Уважаемые руководители инновационных компаний и предприятий!

Предлагаем вам услуги по продвижению вашей продукции через сеть Ассоциации выпускников УЭМИИТ-УрГУПС.

Ассоциация выпускников УЭМИИТ-УрГУПС – это кооперация большого числа неравнодушных людей различных сфер деятельности, окончивших наш университет.

Кроме того, предлагаем услуги по подбору молодых специалистов, по организации поиска решений прикладных и научных задач в рамках диссертационных работ, выполняемых в УрГУПС.

Всю необходимую информацию вы можете получить по тел. (343) 221-25-60

или на сайте <http://www.usurt.ru/vypusknikam/assotsiatsiya-vypusknikov-urgups>

Извещение	<p>Получатель: <u>Ассоциация выпускников УЭМИИТ-УрГУПС</u> КПП: <u>667001001</u> ИНН: <u>6670317893</u> ОКТМО: <u>65701000</u> Р/сч.: <u>40703810863010000192</u> в: <u>ПАО КБ «УБРИР» филиал ССБ</u> БИК: <u>046577795</u> К/сч.: <u>30101810900000000795</u> Код бюджетной классификации (КБК): _____ Платеж: <u>Пожертвование для поддержки научных журналов УрГУПС</u> Плательщик: _____ Адрес плательщика: _____ ИНН плательщика: _____ № л/сч. плательщика: _____ Сумма: _____ руб. ____ коп. Подпись: _____ Дата: «____» _____ 2020 г.</p>
Квитанция	<p>Получатель: <u>Ассоциация выпускников УЭМИИТ-УрГУПС</u> КПП: <u>667001001</u> ИНН: <u>6670317893</u> ОКТМО: <u>65701000</u> Р/сч.: <u>40703810863010000192</u> в: <u>ПАО КБ «УБРИР» филиал ССБ</u> БИК: <u>046577795</u> К/сч.: <u>30101810900000000795</u> Код бюджетной классификации (КБК): _____ Платеж: <u>Пожертвование для поддержки научных журналов УрГУПС</u> Плательщик: _____ Адрес плательщика: _____ ИНН плательщика: _____ № л/сч. плательщика: _____ Сумма: _____ руб. ____ коп. Подпись: _____ Дата: «____» _____ 2020 г.</p>

ф. СП-1

АБОНЕМЕНТ

на ~~газету~~
журнал

70070

(индекс издания)

Вестник УргУПС

(наименование издания)

Количество
комплектов:

на 2020 год по месяцам:

1	2	3	4	5	6	7	8	9	10	11	12

Куда

(почтовый индекс)

(адрес)

Кому

(фамилия, инициалы)

ДОСТАВОЧНАЯ КАРТОЧКА

на ~~газету~~
журнал

70070

(индекс издания)

Вестник УргУПС

(наименование издания)

Стои- мость	подписки	руб. коп.	Количество комплектов:	
	переадресовки	руб. коп.		

на 2020 год по месяцам:

1	2	3	4	5	6	7	8	9	10	11	12

Куда

(почтовый индекс)

(адрес)

Кому

(фамилия, инициалы)